



## سمینار کارشناسی ارشد

### بررسی آینه نامه های مقاومسازی سازه های بتن آرمه به وسیله FRP

ارائه شده به دانشکده مهندسی عمران  
جهت دریافت درجه کارشناسی ارشد

توسط :  
عباس باقری

استاد راهنما :  
جناب آقای دکتر فرشید علایی

بِسْمِ اللَّهِ الرَّحْمَنِ الرَّحِيمِ

# نَقْرِبُ بِهِ

لَمْ يَكُنْ لَّهُ كُفُورٌ

كَه لاز نسامي وجود شاه در ره نکامل من دریغ نگووند

## **قدردانی :**

در ابتدای این سمینار لازم می داشم از راهنمایی های جناب آقای دکتر علایی و از زحمات کلیه افرادی که در هدایت و تکمیل این مجموعه مرا راهنمایی کرده اند علی الخصوص مهندس دریابیگی ، تشکر و قدردانی نموده و کمال موفقیت ایشان را از خداوند متعال خواستارم .

## **چکیده :**

امروزه در سراسر جهان ، استفاده از مواد پلیمری تقویت شده با الیاف ( FRP ) به عنوان یک ماده مقاومساز ، جایگزین صفحات فولادی خصوصا در تقویت سازه های بتنی گردیده است . گستردگی استفاده از این ماده به دلیل مزایای فراوان آن ، ضرورت انجام بررسیها و تحقیقات زیادی جهت شناخت هرچه بهتر آن را می طلبد . یکی از مهمترین ضروریات مورد نیاز مربوط به این ماده ، نحوه طراحی و اجرای آن می باشد . در این راستا در این سمینار ، چندین راهنمایی که در سراسر دنیا در زمینه مقاومسازی سازه های بتنی به کمک ورقه های FRP ارائه شده است را ، مورد بررسی قرار داده و ترجمه کامل آنها در مجموعه پیوستی گردآوری شده است . این راهنمایها عبارتند از UK Technical Report No.55 (2000) ، fib Bulletin 14 (2001) ، ACI 440.2R-02 (2001) ، ISIS Canada (2001) و (2001) . در ادامه جهت شناخت و ارزیابی بهتر این راهنمایی های طراحی ، مقایسه ای از نتایج آنها نسبت به نتایج آزمایشگاهی انجام شده تا بتواند راهگشایی در جهت تدوین دستورالعملی بهتر و کاملتر ، مخصوصا برای ایران باشد .

## **کلمات کلیدی:**

دستورالعمل طراحی ، سازه های بتنی ، پلیمرهای تقویت شده با الیاف (FRP) ، مقاومسازی .

## فهرست :

۱	مقدمه
۲	فصل اول : خلاصه ای از آیین نامه ACI 440.2R-02
۲	۱-۱ : مقدمه
۳	۲-۱ : کلیات
۳	۳-۱ : نکات و محدودیتهای مقاومسازی
۴	۴-۱ : انواع سیستمهای FRP
۵	۵-۱ : مواد و مصالح سازنده
۵	۵-۱-۱ : رزینها
۵	۵-۱-۲ : الیافها
۵	۶-۱ : خصوصیات و رفتار مواد FRP
۵	۶-۱-۱ : خصوصیات فیزیکی سیستمهای مختلف رایج FRP
۵	۶-۱-۱-۱ : چگالی
۵	۶-۱-۱-۲ : ضریب انبساط حرارتی
۶	۶-۱-۲ : خصوصیات مکانیکی
۶	۶-۱-۳ : رفتار سیستم FRP نسبت به زمان
۷	۷-۱ : نکات مهم در پروسه نصب سیستم FRP
۸	۸-۱ : کنترل و تضمین کیفیت سیستم FRP
۹	۹-۱ : ملاحظات کلی طراحی
۹	۹-۱-۱ : محدودیتهای مقاومسازی
۱۰	۱۰-۱ : انتخاب سیستم FRP
۱۰	۱۰-۱-۱ : ملاحظات محیطی
۱۰	۱۰-۱-۱-۱ : محیط قلیایی یا اسیدی
۱۰	۱۰-۱-۲-۱ : انبساط حرارتی
۱۰	۱۰-۱-۲-۱-۱ : رسانایی الکتریکی
۱۰	۱۰-۱-۲-۱-۲ : ملاحظات بارگذاری
۱۱	۱۱-۱ : ملاحظات مربوط به پوشش محافظ
۱۱	۱۱-۱-۱ : خصوصیات مواد طراحی
۱۲	۱۲-۱ : مقاومسازی خمشی
۱۲	۱۲-۱-۱ : فرضیات
۱۲	۱۲-۱-۱-۱ : محاسبه کرنش اولیه بستر
۱۳	۱۳-۱ : طراحی خمشی مقاومسازی با FRP

۱۵	۴-۱۰-۱ : حالت سرویس
۱۷	۱۱-۱ : مقاومسازی برشی
۱۹	۱۲-۱ : مقاومسازی فشاری
۲۰	۱۳-۱ : مقاومسازی کششی
۲۱	۱۴-۱ : افزایش شکل پذیری
۲۲	۱۵-۱ : جزئیات مقاومسازی
۲۳	<b>فصل دوم: خلاصه‌ای از آین نامه (fib Bulletin 14 (2001)</b>
۲۳	۱-۲ : کلیات
۲۳	۲-۲ : خصوصیات مواد و ضوابط کلی
۲۶	۳-۲ : مقاومسازی خمشی
۲۶	۱-۳-۲ : فرضیات
۲۶	۲-۳-۲ : محاسبه کرنش اولیه
۲۷	۳-۳-۲ : مودهای گسیختگی تیرها
۲۸	۴-۳-۲ : طراحی مقاومسازی خمشی
۳۰	۵-۳-۲ : محدودیتهای لازم برای عدم وقوع جداشدگی
۳۰	۱-۵-۳-۲ : محدودیت برای جداشدگی ناشی از ترکهای برشی
۳۰	۲-۵-۳-۲ : جداشدگی ناشی از گسیختگی برشی در انتهای صفحه
۳۱	۳-۵-۳-۲ : اعمال محدودیت برای جداشدگی انتهای صفحه
۳۱	۱-۳-۵-۳-۲ : روش اول
۳۲	۲-۳-۵-۳-۲ : روش دوم
۳۳	۴-۵-۳-۲ : اعمال محدودیت برای جداشدگی در طول اتصال
۳۳	۱-۴-۵-۳-۲ : روش اول
۳۳	۲-۴-۵-۳-۲ : روش دوم
۳۷	۶-۳-۲ : ضوابط مربوط به حالت حدی سرویس
۳۷	۱-۶-۳-۲ : محاسبات اولیه
۳۸	۲-۶-۳-۲ : محدودیتهای تنشی
۳۹	۳-۶-۳-۲ : بررسی تغییرشکل و خیزها
۴۱	۴-۶-۳-۲ : بررسی عرض ترکها
۴۲	۵-۶-۳-۲ : بررسی ترکهای بین صفحه‌ای اتصال
۴۳	۴-۲ : مقاومسازی برشی
۴۳	۱-۴-۲ : محاسبه ظرفیت برشی
۴۶	۲-۴-۲ : حالت سرویس
۴۶	۵-۲ : مقاومسازی پیچشی

۴۸	۶-۲ : مقاومسازی فشاری
۴۸	۱-۶-۲ : محاسبه تنش فشاری نهایی برای ستونهای دایره ای
۵۰	۲-۶-۲ : بررسی عوامل مختلف مؤثر در تنش فشاری نهایی ستونها
۵۲	۳-۶-۲ : شکل پذیری
<b>فصل سوم : خلاصه ای از گزارش حرفه ای منتشر شده توسط انجمن بتن انگلستان</b>	
۵۴	۱-۳ : کلیات
۵۴	۲-۳ : خصوصیات مواد و ضرایب ایمنی
۵۸	۳-۲ : مقاومسازی خمشی
۵۸	۱-۳-۳ : فرضیات
۵۸	۲-۳-۳ : محاسبه ممان بالанс
۵۹	۳-۳-۳ : محاسبه کرنش اولیه در بستر کششی تیر قبل از نصب FRP
۶۰	۴-۳-۳ : محاسبه ظرفیت مقاومت خمشی نهایی
۶۳	۵-۳-۳ : حالت سرویس
۶۴	۴-۳ : مقاومسازی برشی
۶۷	۵-۳ : مقاومسازی ستونها
۶۷	۱-۵-۳ : مقاومسازی فشاری ستونها
۶۸	۲-۵-۳ : مقاومسازی خمشی ستونها
۶۹	<b>فصل چهارم : خلاصه ای از راهنمای ISIS</b>
۶۹	۱-۴ : کلیات
۷۰	۲-۴ : مقاومسازی خمشی
۷۰	۱-۲-۴ : فرضیات
۷۰	۲-۲-۴ : خصوصیات مواد
۷۰	۱-۲-۲-۴ : بتن
۷۲	۱-۲-۲-۴ : فولاد
۷۲	۱-۲-۲-۴ : FRP
۷۲	۱-۲-۲-۴ : ضرایب ایمنی مواد
۷۳	۳-۲-۴ : مودهای گسیختگی
۷۳	۴-۲-۴ : محاسبه کرنش اولیه در بستر کششی بتنی
۷۳	۵-۲-۴ : محاسبه عمق تارخنی در حالت بالанс
۷۴	۶-۲-۴ : خردشده‌گی بتن
۷۵	۷-۲-۴ : گسیختگی FRP
۷۵	۸-۲-۴ : تیرهای T شکل
۷۸	۳-۴ : مقاومسازی برشی

۸۰	۴-۴ : حداقل طول مهاری
۸۱	۵-۴ : حالت سرویس
۸۲	۶-۴ : مقاومسازی ستونها
۸۲	۱-۶-۴ : ستونهای دایره ای کوتاه
۸۳	۲-۶-۴ : ستونهای مستطیلی کوتاه
۸۴	۳-۶-۴ : حالت سرویس
۸۴	۴-۶-۴ : مقاومسازی برشی ستونها
۸۶	<b>فصل پنجم: مقایسه نتایج آینین نامه ها با نتایج آزمایشگاهی</b>
۸۶	۱-۵ : مقدمه
۸۸	۲-۵ : آزمایشهای مقاومسازی خمثی تیرهای بتن آرمه
۸۸	۱-۲-۵ : آزمایش اول مقاومسازی خمثی
۸۸	۱-۱-۲-۵ : بخش اول آزمایش
۹۸	۲-۱-۲-۵ : بخش دوم آزمایش
۱۰۸	۳-۱-۲-۵ : بخش سوم آزمایش
۱۱۵	۲-۲-۵ : آزمایش دوم مقاومسازی خمثی
۱۲۱	۳-۲-۵ : آزمایش سوم مقاومسازی خمثی
۱۲۵	۴-۲-۵ : آزمایش چهارم مقاومسازی خمثی
۱۳۰	۵-۲-۵ : آزمایش پنجم مقاومسازی خمثی
۱۳۴	۶-۲-۵ : آزمایش ششم مقاومسازی خمثی
۱۴۰	۷-۲-۵ : آزمایش هفتم مقاومسازی خمثی
۱۴۴	۸-۲-۵ : آزمایش هشتم مقاومسازی خمثی
۱۴۸	۹-۲-۵ : آزمایش نهم مقاومسازی خمثی
۱۵۱	۱۰-۲-۵ : آزمایش دهم مقاومسازی خمثی
۱۵۶	۱۱-۲-۵ : آزمایش یازدهم مقاومسازی خمثی
۱۶۰	۱۲-۲-۵ : آزمایش دوازدهم مقاومسازی خمثی
۱۶۵	۳-۵ : آزمایشهای مقاومسازی برشی تیرهای بتن آرمه
۱۶۵	۱-۳-۵ : آزمایش اول مقاومسازی برشی
۱۷۰	۲-۳-۵ : آزمایش دوم مقاومسازی برشی
۱۷۵	۳-۳-۵ : آزمایش سوم مقاومسازی برشی
۱۸۱	۴-۳-۵ : آزمایش چهارم مقاومسازی برشی
۱۸۶	۴-۵ : آزمایشهای مقاومسازی فشاری
۱۸۶	۱-۴-۵ : آزمایش اول مقاومسازی فشاری
۱۹۰	۲-۴-۵ : آزمایش دوم مقاومسازی فشاری

۱۹۳	۳-۴-۵ : آزمایش سوم مقاومسازی فشاری
۱۹۶	۴-۴-۵ : آزمایش چهارم مقاومسازی فشاری
۱۹۹	<b>فصل ششم: نتیجه گیری و پیشنهادات</b>
۱۹۹	۱-۶ : کلیات
۲۰۰	۲-۶ : نتایج مقاومسازی خمی
۲۰۳	۳-۶ : نتایج مقاومسازی برشی
۲۰۵	۴-۶ : نتایج مقاومسازی فشاری
۲۰۷	۵-۶ : پیشنهادات
۲۰۸	<b>مراجع</b>
۲۱۲	ضمیمه (الف) : معرفی تعدادی از آیین نامه ها و راهنمایی های مربوط به مقاومسازی
۲۱۸	ضمیمه (ب) : برنامه های MATLAB جهت محاسبه مقاومت نهایی نمونه ها
۲۵۷	ضمیمه (ج) : روابط مربوط به محاسبه انحراف معیار

## فهرست شکلها :

- شکل ۱-۱ : توزیع تنش و کرنش در حالت نهایی برای یک مقطع مستطیلی تحت خممشکل ۱-۲ : توزیع تنش و کرنش الاستیک
- شکل ۱-۳ : نمایش متغیرهای ابعادی استفاده شده در محاسبات مقاومسازی برشی
- شکل ۱-۴ : نمایش گرافیکی راهنمایی نقطه قطع مجاز در سیستم FRP سه لایه ای
- شکل ۱-۵ : منحنی تنش - کرنش مواد سازنده در حالت حدی نهایی
- شکل ۲-۱ : شرایط اولیه
- شکل ۲-۲ : مودهای گسیختگی اتصال یک عضو بتی تقویت شده با FRP
- شکل ۲-۳ : آنالیز سطح مقطع برای حالت حد نهایی در خممشکل ۲-۴ : مفهوم ناحیه برشی مجازی،(a) قیاس مدلسازی برای آنالیز گسیختگی برشی انتهای FRP
- شکل ۲-۵ : مهار انتهایی در یک ناحیه بتن ترک نخورد
- شکل ۲-۶ : تنش کششی قابل مهار وابسته به طول مهاری
- شکل ۲-۷ : عضو بین دو ترک متواالی - آنالیز جدادشده در ترکهای خمی
- شکل ۲-۸ : دیاگرام ماکزیمم افزایش ممکن در تنش کششی بین دو ترک متواالی
- شکل ۲-۹ : رابطه لغزش - تنش اتصال
- شکل ۲-۱۰ : آنالیز الاستیک خطی مقطع ترک خورده
- شکل ۲-۱۱ : نمایش شماتیک اعضای بتن آرمه مقاومسازی شده در برش با FRP
- شکل ۲-۱۲ : سهم FRP در ظرفیت برشی
- شکل ۲-۱۳ : نیروهای تحمل شده به وسیله FRP
- شکل ۲-۱۴ : حالت سه محوری تنش در پوشش FRP
- شکل ۲-۱۵ : روند محاسبه تنش و کرنش فشاری نهایی
- شکل ۲-۱۶ : فشار محبوس کنندگی اعمال شده به وسیله FRP
- شکل ۲-۱۷ : هسته مؤثر محبوس شده از یک مقطع غیردایره ای
- شکل ۲-۱۸ : توزیع تنش و کرنش برای گسیختگی بالانس
- شکل ۲-۱۹ : کرنش کششی اولیه در بتن
- شکل ۲-۲۰ : رابطه طول مهاری با نیروی گسیختگی چسبندگی
- شکل ۲-۲۱ : عرض مؤثر از FRP
- شکل ۲-۲۲ : همپوشانی لبه ای در ستونها
- شکل ۲-۲۳ : توزیع تنش و کرنش ( تنها آرماتورهای کششی فولادی )
- شکل ۲-۲۴ : توزیع تنش و کرنش ( آرماتورهای فشاری و کششی )
- شکل ۲-۲۵ : (a) پارامترهای هندسی تیر T شکل ، (b) ممان مقاوم
- شکل ۲-۲۶ : طول مؤثر تقویت کننده ها

- شکل ۱-۵ : رابطه بین مقاومت استوانه ای و مکعبی بتن ۸۶
- شکل ۲-۵ : افزایش نسبی مقاومت نهایی برای نمونه های مختلف تقویت شده با FRP از نوع E1 ۹۳
- شکل ۳-۵ : افزایش نسبی مقاومت نهایی برای نمونه های مختلف تقویت شده با FRP از نوع E2 ۹۳
- شکل ۴-۵ : افزایش نسبی مقاومت نهایی برای نمونه های مختلف تقویت شده با FRP از نوع E3 ۹۴
- شکل ۵-۵ : تغییرات ضرایب ایمنی برای نمونه های تقویت شده با FRP از نوع E1 ، E2 و E3 ۹۴
- شکل ۶-۵ : افزایش نسبی مقاومت نهایی برای سری نمونه های با  $f_c = 20 \text{ MPa}$  و  $h/b = 1$  ۱۰۲
- شکل ۷-۵ : افزایش نسبی مقاومت نهایی برای سری نمونه های با  $f_c = 30 \text{ MPa}$  و  $h/b = 1$  ۱۰۲
- شکل ۸-۵ : تغییرات ضرایب ایمنی برای سری نمونه های با  $f_c = 20 \text{ MPa}$  و  $h/b = 1$  ۱۰۳
- شکل ۹-۵ : تغییرات ضرایب ایمنی برای سری نمونه های با  $f_c = 30 \text{ MPa}$  و  $h/b = 1$  ۱۰۳
- شکل ۱۰-۵ : افزایش نسبی مقاومت نهایی برای سری نمونه های با  $f_c = 20 \text{ MPa}$  و  $h/b = 0.5$  ۱۰۴
- شکل ۱۱-۵ : افزایش نسبی مقاومت نهایی برای سری نمونه های با  $f_c = 30 \text{ MPa}$  و  $h/b = 0.5$  ۱۰۴
- شکل ۱۲-۵ : افزایش نسبی مقاومت نهایی برای سری نمونه های با  $f_c = 20 \text{ MPa}$  و  $h/b = 4$  ۱۰۵
- شکل ۱۳-۵ : افزایش نسبی مقاومت نهایی برای سری نمونه های با  $f_c = 30 \text{ MPa}$  و  $h/b = 4$  ۱۰۵
- شکل ۱۴-۵ : تغییرات ضرایب ایمنی برای سری نمونه های با  $h/b = 0.5$  ۱۰۶
- شکل ۱۵-۵ : تغییرات ضرایب ایمنی برای سری نمونه های با  $h/b = 4$  ۱۰۶
- شکل ۱۶-۵ : افزایش نسبی مقاومت نهایی برای نمونه های مختلف تقویت شده با FRP از نوع E1-U ۱۱۲
- شکل ۱۷-۵ : افزایش نسبی مقاومت نهایی برای نمونه های مختلف تقویت شده با FRP از نوع E2-U ۱۱۲
- شکل ۱۸-۵ : افزایش نسبی مقاومت نهایی برای نمونه های مختلف تقویت شده با FRP از نوع E3-U ۱۱۳
- شکل ۱۹-۵ : تغییرات ضرایب ایمنی نمونه های مختلف تقویت شده با FRP از نوع E1-U,E2-U,E3-U ۱۱۳
- شکل ۲۰-۵ : نمایش ابعاد و نحوه تقویت خمثی نمونه ها ۱۱۵
- شکل ۲۱-۵ : نحوه آرماتوربندی و بارگذاری نمونه ها ۱۱۶
- شکل ۲۲-۵ : دیاگرام تغییرات مقاومت نهایی و مود گسیختگی حاکم برای نمونه ها ۱۱۷
- شکل ۲۳-۵ : دیاگرام تغییرات ضرایب ایمنی برای نمونه های مختلف ۱۱۷
- شکل ۲۴-۵ : نمایش تأثیر تغییر ضخامت FRP بر مقاومت نهایی حاصله از آیین نامه ها برای نمونه C-1 ۱۱۸
- شکل ۲۵-۵ : نمایش تأثیر تغییر ضخامت FRP بر مقاومت نهایی حاصله از آیین نامه ها برای نمونه C-2 ۱۱۸
- شکل ۲۶-۵ : نمایش تأثیر تغییر ضخامت FRP بر مقاومت نهایی حاصله از آیین نامه ها برای نمونه C-3 ۱۱۹
- شکل ۲۷-۵ : ابعاد و نحوه بارگذاری نمونه ها ۱۲۱
- شکل ۲۸-۵ : نحوه تقویت و مهار نمونه ها به وسیله FRP ۱۲۲
- شکل ۲۹-۵ : دیاگرام تغییرات مقاومت نهایی و مود گسیختگی حاکم برای نمونه ها ۱۲۳
- شکل ۳۰-۵ : دیاگرام تغییرات ضرایب ایمنی برای نمونه های مختلف ۱۲۳
- شکل ۳۱-۵ : نحوه بارگذاری ، آرماتوربندی و مقاومسازی نمونه ها ۱۲۶
- شکل ۳۲-۵ : دیاگرام تغییرات مقاومت نهایی و مود گسیختگی حاکم برای نمونه های سری A ۱۲۷
- شکل ۳۳-۵ : دیاگرام تغییرات مقاومت نهایی و مود گسیختگی حاکم برای نمونه های سری B ۱۲۷

- شکل ۳۴-۵ : دیاگرام تغییرات ضرایب ایمنی برای نمونه های مختلف  
۱۲۸
- شکل ۳۵-۵ : نحوه آرماتوربندی و بارگذاری نمونه ها  
۱۳۱
- شکل ۳۶-۵ : دیاگرام تغییرات مقاومت نهایی و مود گسیختگی حاکم برای نمونه ها  
۱۳۲
- شکل ۳۷-۵ : دیاگرام تغییرات ضرایب ایمنی برای نمونه های مختلف  
۱۳۲
- شکل ۳۸-۵ : نحوه آرماتوربندی نمونه ها  
۱۳۴
- شکل ۳۹-۵ : دیاگرام تغییرات مقاومت نهایی و مود گسیختگی حاکم برای نمونه های شاهد  
۱۳۶
- شکل ۴۰-۵ : دیاگرام تغییرات مقاومت نهایی و مود گسیختگی حاکم نمونه های تقویت شده با اندیس ۲  
۱۳۶
- شکل ۴۱-۵ : دیاگرام تغییرات مقاومت نهایی و مود گسیختگی حاکم نمونه های تقویت شده با اندیس ۳  
۱۳۷
- شکل ۴۲-۵ : دیاگرام تغییرات ضرایب ایمنی برای نمونه های مختلف  
۱۳۷
- شکل ۴۳-۵ : نحوه آرماتوربندی و بارگذاری نمونه ها  
۱۴۱
- شکل ۴۴-۵ : دیاگرام تغییرات مقاومت نهایی و مود گسیختگی حاکم برای نمونه های سری اول  
۱۴۲
- شکل ۴۵-۵ : دیاگرام تغییرات مقاومت نهایی و مود گسیختگی حاکم برای نمونه های سری دوم  
۱۴۲
- شکل ۴۶-۵ : دیاگرام تغییرات ضرایب ایمنی برای نمونه های مختلف  
۱۴۳
- شکل ۴۷-۵ : دیاگرام تغییرات مقاومت نهایی و مود گسیختگی حاکم برای نمونه های مختلف  
۱۴۶
- شکل ۴۸-۵ : دیاگرام تغییرات ضرایب ایمنی برای نمونه های مختلف  
۱۴۶
- شکل ۴۹-۵ : دیاگرام تغییرات مقاومت نهایی و مود گسیختگی حاکم برای نمونه های مختلف  
۱۴۹
- شکل ۵۰-۵ : دیاگرام تغییرات ضرایب ایمنی برای نمونه های مختلف  
۱۴۹
- شکل ۵۱-۵ : دیاگرام تغییرات مقاومت نهایی و مود گسیختگی حاکم برای نمونه های سری A  
۱۵۳
- شکل ۵۲-۵ : دیاگرام تغییرات مقاومت نهایی و مود گسیختگی حاکم برای نمونه های سری B  
۱۵۳
- شکل ۵۳-۵ : دیاگرام تغییرات ضرایب ایمنی برای نمونه های مختلف  
۱۵۴
- شکل ۵۴-۵ : نحوه آرماتوربندی نمونه ها  
۱۵۶
- شکل ۵۵-۵ : دیاگرام تغییرات مقاومت نهایی و مود گسیختگی حاکم برای نمونه های مختلف  
۱۵۸
- شکل ۵۶-۵ : دیاگرام تغییرات ضرایب ایمنی برای نمونه های مختلف  
۱۵۸
- شکل ۵۷-۵ : نحوه آرماتوربندی نمونه ها  
۱۶۰
- شکل ۵۸-۵ : نحوه بارگذاری و مقاومسازی نمونه ها  
۱۶۱
- شکل ۵۹-۵ : دیاگرام تغییرات مقاومت نهایی و مود گسیختگی حاکم برای نمونه های مختلف  
۱۶۲
- شکل ۶۰-۵ : دیاگرام تغییرات ضرایب ایمنی برای نمونه های مختلف  
۱۶۲
- شکل ۶۱-۵ : دیاگرام اثرتغییرات عرض FRP بر ممان نهایی حاصله از آیین نامه ها برای نمونه A1  
۱۶۳
- شکل ۶۲-۵ : نحوه آرماتوربندی و بارگذاری نمونه ها  
۱۶۵
- شکل ۶۳-۵ : دیاگرام تغییرات مقاومت برشی نهایی برای نمونه های مختلف  
۱۶۷
- شکل ۶۴-۵ : دیاگرام تغییرات ضرایب ایمنی برای نمونه های مختلف  
۱۶۷
- شکل ۶۵-۵ : تغییرات مقاومت برشی حاصله از آیین نامه ها نسبت به تغییرات ضخامت FRP، نمونه C-1  
۱۶۸
- شکل ۶۶-۵ : نحوه آرماتوربندی و بارگذاری نمونه ها  
۱۷۰

۱۷۰	شکل ۵-۶۷ : نحوه تقویت برشی نمونه های مختلف به وسیله FRP
۱۷۲	شکل ۵-۶۸ : دیاگرام تغییرات مقاومت برشی نهايی برای نمونه های مختلف
۱۷۲	شکل ۵-۶۹ : دیاگرام تغییرات ضرایب ایمنی برای نمونه های مختلف
۱۷۳	شکل ۵-۷۰ : تغییرات مقاومت برشی حاصله از آیین نامه ها نسبت به تغییرات عرض FRP ، نمونه SO
۱۷۵	شکل ۵-۷۱ : نحوه آرماتوربندی نمونه ها
۱۷۶	شکل ۵-۷۲ : نحوه تقویت نمونه ها
۱۷۶	شکل ۵-۷۳ : نحوه بارگذاری نمونه ها
۱۷۸	شکل ۵-۷۴ : دیاگرام تغییرات مقاومت برشی نهايی برای نمونه های مختلف
۱۷۸	شکل ۵-۷۵ : دیاگرام تغییرات ضرایب ایمنی برای نمونه های مختلف
۱۷۹	شکل ۵-۷۶ : تغییرات مقاومت برشی حاصله از آیین نامه ها نسبت به تغییرات عرض نوارهای FRP
۱۸۱	شکل ۵-۷۷ : نحوه آرماتوربندی و ابعاد نمونه ها
۱۸۱	شکل ۵-۷۸ : نحوه مهاربندی نمونه BT5
۱۸۲	شکل ۵-۷۹ : نحوه تقویت برشی نمونه ها
۱۸۴	شکل ۵-۸۰ : دیاگرام تغییرات مقاومت برشی نهايی برای نمونه های مختلف
۱۸۴	شکل ۵-۸۱ : دیاگرام تغییرات ضرایب ایمنی برای نمونه های مختلف
۱۸۸	شکل ۵-۸۲ : دیاگرام تغییرات مقاومت فشاری بتن برای نمونه های مختلف
۱۸۸	شکل ۵-۸۳ : دیاگرام تغییرات ضرایب ایمنی برای نمونه های مختلف
۱۹۱	شکل ۵-۸۴ : دیاگرام تغییرات مقاومت فشاری بتن برای نمونه های مختلف
۱۹۱	شکل ۵-۸۵ : دیاگرام تغییرات ضرایب ایمنی برای نمونه های مختلف
۱۹۴	شکل ۵-۸۶ : دیاگرام تغییرات مقاومت فشاری بتن برای نمونه های مختلف
۱۹۴	شکل ۵-۸۷ : دیاگرام تغییرات ضرایب ایمنی برای نمونه های مختلف
۱۹۷	شکل ۵-۸۸ : دیاگرام تغییرات مقاومت فشاری بتن برای نمونه های مختلف
۱۹۷	شکل ۵-۸۹ : دیاگرام تغییرات ضرایب ایمنی برای نمونه های مختلف

## فهرست جداول :

جدول ۱-۱ : ضریب کاهش محیطی برای سیستمهای FRP مختلف با شرایط درمعرض قرارگیری گوناگون	۱۱
جدول ۲-۱ : حدود تنشی بارگذاری دائم و نوسانی در حالت سرویس در FRP های تقویت کننده	۱۵
جدول ۲-۲ : ضرایب ایمنی مواد $\gamma_f$ , FRP	۲۴
جدول ۲-۳ : مقادیر $k_1/k_2$ برای دیاگرامهای مختلف خمش	۴۰
جدول ۳-۲ : مقادیر مختلف $k_2$	۴۷
جدول ۳-۳ : ضرایب ایمنی برای مدول الاستیسیته در حالت حد نهایی	۵۵
جدول ۳-۴ : ضرایب ایمنی مقاومت در حالت حد نهایی	۵۶
جدول ۳-۵ : مقادیر توصیه شده از ضرایب ایمنی	۵۶
جدول ۴-۳ : ضرایب بار در شرایط مختلف براساس BS 8110	۵۶
جدول ۴-۴ : ماکریمم محدوده تنشی براساس نسبتی از مقاومت نهایی طراحی (%)	۶۳
جدول ۵-۳ : ماکریمم تنش تحت بار سرویس جهت اجتناب از گسیختگی تنشی	۶۳
جدول ۱-۴ : ضرایب مقاومت بتن و آرماتورهای فولادی	۷۲
جدول ۲-۴ : ضریب کاهش محیطی برای سیستمهای FRP مختلف با شرایط درمعرض قرارگیری گوناگون	۸۱
جدول ۱-۵ : خصوصیات تیر و FRP مربوط به سری E1	۸۸
جدول ۲-۵ : خصوصیات تیر و FRP مربوط به سری E2	۸۹
جدول ۳-۵ : خصوصیات تیر و FRP مربوط به سری E3	۸۹
جدول ۴-۵ : نتایج ممان نهایی مقطع و میزان افزایش آن نسبت به قبل از تقویت برای بخش اول	۹۰
جدول ۵-۵ : نتایج مود گسیختگی حاکم برای بخش اول	۹۰
جدول ۶-۵ : میانگین و انحراف معیار ضرایب ایمنی ۱۶ تیر در حالت خمش قبل از مقاومسازی	۹۱
جدول ۷-۵ : ضرایب ایمنی و انحراف معیار آنها به همراه درصد تطابق مود حاکم گسیختگی	۹۲
جدول ۸-۵ : میانگین ضرایب ایمنی و انحراف معیار به همراه درصد تطابق مود گسیختگی E1, E2 و E3	۹۲
جدول ۹-۵ : خصوصیات تیر و FRP مربوط به سری اول ( $h/b = 1$ )	۹۸
جدول ۱۰-۵ : خصوصیات تیر و FRP مربوط به سری اول ( $h/b = 0.5$ )	۹۹
جدول ۱۱-۵ : خصوصیات تیر و FRP مربوط به سری اول ( $h/b = 4$ )	۹۹
جدول ۱۲-۵ : نتایج ممان نهایی مقطع و میزان افزایش آن نسبت به قبل از تقویت برای بخش اول	۱۰۰
جدول ۱۳-۵ : نتایج مود گسیختگی حاکم برای بخش دوم	۱۰۰
جدول ۱۴-۵ : ضرایب ایمنی و انحراف معیار آنها به همراه درصد تطابق مود حاکم گسیختگی	۱۰۱
جدول ۱۵-۵ : خصوصیات تیر و FRP مربوط به سری U-E1	۱۰۸
جدول ۱۶-۵ : خصوصیات تیر و FRP مربوط به سری U-E2	۱۰۹
جدول ۱۷-۵ : خصوصیات تیر و FRP مربوط به سری U-E3	۱۰۹
جدول ۱۸-۵ : نتایج ممان نهایی مقطع و میزان افزایش آن نسبت به قبل از تقویت برای بخش سوم	۱۱۰

۱۱۰	جدول ۱۹-۵ : نتایج مود گسیختگی حاکم برای بخش سوم
۱۱۱	جدول ۲۰-۵ : ضرایب ایمنی و انحراف معیار به همراه درصد تطابق مود گسیختگی در بارگذاری گسترده
۱۱۱	جدول ۲۱-۵ : میانگین ضرایب ایمنی و انحراف معیار و درصد تطابق مود گسیختگی برای همه نمونه ها
۱۱۵	جدول ۲۲-۵ : خصوصیات تیر و FRP در نمونه ها
۱۱۶	جدول ۲۳-۵ : نتایج مقاومت نهایی و مود گسیختگی حاکم برای نمونه ها
۱۱۹	جدول ۲۴-۵ : ضرایب ایمنی و انحراف معیار آنها به همراه درصد تطابق مود گسیختگی نسبت به نتایج عملی
۱۲۱	جدول ۲۵-۵ : خصوصیات تیر و FRP در نمونه ها
۱۲۲	جدول ۲۶-۵ : نتایج مقاومت نهایی و مود گسیختگی حاکم برای نمونه ها
۱۲۴	جدول ۲۷-۵ : ضرایب ایمنی و انحراف معیار به همراه درصد تطابق مود گسیختگی نسبت به نتایج عملی
۱۲۵	جدول ۲۸-۵ : خصوصیات تیر و FRP در نمونه ها
۱۲۶	جدول ۲۹-۵ : نتایج مقاومت نهایی و مود گسیختگی حاکم برای نمونه ها
۱۲۸	جدول ۳۰-۵ : ضرایب ایمنی و انحراف معیار به همراه درصد تطابق مود گسیختگی نسبت به نتایج عملی
۱۳۰	جدول ۳۱-۵ : خصوصیات تیر و FRP در نمونه ها
۱۳۱	جدول ۳۲-۵ : نتایج مقاومت نهایی و مود گسیختگی حاکم برای نمونه ها
۱۳۱	جدول ۳۳-۵ : ضرایب ایمنی و انحراف معیار به همراه درصد تطابق مود گسیختگی نسبت به نتایج عملی
۱۳۳	جدول ۳۴-۵ : نتایج میزان افزایش مقاومت نهایی نمونه های نظیر هم در دو سری A و B
۱۳۴	جدول ۳۵-۵ : خصوصیات تیر و FRP در نمونه ها
۱۳۵	جدول ۳۶-۵ : نتایج مقاومت نهایی و مود گسیختگی حاکم برای نمونه ها
۱۳۵	جدول ۳۷-۵ : ضرایب ایمنی و انحراف معیار به همراه درصد تطابق مود گسیختگی نسبت به نتایج عملی
۱۳۸	جدول ۳۸-۵ : میزان افزایش نسبی مقاومت نهایی دو سری B و C نسبت به نمونه نظیر آنها در سری A
۱۳۸	جدول ۳۹-۵ : افزایش نسبی مقاومت در هر سری از نمونه های تقویت شده نسبت به نمونه شاهد نظیر آن
۱۴۰	جدول ۴۰-۵ : خصوصیات تیر و FRP در نمونه ها
۱۴۰	جدول ۴۱-۵ : نتایج مقاومت نهایی و مود گسیختگی حاکم برای نمونه ها
۱۴۱	جدول ۴۲-۵ : ضرایب ایمنی و انحراف معیار به همراه درصد تطابق مود گسیختگی نسبت به نتایج عملی
۱۴۴	جدول ۴۳-۵ : خصوصیات تیر و FRP در نمونه ها
۱۴۵	جدول ۴۴-۵ : نتایج مقاومت نهایی و مود گسیختگی حاکم برای نمونه ها
۱۴۵	جدول ۴۵-۵ : ضرایب ایمنی و انحراف معیار به همراه درصد تطابق مود گسیختگی نسبت به نتایج عملی
۱۴۵	جدول ۴۶-۵ : میانگین درصد کاهش مقاومت نهایی سری دوم نمونه ها نسبت به سری اول
۱۴۸	جدول ۴۷-۵ : خصوصیات تیر و FRP در نمونه ها
۱۴۸	جدول ۴۸-۵ : نتایج مقاومت نهایی و مود گسیختگی حاکم برای نمونه ها
۱۵۰	جدول ۴۹-۵ : ضرایب ایمنی و انحراف معیار به همراه درصد تطابق مود گسیختگی نسبت به نتایج عملی
۱۵۱	جدول ۵۰-۵ : خصوصیات تیر و FRP در نمونه ها
۱۵۲	جدول ۵۱-۵ : نتایج مقاومت نهایی و مود گسیختگی حاکم برای نمونه ها

۱۵۲	جدول ۵۲-۵ : ضرایب ایمنی و انحراف معیار به همراه درصد تطابق مود گسیختگی نسبت به نتایج عملی
۱۵۵	جدول ۵۳-۵ : ضرایب ایمنی اصلاح شده
۱۵۶	جدول ۵۴-۵ : خصوصیات تیر و FRP در نمونه ها
۱۵۷	جدول ۵۵-۵ : نتایج مقاومت نهایی و مود گسیختگی حاکم برای نمونه ها
۱۵۷	جدول ۵۶-۵ : ضرایب ایمنی و انحراف معیار به همراه درصد تطابق مود گسیختگی نسبت به نتایج عملی
۱۶۰	جدول ۵۷-۵ : خصوصیات تیر و FRP در نمونه ها
۱۶۱	جدول ۵۸-۵ : نتایج مقاومت نهایی و مود گسیختگی حاکم برای نمونه ها
۱۶۳	جدول ۵۹-۵ : ضرایب ایمنی و انحراف معیار به همراه درصد تطابق مود گسیختگی نسبت به نتایج عملی
۱۶۶	جدول ۶۰-۵ : خصوصیات تیر و FRP
۱۶۶	جدول ۶۱-۵ : نتایج سهم مقاومت برشی بتن و FRP برای نمونه ها
۱۶۶	جدول ۶۲-۵ : نتایج مقاومت برشی نهایی نمونه ها
۱۶۸	جدول ۶۳-۵ : ضرایب ایمنی و انحراف معیار نتایج آیین نامه ها نسبت به نتایج آزمایشگاهی
۱۷۱	جدول ۶۴-۵ : خصوصیات تیر و FRP
۱۷۱	جدول ۶۵-۵ : نتایج سهم مقاومت برشی بتن و فولاد برای نمونه ها
۱۷۱	جدول ۶۶-۵ : نتایج مقاومت برشی نهایی نمونه ها
۱۷۳	جدول ۶۷-۵ : ضرایب ایمنی و انحراف معیار نتایج آیین نامه ها نسبت به نتایج آزمایشگاهی
۱۷۷	جدول ۶۸-۵ : خصوصیات تیر و FRP
۱۷۷	جدول ۶۹-۵ : نتایج سهم مقاومت برشی بتن و FRP برای نمونه ها
۱۷۷	جدول ۷۰-۵ : نتایج مقاومت برشی نهایی نمونه ها
۱۷۹	جدول ۷۱-۵ : ضرایب ایمنی و انحراف معیار نتایج آیین نامه ها نسبت به نتایج آزمایشگاهی
۱۸۳	جدول ۷۲-۵ : خصوصیات تیر و FRP
۱۸۳	جدول ۷۳-۵ : نتایج سهم مقاومت برشی بتن و FRP برای نمونه ها
۱۸۳	جدول ۷۴-۵ : نتایج مقاومت برشی نهایی نمونه ها
۱۸۵	جدول ۷۵-۵ : ضرایب ایمنی و انحراف معیار نتایج آیین نامه ها نسبت به نتایج آزمایشگاهی
۱۸۶	جدول ۷۶-۵ : خصوصیات ستون و FRP
۱۸۷	جدول ۷۷-۵ : نتایج مقاومت فشاری بتن ( $f_{cc}$ ) ستونها بعد از اثر ضریب ایمنی
۱۸۷	جدول ۷۸-۵ : ضرایب ایمنی و انحراف معیار نتایج آیین نامه ها نسبت به نتایج آزمایشگاهی
۱۸۷	جدول ۷۹-۵ : نتایج مقاومت فشاری بتن ( $f_{cc}$ ) ستونهای تقویت شده ، قبل از اثر ضریب ایمنی
۱۹۰	جدول ۸۰-۵ : خصوصیات ستون و FRP
۱۹۰	جدول ۸۱-۵ : نتایج مقاومت فشاری بتن ( $f_{cc}$ ) ستونها بعد از اثر ضریب ایمنی
۱۹۰	جدول ۸۲-۵ : ضرایب ایمنی و انحراف معیار نتایج آیین نامه ها نسبت به نتایج آزمایشگاهی
۱۹۲	جدول ۸۳-۵ : نتایج مقاومت فشاری بتن ( $f_{cc}$ ) ستونهای تقویت شده ، قبل از اثر ضریب ایمنی
۱۹۳	جدول ۸۴-۵ : خصوصیات ستون و FRP

۱۹۳	جدول ۸۵-۵ : نتایج مقاومت فشاری بتن (f <sub>c</sub> ) ستونها بعد از اثر ضریب ایمنی
۱۹۴	جدول ۸۶-۵ : ضرایب ایمنی و انحراف معیار نتایج آیین نامه ها نسبت به نتایج آزمایشگاهی
۱۹۵	جدول ۸۷-۵ : نتایج مقاومت فشاری بتن (f <sub>c</sub> ) ستونهای تقویت شده ، قبل از اثر ضریب ایمنی
۱۹۶	جدول ۸۸-۵ : خصوصیات ستون و FRP
۱۹۶	جدول ۸۹-۵ : نتایج مقاومت فشاری بتن (f <sub>c</sub> ) ستونها بعد از اثر ضریب ایمنی
۱۹۶	جدول ۹۰-۵ : ضرایب ایمنی و انحراف معیار نتایج آیین نامه ها نسبت به نتایج آزمایشگاهی
۱۹۸	جدول ۹۱-۵ : نتایج مقاومت فشاری بتن (f <sub>c</sub> ) ستونهای تقویت شده ، قبل از اثر ضریب ایمنی
۲۰۰	جدول ۱-۶ : میانگین ضرایب ایمنی تیرهای تقویت نشده به همراه انحراف معیار آنها
۲۰۱	جدول ۲-۶ : میانگین ضرایب ایمنی تیرهای تقویت شده به همراه انحراف معیار و درصد تطابق گسیختگی
۲۰۱	جدول ۳-۶ : میانگین ضرایب ایمنی کل نمونه ها به همراه انحراف معیار و درصد تطابق مود گسیختگی
۲۰۳	جدول ۴-۶ : میانگین ضرایب ایمنی تیرهای تقویت نشده به همراه انحراف معیار آنها
۲۰۴	جدول ۵-۶ : میانگین ضرایب ایمنی تیرهای تقویت شده به همراه انحراف معیار آنها
۲۰۴	جدول ۶-۶ : میانگین ضرایب ایمنی کل نمونه ها به همراه انحراف معیار آنها
۲۰۵	جدول ۶-۶ : میانگین ضرایب ایمنی ستونهای تقویت نشده به همراه انحراف معیار آنها
۲۰۶	جدول ۷-۶ : میانگین ضرایب ایمنی ستونهای تقویت شده به همراه انحراف معیار آنها
۲۰۷	جدول ۸-۶ : میانگین ضرایب ایمنی کل نمونه ها به همراه انحراف معیار آنها

## نمادهای استفاده شده در روابط ACI :

سطح مقطع FRP	=	$A_f$
سطح مقطع FRP های برشی	=	$A_{fv}$
سطح مقطع کل	=	$A_g$
سطح مقطع آرماتورهای فولادی غیرپیش تنیده	=	$A_s$
سطح مقطع آرماتورهای طولی	=	$A_{st}$
عرض سطح مقطع مستطیلی	=	$b$
عرض جان مقطع مستطیلی و یا قطر مقطع دایره ای	=	$b_w$
عمق تارخنی از تار فشاری	=	$c$
ضریب کاهش محیطی	=	$C_E$
عمق آرماتورهای طولی کششی از تار فشاری	=	$d$
عمق تقویت کننده های برشی FRP	=	$d_f$
مدول الاستیسیته بتن	=	$E_c$
مدول الاستیسیته کششی FRP	=	$E_f$
مدول الاستیسیته فولاد	=	$E_s$
تنش فشاری بتن	=	$f_c$
مقاومت مشخصه فشاری بتن	=	$f'_c$
مقاومت فشاری ظاهری بتن محبوس شده	=	$f_{cc}$
مقدار تنش در تقویت کننده های FRP	=	$f_f$
مقدار تنش در FRP ناشی از ممان اعمال شده در محدوده الاستیک عضو	=	$f_{f,s}$
تنش مؤثر FRP	=	$f_{fe}$
تنشنهایی کششی FRP ارائه شده توسط سازنده	=	$f_{fu}^*$
مقاومت کششی نهایی طراحی FRP	=	$f_{fu}$
فشار حبس کنندگی ناشی از پوشش FRP	=	$f_l$
تنش در آرماتورهای فولادی غیر پیش تنیده	=	$f_s$
مقدار تنش در آرماتورهای فولادی تحت بار سرویس	=	$f_{s,s}$
مقاومت مشخصه تسلیم آرماتورهای فولادی	=	$f_y$
عمق کلی مقطع	=	$h$
ممان اینرسی مقطع معادل ترک خورده بتنی	=	$I_{cr}$
نسبت عمق تارخنی به عمق آرماتورهای کششی فولادی	=	$k$
سختی در واحد عرض برای هر لایه از FRP	=	$k_f$
ضریب اصلاح بکاررفته در $K_v$ برای به حساب آوردن مقاومت بتن	=	$k_l$

ضریب اصلاح بکاررفته در FRP	=	$k_2$
طول مؤثر اتصال برای لایه FRP	=	$L_e$
طول گسترش یافته از سیستم FRP	=	$l_{df}$
ممان ترک خوردگی	=	$M_{cr}$
مقاومت ممان اسمی	=	$M_n$
ممان محدوده الاستیک عضو	=	$M_s$
ممان نهایی مقطع	=	$M_u$
تعداد لایه های FRP	=	$n$
مقاومت کششی نهایی در واحد عرض FRP	=	$P_{fit}^*$
مقاومت بار محوری اسمی	=	$P_n$
شعاع گوشه های مقاطع مربعی و مستطیلی محبوس شده توسط FRP	=	$r$
مقاومت اسمی عضو	=	$R_n$
مقاومت اسمی عضو که تحت درجه حرارت های مختلف به واسطه حریق قرار می گیرد	=	$R_{n\phi}$
اثرات بار مرده	=	$SDL$
فاصله تقویت کننده های FRP بر روی	=	$S_f$
اثرات بار زنده	=	$SLL$
ضخامت اسمی یک لایه از تقویت کننده FRP	=	$t_f$
درجه حرارت انتقال	=	$T_g$
سهم مقاومت بر روی بتن	=	$V_c$
مقاومت بر روی اسمی	=	$V_n$
سهم مقاومت بر روی فولادهای عرضی	=	$V_s$
سهم مقاومت بر روی FRP های عرضی	=	$V_f$
عرض لایه های FRP	=	$W_f$
راستای قرارگیری خاموتها و تنگها	=	$\alpha$
ضریب انبساط حرارتی طولی	=	$\alpha_L$
ضریب انبساط حرارتی عرضی	=	$\alpha_T$
نسبت عمق بلوك تنش مستطيلی معادل به عمق تارخني	=	$\beta_i$
مقدار کرنش در بتن بستر	=	$\varepsilon_b$
مقدار کرنش در بتن بستر در زمان نصب FRP	=	$\varepsilon_{bi}$
مقدار کرنش در بتن	=	$\varepsilon_c$
کرنش فشاری مفید ماکریم در بتن محبوس شده با FRP	=	$\varepsilon^{'}_{cc}$
کرنش فشاری مفید ماکریم در بتن	=	$\varepsilon_{cu}$
کرنش FRP	=	$\varepsilon_f$

کرنش مؤثر FRP	=	$\epsilon_{fe}$
کرنش گسیختگی طراحی FRP	=	$\epsilon_{fu}$
کرنش گسیختگی نهایی FRP	=	$\epsilon_{*fu}$
کرنش آرماتورهای فولادی	=	$\epsilon_s$
کرنش معادل تسليم آرماتورهای فولادی	=	$\epsilon_{sy}$
ضریب کاهش مقاومت	=	$\phi$
ضریب استفاده شده در تعیین بلوک مستطیلی معادل در بتن فشاری	=	$\gamma$
ضریب اثر FRP	=	$K_a$
ضریب چسبندگی استفاده شده در خمین برای FRP	=	$K_m$
ضریب چسبندگی استفاده شده در برش برای FRP	=	$K_v$
نسبت تقویت کننده های FRP موجود	=	$\rho_f$
نسبت سطح مقطع آرماتورهای فولادی به سطح مقطع کل عضو فشاری	=	$\rho_g$
نسبت آرماتورهای فولادی موجود	=	$\rho_s$
انحراف استاندارد	=	$\sigma$
ضریب کاهش مقاومت FRP	=	$\psi_f$

فاصله انتهای FRP تا تکیه گاه	=	L
طول مفصل پلاستیک	=	$L_p$
ممان خمشی ماکریم ستون	=	M
ممان ترک خوردگی	=	$M_{cr}$
ممان طراحی	=	$M_d$
مقدار مشخصه ممان	=	$M_k$
ممان واردہ در طول مقاومسازی	=	$M_o$
ممان مقاوم طراحی	=	$M_{Rd}$
ظرفیت ممان ستون بعد از ترمیم	=	$M_u$
ممان واردہ بر مقطع در محل انتهای لایه FRP	=	$M_{x=0}$
نیروی بتن	=	$N_c$
نیروی FRP	=	$N_f$
مقدار طراحی نیروی FRP	=	$N_{fd}$
نیروی FRP که باید مهار شود	=	$N_{fa}$
ماکریم نیروی مهاربندی FRP	=	$N_{fa,max}$
مقدار طراحی نیروی آرماتورهای فولادی	=	$N_{sd}$
نیروی آرماتورهای فولادی کششی	=	$N_{s1}$
نیروی آرماتورهای فولادی فشاری	=	$N_{s2}$
انحنای سطح	=	R
مقدار طراحی سهم مقاومت پیچشی FRP	=	$T_{fd}$
درجه حرارت انتقال	=	$T_g$
ماکریم نیروی برشی ستون	=	V
ظرفیت برشی طراحی بتن	=	$V_{cd}$
نیروی برشی طراحی	=	$V_d$
مقدار طراحی سهم نیروی برشی FRP	=	$V_{fd}$
حجم مشخصه آلیافها	=	$V_{fib}$
حجم مشخصه ماتریس	=	$V_m$
برش مقاوم طراحی	=	$V_{Rd}$
برش مقاوم طراحی از یک مقطع بدون تقویت کننده برشی	=	$V_{Rd1}$
نیروی برشی طراحی که می تواند بدون گسیختگی جان تحمل شود	=	$V_{Rd2}$
نیروی برشی مقاوم که در آن جداشده ناشی از ترک برشی شروع می شود	=	$V_{Rp}$
نیروی برشی طراحی	=	$V_{sd}$
ظرفیت برشی ستون بعد از ترمیم	=	$V_u$

سهم آرماتورهای فولادی برشی در ظرفیت برشی طراحی	=	$V_{wd}$
مقدار برش اعمال شده بر مقطع در انتهای لایه FRP	=	$V_{x=0}$
خیز و یا دهانه برشی	=	a
خیز در حالت ترک نخورده	=	$a_1$
خیز در حالت ترک خورده کامل	=	$a_2$
عرض تیر	=	b
عرض FRP	=	$b_f$
حداقل عرض مقطع در بالای عمق مؤثر	=	$b_w$
ضریب وابسته به انرژی گسیختگی بتن در مقاومت کششی متوسط	=	$c_f$
عمق مؤثر عضو	=	d
قطر پوشش FRP محبوس کننده	=	$d_j$
قطر آرماتورهای فولادی	=	$d_s$
فاصله مرکز فولاد کششی تا دورترین تار فشاری	=	$d_1$
فاصله مرکز فولاد فشاری تا دورترین تار فشاری	=	$d_2$
مقاومت برشی طراحی اتصال بتن	=	$f_{cbd}$
مقاومت بتن محبوس شده	=	$f_{cc}$
مقدار طراحی مقاومت فشاری بتن	=	$f_{cd}$
مقدار مشخصه مقاومت فشاری بتن	=	$f_{ck}$
مقدار متوسط مقاومت فشاری بتن	=	$f_{cm}$
مقاومت بتن محبوس نشده	=	$f_{co}$
مقدار طراحی مقاومت کششی بتن	=	$f_{ctd}$
مقاومت خمشی بتن	=	$f_{ct,fl}$
مقدار مشخصه مقاومت کششی بتن	=	$f_{ctk}$
حد نهایی مقاومت کششی بتن	=	$f_{ctk,0.95}$
مقدار متوسط مقاومت کششی بتن	=	$f_{ctm}$
مقاومت نهایی فشاری بتن	=	$f_{cu}$
مقاومت کششی FRP	=	$f_f$
مقدار طراحی مقاومت کششی FRP	=	$f_{fd}$
مقاومت کششی الیافها	=	$f_{fib}$
مقدار مشخصه مقاومت کششی FRP	=	$f_{fk}$
مقدار متوسط مقاومت کششی FRP	=	$f_{fm}$
مقاومت نهایی FRP محبوس کننده	=	$f_j$
تنش محبوس کنندگی ماکریم	=	$f_l$

تنش محبوس کنندگی ماکزیمم مؤثر	=	$f_{leff}$
مقاومت کششی ماتریس	=	$f_m$
مقاومت تسلیم فولاد	=	$f_y$
مقدار طراحی مقاومت تسلیم فولاد	=	$f_{yd}$
مقدار مشخصه مقاومت تسلیم فولاد	=	$f_{yk}$
عمق کلی مقطع	=	$h$
ضخامت بال تیرهای T شکل	=	$h_f$
ضریب وابسته به خمش برای مقاومت کششی بتن	=	$k$
ضریب اندازه	=	$k_b$
ضریب فشردگی بتن	=	$k_c$
ضریب اثر کمانی	=	$k_e$
ضریب وابسته به نوع بارگذاری	=	$k_M$
طول دهانه	=	$l$
طول اتصال	=	$l_b$
طول تیر طره	=	$l_c$
ماکزیمم طول مهاری	=	$l_{b,max}$
طول انتقال	=	$l_t$
گام دورپیچ	=	$p$
شعاع دورپیچ	=	$r$
شعاع گوشه های گرد شده	=	$r_c$
فاصله حلقه ها	=	$s$
فاصله باز بین دورپیچ های FRP	=	$s'$
فاصله نسبی بین FRP و بتن	=	$S_f$
پارامترهای مربوط به مدل تقریب اتصال	=	$S_f\pi, S_f\theta$
ماکزیمم فاصله FRP	=	$S_{f,max}$
مقدار متوسط فاصله ترکها	=	$S_{rm}$
ضخامت چسب	=	$t_a$
ضخامت FRP	=	$t_f$
ضخامت اسمی ورقه الیاف	=	$t_{fib}$
ضخامت FRP محبوس کننده	=	$t_j$
محیط اتصال FRP در واحد طول	=	$u_f$
محیط اتصال آرماتورهای فولادی در واحد طول	=	$u_s$
فاصله بین گوشه های گرد شده	=	$w'_i$

مقدار مشخصه عرض ترک	=	$W_k$
عمق ناحیه فشاری	=	$x$
عمق ناحیه فشاری بدست آمده از آنالیز الاستیک خطی	=	$x_e$
مقدار حد عمق ناحیه فشاری	=	$x_{lim}$
عمق ناحیه فشاری قبل از مقاومسازی	=	$x_o$
بازوی لنگر	=	$z_e$
بازوی متوسط لنگر نیروهای داخلی	=	$z_m$
انحناء در لحظه نهایی	=	$\Phi_u$
انحناء در لحظه تسلیم	=	$\Phi_y$
ضریب کاهش اثر ترکهای مورب در مقاومت اتصال ، یا	=	$\alpha$
ضریب کاهش مقاومت فشاری کاهش یافته تحت بارگذاری درازمدت ، یا		
زاویه بین راستای الیافها و محور طولی عضو		
ضریبی که وابسته به مقدار متوسط و مشخصه عرض ترک است	=	$\beta$
ضریبی که اثر خصوصیات اتصال تقویت کننده مورد استفاده را به حساب می آورد	=	$\beta_1$
ضریبی که اثر نوع بارگذاری را به حساب می آورد	=	$\beta_2$
ضریب ایمنی چسبها	=	$\gamma_a$
ضریب ایمنی بتن	=	$\gamma_c$
ضریب ایمنی بتن ( با درنظر گرفتن گسیختگی اتصال )	=	$\gamma_{cb}$
ضریب ایمنی بارگذاری	=	$\gamma_F$
ضریب ایمنی FRP	=	$\gamma_f$
ضریب ایمنی FRP برای حالتی که گسیختگی اتصال مود حاکم باشد	=	$\gamma_{fb}$
ضریب ایمنی مواد	=	$\gamma_M$
ضریب ایمنی آرماتورهای فولادی	=	$\gamma_s$
ضریب مرکز سطح بلوك تنشی	=	$\delta_G$
شاخص شکل پذیری انحناء	=	$\delta_\chi$
شاخص حداقل شکل پذیری انحناء	=	$\delta_{\chi,min}$
کرنش	=	$\epsilon$
کرنش سطحی بتن	=	$\epsilon_A$
کرنش بتن در دورترین تار فشاری ، یا	=	$\epsilon_c$
کرنش محوری بتن		
کرنش فشاری در مقاومت فشاری نهایی ناشی از محبوس کنندگی	=	$\epsilon_{cc}$
کرنش اولیه بتن در دورترین تار فشاری قبل از مقاومسازی ، یا	=	$\epsilon_{co}$
کرنش بتن غیر محبوس شده در ماکرژیم تنش		

کرنش نهایی بتن	=	$\varepsilon_{cu}$
کرنش FRP	=	$\varepsilon_f$
مقدار طراحی کرنش مؤثر FRP	=	$\varepsilon_{f,d,e}$
کرنش مؤثر FRP	=	$\varepsilon_{f,e}$
مقدار طراحی کرنش مؤثر FRP	=	$\varepsilon_{f,k,e}$
کرنش حد FRP	=	$\varepsilon_{f,lim}$
حداقل کرنش نهایی مجاز FRP	=	$\varepsilon_{f,min}$
کرنش نهایی FRP	=	$\varepsilon_{fu}$
کرنش نهایی FRP در سطح مقطع بحرانی	=	$\varepsilon_{fu,c}$
مقدار طراحی کرنش نهایی FRP	=	$\varepsilon_{fud}$
کرنش نهایی مؤثر FRP	=	$\varepsilon_{fue}$
مقدار مشخصه کرنش نهایی FRP	=	$\varepsilon_{fuk}$
مقدار متوسط کرنش نهایی FRP	=	$\varepsilon_{fum}$
کرنش محیطی در FRP محبوس کننده	=	$\varepsilon_j$
کرنش محیطی نهایی مؤثر در FRP محبوس کننده	=	$\varepsilon_{ju}$
کرنش محیطی در FRP محبوس کننده	=	$\varepsilon_{j=l}$
کرنش جانبی بتن	=	$\varepsilon_l$
کرنش جانبی نهایی بتن	=	$\varepsilon_{lu}$
ماکریم کرنش مجاز FRP	=	$\varepsilon_{max}$
کرنش در آرماتور	=	$\varepsilon_r$
کرنش متوسط آرماتورهای فولادی	=	$\varepsilon_{rm,r}$
کرنش نهایی آرماتورهای فولادی	=	$\varepsilon_{su}$
کرنش نهایی فولاد در مقطع بحرانی	=	$\varepsilon_{su,c}$
کرنش فولاد کششی	=	$\varepsilon_{s1}$
کرنش فولاد فشاری	=	$\varepsilon_{s2}$
مقدار طراحی کرنش تسلیم در آرماتورهای فولادی	=	$\varepsilon_{yd}$
مقدار مشخصه کرنش تسلیم در آرماتورهای فولادی	=	$\varepsilon_{yk}$
کرنش اولیه در دورترین تار کششی قبل از مقاومسازی	=	$\varepsilon_o$
کرنش آرماتورهای کششی در حالت ترک خورده	=	$\varepsilon_2$
ضریب سختی کششی	=	$\gamma$
ضریب سختی کششی	=	$\gamma_b$
ضریب حد تنش FRP برای به حساب آوردن گسیختگی خزشی	=	$\eta$
زاویه ترکهای قطری نسبت به محور عضو	=	$\theta$

نرخ تأخیر	=	$\mu$
ضریب شکل پذیری جابجایی	=	$\mu_d$
ضریب شکل پذیری انحناء	=	$\mu_\phi$
عمق نسبی ناحیه فشاری	=	$\xi = x/d$
پارامتر اتصال	=	$\xi_b$
نسبت سطح مقطع مؤثر بتن در کشش	=	$\rho_{c,eff}$
نسبت تقویت کننده های معادل	=	$\rho_{eq}$
نسبت تقویت کننده های FRP	=	$\rho_f$
نسبت حجمی پوششهای FRP در ستونهای دایره ای	=	$\rho_j$
نسبت حجمی پوششهای FRP در ستونهای مستطیلی در راستای x	=	$\rho_{jx}$
نسبت حجمی پوششهای FRP در ستونهای مستطیلی در راستای y	=	$\rho_{jy}$
نسبت آرماتورهای فولادی طولی	=	$\rho_s$
نسبت آرماتورهای فولادی طولی به سطح مقطع کل	=	$\rho_{sg}$
نسبت حجمی آرماتورهای عرضی	=	$\rho_{st}$
تنش	=	$\sigma$
تنش بتن	=	$\sigma_c$
تنش FRP	=	$\sigma_f$
مقدار طراحی تنش کششی FRP در انتهای مهار	=	$\sigma_{fad}$
مقدار طراحی ماکریم افزایش ممکن در تنش کششی مهاری FRP	=	$\sigma_{fad,max}$
مقدار مشخصه ماکریم افزایش ممکن در تنش کششی مهاری FRP	=	$\sigma_{fak,max}$
مقدار طراحی تنش FRP	=	$\sigma_{fd}$
مقدار طراحی ماکریم افزایش ممکن در تنش کششی FRP بین دو ترک متواالی	=max	$\Delta\sigma_{fd}$
تنش مشخصه FRP	=	$\sigma_{fk}$
مقدرا طراحی ماکریم افزایش ممکن در تنش کششی FRP بین دو ترک متواالی	=max	$\Delta\sigma_{fk}$
تنش در FRP محبوس کننده	=	$\sigma_j$
فشار حبس کنندگی جانبی	=	$\sigma_l$
فشار حبس کنندگی جانبی ناشی از دورپیچ دایره ای FRP	=	$\sigma_{l,c}$
تنش حبس کنندگی جانبی مؤثر	=	$\sigma_{l,eff}$
فشار حبس کنندگی جانبی ناشی از مارپیچ FRP	=	$\sigma_{l,h}$
تنش در تقویت کننده	=	$\sigma_r$
تنش فولاد	=	$\sigma_s$
تنش برشی اتصال	=	$\tau_b$
ماکریم افزایش برشی در مدل دو خطی اتصال	=	$\tau_{fl}$

مقدار مشخصه ماکزیمم تنش برشی در مدل دو خطی اتصال	=	$\tau_{flk}$
تنش متوسط اتصال FRP	=	$\tau_{fjm}$
مقدار طراحی مقاومت برشی مقاومت بتن	=	$\tau_{Rd}$
مقاومت برشی مشخصه بتن	=	$\tau_{Rk}$
تنش برشی مقاوم ناشی از شروع جداشدگی	=	$\tau_{Rp}$
تنش متوسط اتصال آرماتورهای فولادی	=	$\tau_{sm}$
انحناء در حالت نهایی	=	$\chi_u$
انحناء در حالت تسلیم	=	$\chi_v$
ضریب ترکیب بار ، یا	=	$\psi$
ضریب سطح بلوك تنشی		

## نمادهای استفاده شده در روابط : T.R. UK

سطح مقطع FRP	=	$A_f$
سطح مقطع مؤثر FRP‌های کششی مهارشده	=	$A_{f\alpha}$
سطح مقطع FRP‌های برشی	=	$A_{fv}$
سطح مقطع آرماتورهای فولادی کششی	=	$A_s$
سطح مقطع آرماتورهای فولادی فشاری	=	$A'_s$
عرض مقطع	=	$b$
عرض لایه چسب	=	$b_a$
عرض صفحه FRP	=	$b_f$
عرض تیر یا فاصله بین صفحات در دال	=	$b_w$
قطر ستون	=	$D$
عمق مؤثر مقطع	=	$d$
عمق مؤثر فولاد فشاری	=	$d'$
عمق مؤثر FRP‌های برشی	=	$d_f$
مدول الاستیسیته بتن	=	$E_c$
مدول الاستیسیته FRP	=	$E_f$
مدول الاستیک طراحی FRP	=	$E_{fd}$
مدول الاستیک مشخصه FRP	=	$E_{fk}$
مدول مماسی بعد از خردشدنگی	=	$E_p$
مدول الاستیسیته فولاد	=	$E_s$
مدول حلقه ای FRP	=	$E_{\theta\theta}$
نیروی کششی FRP	=	$F_f$
نیروی کششی آرماتورهای فولادی	=	$F_s$
نیروی فشاری آرماتورهای فولادی	=	$F'_s$
مقاومت فشاری بتن محبوس شده	=	$f_{cc}$
مقاومت فشاری طراحی بتن محبوس شده	=	$f_{cd}$
مقاومت مشخصه فشاری بتن محبوس شده	=	$f_{ck}$
مقاومت مشخصه فشاری استوانه ای بتن	=	$f_{ck}$
مقاومت فشاری بتن غیر محبوس شده	=	$f_{co}$
مقاومت کششی بتن	=	$f_{ctm}$
مقاومت مشخصه فشاری مکعبی بتن	=	$f_{cu}$
مقاومت کششی طراحی FRP	=	$f_f$

مقاومت نهایی کششی طراحی FRP	=	$f_{fd}$
مقاومت مشخصه کششی FRP	=	$f_{fk}$
مقاومت متوسط کششی FRP	=	$f_{fm}$
فشار حبس کنندگی	=	$f_r$
مقاومت مشخصه کششی آرماتورهای فولادی	=	$f_y$
مقاومت فشاری آرماتورهای فولادی	=	$f'_y$
بار مرده	=	$G$
عمق کلی مقطع	=	$h$
مدول سکانت سطح مقطع ترک خورده معادل قبل از مقاومسازی	=	$I_{ce}$
مدول سکانت سطح مقطع ترک خورده معادل بعد از مقاومسازی	=	$I_{cs}$
طول مؤثر اتصال	=	$L_e$
طول مهاری	=	$l_t$
ماکزیمم طول مهاری	=	$l_{t,max}$
ممان نهایی طراحی	=	$M$
ظرفیت ممان اضافی لازم	=	$M_{add}$
ظرفیت ممان تیر موجود	=	$M_0$
ممان مقاوم طراحی مقطع تقویت شده	=	$M_r$
ممان بالانس مقاوم	=	$M_{r,b}$
ممان سروپس ناشی شده از بارهای واردہ بدون ضریب	=	$M_s$
ممان نهایی	=	$M_u$
بار زنده	=	$Q$
شعاع ستون	=	$R$
فاصله بین نوارهای FRP	=	$S_f$
نیروی مشخصه گسیختگی اتصال	=	$T_k$
نیروی نهایی گسیختگی اتصال	=	$T_{k,max}$
ضخامت FRP	=	$\psi$
نیروی برشی نهایی در انتهای صفحه	=	$V$
مقاومت برشی بتن	=	$V_{Rc}$
مقاومت برشی عضو موجود	=	$V_{Re}$
مقاومت برشی FRP	=	$V_{Rf}$
مقاومت برشی آرماتورهای عرضی	=	$V_{Rl}$
ماکزیمم مقاومت برشی عضو	=	$V_{R,max}$
مقاومت برشی عضو مقاومسازی شده	=	$V_{Rs}$

نیروی برشی ناشی از بارهای نهايی	=	$V_s$
نیروی برشی طراحی	=	$V_{sd}$
ماکریم تنش برشی مجاز	=	$V_{max}$
عرض نوارهای برشی FRP	=	$W_f$
عرض مؤثر FRP	=	$W_{fe}$
عمق تارخنثی از عضو مقاومسازی شده	=	$X$
عمق تارخنثی از عضو موجود	=	$X_0$
بازوی لنگر	=	$Z$

## نمادهای استفاده شده در روابط : ISIS

سطح مقطع FRP	=	$A_f$
سطح مقطع FRP های برشی	=	$A_{fv}$
سطح مقطع کل	=	$A_g$
سطح مقطع آرماتورهای فولادی غیرپیش تنیده	=	$A_s$
سطح مقطع آرماتورهای طولی	=	$A_{st}$
عرض سطح مقطع مستطیلی	=	$b$
عرض جان مقطع مستطیلی و یا قطر مقطع دایره ای	=	$b_w$
عمق تارخنی از تار فشاری	=	$c$
ضریب کاهش محیطی	=	$C_E$
عمق آرماتورهای طولی کششی از تار فشاری	=	$d$
عمق تقویت کننده های برشی FRP	=	$d_f$
مدول الاستیسیته بتن	=	$E_c$
مدول الاستیسیته کششی FRP	=	$E_f$
مدول الاستیسیته فولاد	=	$E_s$
تنش فشاری بتن	=	$f_c$
مقاومت مشخصه فشاری بتن	=	$f'c$
مقاومت فشاری ظاهری بتن محبوس شده	=	$f_{cc}$
مقدار تنش در تقویت کننده های FRP	=	$f_f$
مقدار تنش در FRP ناشی از ممان اعمال شده در محدوده الاستیک عضو	=	$f_{fs}$
تنش مؤثر FRP	=	$f_{fe}$
تنش نهایی کششی FRP ارائه شده توسط سازنده	=	$f_{fu}^*$
مقاومت کششی نهایی طراحی FRP	=	$f_{fu}$
فشار حبس کنندگی ناشی از پوشش FRP	=	$f_l$
تنش در آرماتورهای فولادی غیر پیش تنیده	=	$f_s$
مقدار تنش در آرماتورهای فولادی تحت بار سرویس	=	$f_{ss}$
مقاومت مشخصه تسلیم آرماتورهای فولادی	=	$f_y$
عمق کلی مقطع	=	$h$
ممان اینرسی مقطع معادل ترک خورده بتنی	=	$I_{cr}$
نسبت عمق تارخنی به عمق آرماتورهای کششی فولادی	=	$k$
سختی در واحد عرض برای هر لایه از FRP	=	$k_f$
ضریب اصلاح بکاررفته در $k_v$ برای به حساب آوردن مقاومت بتن	=	$k_v$

ضریب اصلاح بکاررفته در FRP برای به حساب آوردن نحوه دورپیچ کردن با FRP	=	$k_2$
طول مؤثر اتصال برای لایه FRP	=	$L_e$
طول گسترش یافته از سیستم FRP	=	$l_{df}$
ممان ترک خوردگی	=	$M_{cr}$
مقاومت ممان اسمی	=	$M_n$
ممان محدوده الاستیک عضو	=	$M_s$
ممان نهایی مقطع	=	$M_u$
تعداد لایه های FRP	=	$n$
مقاومت کششی نهایی در واحد عرض FRP	=	$P_{fu}^*$
مقاومت بار محوری اسمی	=	$P_n$
شعاع گوشه های مقاطع مربعی و مستطیلی محبوس شده توسط FRP	=	$r$
مقاومت اسمی عضو	=	$R_n$
مقاومت اسمی عضوکه تحت درجه حرارت های مختلف به واسطه حریق قرار می گیرد	=	$R_{n\phi}$
اثرات بار مرده	=	$SDL$
فاصله تقویت کننده های FRP برشی	=	$S_f$
اثرات بار زنده	=	$S_{LL}$
ضخامت اسمی یک لایه از تقویت کننده FRP	=	$t_f$
درجه حرارت انتقال	=	$T_g$
سهم مقاومت برشی بتن	=	$V_c$
مقاومت برشی اسمی	=	$V_n$
سهم مقاومت برشی فولادهای عرضی	=	$V_s$
سهم مقاومت برشی FRP های عرضی	=	$V_f$
عرض لایه های FRP	=	$W_f$
راستای قرارگیری خاموتها و تنگها	=	$\alpha$
ضریب انبساط حرارتی طولی	=	$\alpha L$
ضریب انبساط حرارتی عرضی	=	$\alpha T$
نسبت عمق بلوك تنش مستطیلی معادل به عمق تارخنی	=	$\beta_l$
مقدار کرنش در بتن بستر	=	$\varepsilon_b$
مقدار کرنش در بتن بستر در زمان نصب FRP	=	$\varepsilon_{bi}$
مقدار کرنش در بتن	=	$\varepsilon_c$
کرنش فشاری مفید ماکزیمم در بتن محبوس شده با FRP	=	$\varepsilon'_{cc}$
کرنش فشاری مفید ماکزیمم در بتن	=	$\varepsilon_{cu}$
کرنش FRP	=	$\varepsilon_f$

کرنش مؤثر FRP	=	$\epsilon_{fe}$
کرنش گسیختگی طراحی FRP	=	$\epsilon_{f'u}$
کرنش گسیختگی نهایی FRP	=	$\epsilon_{f'u}^*$
کرنش آرماتورهای فولادی	=	$\epsilon_s$
کرنش معادل تسلیم آرماتورهای فولادی	=	$\epsilon_{sy}$
ضریب کاهش مقاومت	=	$\phi$
ضریب استفاده شده در تعیین بلوک مستطیلی معادل در بتون فشاری	=	$\gamma$
ضریب اثر FRP	=	$K_a$
ضریب چسبندگی استفاده شده در خمثن برای FRP	=	$K_m$
ضریب چسبندگی استفاده شده در برش برای FRP	=	$K_v$
نسبت تقویت کننده های FRP موجود	=	$\rho_f$
نسبت سطح مقطع آرماتورهای فولادی به سطح مقطع کل عضو فشاری	=	$\rho_g$
نسبت آرماتورهای فولادی موجود	=	$\rho_s$
انحراف استاندارد	=	$\sigma$
ضریب کاهش مقاومت FRP	=	$\psi_f$

## مقدمه

امروزه استفاده از پلیمرهای تقویت شده با الیاف (FRP) به عنوان یک ماده مقاومساز جهت سازه های بتن آرمه به واسطه مزایای زیاد این ماده ، رواج پیدا کرده است . در این حین ، جهت استفاده صحیح و مناسب از این ماده و طراحی مقاومسازی سازه ها به وسیله FRP ، آیین نامه ها ، راهنمایها و گزارشها<sup>۱</sup>ی در سراسر جهان منتشر گردید . با توجه به شروع رشد و استفاده از مواد FRP در ایران ، تدوین راهنمایی برای طراحی مقاومسازی به کمک این مواد ، بسیار ضروری است . در این مجموعه سمینار ، به بررسی و معرفی بعضی از آیین نامه ها و راهنمایهای معتبر در مورد ورقه های FRP تقویت کننده به صورت خارجی<sup>۱</sup> ، برای آشنایی بیشتر آنها و کمک در جهت تدوین آیین نامه مناسب در ایران پرداخته شده است . براین اساس تعدادی از آیین نامه ها ، با توجه به منابع دردسترس ، ترجمه گردیده و در مجموعه ای به صورت پیوست ، گردآوری شده است . با توجه به حجم زیاد مطالب مندرج در این آیین نامه ها ، خلاصه ای از چهار آیین نامه ای که به طور کامل دردسترس بود در بخش اصلی سمینار در فصول مختلف ۱ تا ۴ ارائه گردیده است . این چهار آیین نامه معتبر عبارتند از : ACI 440.2R-02 [۲] ، fib Bulletin 14 [۲۲] (2001) ، UK Concrete Society Technical Report No. 55 [۱۱] (2000) و ISIS [۲۴] (2001) . در این خلاصه ، علاوه بر جمع بندی مطالب آیین نامه ها به آیین نامه های پایه هر یک از این راهنمایها نیز پرداخته شده و مطالب مورد نیاز آنها جهت طراحی ارائه گردیده است .

در این راستا همچنین تعدادی از آیین نامه ها تنها به طور معرفی کلی در مجموعه پیوست آورده شده و در بخش اصلی سمینار به آنها پرداخته نشده است که شامل راهنمایهای منتشر شده توسط انجمن مهندسین عمران ژاپن (JSCE 2000 [۲۲] ) ، انجمن حفاظت ساختمانهای ژاپن دربرابر آسیب (JBDPA 1999 [۱۵] ) ، آیین نامه پلهای سوئد (BRO94 1999 [۳۰] ) و آیین نامه کانادا (CSA-S806 2002 [۱۰] ) می باشد .

جهت مقایسه استانداردها با نتایج تجربی در فصل پنجم ، از هر بخش طراحی چند مثال عملی با توجه به کارهای آزمایشگاهی انجام شده در سراسر جهان ، ارائه شده است . همچنین با کمک نرم افزار MATLAB 6.5.1 برنامه هایی برای محاسبه مقاومت خمشی ، برشی و فشاری نهایی با توجه به هریک از راهنمایها نوشته شده و از آن برای ارزیابی اثر تغییرات پارامترهای مختلف در مقاومتهای نهایی ، استفاده گردیده است . در بخش پایانی سمینار (فصل شش) ، با توجه به مطالب فصول قبل به جمع بندی و مقایسه آیین نامه ها پرداخته شده است .

در ضمیمه (الف) ، آیین نامه ها و راهنمایهای موجود در دنیا مربوط به طراحی کامپوزیتهای FRP به همراه سال انتشار آنها ، معرفی شده اند . همچنین در ضمیمه (ب) ، متن اصلی نرم افزارهای نوشته شده ارائه گردیده است .

<sup>۱</sup> Externally Bonded FRP

## فصل اول : خلاصه ای از آیین نامه ACI 440.2R-02 با عنوان :

### راهنمای طراحی و اجرای تقویت سازه های بتنی با کمک چسباندن سیستم FRP به صورت خارجی

#### ۱-۱: مقدمه

در این آیین نامه به طور کلی یک راهنمایی را جهت انتخاب ، طراحی و نصب سیستمهای FRP برای مقاومسازی سازه های بتنی فراهم می کند . همچنین اطلاعاتی مربوط به خصوصیات مواد FRP و روش طراحی ، نصب و بررسی و نگهداری آن ارائه می دهد . این اطلاعات می تواند جهت انتخاب سیستم FRP برای افزایش مقاومت و سختی تیرهای بتن آرمه یا افزایش شکل پذیری ستونهای بتنی با کمک دورپیچ کردن و یا دیگر کاربردها ، مورد استفاده قرار گیرد . پایه روند طراحی اینگونه سیستمهای براساس ACI 318-99 [۱] ، بوده و به نحوی ارائه شده است که طرح بدست آمده محافظه کارانه باشد .

در این آیین نامه در ابتدا به معرفی مواد FRP پرداخته و علت گسترش در استفاده از آن را به طور کلی در چند مورد زیر خلاصه می کند :

۱- مواد FRP ، نسبت مقاومت کششی به وزن بسیار بالایی در مقایسه با مواد سنتی و قدیمی مانند فولاد دارند

۲- در برابر خوردگی مقاومند

۳- به آسانی در اندازه و شکلهای مختلف یافت می شوند

۴- به علت ضخامت کم آنها در مواردی که زیبایی پارامتر مهمی است ، نقش بسیار خوبی دارند

۵- به علت مقاومت در برابر خوردگی هزینه نگهداری اندکی دارند

۶- به علت وزن کم آنها ، نصب این مواد بسیار آسان بوده و هزینه کمی را بابت نیروی کار و تجهیزات لازم دارند و

۷- در نواحی که دسترسی به آنها محدود می باشد و استفاده از روشهای قدیمی غیر ممکن است ، می توانند مورد استفاده قرار گیرند .

اما به هر صورت ، این مواد بدون عیب نبوده و نسبت به مواد سنتی و قدیمی دارای مزایای نیز می باشند که عبارتند از :

۱- گران بودن این مواد

۲- مقاومت کم در برابر حرارت و آتش سوزی

۳- مقاومت کم در برابر ضربه و خرابکاری ( مانند ایجاد خراش بر روی سطوح آن )

۴- عدم اطمینان به این مواد در حد مصالح قدیمی

۵- عدم وجود مطالعات تحقیقاتی در حد مصالح قدیمی

**۱- کلیات**

در این آیین نامه اثر عوامل محیطی بر روی خصوصیات وابسته به زمان FRP، به کمک ضرایب کاہنده در شرایط مختلف محیطی اعمال شده است. همچنین اثر خستگی و خرس نیز به وسیله اعمال محدودیتهای تنشی در نظر گرفته می شود. این ضرایب و محدودیتهای اعمال شده به دلیل عدم وجود تحقیقات و مطالعات کافی به صورت محافظه کارانه می باشد.

به جهت جلوگیری از جداسدگی زودهنگام مواد FRP از بستر بتنی و به علت عدم وجود اطلاعات کافی در این زمینه، آیین نامه راهنماییهای خاصی را حتی در جزئیات نصب ارائه کرده و کرنش (و به تبع آن تنش) در FRP را به طور محافظه کارانه ای محدود نموده است.

به جهت عدم وجود اطلاعات و تحقیقات کافی در زمینه سازه های با ابعاد بزرگ، محدودیتهاي نيز از لحاظ ابعادي اعمال گردیده است. همچنین در اين آيin نامه به هيج وجهه بر مقاومت فشاری FRP تکيه نکرده است چراكه در غيرايinsonsorut معايبی چون کمانش موضعی الياfها به واسطه وجود حفره هایی در رزین لایه، کمانش کل لایه ناشی از عدم وجود تماس کافی و یا مهاربندی لازم و عدم اطمینان بسیار زیاد نسبت به مقاومت فشاری FRP به واسطه نامنظم بودن الياfها را می توان نام برد. همچنین لازم به ذکر است که این آیین نامه تنها برای سازه های بتنی کاربرد داشته و سازه های بنایی را شامل نمی شود.

**۲- نکات و محدودیتهای قبل از مقاومسازی**

در استفاده از مواد FRP باید ابتدا علت استفاده تعیین گردد که می تواند شامل حالتی باشد که یک سازه ضعیف شده نیاز به ترمیم داشته و یا جهت تحمل بار بیشتر به جهت تغییر در نوع کاربرد و یا عدم طراحی مناسب نیاز به مقاومسازی دارد. به این جهت باید در ابتدا یک ارزیابی براساس کدهای R ACI 364.1R و ACI 437 صورت گیرد. کلیات ارزیابی سازه موجود را می توان در بندهای زیر نشان داد:

- اندازه و ابعاد اعضای سازه
- محل ، اندازه و علت ترکها و پوسته پوسته شدنها
- محل و میزان خوردگی فولاد
- مقدار و محل قرارگیری فولاد موجود
- مقاومت فشاری در جای بتن و
- استحکام بتن علی الخصوص پوشش بتنی در تمام نواحی که سیستم FRP بر روی آن نصب می شود.

سازه موجود از لحاظ مقاومت در برابر بارهای وارد بدون کمک سیستم FRP دارای محدودیت در مقاومسازی می باشد. فلسفه این ایده آن است که نقص در عملکرد سیستم FRP نباید باعث گسیختگی عضو گردد. همچنین این محدودیت باید برای تحمل سازه در برابر حریق رعایت گردد، چراکه اغلب مواد FRP در درجه حرارتیهای بالا دارای مقاومت کمی هستند. در حالت سروپیس به

جهت تضمین عملکرد مناسب مواد FRP باید درجه حرارت محیط به دمای انتقال FRP محدود گردد . دمای انتقال ،  $T_g$  ، درجه حرارت ماکریزمی است که رزین از یک حالت ترد و سخت به یک حالت نرم و شکل پذیر تبدیل می شود . این تغییر حالت ، خصوصیات لایه ایجاد شده را کاهش خواهد داد . در سیستمهای رایج ،  $T_g$  بین 60 تا 82 درجه سلسیوس متغیر است .

قبل از نصب سیستم FRP باید مقاومت بستر کنترل گردد و در صورت لزوم خرابی های موجود ترمیم شود . از جمله این خرابی ها می توان واکنش قلیایی سیلیس ، کربناسیون ، ترک طولی دور فولاد خورده شده و ترک لایه ای در محل فولاد طولی را نام برد . همچنین اتصال و چسبندگی بین مواد ترمیم کننده و بتن اصلی باید توصیه های آیین نامه R ACI 503 یا ICRI No.03733 را ارضاء کند . در مواردی که اتصال بین لایه و بستر مهم می باشد ، حداقل مقاومت کششی آن ، 1.4 MPa و حداقل مقاومت فشاری آن 17 MPa است . این اعداد براساس آزمایشهای مطرح شده در R ACI 503 یا ASTMD 4541 بدست آمده است . در مواردی که اتصال بین لایه و بستر مهم نیست ، مانند دورپیچ کردن ستونها ، اعمال این محدودیت ضرورتی ندارد .

#### ۴-۱: انواع سیستمهای FRP

سیستمهای FRP رایج براساس نحوه تحویل به سایت و نحوه نصب آنها به سه دسته زیر تقسیم می شوند :

- ۱- سیستمهای *Wet lay-up* : در این سیستم لایه های FRP که شامل یکسری از الیافهای هم جهت و یا چند جهتی خشک است ، در محل نصب از رزین آغشته شده و بعد از اتصال به سطح بتن همانجا عمل آوری می گرددند که به عبارتی شبیه به ریختن بتن در محل است .
- ۲- سیستمهای پیش آغشته شده<sup>۱</sup> : در این سیستم لایه های FRP که از ورقه های الیاف تک جهتی و یا چندجهتی که عمل آوری نشده ولی از قبل در محل تولید توسط رزین آغشته و اشباع شده ، تشکیل گردیده و همانند روش قبلی در محل نصب عمل آوری می شوند . این روش معمولاً نیاز به حرارت اضافی جهت عمل آوری دارد .
- ۳- سیستمهای پیش ساخته<sup>۲</sup> : این نوع سیستمهای شامل انواع گوناگونی از شکلهای کامپوزیتی ساخته شده در خارج کارگاه می باشد . معمولاً یک چسب همراه بتن و آستر خاص جهت چسباندن این ورقه به سطح بتن مورد استفاده قرار می گیرد . این نوع سیستم شبیه به بتن پیش ساخته ، است .

<sup>۱</sup> Prepreg

<sup>۲</sup> Precured

**۱-۵: مواد و مصالح سازنده**

در این راهنمای مواد و مصالح سازنده سیستم‌های FRP رایج، به چندین بخش تقسیم شده است که عبارتند از:

**۱-۱-۱: رزینها**

رزینها خود به پنج بخش شامل آسترها، بتونه‌های پرکننده، رزینهای آغشته کننده، چسبها و پوشش‌های محافظه قسمی شوند. انواع رزینها باید دارای خصوصیاتی بوده که از آنجلمه می‌توان به موارد قابل چسبیدن به بتن بستر و کامپوزیت FRP، مقاوم بودن در برابر شرایط محیطی، سازگار بودن با مدت زمان اجرا و توانایی پرکنندگی را اشاره نمود. نقش آسترها نفوذ در سطح بتونی و ایجاد یک سطح چسبنده بهینه می‌باشد. نقش بتونه‌های پرکننده همانطور که از نام آن روشن است، پرکردن حفره‌های خالی کوچک در بستر به جهت جلوگیری از تشکیل حباب‌هوا در زیر FRP می‌باشد. رزینهای آغشته کننده جهت آغشته کردن و اشباع کردن الیافهای تقویت کننده استفاده می‌شوند، آنها را در جای خود ثابت نموده و یک مسیر بار بررسی جهت انتقال بار مؤثر بین الیافها فراهم می‌نمایند. کار چسبها، چسباندن لایه‌های FRP پیش ساخته شده به بستر بتونی و یا دیگر لایه‌های FRP می‌باشد و نقش پوشش محافظه نیز محافظت از لایه‌های FRP در برابر آسیب‌های محیطی است.

**۱-۲-۵: الیافها**

الیافها نقش اصلی را در مقاومت FRP بازی کرده و در سیستم‌های رایج شامل سه نوع کربن، آرامید و شیشه هستند.

**۱-۶: خصوصیات و رفتار مواد FRP****۱-۶-۱: خصوصیات فیزیکی سیستم‌های مختلف رایج FRP****۱-۶-۱-۱: چگالی**

چگالی مواد FRP رایج بین ۱.۲ تا ۲.۱ گرم بر سانتیمتر مکعب می‌باشد که حدود ۴ تا ۶ برابر کمتر از چگالی فولاد است. ترتیب چگالی FRP‌ها به گونه‌ای است که  $GFRP > CFRP > AFRP$ .

**۱-۶-۱-۲: ضریب انبساط حرارتی**

ضریب انبساط حرارتی مواد FRP تک جهتی در راستای عمود بر الیافها با مقدار آن در امتداد الیافها متفاوت بوده و بستگی به الیاف و نوع رزین استفاده شده دارد. FRP‌ها دارای ضریب انبساط عرضی به ترتیب  $AFRP > CFRP > GFRP$  بوده در حالیکه ضریب انبساط طولی آنها دقیقاً

برعکس می باشد . این در حالی است که ضریب انبساط طولی CFRP و AFRP منفی است ؛ یعنی آنکه با افزایش درجه حرارت ، منقبض می شوند .

براساس مطالب بیان شده ، مواد FRP نسبت به درجه حرارت‌های بالا حساس بوده و آسیب پذیر می باشند . در دمای بالاتر از  $T_g$  ، مدول الاستیسیته ، مقاومت کششی ، نیروی برشی انتقالی بین رزین و مقاومت خمشی به طور قابل توجهی کاهش می یابند .

#### ۱-۶-۲ : خصوصیات مکانیکی

رفتار کششی مواد FRP که یکی از مهمترین خصوصیات آن است ، بستگی به نوع الیاف ، نحوه قرارگیری آنها و مقدار الیافها داشته و در مواردی که از یک نوع الیاف تشکیل شده باشد تا لحظه شکست به صورت رابطه الاستیک خطی بین تنش - کرنش می باشد .

جهت تعیین خصوصیات کششی مواد FRP باید براساس آزمایش‌های موجود در استانداردها عمل نموده و حداقل ۲۰ نمونه جهت آزمایش بررسی گردد . در نهایت مقاومت کششی نهایی براساس مقاومت کششی میانگین نمونه های آزمایشگاهی منهای سه برابر انحراف استاندارد ، بدست می آید که می توان به صورت رابطه زیر نشان داد :

$$f_{fu}^* = \overline{f_{fu}} - 3\sigma$$

کرنش نهایی نیز به طور مشابه قابل محاسبه است . مدول یانگ باید براساس ASTM D 3039 برای کرنشهای بین ۰.۰۰۳ تا ۰.۰۰۶ محاسبه شود .

در مورد رفتار فشاری FRP همانطور که گفته شد به علت عدم وجود اعتبار آزمایشگاهی کافی نباید از این پارامتر جهت تقویت استفاده نمود . آزمایش‌های انجام گرفته نشان داده است که مود شکست FRP بارگذاری شده به صورت فشاری در جهت طولی می تواند شامل شکست کششی عرضی ، کمانش موضعی الیاف یا شکست برشی باشد . مقاومت فشاری از ۵۵ ، ۷۸ و ۲۰ درصد مقاومت کششی برای به ترتیب GFRP ، CFRP و AFRP گزارش شده است . همچنین مدول الاستیسیته فشاری برای GFRP حدودا ۸۰ درصد ، CFRP حدودا ۸۵ درصد و AFRP تقریبا ۱۰۰ درصد مدول الاستیسیته کششی آن است .

#### ۱-۶-۳ : رفتار سیستم FRP نسبت به زمان

از جمله رفتاری که وابسته به زمان می باشد ، رفتار خزشی ماده است . زمان تحمل و پایداری خزشی مواد FRP وابسته به نسبت تنش کششی ثابت و دائم به مقاومت کوتاه مدت لایه FRP بوده و از شرایط محیطی نیز تأثیر می پذیرد . در حالت کلی ، برای FRP‌های رایج ، الیافهای کربن کمترین حساسیت را نسبت به شکست خزشی دارند . الیافهای آرامید به طور میانه حساس بوده و الیافهای شیشه بیشتر از همه مستعد این نوع شکست هستند . براساس آزمایشات ، نسبت میزان تنش در شکست خزشی به مقاومت نهایی اولیه بعد از حدود ۵۰ سال برای AFRP ، GFRP و CFRP به ترتیب عبارتست از : ۰.۴۷ ، ۰.۳ و ۰.۹۱ .

دیگر خصوصیتی که نسبت به زمان مؤثر است، رفتار خستگی مواد FRP می باشد. در این خصوصیت نیز ترتیب تحمل برای انواع FRP همانند رفتار خرزشی می باشد. در منحنی S-N مواد CFRP، شیب رویه پایین دیاگرام معمولاً حدود 5 درصد مقاومت بار استاتیکی اولیه در هر دهه از لگاریتم زمان است. در یک میلیون سیکل، مقاومت خستگی CFRP معمولاً بین 60 تا 70 درصد مقاومت نهایی اولیه بوده و به طور نسبی می توان گفت که وابسته به رطوبت و حرارتی که سازه بتنی در معرض آن قرار می گیرد، نمی باشد. در مواد GFRP این کاهش در منحنی S-N به صورت 10 درصد ظرفیت باربری استاتیکی اولیه در هر دهه از لگاریتم زمان مشاهده می شود. عوامل محیطی نقش مهمی در رفتار خستگی الیافهای شیشه بازی می کنند. در مورد الیافهای آرامید، کاهش مقاومت در هر دهه از لگاریتم زمان، حدود 5 تا 6 درصد می باشد. برای تاندونهای AFRP دیده شده است که بعد از گذشت دو میلیون سیکل، مقاومت الیاف در حدود 54 تا 73 درصد مقاومت نهایی کششی می باشد. در مورد مواد AFRP دیده شده است که محدودیت عمر در رفتار خستگی آنها تحت تأثیر رطوبت و درجه حرارت بالا سرعت می گیرد.

## **۷-۱: نکات مهم در پروسه نصب سیستم FRP**

پروسه نصب سیستم FRP به وسیله سازندگان سیستم رشد و گسترش یافته و بین سیستمهای مختلف، تفاوت می کند. بعلاوه، روند نصب می تواند براساس عوامل مختلفی که وابسته به نوع و شرایط سازه است، تغییر کند. از جمله نکات مهم در جهت نصب صحیح سیستمهای FRP را می توان به صورت زیر بیان نمود:

- ۱- ضرورت مهارت پیمانکار در نصب سیستم
- ۲- درجه حرارت و رطوبت نسبی سطح در موقع نصب باید از حد مجاز فراتر نرود، چراکه الیافها به صورت نادرست اشباع شده و ترمیم رزین بدرستی انجام نخواهد گرفت.
- ۳- باید در هنگام نصب از تجهیزات مناسب مربوط به آن استفاده شود.
- ۴- آماده سازی سطح و ترمیم بستر باید بدرستی صورت گیرد. آماده سازی نامناسب سطح می تواند باعث جداشدهای سیستم FRP قبل از رسیدن به بار انتقالی طراحی شود. جهت ترمیم بستر از روشهای ارائه شده در ACI 546R و ICRI 03730 می توان استفاده نمود. همچنین قبل از نصب FRP باید علت خوردگی احتمالی فولاد و میزان خرابی مربوطه به آن معلوم شده و ترمیم گردد. از جمله اقدامات آماده سازی بستر، ترمیم ترکها با تزریق اپوکسی براساس ACI 224.1R می باشد. ترکهایی با قطر بیش از 0.3 mm در صورت عدم ترمیم می تواند برعملکرد سیستم FRP به شکل جداشده و یا شکسته شدن الیافها تأثیر بگذارد. در مورد کاربردهای با چسبندگی بحرانی مانند مقاومسازی خمشی و برشی، آماده سازی سطح باید مطابق با توصیه های مطرح شده در ACI 546R و ICRI 03730 باشد. حداقل شعاع گوشه ها باید 13 mm بوده تا از به وجود آمدن تمرکز تنش در آنها جلوگیری گردد. سطح باید عاری از هرگونه آلدگی بوده و جهت چسبندگی بهتر به خوبی صاف شود. در کاربردهایی که اجزاء

بتنی را محبوس کرده اند ، آماده سازی سطح باید تماس بین سطح بتن و سیستم FRP را به سمت یک تماس نزدیک پیوسته رشد دهد .

- ۵- ترکیب و مخلوط کردن رزین با درصد اختلاط و زمان مناسب و به مقدار لازم و مالیدن آن بر روی سطح آماده شده و عمل آوری آن قبل از نصب لایه بعدی FRP .
- ۶- مالیدن رزینهای آغشته کننده و یا چسبها و نصب لایه های FRP .
- ۷- غلطک کردن برروی FRP جهت خارج کردن هوای بین FRP و بستر بتنی .
- ۸- اعمال پوششهای محافظ و عدم استفاده از حلالها .
- ۹- نصب ورقه های الیاف در راستای مورد نظر و عدم وجود چین و تا برروی آنها .
- ۱۰- رعایت طول هم پوشانی لبه ای و عمل آوری رزینها .
- ۱۱- استفاده از محافظت موقتی قبل از عمل آوری کامل رزین .

#### ۱-۸: کنترل و تضمین کیفیت سیستم FRP

جهت تضمین کیفیت سیستم FRP ، باید کنترلهایی برروی آن صورت گیرد که از جمله پارامترهای کنترل می توان موارد زیر را اشاره نمود :

تاریخ و زمان نصب ، درجه حرارت محیط ، رطوبت نسبی و دیگر ملاحظات آب و هوایی ، درجه حرارت سطح بتن ، میزان خشکی سطح ، روش آماده سازی سطح ، عرض ترکهای موجود که توسط اپوکسی تزریق نشده اند ، میزان الیافهای پیش عمل آوری شده و تعیین تقریبی مکان قرارگیری آنها در سازه ، نسبتهای اختلاط و زمان اختلاط رزینها ، ملاحظات مربوط به عمل آوری رزین ، نتایج آزمایش مقاومت ، مکان و اندازه هرگونه جداشدهای یا حفره های هوا .

همچنین برای تضمین عملکرد مناسب سیستم باید ارزیابی و پذیرش نسبت به سیستم اعمال شود که می تواند شامل موارد زیر باشد :

- ۱- بررسی مواد اولیه به جهت دارا بودن خصوصیات مورد نظر ، ارزیابی دقیق این پارامتر می تواند توسط آزمایشهای مربوطه بر روی نمونه های شاهد ، صورت گیرد .
- ۲- ترتیب و نحوه قرارگیری الیاف : در این مورد می توان با بازرسی های چشمی عملیات ارزیابی و پذیرش را انجام داد . غیر هم راستا بودن الیافها با زاویه ای بیشتر از ۵ درجه باید مورد توجه قرار گیرد .

۳- جداشدهایی : در این مورد دقت ارزیابی و کنترل باید به گونه ای باشد که قادر به تشخیص جداشدهای تا  $mm^2$  1300 را داشته باشد . استفاده از روشهایی مانند ضربه های صوتی ، امواج با طول موج خیلی کوتاه و گرمانگاری می تواند جهت تشخیص جداشدهای لایه ها مورد استفاده قرار گیرد . در سیستمهای Wet lay-up جداشدهایی کمتر از  $mm^2$  1300 قابل صرفنظر کردن بوده و باید مقدار آن در صورتی که از  $m^2$  ۱ تجاوز نکند به ۵ درصد کل مساحت محدود شود . در صورتی که جداشدهایی کمتر از  $mm^2$  16000 باشد ، می توان با تزریق اپوکسی و یا یک لایه ترمیمی جایگزین ترمیمی ، این مشکل را حل نمود . جداشدهایی بزرگتر از  $mm^2$  16000 باید

به وسیله برش صحیح از FRP و قراردادن ورقه جایگزین از همان نوع قبلی ، ترمیم گردد . در سیستمهای پیش ساخته باید هرگونه جداسدگی ترمیم گردد .

۴- میزان عمل آوری رزین : در این مورد با انجام آزمایشات برروی نمونه های شاهد براساس ASTM D 3418 ، و یا مشاهدات فیزیکی از ضخامت رزین و سختی سطح کار ، می توان عمل آوری رزین را مورد ارزیابی قرارداد .

۵- مقاومت چسبندگی : جهت ارزیابی مقاومت چسبندگی ، می توان از آزمایشات براساس ISIS یا ASTM D 4541 استفاده نمود . مقاومت چسبندگی حداقل باید  $1.4 \text{ MPa}$  بوده و باید گسیختگی در بستر بتونی رخ دهد .

۶- ضخامت عمل آوری : برای این منظور می توان از نمونه برداری با قطر  $13 \text{ mm}$  استفاده کرد . از گرفتن نمونه در نواحی تنش بالا و یا نواحی لبه ای باید اجتناب شود . سوراخ ایجاد شده باید توسط آستر و بتونه مورد نظر سیستم پر شده و سطح آن هموار گردد .

در این راستا و جهت تضمین عملکرد سیستم FRP بعد از نصب نیز باید تمهداتی به منظور نگهداری و ترمیم سازه صورت گیرد که می تواند با انجام یکسری بازرگانی های کلی و انجام آزمایشات اعمال گردد . بعد از تشخیص و ارزیابی در صورت لزوم باید سیستم مقاومساز ترمیم شود .

## ۹-۱: ملاحظات کلی طراحی

همانطور که گفته شد ، پایه طراحی در این راهنمای براساس اصول طراحی بتن آرمه معمولی در ACI 318-99 می باشد . توصیه های طراحی براساس اصول طراحی حالت حدی پایه گذاری شده است .

### ۹-۱-۱ : محدودیتهای مقاومسازی

محدودیتهای مقاومسازی به دلیل تضمین عدم فروریختن سازه و وقوع دیگر گسیختگی های سیستم FRP ناشی از آتش سوزی ، خرابکاری یا دیگر دلایل ؛ می باشد . در این راستا این آیینه محدودیت زیر را اعمال کرده که عبارتست از :

$$(\phi R_n)_{existing} \geq (1.2 S_{DL} + 0.85 S_{LL})_{new} \quad (1-1)$$

در موارد آتش سوزی و حریق به دلیل اعمال درجه حرارتی های بالا به سازه و عدم تحمل FRP نسبت به این درجه حرارتها ، در این راهنمای توصیه شده است که از مقاومت FRP صرفنظر نموده و شرایط پایداری توسط رابطه زیر کنترل گردد .

$$(R_{n\theta})_{existing} \geq S_{DL} + S_{LL} \quad (2-1)$$

در این رابطه ،  $R_{n\theta}$  ، مقاومت اسمی عضو در یک دمای بالا بوده که به کمک توصیه های ارائه شده در ACI 216R قابل محاسبه است .

در طراحی سیستمهای FRP جهت مقاومسازی سازه‌ها نکته‌ای که می‌تواند اعمال محدودیت کرده و باید مورد توجه قرار گیرد، تأثیر مقاومسازی بر دیگر حالت‌های گسیختگی مانند برش سوراخ کننده و ظرفیت باربری پی‌ها می‌باشد. در واقع این موضوع مهم است که مطمئن شویم همه اعضای سازه قادر به تحمل افزایش بارهای وارد برعاضای تقویت شده هستند.

#### ۱-۹-۲ : انتخاب سیستم FRP

##### ۱-۹-۱-۱ : ملاحظات محیطی

شرایط محیطی به طور ویژه‌ای بر رزینها و الیافها از انواع سیستم FRP تأثیر می‌گذارند. در طراحی باید این کاهش خصوصیات مواد، محاسبه شده و در نظر گرفته شود. بعضی از ملاحظات محیطی مهم که وابسته به طبیعت سیستمها هستند را می‌توان به صورت زیر ذکر نمود:

##### ۱-۹-۱-۱-۱ : محیط قلیایی یا اسیدی

در این شرایط الیافهای کربن مقاوم بوده در حالی که الیاف شیشه نسبت به این عوامل حساس است. با این وجود می‌توان با یک رزین مناسب از تأثیر این عوامل برروی این الیافها محافظت کرد.

##### ۱-۹-۱-۲-۱ : انبساط حرارتی

تفاوت در ضرایب انبساط حرارتی مواد FRP (الیافها و رزینها) نسبت به بتن باعث بروز یکسری مشکلات و تنشهای حرارتی می‌گردد. الیافهای کربن دارای ضریب انبساط حرارتی نزدیک به صفر بوده در حالی که الیافهای شیشه، ضریب انبساط حرارتی مشابه با بتن دارند. پلیمرهای استفاده شده در سیستمهای مقاومسازی FRP عموماً دارای ضریب انبساط حرارتی نزدیک به پنج برابر بتن هستند. آزمایشات نشان می‌دهد که تفاوت‌های انبساط حرارتی، تأثیری در چسبندگی بتن و FRP در محدوده‌های تغییر حرارتی کم از ۲۸- تا ۲۸+ درجه سلسیوس نمی‌گذارد.

##### ۱-۹-۱-۳-۱ : رسانایی الکتریکی

AFRP و GFRP در عایق بندی کردن الکتریکی مؤثر بوده در حالیکه CFRP رساناً می‌باشد. جهت جلوگیری از خوردگی الکتروشیمیایی فولاد، CFRP نباید با فولاد تماس مستقیم داشته باشد.

##### ۱-۹-۲-۱ : ملاحظات بارگذاری

در این رابطه، AFRP و GFRP نسبت به بارهای ضربه‌ای در مقایسه با CFRP تحمل بهتری را از خود نشان می‌دهند. اما از لحاظ خرز و خستگی برعکس می‌باشد.

۱-۹-۳ : ملاحظات مربوط به پوشش محافظ

برای محافظت از سیستمهای FRP نسبت به شرایط محیطی ، از پوششهای محافظ استفاده می شود . این پوششهای نیازهای سیستم مقاومساز انتخاب شود . پوششهای ضخیم رزین می تواند یک پوشش الاستیک بر روی الیاف ایجاد کرده و آن را از خدمات ناشی از ضربه یا ساییدگی و خراش حفظ کند .

۱-۹-۳ : خصوصیات مواد طراحی

معمولًا خصوصیات ارائه شده برای مواد FRP توسط سازندگان آنها ، اثر شرایط محیطی را تحت زمانهای طولانی در نظر نگرفته و در نتیجه برای طراحی لازم است که از یک ضریب کاهنده ، استفاده گردد ( جدول ۱-۱ ) .

$$f_{fu} = C_E f_{fu}^* \quad (3-1)$$

$$\varepsilon_{fu} = C_E \varepsilon_{fu}^* \quad (4-1)$$

$$E_f = \frac{f_{fu}}{\varepsilon_{fu}} \quad (5-1)$$

همانطور که در رابطه (۵-۱) دیده می شود ، مدول الاستیسیته FRP به شرایط محیطی وابسته نبوده و با مقدار اولیه داده شده توسط سازنده برابر خواهد بود .

جدول ۱-۱ : ضریب کاهش محیطی برای سیستمهای FRP مختلف با شرایط در معرض قرارگیری گوناگون

شرایط در معرض قرارگیری	نوع الیاف	ضریب کاهش محیطی ، $C_E$
شرایط داخلی	Carbon/epoxy	0.95
	Glass/epoxy	0.75
	Aramid/epoxy	0.85
شرایط خارجی ( پلها ، اسکله ها و پارکینگهای غیر بسته )	Carbon/epoxy	0.85
	Glass/epoxy	0.65
	Aramid/epoxy	0.75
محیطهای ناهنجار ( کارگاههای شیمیایی و کارخانه های تصفیه فاضلاب )	Carbon/epoxy	0.85
	Glass/epoxy	0.50
	Aramid/epoxy	0.70

۱۰-۱: مقاومسازی خمشی۱۰-۱-۱: فرضیات

در این آیین نامه ، طراحی مقاومسازی خمشی برای تیرهای بتن آرمه با آرماتورهای غیرپیش تنیده که FRP های تقویت کننده به سطح کششی آن چسبیده ، ارائه گردیده است . در طراحی ، نیروهای ناشی از ایجاد مفصل پلاستیک لحظه نمی گردد . از جمله فرضیاتی که در طراحی خمشی درنظر گرفته شده است ، عبارتند از :

- ۱- تغییرات کرنش در طول ارتفاع مقطع به صورت خطی بوده و به عبارتی سطح مقطع مسطح بعد از بارگذاری نیز مسطح باقی می ماند ( فرضیه بربولی ) .
- ۲- لغش نسبی بین FRP و بتن وجود ندارد .
- ۳- از تغییرشکل بر بشی موجود در لایه چسب صرفنظر شده است .
- ۴- کرنش فشاری ماکزیمم تحمل شده در بتن ، ۰.۰۰۳ درنظر گرفته می شود .
- ۵- مقاومت کششی بتن ناچیز است .
- ۶- FRP دارای رابطه خطی الاستیک بین تنش - کرنش تا لحظه گسیختگی است . پایه و اصل روند طراحی همانطور که گفته شد ، بر مبنای حالت حدی بوده و همانند ACI 318 براساس رابطه زیر می باشد :

$$\phi M_n \geq M_u \quad (6-1)$$

$M_u$  ، خود براساس جمع بارهای مختلف همراه با ضرایب ایجاد ACI 318 بدست می آید . همچنین ضریب کاهش  $\phi$  نیز براساس رابطه ای که مطرح خواهد شد ، بدست می آید و بین ۰.۹ تا ۰.۷ می باشد .

۱۰-۱-۲: محاسبه کرنش اولیه بستر

با توجه به ممان اولیه مقطع قبل از مقاومسازی می توان براساس روابط ۹۹-۳۱۸ ACI ، کرنش اولیه ،  $\epsilon_{bi}$  ، را محاسبه نمود . درابتدا عمق تار خنثی ،  $c$  ، براساس مرکز سطح معادل مقطع ، محاسبه می گردد . سپس ممان اینرسی مقطع معادل محاسبه می شود . مقطع معادل با ضرب مساحت آرماتورها در نسبت مدول الاستیسیته فولاد به بتن قابل دستیابی است . در ادامه با داشتن مقاومت کششی بتن ،  $f_r$  ، مقدار ممان ترک خوردگی مقطع قابل محاسبه است .

$$M_{cr} = \frac{f_r I}{c} \quad (7-1)$$

حال در صورت کوچکتر بودن ممان اولیه ماکزیمم بر تیر نسبت به ممان ترک خوردگی ، می توان کرنش اولیه را از رابطه زیر بدست آورد .

$$\epsilon_{bi} = \frac{M_{DL}}{I \cdot E_c} (h - c) \quad (8-1)$$

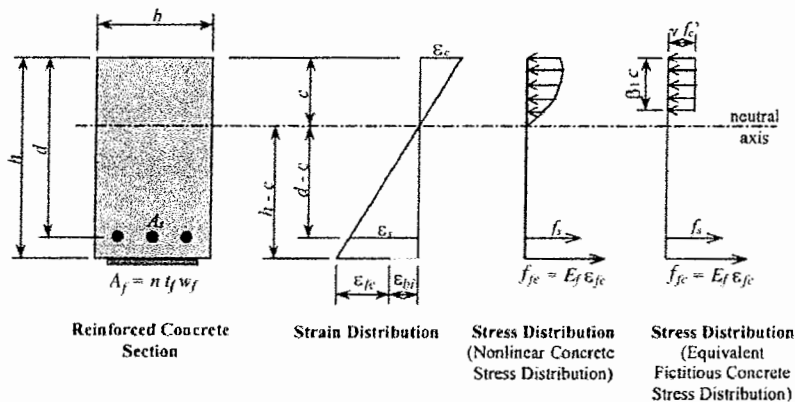
در صورتی که ممان اولیه ماکریم بر تیر بزرگتر از ممان ترک خوردگی باشد ، باید مقدار  $\epsilon_{bi}$  را براساس آنالیز مقطع ترک خورده محاسبه کرد . با توجه به اینکه در ACI 318-99 از مقاومت کششی بتن و همچنین مقاومت بتون ترک خورده صرفنظر می کند ، می توان  $\epsilon_{bi}$  را از روابط زیر محاسبه نمود .

$$\frac{b}{2}c^2 + [n_s(A'_s + A_s) - A'_s]c - [n_s(A'_s d' + A_s d) - A'_s d'] = 0 \quad (9-1)$$

$$n_s = \frac{E_s}{E_c}$$

محاسبه ممان مقطع ترک خورده :

$$I = \frac{b}{3}c^3 + (n_s - 1)A'_s(d' - c)^2 + n_s A_s(d - c)^2 \quad (10-1)$$



شکل ۱-۱ : توزیع تنش و کرنش در حالت نهایی برای یک مقطع مستطیلی تحت خمش

### ۱-۱۰-۳ : طراحی خمشی مقاومسازی با FRP

برای طراحی خمشی مقاومسازی با FRP درابتدا فرض براین است که بتن فشاری خردشده و با استفاده از بلوک تنشی معادل برای ناحیه فشاری بتن و برقراری روابط تعادل ، عمق تارخنی محاسبه می گردد . جهت کنترل گسیختگی ناشی از جدادشگی FRP که معمولاً زودتر از پارگی آن رخ می دهد ، کرنش موجود در FRP به مقدار زیر محدود می گردد .

$$\epsilon_{fe} \leq K_m \epsilon_{fu} \quad (11-1)$$

$K_m$  ، ضریب کاهش چسبندگی FRP بوده که براساس روابط زیر قابل دستیابی است .

$$\kappa_m = \begin{cases} \frac{1}{60\varepsilon_{fu}} \left( 1 - \frac{nE_f t_f}{360,000} \right) \leq 0.90 & \text{for } nE_f t_f \leq 180,000 \\ \frac{1}{60\varepsilon_{fu}} \left( \frac{90,000}{nE_f t_f} \right) \leq 0.90 & \text{for } nE_f t_f > 180,000 \end{cases} \quad (12-1)$$

در ادامه طراحی ، ابتدا یک مقدار برای عمق تارخنثی ،  $c$  ، فرض می شود . سپس همانطور که گفته شد در ابتدا فرض می گردد که گسیختگی حاکم ، خردشیدگی بتن فشاری بوده ، لذا با توجه به این مطلب و تغییرات خطی کرنش در عمق مقطع و روابط بالا ، کرنش موجود در FRP از رابطه زیر محاسبه می گردد .

$$\varepsilon_{fe} = \varepsilon_{cu} \left[ \frac{h-c}{c} \right] - \varepsilon_{bi} \leq \kappa_m \varepsilon_{fu} \quad (13-1)$$

با فرض رفتار کاملاً الاستیک FRP ، می توان مقدار تنش مؤثر در آن را از رابطه زیر محاسبه کرد .

$$f_{fe} = E_f \varepsilon_{fe} \quad (14-1)$$

همچنین با توجه به کرنش FRP می توان کرنش فولاد کششی و فشاری را از رابطه زیر محاسبه نمود .

$$\varepsilon_s = (\varepsilon_{fe} + \varepsilon_{bi}) \left( \frac{d-c}{h-c} \right) \quad (15-1)$$

$$\varepsilon'_s = (\varepsilon_{fe} + \varepsilon_{bi}) \left( \frac{c-d'}{h-c} \right) \quad (16-1)$$

مقدار تنش در فولاد کششی و فشاری نیز براساس کرنش آنها از رابطه زیر محاسبه می گردد .

$$f_s = E_s \varepsilon_s \leq f_y \quad (17-1)$$

$$f'_s = E_s \varepsilon'_s \leq f'_y \quad (18-1)$$

در نهایت با توجه به تعادل نیروها و فرض بلوک تنشی معادل برای بتن فشاری می توان  $c$  را مجدداً از رابطه زیر محاسبه کرده و با مقدار حدس زده شده مقایسه نمود . در صورتی که مقدار  $c$  جدید با  $c$  قدیم اختلاف داشته باشد ، باید مجدداً روابط بالا برای  $c$  جدید تکرار شده تا این اختلاف به حداقل لازم برسد .

$$c = \frac{A_s f_s + A_f f_{fe} - A'_s f'_s}{\gamma' c \beta_1 b} \quad (19-1)$$

در رابطه بالا  $\gamma$  و  $\beta$  ، که از ضرایب مربوط به بلوک تنشی معادل هستند ، براساس ACI 318-99 از روابط زیر محاسبه می شوند .

$$\gamma = 0.85$$

(20-1)

$$\beta_1 = -0.008(f'_c - 30) + 0.85 \quad 0.65 \leq \beta_1 \leq 0.85$$

پارامتر  $b$  نیز نشان دهنده عرض مقطع بوده و  $f'_c$  بیانگر مقاومت مشخصه فشاری بتن می باشد. بعد از محاسبه عمق تارخنی ، مقدار ممان اسمی تیر از رابطه زیر قابل محاسبه است .

$$M_n = A_s f_s \left[ d - \frac{\beta_1 c}{2} \right] + \psi_f A_f f_{f_e} \left( h - \frac{\beta_1 c}{2} \right) + A'_s f'_s \left[ \frac{\beta_1 c}{2} - d' \right] \quad (21-1)$$

پارامتر  $\psi_f$  ، در رابطه بالا ، ضریب کاهش مواد FRP بوده که برابر 0.85 فرض می گردد . اما برای برقراری ضابطه طراحی باید  $M_n$  در پارامتر  $\phi$  ضرب شود . در این راهنمای جهت برآورده کردن شکل پذیری ، همانند ACI 318-99 ، مقدار  $\phi$  از رابطه زیر محاسبه می گردد .

$$\phi = \begin{cases} 0.9 & \varepsilon_s \geq 0.005 \\ 0.7 + \frac{0.2(\varepsilon_s - \varepsilon_{sy})}{0.005 - \varepsilon_{sy}} & \varepsilon_{sy} < \varepsilon_s < 0.005 \\ 0.7 & \varepsilon_s \leq \varepsilon_{sy} \end{cases} \quad (22-1)$$

که در این رابطه ،  $\varepsilon_{sy}$  ، کرنش معادل تسليیم می باشد .

#### ۴-۱۰-۱ : حالت سرویس

برای حالت سرویس ، این آیین نامه دو حد را یکی برای آرماتورهای فولادی و دیگری برای FRP مطرح کرده است که به صورت زیر می باشد .

$$f_{s,s} \leq 0.80 f_y \quad (23-1)$$

$$f_{f,s} \geq \text{حد تنش دائم همراه با تنش نوسانی} \quad (24-1)$$

مقدار حد تنش دائم همراه با تنش نوسانی در مواد FRP بسته به نوع الیاف آنها تفاوت داشته و از جدول ۲-۱ محاسبه می گردد .

جدول ۲-۱ : حدود تنشی بارگذاری دائم و نوسانی در حالت سرویس در FRP‌های تقویت کننده

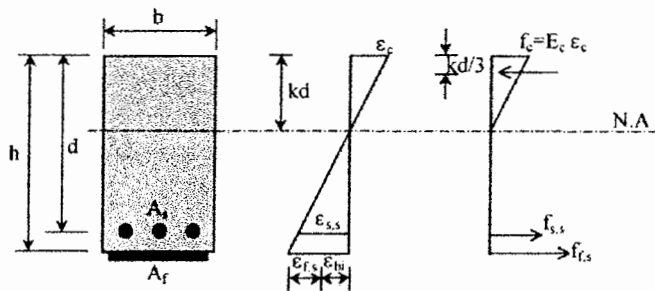
نوع الیاف	Glass FRP	Aramid FRP	Carbon FRP
حد تنشی مربوط به بار دائم و نوسانی	$0.20f_{fu}$	$0.30f_{fu}$	$0.55f_{fu}$

جهت سهولت در محاسبات ، روابط زیر برای محاسبه مقدار  $f_{s,s}$  و  $f_{f,s}$  ارائه شده است .

$$f_{s,s} = \frac{\left[ M_s + \varepsilon_{bi} A_f E_f \left( h - \frac{kd}{3} \right) \right] (d - kd) E_s}{A_s E_s \left( d - \frac{kd}{3} \right) (d - kd) + A_f E_f \left( h - \frac{kd}{3} \right) (h - kd)} \quad (25-1)$$

$$f_{f,s} = f_{s,s} \left[ \frac{E_f}{E_s} \right] \frac{h - kd}{d - kd} - \varepsilon_{bi} E_f \quad (26-1)$$

که در آن  $kd$  ، عمق تارخنی در حالت مقطع خورده و  $M_s$  عبارتست از ممان ناشی از همه بارهای دائم همراه با ماکزیمم ممان ناشی از سیکل بارگذاری خستگی .

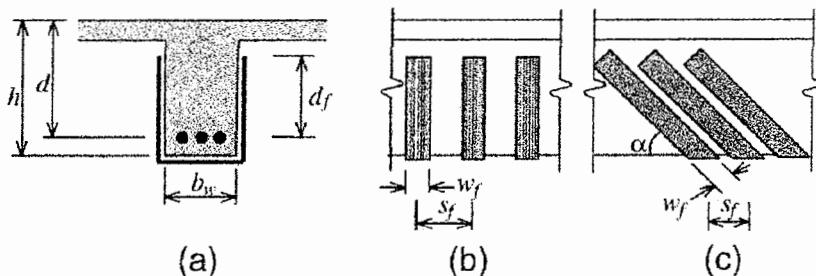


شکل ۲-۱ : توزیع تنش و کرنش الاستیک

### ۱۱-۱ : مقاومسازی برشی

مقاومسازی برشی تیرها و ستونهای بتن آرمه با قراردهی الیافهای FRP به صورت متقاطع با محور عضو یا عمود بر امتداد ترکهای برشی احتمالی امکان پذیر است . از جمله محدودیتهایی که در مقاومسازی برشی به کمک FRP وجود دارد ، آنستکه در مکانهایی که در معرض مفصل پلاستیک یا تنش رفت و برگشتی قرار دارند ، مقاومسازی برشی تنها با دورپیچ کامل مقطع امکان دارد . دیگر محدودیت در مقاومسازی را می توان به صورت رابطه زیر نشان داد که مربوط به حداکثر فاصله مرکز تا مرکز نوارهای FRP از یکدیگر است .

$$s_f \leq \frac{d}{4} + w_f \quad (27-1)$$



شکل ۱-۳ : نمایش متغیرهای ابعادی استفاده شده در محاسبات مقاومسازی برشی جهت ترمیم ، بهینه سازی و یا مقاومسازی به کمک لایه های FRP

جهت مقاومسازی برشی تیرهای مستطیلی سه روش دورپیچ کامل ، U شکل و چسباندن در دو طرف مقطع ، وجود داشته و ترتیب تأثیر در افزایش مقاومت برشی به همان روال معرفی آنها است . ضابطه اصلی طراحی همانند ACI 318-99 بوده و از رابطه زیر تبعیت می کند .

$$\phi V_n \geq V_u \quad (28-1)$$

برای محاسبه مقاومت برشی اسمی مقطع ،  $V_n$  ، از روابط زیر استفاده می گردد . ضریب کاهش همانند 0.85 برای ACI 318 فرض می گردد .

$$\phi V_n = \phi(V_c + V_s + \psi_f V_f) \quad (29-1)$$

مقدار ضریب کاهش مواد FRP ،  $\psi_f$  ، در رابطه بالا در حالت دورپیچ کامل برابر 0.95 و در حالت دورپیچ U شکل و چسباندن در دو طرف مقطع برابر 0.85 فرض می شود .

$$V_c = 0.1676 \sqrt{f'_c b_w d} \quad (30-1)$$

$$V_s = \frac{A_{sv} f_y (\sin \beta + \cos \beta) d}{s} \quad (31-1)$$

$$V_f = \frac{A_{fv} f_{fe} (\sin \alpha + \cos \alpha) d_f}{s_f} \quad (32-1)$$

$$A_{fv} = 2nt_f w_f \quad (33-1)$$

$$f_{fe} = \varepsilon_{fe} E_f \quad (34-1)$$

$\varepsilon_{fe}$  در رابطه بالا ، کرنش مؤثر بوده و برابر ماقریزم کرنشی است که می توان در سیستم FRP در بالاترین مرحله بارگذاری به آن رسید . جهت به حساب آوردن اثر جدادشده لایه ها مخصوصا در حالت نصب U شکل و یا چسباندن در دو طرف مقطع ، از ضریب کاهش چسبندگی  $\kappa_v$  استفاده می گردد . در نهایت می توان کرنش مؤثر در حالات مختلف را از روابط زیر محاسبه نمود .  
حالت دورپیچ کامل :

$$\varepsilon_{fe} = 0.75 \varepsilon_{fu} \leq 0.004 \quad (\text{for completely wrapping all four sides}) \quad (35-1)$$

حالت دورپیچ U شکل و چسباندن در دو طرف مقطع :

$$\varepsilon_{fe} = \kappa_v \varepsilon_{fu} \leq 0.004 \quad (\text{for } U-wraps \text{ or bonding to two sides}) \quad (36-1)$$

$$\kappa_v = \frac{k_1 k_2 L_e}{11,900 \varepsilon_{fu}} \leq 0.75 \quad (37-1)$$

$$L_e = \frac{23,300}{(nt_f E_f)^{0.58}} \quad (38-1)$$

$$k_1 = \left[ \frac{f'_c}{27} \right]^{\frac{2}{3}} \quad (39-1)$$

$$k_2 = \begin{cases} \frac{d_f - L_e}{d_f} & \text{for } U \text{ wraps} \\ \frac{d_f - 2L_e}{d_f} & \text{for two-side bonded} \end{cases} \quad (40-1)$$

محدودیت در مقاومسازی برشی همانند ACI 318-99 وجود داشته و از رابطه زیر تعیین می کند .

$$V_s + V_f \leq 0.66 \sqrt{f'_c b_w d} \quad (41-1)$$

## ۱۲-۱ : مقاومسازی فشاری

با محصور کردن عضو فشاری می توان با اعمال تنش محصور کنندگی ، مقاومت فشاری عضو را بالا برد . در این راستا با کمک نصب الیافهای مواد FRP به صورت مورب نسبت به محور طولی می توان عضو را به طور کامل محصور نمود . در این حالت نیز ضابطه طراحی براساس رابطه زیر می باشد .

$$\phi P_n \geq P_u \quad (42-1)$$

مقدار  $\phi$  براساس آیین نامه 318 ACI [1] ، برای خاموتهای فولادی 0.7 و برای تنگهای فولادی 0.75 فرض می گردد . مقاومت فشاری اسمی نیز در حالت دوربیج شده با FRP از روابط زیر قابل محاسبه است .

برای اعضای غیر پیش تنیده با تنگهای فولادی تقویت کننده :

$$\phi P_n = 0.85\phi(0.85\psi_f f'_{cc}(A_g - A_{st}) + f_y A_{st}) \quad (43-1)$$

برای اعضای غیر پیش تنیده با خاموتهای فولادی تقویت کننده :

$$\phi P_n = 0.80\phi(0.85\psi_f f'_{cc}(A_g - A_{st}) + f_y A_{st}) \quad (44-1)$$

مقدار  $\psi_f$  که ضریب کاهش مواد FRP است برابر 0.95 درنظر گرفته می شود . همچنین  $f'_{cc}$  مقاومت بتن محصور شده برای حالت استوانه ای بوده که از رابطه زیر بدست می آید .

$$f'_{cc} = f'_c \left[ 2.25 \sqrt{1 + 7.9 \frac{f_1}{f'_c}} - 2 \frac{f_1}{f'_c} - 1.25 \right] \quad (45-1)$$

$$f_1 = \frac{\kappa_a \rho_f f_{fe}}{2} = \frac{\kappa_a \rho_f \epsilon_{fe} E_f}{2} \quad (46-1)$$

$$\epsilon_{fe} = 0.004 \leq 0.75 \epsilon_{fu} \quad (47-1)$$

$$\rho_f = \frac{4nt_f}{D} \quad (48-1) \quad \text{برای اعضای دایره ای :}$$

در رابطه بالا D قطر مقطع می باشد و مقدار  $\kappa_a$  که ضریب راندمان نام دارد برابر 1.0 فرض می گردد . برای مقاطع غیر دایره ای ، پوشش FRP باعث افزایش چندانی در مقاومت فشاری عضو نخواهد شد . از جمله محدودیتهای اعمال شده در حالت سروپس عبارتند از :

$$f_c \leq 0.65 f'_c \quad (49-1)$$

$$f_s \leq 0.6 f_y \quad (50-1)$$

$$f_f \leq (2-1) \text{ حد تنش گسیختگی خرشی (جدول ۱)} \quad (51-1)$$

### ۱۳-۱: مقاومسازی کششی

جهت مقاومسازی کششی عضو باید راستای الیافهای FRP در جهت کشش (طول عضو) قرار گیرد. برای طراحی حالت کشش می‌توان از روابط مربوط به مقاومسازی برشی استفاده کرد. مقدار تنش در FRP با توجه به رفتار الاستیک آن برابر مقدار کرنش مؤثر موجود در آن ضریب مدول الاستیسیته آن خواهد بود. به عبارتی:

$$f_{fe} = E_f \cdot \varepsilon_{fe} \quad (52-1)$$

$$\varepsilon_{fe} = \kappa_v \varepsilon_{fu} \leq 0.004 \quad (53-1)$$

$$\kappa_v = \frac{k_1 k_2 L_e}{11,900 \varepsilon_{fu}} \leq 0.75 \quad (54-1)$$

$$L_e = \frac{23,300}{(nt_f E_f)^{0.58}} \quad (55-1)$$

$$k_1 = 1.0 \quad (56-1)$$

$$k_2 = \frac{L - 2L_e}{L} \quad (57-1)$$

سهم FRP در کشش برابر خواهد بود با:

$$T_f = f_{fe} \cdot A_f \quad (58-1)$$

$$T_n = T_s + T_f \quad (59-1)$$

$$\phi T_n \geq T_u \quad (60-1)$$

در حالت کشش خالص براساس ACI 318 فرض می‌گردد. سهم فولاد در کشش نیز از رابطه زیر محاسبه می‌شود.

$$T_s = f_s \cdot A_s \quad (61-1)$$

$$f_s = \varepsilon_s E_s \leq f_y \quad (62-1)$$

۱۴-۱: افزایش شکل پذیری

افزایش شکل پذیری مقطع نتیجه توانایی در بیشتر شدن ماكزیمم کرنشهای فشاری در بتن قبل از شکست فشاری است . پوشش FRP با اعمال این رفتار همچنین توانایی ایجاد تأخیر در کمانش فولادهای تقویت کننده را تحت فشار داشته و می تواند در قسمتهای وصله آرماتورها ، آنها را در سر جای خود محکم حفظ کند . جهت بررسی میزان شکل پذیری لازم است کرنش نهایی بتن محصور شده با FRP از رابطه زیر محاسبه گردد .

$$\varepsilon'_{cc} = \frac{1.71(5f'_{cc} - 4f'_c)}{E_c} \quad (63-1)$$

در حالت عضو با مقطع دایره ای ، مقدار  $f'_{cc}$  در قسمت مقاومسازی فشاری مطرح شد . برای اعضای غیردایره ای ، می توان از همان روابط استفاده شده برای اعضای استوانه ای استفاده کرد با این تفاوت که مقدار  $\rho_f$  و  $K_a$  از دو رابطه زیر بدست آید .

$$\rho_f = \frac{2nt_f(b+h)}{bh} \quad (64-1)$$

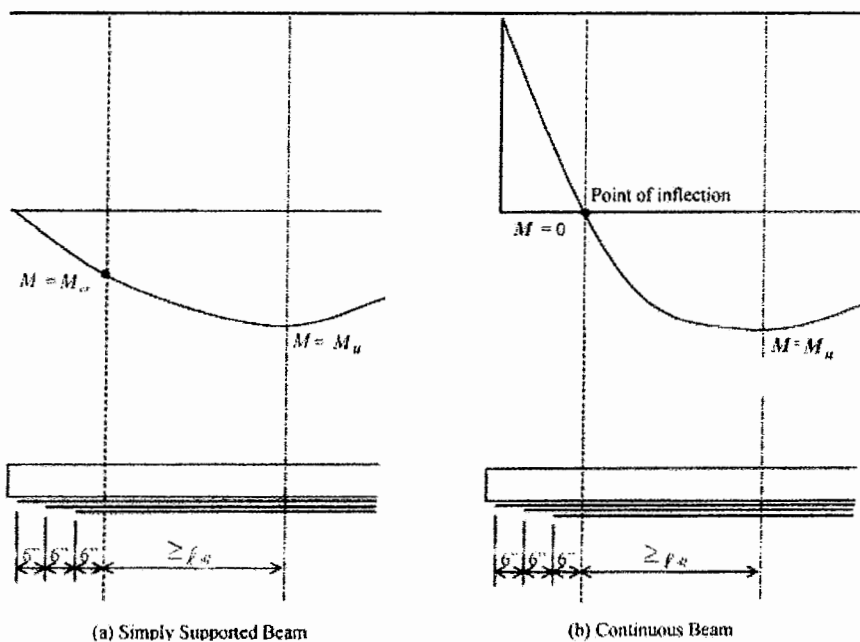
$$K_a = I \frac{(b-2r)^2 + (h-2r)^2}{3bh(1-\rho_f)} \quad (65-1)$$

اثر محصور کنندگی پوشش FRP باید در مقاطع مستطیلی با نسبت ابعاد  $h/b$  بیشتر از ۱.۵ یا با اندازه  $b$  یا  $h$  بزرگتر از ۹۰۰ mm صرفنظر شود .

۱۵-۱ : جزئیات مقاومسازی

به منظور عدم رخ دادن پدیده جدادشده FRP لازم است نکات خاصی رعایت شود . از جمله این نکات می توان به موارد زیر اشاره نمود :

- ۱- در گوشه های داخلی و درونی ، FRP به صورت یکپارچه چرخانده نشود .
- ۲- دارا بودن شعاع حداقل 25 mm در هنگام پوشاندن گوشه های خارجی با FRP
- ۳- امتداد لایه FRP به اندازه  $d$  تا بعد از نقطه متناظر با ممان ترک خوردگی در حالت تکیه گاه ساده
- ۴- کنترل مقاومت بر بشی مقطع در حالت تکیه گاه ساده براساس رابطه  $V_u < 0.67 V_c$  ; در غیر اینصورت باید از تقویت کننده های عرضی جهت جلوگیری از جدادشده استفاده شود .
- ۵- امتداد لایه FRP به اندازه حداقل  $d/2$  یا 150 mm تا بعد از نقطه ای که در آن ممان صفر است در حالت تیرهای پیوسته
- ۶- اعمال روی هم افتادگی کافی به منظور عدم جدادشده در راستای الیافها . در صورت وجود لایه های چند جهتی باید روی هم افتادگی در بیشتر از یک جهت صورت گیرد .



شکل ۱-۴ : نمایش گرافیکی راهنمایی نقطه قطع مجاز در سیستم FRP سه لایه ای

## فصل دوم : خلاصه ای از آیین نامه fib Bulletin 14 (2001) با عنوان :

### راهنمای طراحی تقویت کننده های FRP چسبیده به صورت خارجی برای سازه های بتن آرمه

#### ۱-۲: کلیات

در این سمینار به جنبه های طراحی این آیین نامه پرداخته شده و دیگر جنبه های مطرح شده در آیین نامه ACI 440 مورد توجه قرار نگرفته است. در واقع فصول مربوط به طراحی مقاومسازی سازه ها براساس این آیین نامه ارائه گردیده است. پایه طراحی در این آیین نامه، طراحی سازه های بتن آرمه معمولی براساس (CEN 1991 EuroCode 2) [۱۳] می باشد.

در این آیین نامه هر دو حالت حدی سرویس (SLS) و نهایی (ULS) باید مورد بررسی قرار گیرد. در حالت سرویس باید معیارهای تنش در مواد ، تغییر شکلها و خیزها و همچنین ترک خوردنگی ارزیابی شود . اگر طراحی مقاومسازی براساس بهبود خدمت پذیری صورت گیرد ، SLS در طراحی حاکم خواهد بود . حتی اگر علت مقاومسازی براساس افزایش مقاومت سازه صورت گیرد ، ممکن است SLS در طراحی حاکم باشد ؛ چراکه مواد FRP دارای مقاومت بالایی بوده و سطح مقطع کمی از آن برای ارضای ضوابط ULS کافی است ، اما با توجه به مدول الاستیسیته کم FRP ، ممکن است این سطح مقطع برای برآورده کردن ضوابط SLS کافی نباشد .

ترکیب بار لازم برای طراحی در حالت SLS در EC2 مشخص شده است . ضریب ایمنی مواد ،  $\gamma_m$  به استثنای موارد خاص برابر 1.0 فرض می شود . همچنین رابطه تنش - کرنش مواد به صورت خطی فرض می شود . در حالت حد نهایی باید همه گسیختگی های ممکن بررسی شود . حالات گسیختگی مختلف بر دو اصل می باشد . اول اینکه فرض شود عملکرد بین کامپوزیت و بتن تا آخر به طور کامل باقی بماند ؛ دوم اینکه فرض شود گسیختگی ناشی از یکی از حالت های جداسدگی است .

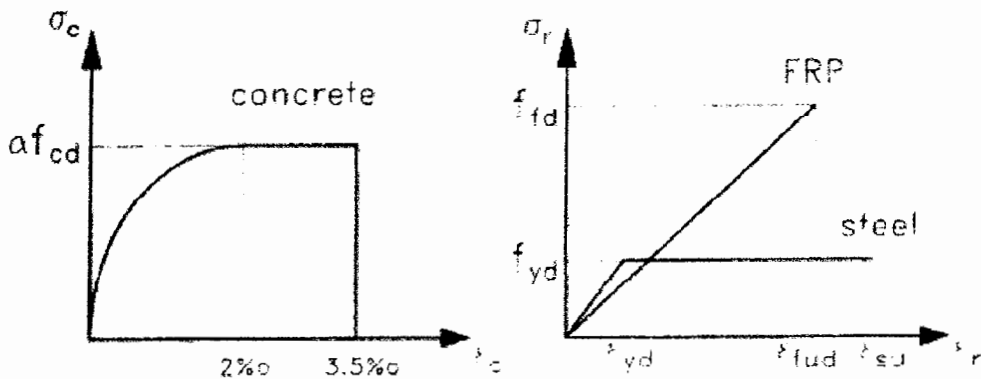
#### ۲-۲: خصوصیات مواد و ضوابط کلی

در حالت حد نهایی (ULS) با فرض عملکرد کامل کامپوزیت بین بتن و FRP می توان منحنی های تنش - کرنش برای هریک از مواد را به صورت شکل ۱-۴ نشان داد . در این حالت ، ضریب ایمنی برای بتن ،  $\gamma_c = 1.5$  و برای فولاد  $\gamma_s = 1.15$  فرض شده است . این در حالی است که ضریب  $\alpha$  به منظور محاسبه مقاومت فشاری کاهش یافته تحت بارگذاری طویل المدت برابر 0.85 فرض می گردد . مقدار  $f_{cd}$  نیز از رابطه  $f_{cd} = f_{ck}/\gamma_c$  بدست می آید که در آن  $f_{ck}$  مقاومت فشاری بتن استوانه ای می باشد . برای مواد FRP روابط زیر برقرار است .

$$\sigma_f = E_{fu}\varepsilon_f \leq f_{fd} \quad (1-2)$$

$$E_{fu} = \frac{f_{jk}}{\varepsilon_{fuk}} \quad (2-2)$$

$$f_{fd} = \frac{f_{jk}}{\gamma_f} \frac{\varepsilon_{fue}}{\varepsilon_{fum}} \quad (3-2)$$



شکل ۱-۲ : منحنی تنش - کرنش مواد سازنده در حالت حدی نهایی

از آنجاییکه انتظار می رود کرنش نهایی مؤثر FRP ،  $\varepsilon_{fue}$  ، به طورقابل ملاحظه ای با کرنش متوسط ،  $\varepsilon_{fum}$  ، بدست آمده از آزمایش کشش تک محوری اختلاف نداشته باشد؛ نسبت  $\varepsilon_{fue}/\varepsilon_{fum}$  معمولاً برابر ۱.۰ فرض می گردد. مقادیر ۱-۲ از جدول ۱-۲ قابل دستیابی است.

جدول ۱-۲ : ضرایب ایمنی مواد FRP ، γf

نوع کاربرد A	نوع کاربرد B
CFRP	1.20
AFRP	1.25
GFRP	1.30

نوع کاربرد A : استفاده از سیستمهای FRP پیش ساخته تحت شرایط کنترل با کیفیت معمولی؛ استفاده از سیستمهای wet lay-up در صورتی که همه ضوابط لازم اجرا شده و کنترل بالایی در کیفیت شرایط کاربرد و پروسه کاربرد انجام گردد.

نوع کاربرد B : استفاده از سیستمهای wet lay-up تحت شرایط کنترل کیفیت معمولی و استفاده از هر نوع سیستم تحت شرایط کاری سخت کارگاه.

در مورد بررسی حالت حد نهایی با وجود گسیختگی اتصال بین FRP و بتن، می توان گفت که با فرض کاربرد صحیح و نصب مناسب FRP، گسیختگی اتصال معمولاً در بتن رخ خواهد داد؛ لذا بررسی حالت حد نهایی در این مورد براساس مقاومت برشی یا کششی طراحی بتن با معرفی ضریب ایمنی  $\gamma_{cb} = 1.5$  خواهد بود.

در این آیین نامه به منظور اینمی در گسیختگی ، ضوابط خاصی را جهت تأمین شکل پذیری ارائه کرده است . براین اساس مقادیر حداقل کرنش در FRP را با توجه به معیارهای شکل پذیری در EC2 و فرض  $\epsilon_{cu} = 0.0035$  به صورت زیر محدود کرده است .

$$\begin{aligned}\epsilon_{fu,c} &\geq 0.0050 - \epsilon_0 && \text{for concrete types C35/45 or lower} \\ \epsilon_{fu,c} &\geq 0.0075 - \epsilon_0 && \text{for concrete types higher than C35/45}\end{aligned}\quad (4-2)$$

براین اساس مقادیر حداقل کرنش در فولادهای کششی و میزان شکل پذیری به صورت زیر بیان می شود .

$$\begin{aligned}\epsilon_{su,c} &\geq 0.0043 && \text{for concrete types C35/45 or lower} \\ \epsilon_{su,c} &\geq 0.0065 && \text{for concrete types higher than C35/45}\end{aligned}\quad (5-2)$$

$$\begin{aligned}\delta_{x,min} &\approx 1.7 && \text{for steel S500 and concrete types C35/45 or lower} \\ \delta_{x,min} &\approx 2.6 && \text{for steel S500 and concrete types higher than C35/45}\end{aligned}\quad (6-2)$$

اگر حالت حد سرویس در طراحی عضو مقاومسازی شده به صورت خمشی یا کششی حاکم باشد ، برآورده کردن ضوابط شکل پذیری با توجه به اینکه ضریب اینمی بالایی بین بار سرویس (S) و بار مقاوم طراحی (R) وجود دارد ، مشکل می باشد ؛ لذا در مواردی که  $R > 1.2 S$  ، لازم نیست که شرایط شکل پذیری برآورده شود .

۳-۲: مقاومسازی خمی

سازه های بتن آرمه می توانند با چسباندن FRP در ناحیه کششی آنها به گونه ای که راستای الیافهای آنها درامتداد کشش است ، به صورت خمی تقویت گردند . طراحی اعضای مقاومسازی شده با FRP در خمی براساس این آیین نامه با ملاحظه دو حالت زیر برای حالت حد نهایی دنبال می شود :

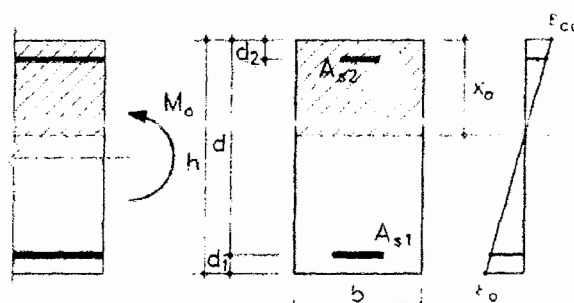
- ۱- محاسبه سهم تقویت کننده های FRP
- ۲- بررسی موضوع اتصال بین FRP و بتن و اثرات جداسدگی در کاهش تقویت .

۳-۱: فرضیات

- از جمله فرضیاتی که در طراحی خمی مدنظر قرار گرفته است عبارتند از :
- ۱- تغییرات کرنش در عمق مقطع به صورت خطی می باشد (فرضیه برنولی)
  - ۲- در نظر گرفتن کرنش اولیه بستر قبل از نصب FRP
  - ۳- کرنش فشاری ماکزیمم استفاده شده در بتن  $0.0035 M_o$  در نظر گرفته می شود
  - ۴- مقاومت کششی بتن ناچیز است
  - ۵- روابط تنش - کرنش مواد براساس شکل های ۱-۲ می باشد .

۲-۳-۲: محاسبه کرنش اولیه

اولین گام از طراحی خمی ، محاسبه کرنش اولیه بستر قبل از نصب FRP می باشد . برای این منظور بعد از محاسبه ممان ترک خوردگی ،  $M_{cr}$  ، در صورتی که ممان اولیه ،  $M_o$  ، از ممان ترک خوردگی کمتر بود ، از اثر این ممان در محاسبات عضو تقویت شده به راحتی صرف نظر می گردد . در غیر اینصورت می توان مقدار کرنش اولیه را از روابط زیر محاسبه کرد .



شکل ۲-۲ : شرایط اولیه

$$\frac{1}{2}bx_0^2 + (\alpha_s - 1)A_{s2}(x_0 - d_2) = \alpha_s A_{sl}(d - x_0) \quad (7-2)$$

$$\alpha_s = \frac{E_s}{E_c}$$

$$I_{c0} = \frac{bx_0^3}{3} + (\alpha_s - 1)A_{s2}(x_0 - d_2)^2 + \alpha_s A_{sl}(d - x_0)^2 \quad (8-2)$$

$$\varepsilon_{c0} = \frac{M_0(h - x_0)}{E_c I_{c0}} \quad (9-2)$$

### ۳-۳-۲ : مودهای گسیختگی تیرها

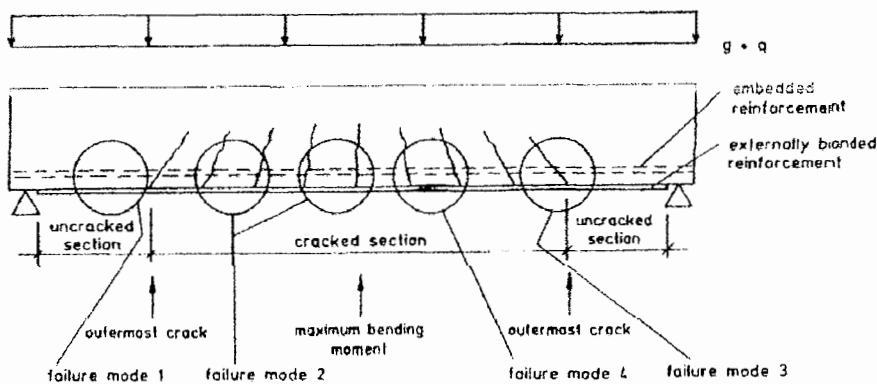
مودهای گسیختگی در حالت حد نهایی به دو دسته اصلی تقسیم می شوند. اولین حالت، حالتی است که عملکرد کامپوزیت به طور کامل بوده و پدیده جداشدگی رخ ندهد. این مود از گسیختگی خود به سه دسته زیر تقسیم می گردد.

- ۱- فولاد تسلیم شده و بدنبال آن بتن خرد گردد.
- ۲- فولاد تسلیم شده و بدنبال آن FRP گسیخته شود.
- ۳- بتن به تنها ی خرد شود.

بهینه ترین حالت گسیختگی، حالتی است که فولاد تسلیم شده و بدنبال آن FRP و بتن به طور همزمان به حد نهایی مقاومت خود برسند.

دسته بعدی مربوط به حالتی است که عملکرد کامپوزیت به طور کامل نبوده و در واقع پدیده جداشدگی رخ دهد. مودهای گسیختگی ناشی از جداشدگی FRP به چند دسته تقسیم می گردد که عبارتند از :

- ۱- جداشدگی در بتن نزدیک سطح یا در راستای لایه ضعیف شده
- ۲- جداشدگی در چسب
- ۳- جداشدگی در سطح بین بتن و چسب و یا بین چسب و FRP

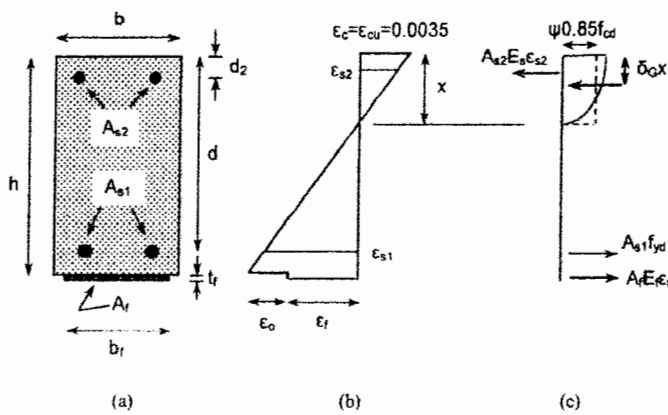


شکل ۳-۲ : مودهای گسیختگی اتصال یک عضو بتنی تقویت شده با FRP

با توجه به آزمایشات ، معمولاً عضو ضعیف ، بتن بوده و گسیختگی ناشی از جداسدگی در بتن نزدیک سطح یا در راستای لایه ضعیف شده رخ می دهد . خود این نوع گسیختگی در چند حالت ممکن است رخ دهد که عبارتند از :

- ۱- جداسدگی در یک ناحیه فشاری ترک نخورده
- ۲- جداسدگی ناشی از ترکهای خمشی
- ۳- جداسدگی ناشی از ترکهای برشی
- ۴- جداسدگی ناشی از ناصافی در سطح بتن

اما یک نوع دیگر از گسیختگی ناشی از جداسدگی ، گسیختگی برشی انتهای FRP می باشد . در این حالت با بررسی ماکریزم تنش برشی نزدیک انتهای صفحه ، می توان آن را کنترل نمود .



شکل ۴-۲ : آنالیز سطح مقطع برای حالت حد نهایی در خمسه (a) هندسه (b) توزیع کرنش (c) توزیع تنش

#### طراحی مقاومسازی خمشی

به منظور طراحی مقاومسازی خمشی در ابتدا فرض می شود که عملکرد کامپوریت به صورت کامل باشد . همچنین در ابتدا فرض می شود که گسیختگی به صورت تسليیم شدگی فولاد و بدنبال آن خردشگی بتن رخ دهد . در این حالت با توجه به روابط مندرج در آیین نامه EC2 و شکل ۴-۲ می توان ظرفیت ممان خمشی طراحی را از روابط زیر بدست آورد .

محاسبه عمق تار خنثی ،  $x$  :

$$0.85\psi f_{cd}bx + A_{s2}E_s\epsilon_{s2} = A_{s1}f_{yd} + A_fE_{fy}\epsilon_f \quad (10-2)$$

که در آن  $\psi = 0.8$  و

$$\epsilon_{s2} = \epsilon_{cu} \frac{x - d_2}{x} \quad (E_s\epsilon_{s2} \text{ not to exceed } f_{yd}) \quad (11-2)$$

$$\varepsilon_f = \varepsilon_{cu} \frac{h-x}{x} - \varepsilon_0 \quad (12-2)$$

ظرفیت ممان خمشی طراحی برابر خواهد بود با :

$$M_{Rd} = A_{s1}f_{yd}(d - \delta_G x) + A_f E_f \varepsilon_f (h - \delta_G x) + A_{s2}E_s \varepsilon_{s2}(\delta_G x - d_2) \quad (13-2)$$

که در آن  $\delta_G = 0.4$  است .

برای روابط درنظرگرفته شده در بالا ، حدهای زیر باید کنترل گردد :

(۱) تسلیم شدگی آرماتورهای فولادی کششی ، (۲) کرنش نهایی آن شود ( $\varepsilon_{fud}$ )

$$\varepsilon_{sl} = \varepsilon_{cu} \frac{d-x}{x} \geq \frac{f_{yd}}{E_s} \quad (14-2)$$

$$\varepsilon_f = \varepsilon_{cu} \frac{h-x}{x} - \varepsilon_0 \leq \varepsilon_{fud} \quad (15-2)$$

در صورتی که حد اول برقرار نبود ، باید روابط بالا با توجه به  $\varepsilon_{sl}$  بدست آمده براساس  $\varepsilon_{cu}$  تکرار شود . در صورتی که حد دوم برقرار نباشد ، به منزله آنسٹکه FRP دچار گسیختگی قبل از خردشدن بتن شده و لذا روابط بالا باید با محاسبه  $\psi$  و  $\delta_G$  جدید تکرار گردد .

$$\varepsilon_c = (\varepsilon_{fud} + \varepsilon_0) \frac{x}{h-x} \quad (16-2)$$

$$\psi = \begin{cases} 1000\varepsilon_c \left( 0.5 - \frac{1000}{12} \varepsilon_c \right) & \text{for } \varepsilon_c \leq 0.002 \\ 1 - \frac{2}{3000\varepsilon_c} & \text{for } 0.002 \leq \varepsilon_c \leq 0.0035 \end{cases} \quad (17-2)$$

$$\delta_G = \begin{cases} \frac{8 - 1000\varepsilon_c}{4(6 - 1000\varepsilon_c)} & \text{for } \varepsilon_c \leq 0.002 \\ \frac{1000\varepsilon_c(3000\varepsilon_c - 4) + 2}{2000\varepsilon_c(3000\varepsilon_c - 2)} & \text{for } 0.002 \leq \varepsilon_c \leq 0.0035 \end{cases} \quad (18-2)$$

لازم به ذکر است که چون مقدار عمق تار خنثی استفاده شده برای محاسبه  $\varepsilon_c$  ، از روابط قبل بدست آمده است ، باید روند سعی و خطأ آنقدر ادامه پیدا کند که مقدار  $\varepsilon_c$  بدست آمده همگرا گردد .

۴-۳-۲: محدودیتهای لازم برای عدم وقوع جداشده

همانطور که گفته شد، مودهای گسیختگی رایج، ناشی از جداشده FRP بوده که خود پدیده جداشده به دسته های مختلف تقسیم گردید. برای کنترل عدم وقوع این جداشده ها، محدودیتهایی توسط آیین نامه ارائه گردیده است که برای هر مود از جداشده مطرح می گردد.

۴-۳-۱: اعمال محدودیت برای جداشده ناشی از ترکهای برشی

برای این منظور براساس مطالعات انجام شده دو مدل جهت محدود کردن پدیده جداشده مطرح شده است که می توان به منظور محافظه کاری بیشتر دو روش را بررسی نموده و روشهای محافظه کارانه تر را انتخاب نمود. روابط مربوطه به صورت زیر می باشد.

$$V_u \leq \min\{V_{Rd1}, V_{RP}\} \quad (19-2)$$

$$V_{Rd1} = bd(\tau_{Rk} k(1.2 + 40\rho_{eq}) / \gamma_c) \quad (20-2)$$

$$k = 1.6 - \frac{d}{1000} \quad (21-2)$$

$$\tau_{Rk} = 0.15 f_{ck}^{1/3} \quad (22-2)$$

$$\rho_{eq} = \frac{A_s + A_f \frac{E_f}{E_s}}{bd} \quad (23-2)$$

$$\tau_{RP} = 0.38 + 151\rho_{eq} (MPa) \quad (24-2)$$

$$V_{RP} = \tau_{RP} \cdot bd \quad (25-2)$$

۴-۳-۲: اعمال محدودیت برای جداشده ناشی از گسیختگی برشی در انتهای صفحه

به جهت جلوگیری از گسیختگی برشی در انتهای صفحه می توان نیروی برشی را به مقدار بدست آمده از روابط زیر محدود نمود.

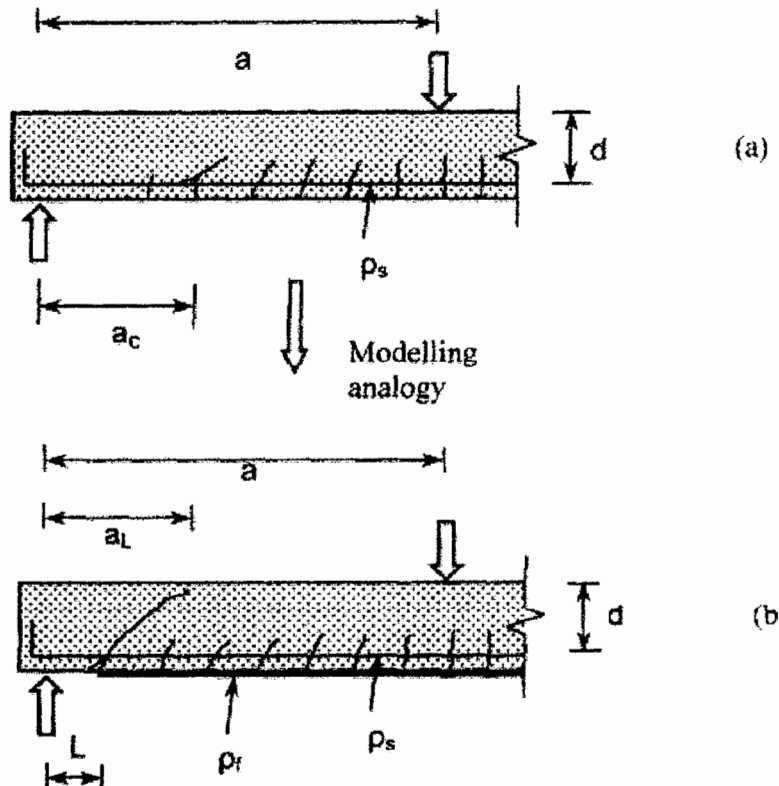
$$V_{Sd} \leq V_{Rd} = \tau_{Rd} bd \quad (26-2)$$

$$\tau_{Rd} = 0.15 \sqrt[3]{3 \frac{d}{a_L} \left(1 + \sqrt{\frac{200}{d}}\right)} \sqrt[3]{100 \rho_s f_{ck}} \quad (27-2)$$

$$a_L = \sqrt[4]{\frac{(1 - \sqrt{\rho_s})^2}{\rho_s}} d L^3 \quad (28-2)$$

$$a > L + d, \quad a_L < a \quad (29-2)$$

$$\rho_s = \frac{A_{sl}}{bd} \quad (30-2)$$



شکل ۵-۲ : (a) مفهوم ناحیه برشی مجازی ، (b) قیاس مدلسازی برای انتها گسیختگی برشی  
انتها FRP

### ۳-۵-۳-۲ : اعمال محدودیت برای جدادشگی انتهای صفحه

به منظور عدم جدادشگی FRP در انتهای تیر باید ضوابط زیر که شامل سه روند مختلف است  
، کنترل گردد .

### ۱-۳-۵-۳-۲ : روش اول

در روش اول ماکزیمم نیروی ممکن در FRP از روابط زیر قابل دستیابی است .

$$N_{fa,\max} = \alpha c_1 k_c k_b b_f \sqrt{E_f t_f f_{ctm}} \quad (N) \quad (31-2)$$

$$f_{ctm} = 0.3(f_{ck})^{0.67} \quad (32-2)$$

$$l_{b,\max} = \sqrt{\frac{E_f t_f}{c_2 f_{ctm}}} \quad (mm) \quad (33-2)$$

در روابط بالا ، ضریب کاهش بوده و تقریباً برابر ۰.۹ است و برای به حساب آوردن اثر ترکهای مورب در مقاومت اتصال می باشد .  $k_c$  یک فاکتور برای به حساب آوردن فشردگی بتن بوده و عموماً می تواند برابر ۱.۰ فرض شود ، اما برای FRP چسبیده به سطح بتنی با فشردگی کم ، در نظر گرفته می شود .  $k_b$  ضریب هندسی بوده و با شرط  $b_f/b \geq 0.33$  از رابطه زیر محاسبه می گردد .

$$k_b = 1.06 \sqrt{\frac{2 - \frac{b_f}{b}}{1 + \frac{b_f}{400}}} \geq 1 \quad (34-2)$$

مقادیر  $c_1$  و  $c_2$  از کالیبراسیون نتایج آزمایش بدست می آیند که برای نوارهای CFRP به ترتیب برابر ۰.۶۴ و ۲ می باشند . در صورتی که طول مهاری مجاز رعایت نشده باشد ( $L_b < L_{b,\max}$ ) ، حداقل نیروی ممکن در FRP از رابطه زیر بدست می آید .

$$N_{fa} = N_{fa,\max} \frac{l_b}{l_{b,\max}} \left( 2 - \frac{l_b}{l_{b,\max}} \right) \quad (35-2)$$

### ۳-۳-۵-۳-۲ : روش دوم

در این روش همانند روش اول یکسری روابطی جهت محاسبه تنش ماکزیمم ممکن ، FRP ارائه شده است که به ترتیب زیر می باشد .

$$\sigma_{fad,\max} = \frac{c_1}{\gamma_c} \sqrt{\frac{E_f \sqrt{f_{ck} f_{ctm}}}{t_f}} \quad [MPa] \quad (36-2)$$

$$c_1 = 0.23 \quad (37-2)$$

$$l_{b,\max} = c_2 \sqrt{\frac{E_f t_f}{\sqrt{f_{ck} f_{ctm}}}} \quad [mm] \quad (38-2)$$

$$c_2 = 1.44 \quad (39-2)$$

در این روش نیز اگر  $L_b < L_{b,\max}$  ، مقدار تنش ماکزیمم ممکن به صورت زیر محاسبه می شود .

$$\sigma_{fad} = \frac{l_b}{l_{b,\max}} \left( 2 - \frac{l_b}{l_{b,\max}} \right) \cdot \sigma_{fad,\max} \quad l_b \leq l_{b,\max} \quad (40-2)$$

۴-۵-۳-۲ : اعمال محدودیت برای جداشده‌گی در طول اتصال FRP به تیر

۱-۴-۵-۳-۲ : روش اول

براساس این روش جهت جلوگیری از پدیده جداشده‌گی در طول اتصال FRP به تیر دو رابطه زیر باید در تمام محل اتصال FRP به بتن، کنترل گردد.

$$\varepsilon_{sl} < \varepsilon_{yd} : \frac{V_d}{0.95db_f \left( 1 + \frac{A_{sl}E_s}{A_f E_f} \right)} \leq f_{cbd} \quad (41-2)$$

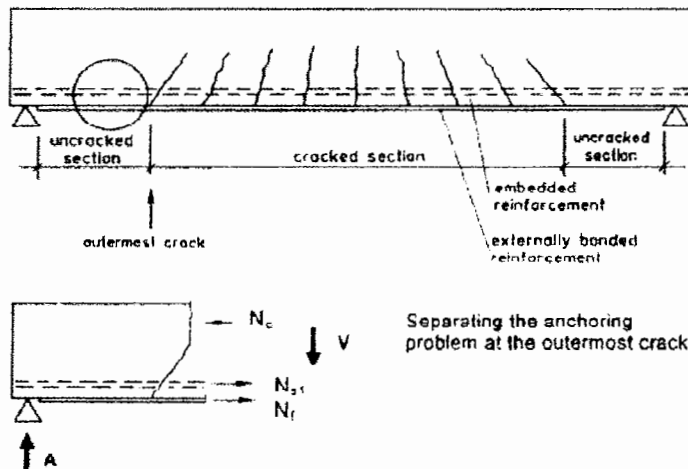
$$\varepsilon_{sl} \geq \varepsilon_{yd} : \frac{V_d}{0.95db_f} \leq f_{cbd} \quad (42-2)$$

در روابط بالا،  $V_d$  مقدار برش موجود در مقاطع می باشد و  $f_{cbd}$  مقاومت برشی اتصال بتن است که از رابطه زیر بدست می آید.

$$f_{cbd} = 1.8 \frac{f_{ctk}}{\gamma_c} \quad (43-2)$$

۲-۴-۵-۳-۲ : روش دوم

روند دوم مطرح شده در این آینه نامه جهت بررسی پدیده جداشده‌گی در طول اتصال بسیار جزئی تر به این مسئله پرداخته است.

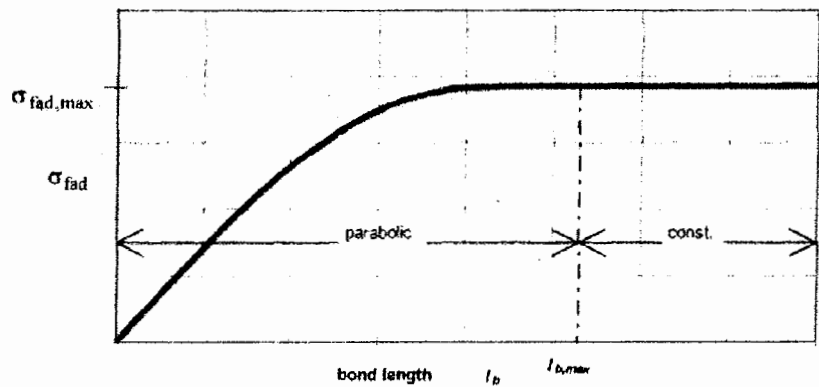


شکل ۶-۲ : مهار انتهایی در یک ناحیه بتن ترک نخورده

در این روش روند طراحی به طور خلاصه به چهار بخش کلی تقسیم می گردد:

۱- محاسبه فاصله ترکهای خمسی از یکدیگر،  $s_{rm}$

- ۲- محاسبه تنش موجود در محل ترک FRP در مبنای اعمالی در آن نقطه و روابط تعادل و سازگاری کرنشی که در حالت عملکرد کامل کامپوزیت مطرح شد ( $\sigma_{fad}$ )
- ۳- محاسبه ماکزیمم تغییرات تنشی ممکن در FRP در فاصله بین مقطع مورد نظر تا محل انتهای  $\max\Delta\sigma_{fad}$  ، FRP
- ۴- بررسی رابطه  $\Delta\sigma_{fad} < \max\Delta\sigma_{fad}$  جهت کنترل عدم بروز پدیده جداشدگی برای هر دو ترک متوالی



شکل ۷-۲ : تنش کششی قابل مهار وابسته به طول مهاری

اما مرحله اول که محاسبه فاصله ترکهای خمشی از یکدیگر ( $s_{rm}$ ) بود ، می تواند براساس روابط زیر ارائه گردد .

$$\tau_{sm} = 2.25 f_{ctk,0.95} = 1.85 f_{ctm} \quad (44-2)$$

$$\tau_{fm} = 0.44 f_{ctm} \quad (45-2)$$

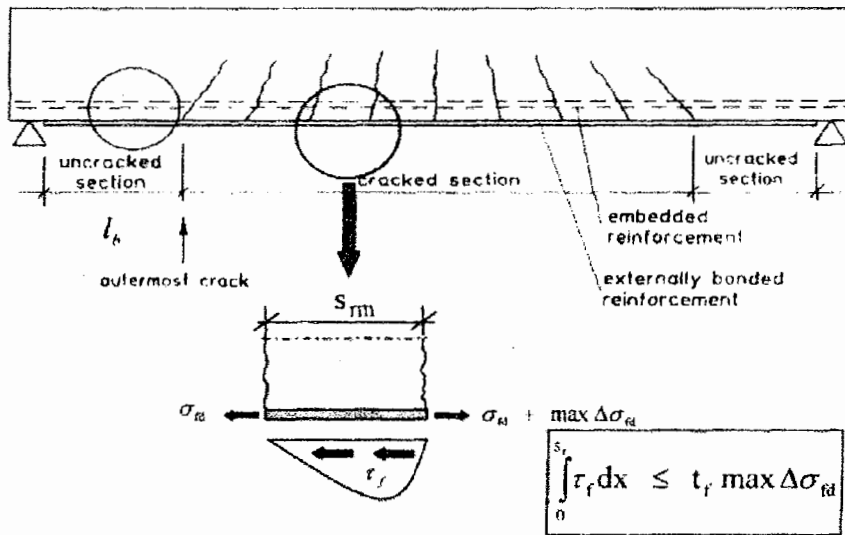
$$s_{rm} = 2l_t = 2 \frac{M_{cr}}{z_m} \frac{1}{\left( \sum \tau_{fm} b_f + \sum \tau_{sm} d_s \pi \right)} \quad (46-2)$$

$$M_{cr} = \frac{k f_{ctk,0.95} b h^2}{6} \quad (47-2)$$

$$z_m = 0.85 \frac{(h E_f A_f + d E_s A_{sl})}{(E_f A_f + E_s A_{sl})} \quad (48-2)$$

مقدار  $k$  در رابطه (۴۷-۲) براساس EC2 برابر ۲.۰ فرض می گردد .

مرحله دوم همانطور که اشاره شد ، محاسبه تنش در FRP در محل دو ترک متوالی است که براساس روابط ارائه شده در حالت عملکرد کامل کامپوزیت بدست می آید .



شکل ۲-۸: عضو بین دو ترک متواالی - آنالیز جدادشده در ترکهای خمشی

در مرحله سوم سه دیاگرام (شکل ۹-۲) جهت محاسبه ماکزیمم تغییرات ممکن در تنش FRP ارائه شده است . در مورد تنشهای کششی زیاد در بتون ، از دیاگرام سوم استفاده می گردد ؛ در غیراینصورت در حالتی که  $\sigma_f^{(B)}$  کمتر از  $\sigma_f^{(A)}$  باشد ، از رابطه (۵۱-۲) و در حالتی که بیشتر از  $\sigma_f^{(B)}$  باشد ، از رابطه (۵۲-۲) استفاده می شود . روابط مربوط به این دیاگرامها به صورت زیر است .

$$\sigma_f^{(B)} = \frac{c_3 E_f}{s_{rm}} - c_4 \sqrt{f_{ck} f_{ctm}} \frac{s_{rm}}{4t_f} \quad [MPa] \quad (49-2)$$

$$\max \Delta \sigma_{fd}^{(B)} = \frac{1}{\gamma_c} \left[ \sqrt{\frac{c_1^2 E_f \sqrt{f_{ck} f_{ctm}}}{t_f} + (\sigma_f^{(B)})^2} - \sigma_f^{(B)} \right] \quad [MPa] \quad (50-2)$$

$$\max \Delta \sigma_{fd}^{(1)} = \max \Delta \sigma_{fd}^{(A)} - \frac{(\max \Delta \sigma_{fd}^{(A)} - \max \Delta \sigma_{fd}^{(B)})}{\sigma_f^{(B)}} \sigma_{fd} \quad (51-2)$$

$$\max \Delta \sigma_{fd}^{(2)} = \frac{1}{\gamma_c} \left[ \sqrt{\frac{c_1^2 E_f \sqrt{f_{ck} f_{ctm}}}{t_f} + \sigma_{fd}^2} - \sigma_{fd} \right] \quad [MPa] \quad (52-2)$$

$$\max \Delta \sigma_{fd}^{(3)} = f_{fd} - \sigma_{fd} \quad (53-2)$$

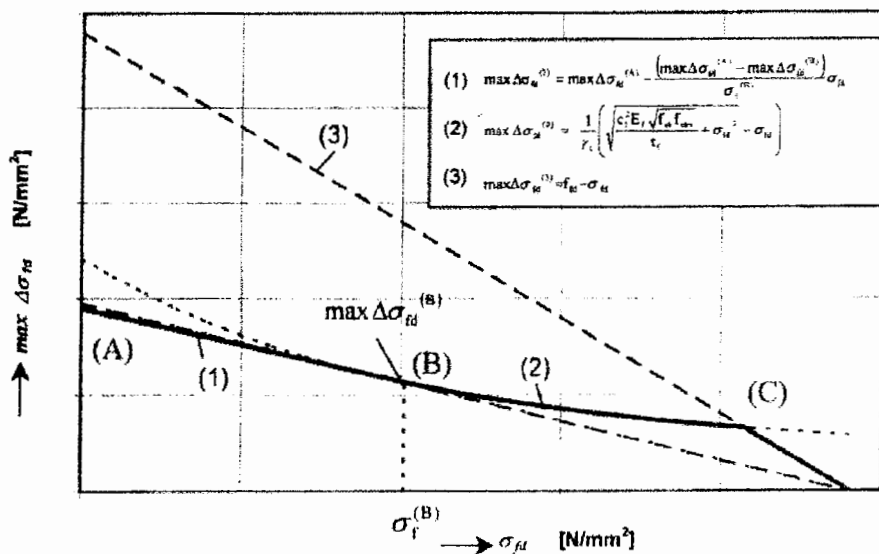
که در آنها  $c_3 = 0.185$  و  $c_4 = 0.285$  و ضریب  $c_1$  از روابط زیر براساس رابطه لغزش - تنش اتصال نشان داده شده در شکل ۱۰-۲ قابل محاسبه است .

$$\tau_{f1d} = \frac{c_4}{\gamma_c} \sqrt{f_{ck} f_{ctm}} \quad \text{is the maximum bond stress,} \quad (54-2)$$

$$s_{f0d} = c_3 = c_1^2 / c_4$$

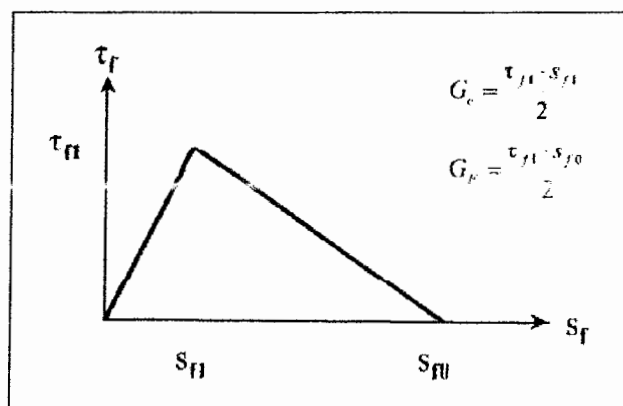
is the slip where debonding occurs, (55-2)

$$G_{fd} = 0.5 \tau_{f1d} s_{f0d} = 0.5 \frac{c_1^2}{\gamma_c} \sqrt{f_{ck} f_{ctm}} \quad \text{is the fracture energy of concrete. (56-2)}$$



شکل ۲-۹ : دیاگرام ماقزیم افزایش ممکن در تنش کششی بین دو ترک متواالی

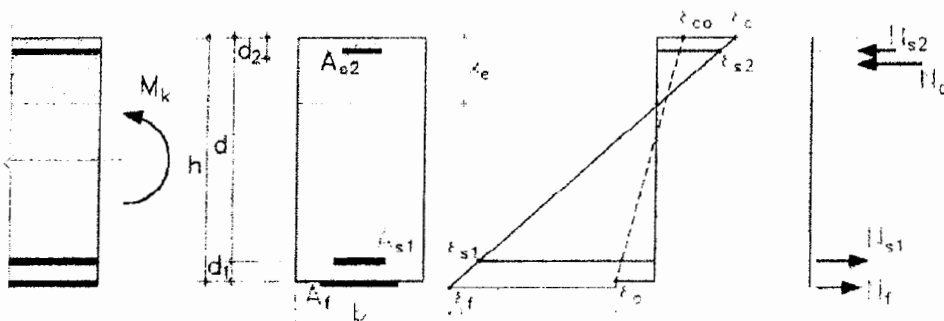
در رابطه (۵۱-۲) باید دقیق نمود که مقدار  $\max \Delta \sigma_{fd}^{(A)}$  برابر  $\sigma_{fad,max}$  بددست آمده از رابطه (۳۶-۲) می باشد ، چراکه با توجه به شکل ۲-۸ ، نقطه A محل اتصال مهاری است که در آن  $\sigma_{fd} = 0$  می باشد .



شکل ۲-۱۰-۲ : رابطه لغزش - تنش اتصال

۳-۲-۶: ضوابط مربوط به حالت حدی سرویس۳-۲-۱: محاسبات اولیه

جهت بررسی حالت حد سرویس، در ابتدا لازم است که یک آنالیز برای محاسبه تنش و کرنش در مواد و ممان اینرسی مقطع صورت گیرد. برای این منظور می‌توان از یک آنالیز الاستیک خطی استفاده کرد. در صورتی که ممان ناشی از بارهای سرویس،  $M_k$ ، از ممان ترک خوردگی مقطع،  $M_{cr}$ ، بیشتر باشد، می‌توان از آنالیز مقطع ترک خوردگی به صورت زیر استفاده کرد.



شکل ۱۱-۲ آنالیز الاستیک خطی مقطع ترک خوردگی

برای محاسبه عمق تار خنثی با فرض قابل توجه بودن مقدار کرنش اولیه قبل از مقاومسازی در بستر کششی بتن از دو رابطه زیر به طور تأمین استفاده می‌شود.

$$\frac{1}{2}bx_e^2 + (\alpha_s - 1)A_{s2}(x_e - d_2) = \alpha_s A_{s1}(d - x_e) + \alpha_f A_f \left[ h - \left( 1 + \frac{\varepsilon_0}{\varepsilon_c} \right) x_e \right] \quad (57-2)$$

$$E_c \varepsilon_c = \frac{M_k}{\frac{1}{2}bx_e \left( h - \frac{x_e}{3} \right) + (\alpha_s - 1)A_{s2} \frac{(x_e - d_2)}{x_e} (h - d_2) - \alpha_s A_{s1} \frac{d - x_e}{x_e} (h - d)} \quad (58-2)$$

در صورتی که فولاد فشاری وجود نداشته باشد و فرض شود  $h/d \sim 1.1$  می‌توان رابطه (۵۸-۲) را به صورت خلاصه شده زیر نشان داد.

$$E_c \varepsilon_c = \frac{M_k}{\frac{1}{2}bx_e \left( 1.05d - \frac{x_e}{3} \right)} \quad (59-2)$$

و یا می‌توان به صورت تقریبی از رابطه زیر برای جایگذاری در رابطه اول استفاده نمود.

$$\frac{\varepsilon_0}{\varepsilon_c} \approx \frac{M_0}{M_k} \frac{x_e}{x_0} \quad (60-2)$$

که در آن  $M_0$  ، ممان سرویس قبل از مقاومسازی و  $x_0$  ، عمق مربوط به تارخنثی بوده که از رابطه (۷-۲) محاسبه می شود . ممان اینرسی مقطع ترک خورده نیز از رابطه زیر تعیین می گردد .

$$I_2 = \frac{bx_e^3}{3} + (\alpha_s - 1)A_{s2}(x_e - d_2)^2 + \alpha_s A_{s1}(d - x_e)^2 + \alpha_f A_f(h - x_e)^2 \quad (61-2)$$

برای حالتی که مقطع مقاومسازی شده ترک نمی خورد ، یعنی  $M_k < M_{cr}$  ، می توان از سهم فولاد در محاسبه ممان اینرسی صرفنظر کرده و از رابطه زیر مقدار آن را بدست آورد .

$$I_1 \approx \frac{bh^3}{12} \quad (62-2)$$

در این حالت ، عمق تارخنثی برابر عمق مرکز سطح مقطع معادل می باشد . ممان ترک خورده‌گی برای تیرهای مستطیلی شکل نیز از رابطه زیر به صورت تقریبی محاسبه می گردد .

$$M_{cr} \approx f_{ctm} \frac{bh^2}{6} \quad (63-2)$$

در حالت کلی ضوابطی که باید برای حالت سرویس رعایت شود را می توان به چهار بخش زیر تقسیم نمود :

۱- محدودیتهای تنشی

۲- بررسی تغییرشکلها و خیزها

۳- بررسی عرض ترکها

۴- بررسی ترکهای بین صفحه ای اتصال

### ۲-۶-۳-۲ : محدودیتهای تنشی

محدودیتهای تنشی ارائه شده در این راهنما برای بتن ، فولاد و FRP به صورت زیر می باشد :

$$\sigma_c \leq 0.60 f_{ck} \quad \text{under the rare load combination} \quad (64-2)$$

$$\sigma_c \leq 0.45 f_{ck} \quad \text{under the quasi-permanent load combination} \quad (65-2)$$

مقدار تنش در بتن ، براساس آنالیز الاستیک انجام شده قابل محاسبه بوده و برابر است با :

$$\sigma_c = E_c \varepsilon_c \quad (66-2)$$

مقدار تنش در فولاد و FRP نیز از روابط زیر بدست می آید .

$$\sigma_s = E_s \varepsilon_c \frac{d - x_e}{x_e} \leq 0.80 f_{yk} \quad \text{under the rare load combination} \quad (67-2)$$

$$\sigma_f = E_f \left( \varepsilon_c \frac{h - x_e}{x_e} - \varepsilon_0 \right) \leq \eta f_{fk} \quad \text{under the quasi-permanent load combination} \quad (68-2)$$

مقدار  $\eta$  که ضریب محدودیت تنش FRP است، براساس نتایج آزمایش گسیختگی خزشی برابر 0.8، 0.5 و 0.3 برای به ترتیب GFRP، CFRP و AFRP بدست آمده است.

### ۳-۲-۶: بررسی تغییر شکل و خیزها

براساس طرح دوخطی CEB، مقدار خیز متوسط  $a$ ، با دقت معقولانه ای در حالت حد سروپس از روابط زیر قابل محاسبه است.

$$a = a_1(1 - \zeta_b) + a_2 \zeta_b \quad (69-2)$$

$$\begin{aligned} \zeta_b &= 0 & M_k < M_{cr} \\ \zeta_b &= 1 - \beta_1 \beta_2 \left( \frac{M_{cr}}{M_k} \right)^n & M_k > M_{cr} \end{aligned} \quad (70-2)$$

$$\begin{cases} n = 2 & \text{بتن معمولی} \\ n = 3 & \text{بتن با مقاومت بالا} \end{cases} \quad (71-2)$$

$$\begin{cases} \beta_1 = 0.5 & \text{فولاد بدون آج} \\ \beta_1 = 1.0 & \text{فولاد آجدار} \end{cases} \quad (72-2)$$

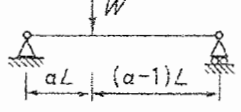
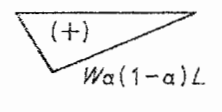
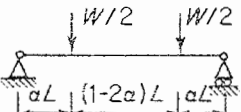
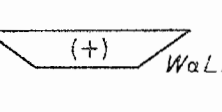
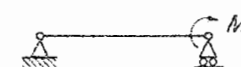
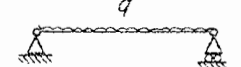
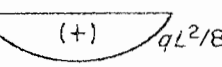
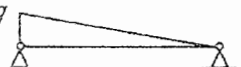
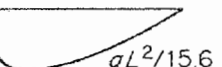
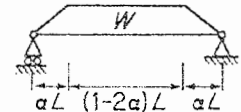
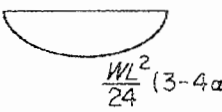
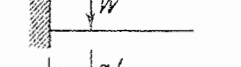
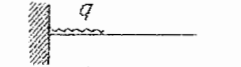
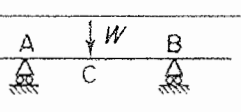
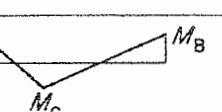
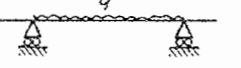
$$\begin{cases} \beta_2 = 0.5 & \text{بارگذاری طویل المدت} \\ \beta_2 = 1.0 & \text{بارگذاری کوتاه مدت} \end{cases} \quad (73-2)$$

$$a_1 = k_M l^2 \frac{M_k}{E_c I_1} \quad (74-2)$$

$$a_2 = k_M l^2 \left( \frac{M_0}{E_c I_{02}} + \frac{M_k - M_0}{E_c I_2} \right) \quad M_k > M_0 \quad (75-2)$$

ضریب وابسته به نوع بار بوده و از جدول ۲-۲ از مرجع [۲۱] قابل محاسبه است.

جدول ۲-۲ : مقادیر  $k_M$  برای دیاگرامهای مختلف خمیش

Loading	BMD	$K_M$
	$M$ (-)	0.125
		$(3-4\alpha^2)/48(1-\alpha)$
		$0.125 - \alpha^2/6$
	$M$ (-)	0.0625
		$5/48$
		0.102
		$(5-4\alpha^2)^2/80(3-4\alpha^2)$
	$W\alpha L$	$\alpha(3-\alpha)/6$
	$q\alpha^2 L^2/2$	$\alpha(4-\alpha)/12$
	$M_A$  $M_B$ $M_C$	$k = 0.083(1-\beta/4)$ $\beta = (M_A + M_B)/M_C$ numerical values of $M_A$ etc. are used
	$M_A$  $M_B$ $M_C$	$k = 0.104(1-\beta/10)$ $\beta = (M_A + M_B)/M_C$ $M_C$ may be either the midspan or maximum value, any error will be small

۳-۶-۴ : بررسی عرض ترکها

برای محافظت از فولاد داخلی و تضمین عملکرد عضو ، عرض ترک باید محدود شود . برای تیرهای بتن آرمه مقاومسازی شده با FRP ، ترکهای جدید در بین ترکهای موجود ظاهر خواهد شد . بنابراین ترکها به صورت متراکم تر و با عرض کمتر شکل گرفته که باعث می شود در اغلب اوقات بررسی عرض ترک لازم نباشد .

با فرض ترکهای تثبیت شده ، مقدار مشخصه عرض ترک براساس EuroCode 2 به صورت زیر محاسبه می شود :

$$w_k = \beta s_{rm} \varepsilon_{rm,r} = \beta s_{rm} \zeta \varepsilon_2 \quad (76-2)$$

که در آن  $\beta = 1.7$  ضریبی وابسته به متوسط مقدار مشخصه عرض ترک ،  $s_{rm}$  فاصله متوسط ترکها ،  $\varepsilon_{rm,r}$  کرنش متوسط آرماتور فولادی نسبت به بتن اطرافش و  $\zeta$  ضریب سختی کشنشی مشابه آنچه که در رابطه (۷۰-۲) داده شده است می باشد .

$$\begin{aligned} \zeta &= 0 & M_k < M_{cr} \\ \zeta &= 1 - \beta_1 \beta_2 \left( \frac{M_{cr}}{M_k} \right)^n & M_k > M_{cr} \end{aligned} \quad (77-2)$$

کرنش تقویت کننده در حالت ترک خورده کامل می باشد . با فرض  $\varepsilon_0 \approx \varepsilon_f + \varepsilon_s \approx \varepsilon_2$  و  $N_{rk} = N_{s1} + N_f$  از رابطه زیر تعیین می شود :

$$\varepsilon_2 = \frac{N_{rk} + E_f A_f \varepsilon_0}{E_s A_s + E_f A_f} \quad (78-2)$$

با  $Z_e$  و  $N_{rk} = M_k / Z_e$  بازوی لنگر بین نیروی کشنشی نهایی ( $N_{s1} + N_f$ ) و نیروی فشاری ( $N_{s2} + N_c$ ) است .

فاصله متوسط ترکها ، برای به حساب آوردن اثر هردو تقویت کننده خارجی و داخلی می تواند از رابطه زیر محاسبه شود :

$$s_{rm} = \frac{2 f_{ctm} A_{c,eff}}{\tau_{sm} u_s} \frac{E_s A_s}{E_s A_s + \xi_b E_f A_f} = \frac{2 f_{ctm} A_{c,eff}}{\tau_{fm} u_f} \frac{\xi_b E_f A_f}{E_s A_s + \xi_b E_f A_f} \quad (79-2)$$

که در آن  $A_{c,eff}$  سطح مؤثر کشنشی که حداقل مقدار (h-x)b/3 و 2.5(h-d)b (EuroCode 2) بوده ،  $\tau_{sm} = 1.8 f_{ctm}$  (CEB 1993) و  $\tau_{fm} = 1.25 f_{ctm}$  به ترتیب تنش متوسط اتصال آرماتور فولادی و FRP بوده و  $u_s$  و  $u_f$  به ترتیب محیط اتصال در واحد طول فولاد و FRP بوده و  $\xi_b$  یک پارامتر اتصال است که از رابطه زیر تعیین می شود :

$$\xi_b = \frac{\tau_{fm} E_s A_s u_f}{\tau_{sm} E_f A_f u_s} = \frac{\tau_{fm} E_s d_s}{\tau_{sm} E_f 4 t_f} \quad (80-2)$$

که در آن  $d$  قطر (متوسط) میلگردهای فولادی و  $t$  ضخامت FRP می باشد . با صرفنظر از اثر سختی کششی ( $\gamma = 1.0$ ) و فرض اینکه  $\epsilon_0 \approx 0$  ، عرض ترک از روابط (۷۶-۲) تا (۸۰-۲) به صورت زیر استخراج می شود :

$$w_k = 2.1 \rho_{c,eff} \frac{M_k}{E_s d \rho_{eq}} \frac{1}{(u_s + 0.694 u_f)} \quad (81-2)$$

که در آن  $\rho_{c,eff} = A_{c,eff} / bd$  نسبت سطح مؤثر در کشش و  $\rho_{eq}$  نسبت تقویت کننده های معادل می باشد و از رابطه (۲۳-۲) بدست می آید . با تعیین ( $w_k < 0.3 \text{ mm}$ ) ، شرایط زیر برای عرض اتصال  $b_f = b_f / t_f$  عرض کل FRP چسبیده می باشد .

$$u_f \geq 10.1 \rho_{c,eff} \frac{M_k}{E_s d \rho_{eq}} - 1.44 u_s \quad (82-2)$$

### ۳-۲-۵ : بررسی ترکهای بین صفحه ای اتصال

جهت جلوگیری از پدیده جداشدنی در انتهای لایه FRP در حالت سرویس ، باید رابطه زیر برقرار شود ؛ این در حالی است که از مهار اضافی برای انتهای لایه ، استفاده نشده باشد .

$$\tau_{f1} < f_{ctk} \quad (83-2)$$

$$\tau_{f1} = \left[ V_{x=0} + \left( \frac{G_a}{E_f t_f t_a} \right)^{1/2} M_{x=0} \right] \frac{t_f (h - x_e)}{I_c} \quad (84-2)$$

که در آن  $G_a$  و  $t_a$  به ترتیب مدول برشی و ضخامت چسب در سطح بین FRP و بتون بوده ؛  $V_{x=0}$  و  $M_{x=0}$  به ترتیب نیروی برشی و ممان خمشی اعمالی در مقطع مربوط به انتهای FRP بوده و  $I_c$  ممان اینرسی مقطع ترک خورده انتقالی می باشد .

جهت بررسی جداشدنی موضعی در محل ترکها باید کنترل گردد که میزان لغزش اتصال در این ناحیه بیشتر از مقدار زیر نباشد .

$$\delta_{f0} = \frac{2G_f}{\tau_{f1}} \quad (85-2)$$

$$G_f = c_f f_{ctm} \quad c_f = 0.202 \text{ mm} \quad (86-2)$$

$$\tau_{f1} = 1.8 f_{ctm} \quad (87-2)$$

با جایگذاری این روابط ، لغزش نهایی برابر خواهد بود با  $0.224 \text{ mm}$  که مربوط به عرض ترک  $2s_{f0} = 0.45 \text{ mm}$  می باشد . از آنجاییکه مقدار مشخصه عرض ترک تحت بار سرویس به مقدار ماکزیمم  $0.30 \text{ mm}$  محدود می شود ، جداشدنی موضعی در حالت حد سرویس رخ نخواهد داد .

۴-۲ : مقاومسازی برشی۴-۱ : محاسبه ظرفیت برشی

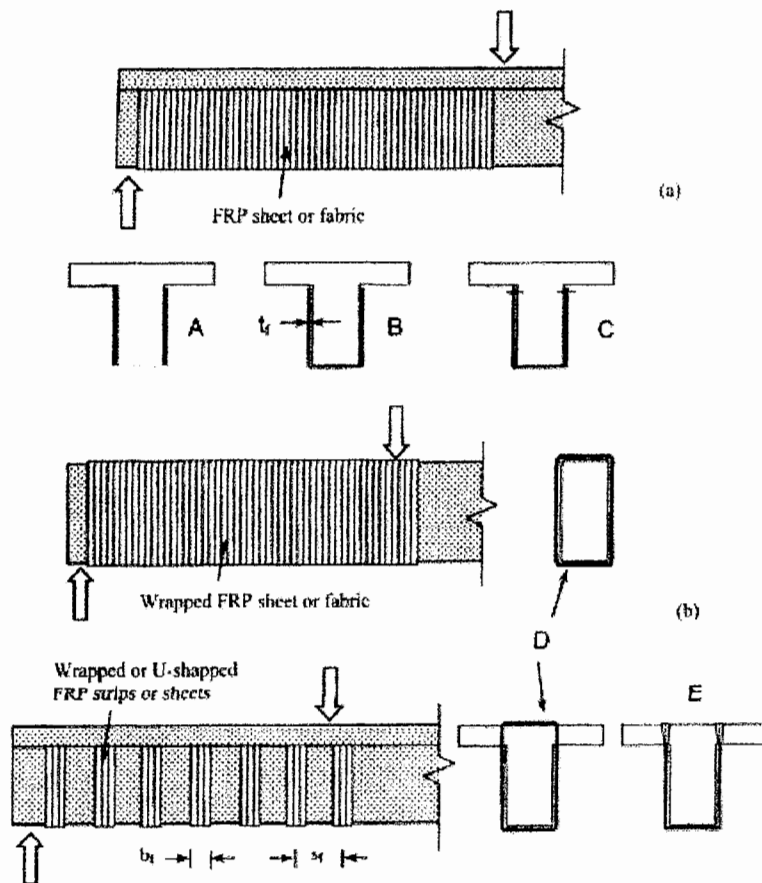
همانطور که در آیین نامه ACI 440 مطرح شده، مقاومسازی برشی اعضای بتن آرمه با نصب لایه های FRP به صورتی که دارای راستای الیافی مورب نسبت به امتداد طول عضو باشند، به صورت شکل ۱۲-۲ صورت می گیرد. روند طراحی براساس آیین نامه fib، محاسبه سهم برشی FRP بوده و سپس نیروی برشی مقاوم نهایی از رابطه زیر تعیین می گردد.

$$V_{Rd} = \min(V_{cd} + V_{wd} + V_{fd}, V_{Rd2}) \quad (89-2)$$

حداکثر مقاومت برشی ممکن برای اعضای بتن آرمه بوده که براساس آیین نامه EC2 از رابطه زیر تعیین می شود.

$$V_{Rd2} = 0.45v f_{cd} b_w d \quad (90-2)$$

$$v = 0.7 - \left( \frac{f_{ck}}{200} \right) \geq 0.5 \quad (91-2)$$



شکل ۱۲-۲ : نمایش شماتیک اعضای بتن آرمه مقاومسازی شده در برش با FRP : (a) ورقه ها و یا فابریکهای FRP چسبیده به جان؛ (b) های دورپیچ شده و یا U شکل (نوع نشان داده شده در D قابل استفاده برای همه تیرها و ستونها می باشد)

پارامترهای  $V_{cd}$  و  $V_{wd}$  به ترتیب سهم برشی بتن و فولاد بوده و براساس EC2 از روابط زیر محاسبه می شود .

$$V_{cd} = \frac{b_w d}{\gamma_c} 0.0525 f_{ck}^{2/3} (1.2 + 0.4 \rho) \left( 1.6 - \frac{d}{1000} \right) \quad (92-2)$$

$$\rho = \frac{100 A_s}{b_w d} \leq 2 \quad \& \quad d \leq 600 \text{ mm}$$

$$V_{wd} = \frac{0.9}{s \gamma_s} d A_{sv} f_{yv} (\cot \theta + \cot \alpha_s) \sin \alpha_s \quad (93-2)$$

که در آن  $\alpha_s$  ، راستای آرماتورهای عرضی نسبت به محور طولی تیر را نشان می دهد . سهم FRP در برش برای تیرهای مستطیلی و T‌شکل ، از روابط زیر تعیین می شود .

$$V_{fd} = 0.9 \varepsilon_{fd,e} E_{fu} \rho_f b_w d (\cot \theta + \cot \alpha) \sin \alpha \quad (94-2)$$

که در آن :

$\varepsilon_{fd,e}$  : مقدار طراحی کرنش مؤثر FRP

$b_w$  : حداقل عرض سطح مقطع بالای عمق مؤثر

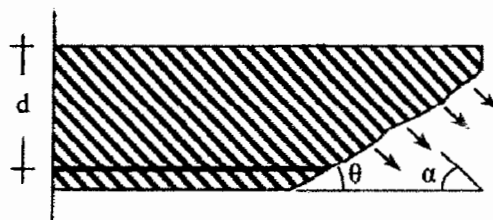
$d$  : عمق مؤثر مقطع

$\rho_f$  : نسبت تقویت کننده های FRP که معادل  $2t_f \sin \alpha / b_w$  برای تقویت کننده های برشی یکپارچه چسبیده با ضخامت  $t_f$  است یا معادل  $(b_f / s_f) (2t_f / b_w)$  برای تقویت کننده های FRP با شکل نوارهای با عرض  $b_f$  و فاصله  $s_f$  می باشد (شکل ۱۲-۲)

$E_{fu}$  : مدول الاستیسیته FRP در راستای اصلی الیافها

$\theta$  : زاویه ترک قطری نسبت به محور عضو ، فرض می شود برابر  $45^\circ$  است

$\alpha$  : زاویه بین راستای اصلی الیافها و محور طولی عضو



شکل ۱۲-۲ : سهم FRP در ظرفیت برشی

$$\varepsilon_{fd,e} = \frac{\varepsilon_{fk,e}}{\gamma_f} \quad (95-2)$$

$$\varepsilon_{fk,e} = k \varepsilon_{f,e} \quad k = 0.8 \quad (96-2)$$

اگر گسیختگی به صورت گسیختگی FRP باشد ( همراه با و یا بدبال کشش قطری ) ، ضریب ایمنی جزئی از جدول ۱-۲ بدست آمده و اگر گسیختگی اتصال منجر به حاکم شدن پدیده جداسدگی گردد مقدار ضریب ایمنی برابر خواهد بود با :  $\gamma_f = \gamma_{fb} = 1.3$  .

- دور پیچ کامل ( یا مهار بندی مناسب ) : CFRP

$$\varepsilon_{f,e} = 0.17 \left( \frac{f_{cm}^{2/3}}{E_{fu} \rho_f} \right)^{0.30} \varepsilon_{fu} \quad (97-2)$$

## • دور پیچ کامل AFRP و GFRP

$$\varepsilon_{f,e} = 0.048 \left( \frac{f_{cm}^{2/3}}{E_{fu} \rho_f} \right)^{0.47} \varepsilon_{fu} \quad (98-2)$$

- پوشش در سطوح جانبی و یا U شکل : CFRP

$$\varepsilon_{f,e} = \min \left[ 0.65 \left( \frac{f_{cm}^{2/3}}{E_{fu} \rho_f} \right)^{0.56} \times 10^{-3}, 0.17 \left( \frac{f_{cm}^{2/3}}{E_{fu} \rho_f} \right)^{0.30} \varepsilon_{fu} \right] \quad (99-2)$$

دقیق شود که در سه رابطه بالا،  $f_{cm}$ ، بر حسب MPa و  $E_{fu}$  بر حسب GPa است.

$$f_{cm} = f_{fk} + [8]N/mm^2$$

از جمله محدودیت در فواصل نصب لایه های FRP برای تقویت برشی می توان روابط زیر را برای حالتی که راستای الیافهای کامپوزیت عمود بر محور عضو هستند ، ارائه نمود .

$$\max s_f = \left( 0.9d - \frac{b_f}{2} \right) \quad \text{تیرهای مستطیلی} \quad (100-2)$$

$$\max s_f = \left( d - h_f - \frac{b_f}{2} \right) \quad \text{تیرهای T شکل} \quad (101-2)$$

ضخامت دال می باشد.

در مقاطع دایره‌ای اعضای بتن آرمه، سهم مقاومت پرسی FRP از رابطه زیر تعیین می‌شود.

$$V_{fd} = \frac{\varepsilon_{\max}}{\gamma_f} E_{fu} \rho_f \frac{1}{2} \frac{\pi D^2}{4} \cot \theta \quad (102-2)$$

که در آن D قطر ستون و  $\rho_f$  نسبت حجمی FRP است. شواهد تجربی پیشنهاد می کند که برای  $0.006$  درنظر گرفته شود.

### ۳-۴ : حالت سرویس

در حالت سرویس باید کرنش FRP به مقدار زیر محدود گردد :

$$\varepsilon_{fk,e} \leq 0.8 \frac{f_{yk}}{E_s} \quad (103-2)$$

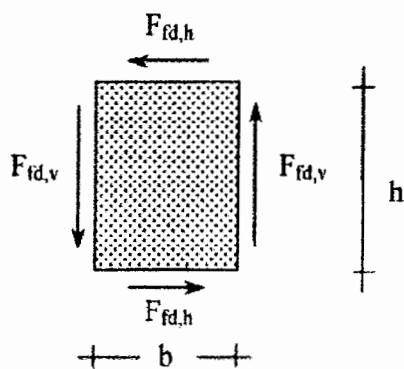
### ۵-۲ : مقاومسازی پیچشی

مقاومسازی پیچشی در اعضای بتن آرمه ، تنها وقتی ممکن است که یک پوشش FRP به طور کامل سطح مقطع عضو را دورپیچ نماید . در اعضای با مقطع مستطیلی و حالتی که راستای الیافهای FRP عمود بر محور عضو است ، می توان سهم FRP در ظرفیت پیچشی را از روابط زیر محاسبه نمود .

$$F_{fd,v} = \varepsilon_{fd,e} E_{fu} \frac{t_f b_f}{s_f} h \cot \theta \quad (104-2)$$

$$F_{fd,h} = \varepsilon_{fd,e} E_{fu} \frac{t_f b_f}{s_f} b \cot \theta \quad (105-2)$$

$$T_{fd} = F_{fd,v} b + F_{fd,h} h = 2 \varepsilon_{fd,e} E_{fu} \frac{t_f b_f}{s_f} b h \cot \theta \quad (106-2)$$



شکل ۱۴-۲ : نیروهای تحمل شده به وسیله FRP

$$\varepsilon_{fd,e} = \varepsilon_{fk,e} / \gamma_f$$

که در آن :

$$\varepsilon_{fk,e} = k \varepsilon_{f,e} \quad k = 0.8 \quad (107-2)$$

همانند حالت مقاومسازی برشی ، برای حالت گسیختگی ناشی از پارگی FRP ، ضریب اینمنی از جدول ۱-۲ استخراج می گردد . اگر جدادشده محبطی منجر به حاکم شدن گسیختگی ناشی از جدادشده گردد ، در نتیجه مقدار ضریب اینمنی برابر خواهد بود با :  $\gamma_f = \gamma_{fb} = 1.30$  .

$$CFRP: \varepsilon_{f,e} = 0.17 \left( \frac{f_{cm}^{2/3}}{E_{fu}\rho_f} \right)^{0.30} \varepsilon_{fu} \quad (108-2)$$

$$AFRP, GFRP: \varepsilon_{f,e} = 0.048 \left( \frac{f_{cm}^{2/3}}{E_{fu}\rho_f} \right)^{0.47} \varepsilon_{fu} \quad (109-2)$$

در حالت سرویس مقاومسازی پیچشی نیز دقیقاً مانند مقاومسازی برشی بوده و باید رابطه زیر ارضاً گردد.

$$\varepsilon_{fk,e} \leq 0.8 \frac{f_{yk}}{E_s} \quad (110-2)$$

به جهت محاسبه مقاومت پیچشی مقطع، لازم است که سهم آرماتورهای فولادی داخلی براساس EC2 به صورت زیر محاسبه گردد.

$$T_{sd} = 2f_{ywd} \frac{A_{sw}}{s} bh \cot \theta \quad (111-2)$$

سهم بتن در صورت عدم وجود آرماتورهای فولادی برابر خواهد بود با:

$$T_{Rd1} = \frac{2\gamma f_{cd} k_2 b^3}{(\cot \theta + \tan \theta)} \quad (112-2)$$

$$\nu = 0.7 - \frac{f_{ck}}{200} \geq 0.5 \quad (113-2)$$

Ak، مساحت بسته شده با خط مرکزی از دیواره نازک سطح مقطع می باشد و  $K_2$ ، از جدول ۳-۲ قابل استخراج است.

جدول ۳-۲ : مقادیر مختلف  $k_2$

$d/b$	$K_2$
1	0.141
2	0.367
3	0.624
4	0.864

مقدار ظرفیت پیچشی عضو در صورت عدم وجود آرماتور فولادی، برابر خواهد بود با:

$$T = T_{fd} \quad (114-2)$$

در صورت وجود آرماتورهای فولادی، ظرفیت پیچشی عضو برابر است با:

$$T = T_{sd} + T_{fd} \quad (115-2)$$

اما در هر صورت باید ظرفیت پیچشی مقطع به مقدار  $T_{Rd2}$  محدود گردد که برابر است با:

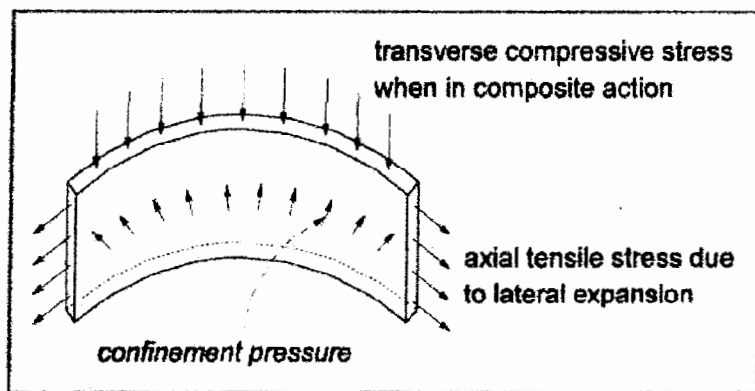
$$T_{Rd2} = \frac{1.4\gamma f_{ck}}{\gamma_c (\cot \theta + \tan \theta)} \quad (116-2)$$

$$T_{ult} = \min\{T, T_{Rd2}\} \quad (117-2)$$

۶-۲: مقاومسازی فشاری

مقاومسازی فشاری اعضای بتن آرمه با کمک پوشش کامل عضو توسط FRP به گونه ای که راستای الیافهای مواد FRP نسبت به محور عضو مایل باشد ، ممکن بوده و قابل اجراست . مواد FRP با اعمال اثر محصور کنندگی قادر به اعمال تنش سه محوری بر روی عضو بوده و در نتیجه تنش و کرنش فشاری بتن را افزایش می دهدن . در اکثر موارد که FRP بدون پیش تنیدگی نصب می شود ، اثر حبس کنندگی غیر فعال بوده و عملکرد آن بستگی به انساط جانبی بتن دارد . همچنین مقاومت نهایی بتن محصور شده به طور تنگاتنگی وابسته به کرنش گسیختگی تقویت کننده های دورپیچ شده FRP بر روی عضو محبوس شده است . شواهد تجربی نشان می دهد که این کرنش گسیختگی ، اغلب در کرنشی کمتر از کرنش نهایی  $\varepsilon_{ju}$  رخ می دهد . علل آن می تواند در چندین مورد زیر خلاصه گردد :

- ۱- وجود حالت سه محوری تنش در تقویت کننده های دورپیچ شده به واسطه نیروی محوری اعمال شده بر روی عضو ( شکل ۱۵-۲ ) .
- ۲- کیفیت اجرا
- ۳- شکل انحنای تقویت کننده های دورپیچ شده مخصوصا در گوشه های با شعاع کم
- ۴- استفاده از چندین لایه



شکل ۱۵-۲ : حالت سه محوری تنش در پوشش FRP

۶-۳: محاسبه تنش فشاری نهایی برای ستونهای دایره ای

رونده طراحی مقاومسازی فشاری را می توان به ترتیب زیر ارائه نمود .  
فشار حبس کنندگی جانبی در حالت نهایی ناشی از عملکرد کامل FRP از رابطه زیر قابل محاسبه است . اما همانطور که بیان شد ، در اغلب اوقات FRP در کرنشی کمتر از کرنش نهایی خود ( $\varepsilon_j < \varepsilon_{ju}$ ) گسیخته می گردد .

$$f_t = K_{conf} \varepsilon_{ju} \quad \text{with} \quad K_{conf} = \frac{1}{2} k_e \rho_j E_j \quad (118-2)$$

در حالت مقطع استوانه ای که به صورت کامل دوربیج شده است ، مقدار  $k_e = 1.0$  می باشد .

$$\rho_j = \frac{4t_j}{d_j} \quad (119-2)$$

در رابطه بالا  $d_j$  قطر استوانه بوده و  $t_j$  ضخامت پوشش FRP است . رابطه (118-2) را به گونه ای دیگر برحسب تنش نهایی  $f_j$  ،  $f_{cc}$  می توان بازنویسی کرد .

$$f_l = \frac{2k_e t_j f_j}{d_j} \quad (120-2)$$

برحسب مدل محصورکنندگی Mander می توان مقاومت ماکزیمم حبس کنندگی ،  $f_{cc}$  را برحسب از رابطه زیر بدست آورد .

$$f_{cc} = f_{co} \left( 2.254 \sqrt{1 + 7.94 \frac{f_l}{f_{co}}} - 2 \frac{f_l}{f_{co}} - 1.254 \right) \quad (121-2)$$

$$\varepsilon_{cc} = \varepsilon_{co} \left[ 1 + 5 \times \left( \frac{f_{cc}}{f_{co}} - 1 \right) \right] \quad (122-2)$$

که در آن  $f_{co}$  مقاومت فشاری بتن محبوس نشده می باشد .  
مدول سکانت در نهایت برابر خواهد بود با :

$$E_{sec,u} = \frac{E_c}{1 + 2\beta\varepsilon_{ju}} = \frac{E_c}{1 + 2\beta f_j / E_j} \quad (123-2)$$

$$\beta = \frac{5700}{\sqrt{|f_{co}|}} - 500 \quad (124-2)$$

محل قطع خطی با شیب  $E_{sec,u}$  با منحنی تجربی Popovics ، درنهایت کرنش و تنش فشاری نهایی را در بتن به صورت زیر می دهد .

$$\varepsilon_{cu} = \varepsilon_{cc} \left( \frac{2\beta\varepsilon_{ju} E_{cc}}{E_c - E_{cc}} \right)^{1-E_{cc}/E_c} \quad (125-2)$$

$$f_{cu} = \frac{E_c \varepsilon_{cu}}{1 + 2\beta\varepsilon_{ju}} \quad (126-2)$$

$$E_{cc} = \frac{f_{cc}}{\varepsilon_{cc}} \quad (127-2)$$

براساس فرمول تجربی تقریبی ارائه شده توسط Seible et al. (1995) ، می توان مقدار کرنش نهایی در بتن  $\varepsilon_{cu}$  را از رابطه زیر بدست آورد .

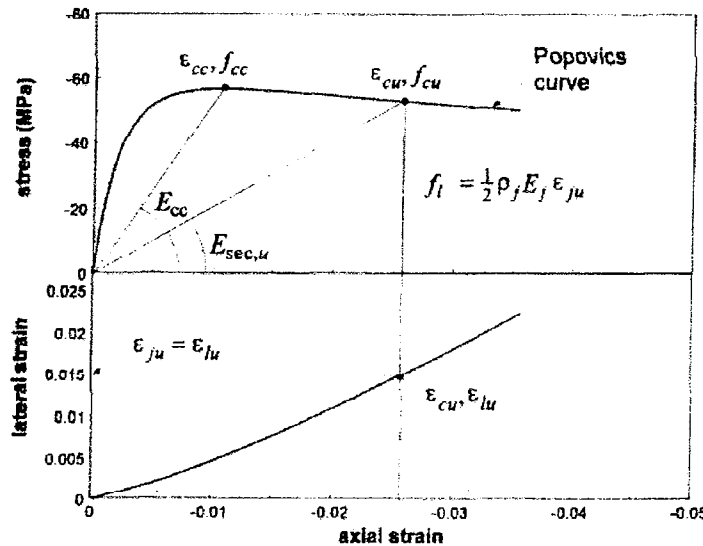
$$\varepsilon_{cu} = 0.004 + \frac{2.5 \rho_j f_j \varepsilon_{ju}}{f_{cc}} \quad (128-2)$$

دیگر فرمول تجربی ارائه شده که توسط Spoelstra and Monti شکل گرفته است ، به صورت زیر می باشد .

$$f_{cu} = f_{co} \left( 0.2 + 3\sqrt{\bar{f}_l} \right) \quad (129-2)$$

$$\varepsilon_{cu} = \varepsilon_{co} \left( 2 + 1.25 \bar{E}_c \varepsilon_{ju} \sqrt{\bar{f}_l} \right) \quad (130-2)$$

$$\bar{f}_l = \frac{f_l}{f_{co}} \quad \text{and} \quad \bar{E}_c = \frac{E_c}{f_{co}} \quad (131-2)$$



شکل ۱۶-۲ : روند محاسبه تنش و کرنش فشاری نهایی

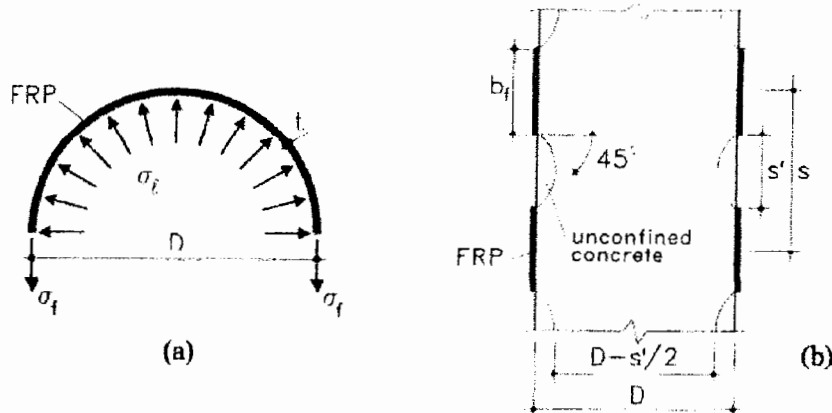
#### ۲-۶-۲ : بررسی عوامل مختلف مؤثر در تنش فشاری نهایی ستونها

در این آینه اثر دوربیج موضعی ، نحوه ترتیب الیافها و شکل ستونها در طراحی لحاظ شده و به ترتیب زیر اثر خود را در مقدار  $k_e$  و چند پارامتر دیگر نشان می دهد . در مورد دوربیج موضعی با درنظر گرفتن  $k_e$  از رابطه زیر می توان میزان تنش و کرنش نهایی را از روابط قبل بدست آورد (شکل ۱۷-۲) .

$$k_e = \frac{\left( 1 - \frac{s'}{2D} \right)^2}{1 - \rho_{sg}} \approx \left( 1 - \frac{s'}{2D} \right)^2 \quad (132-2)$$

$$\rho_{sg} = \frac{A_s}{A_g} \quad (133-2)$$

$$s' = s - b_f \quad (134-2)$$



شکل ۲-۱۷: فشار محبوس کنندگی اعمال شده به وسیله FRP

در مورد اثر ترتیب الیافها که به صورت مارپیچی با فاصله  $P$  از یکدیگر عضو بتنی را دور پیچ می کنند، می توان از رابطه زیر برای محاسبه  $k_e$  استفاده کرد.

$$k_e = \left[ 1 + \left( \frac{p}{\pi D} \right)^2 \right]^{-1} \quad (135-2)$$

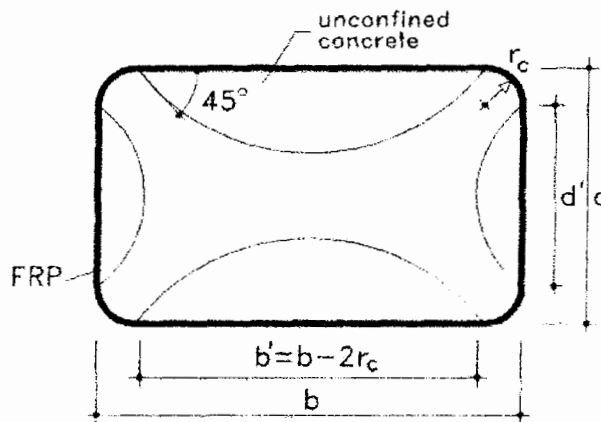
در مورد ستونهای مستطیلی یا مربعی، اثر محبوس کردن به وسیله FRP دارای اثر کمتری بوده، چراکه عملکرد حبس کنندگی به طور عمده در گوشه ها متمرکز شده و درنتیجه ضخامت زیادی برای پوشش FRP در بین گوشه ها جهت جلوگیری از انبساط جانبی و کمانش آرماتورهای طولی ستون لازم است. یک راه جایگزین، پوشاندن ستون مستطیلی با ریختن بتن خارجی به صورت گرد و یا بیضوی یا فراهم کردن شکل مناسب برای پوشش است. در این حالت، روند طراحی با قطر معادل که برابر میانگین قطر کوچک و بزرگ بیضوی می باشد، همانند مقاطع دایره ای قابل اجراست. اما در مورد ستونهای مستطیلی که بیضوی کردن مقطع عملی نمی باشد، مقدار  $k_e$  و چند پارامتر دیگر به صورت زیر اصلاح می شود.

$$k_e = 1 - \frac{b'^2 + d'^2}{3A_g(1 - \rho_{sg})} \quad (136-2)$$

$$\begin{aligned} \sigma_{bx} &= K_{confx} \varepsilon_{ju} & \text{with} & \quad K_{confx} = \rho_{jx} k_e E_j \\ \sigma_{by} &= K_{confy} \varepsilon_{ju} & \text{with} & \quad K_{confy} = \rho_{jy} k_e E_j \end{aligned} \quad (137-2)$$

$$\rho_{jx} = \frac{2b_f t_j}{sd} \quad \text{and} \quad \rho_{jy} = \frac{2b_f t_j}{sb} \quad (138-2)$$

در این مقاطع همانطور که دیده می شود ، باید مقادیر کرنش و مقاومت نهایی برای دو راستای  $x$  و  $y$  محاسبه شده و در طراحی از مقدار حداقل آنها استفاده نمود .



شکل ۱۸-۲ : هسته مؤثر محبوس شده از یک مقطع غیردایره ای

در نهایت بعد از محاسبه مقدار کرنش و مقاومت نهایی از روابط ارائه شده ، می توان مقدار مقاومت فشاری ستون غیرلاگر تقویت شده با FRP را از رابطه زیر براساس مرجع [۷] بدست آورد .

$$N = 0.459 f_{cu} A_g + f_s A_s \quad (139-2)$$

$$f_s = E_s \varepsilon_s = E_s \varepsilon_{cu} \leq f_y \quad (140-2)$$

### ۳-۶-۲ : شکل پذیری

اما مبحث بعدی که در این آین نامه بدان اشاره شده است ، بحث افزایش شکل پذیری می باشد . در نواحی زلزله خیز ، بیشتر ستونها و پایه های پلها در قدیم براساس ضوابط آین نامه هایی طراحی و اجرا شده اند که فقط جنبه مقاومتی را در نظر گرفته و اثر شکل پذیری را که تضمین کننده پایداری سازه است ، لحاظ نکرده اند . لذا بیشتر این ستونها و پایه ها نیاز به مقاومسازی دارند . براساس نتایج آزمایشات ، از لحاظ افزایش شکل پذیری ، الیاف شیشه اثر بهتری داشته اما از لحاظ مقاومت ، الیافهای کربن نسبت به دو نوع الیاف دیگر (شیشه و آرامید) ، عملکرد بهتری دارد . در این آین نامه به جهت محاسبه افزایش شکل پذیری بعد از مقاومسازی با FRP نسبت به حالت اولیه ،  $I_{sec}$  ، روابط زیر را ارائه کرده است .

$$I_{sec} = \frac{\delta_{sec}^{tar}}{\delta_{sec}^{ava}} = \left[ \frac{t_j}{0.2D} \cdot \frac{f_j}{f_{cc}^{ava}} \cdot \frac{\sqrt{\varepsilon_{ju}^3}}{\varepsilon_{cu}^{ava^2}} \right]^{0.5} \quad (141-2)$$

$$f_{cc}^{ava} = f_{co} \left( 2.254 \sqrt{1 + 7.94 \bar{f}_l} - 2 \bar{f}_l - 1.254 \right) \quad (142-2)$$

$$\bar{f}_l = \frac{f_l}{f_{co}} \quad (143-2)$$

$$f_l = \frac{1}{2} k_e \rho_{st} f_y \quad k_e \approx 0.8 \quad (144-2)$$

$$\varepsilon_{cu}^{ava} = 0.004 + \frac{1.4 \rho_{st} f_y \varepsilon_{su}}{f_{cc}} \quad (145-2)$$

$$\rho_{st} = \frac{4A_{st}}{sd_s} \quad (146-2)$$

## فصل سوم : خلاصه ای از گزارش حرفه ای منتشر شده توسط انجمن

### بتن انگلستان با عنوان :

#### راهنمای طراحی مقاومسازی سازه های بتنی با استفاده از مواد کامپوزیت FRP

##### ۱-۳: کلیات

در این سمینار همانند راهنمای *fib* تنها به جنبه های طراحی مطرح شده در این راهنمای پرداخته شده و از بیان ملاحظات اجرایی و خاص اجتناب شده است ، چراکه اکثرا شبیه به آیین نامه ACI 440 بوده و ذکر دوباره آنها ضرورتی ندارد .

پایه و اساس طراحی در این راهنمای استانداردهای BS 8110 (1997) [۹] و BS 5400 می باشد . جهت طراحی باید دو حالت حدی سرویس و نهایی کنترل گردد ؛ اما اساسا طراحی سیستم های مقاومسازی FRP بر حالت حد نهایی مقاومت مرکزی شود . این حالت شامل کنترل خمش ، برش و فشار ، شرایط معمولی مربوط به بتن آرمه و همچنین کنترل جدادشدن صفحه می باشد .

در مورد حالت سرویس به طور کلی باید بارهای سرویس به گونه ای باشد که اثر منفی بر ظاهر یا عملکرد سازه تقویت شده نگذارد . همچنین ترکهای ایجاد شده در روی بتن نباید دارای عرض و طول زیادی باشند تا چسبندگی مناسب بین FRP و سطح بتنی فراهم گردد . همچنین آرماتورهای فولادی نباید تحت بارهای سرویس تسلیم شده و گسیختگی ناشی از خستگی و تنش باید کنترل گردد .

##### ۲-۳: خصوصیات مواد و ضرایب ایمنی

خصوصیات مواد سازه بتن آرمه و FRP در این راهنمای به صورت زیر ارائه شده و از آنها جهت طراحی استفاده شده است .

مقاومت بتن استفاده شده در روابط طراحی براساس مقاومت مشخصه مکعبی فشاری (۲۸ روزه) ،  $f_{cu}$  است . مقاومت مشخصه کششی آرماتورهای با فولاد نرم و فولاد با تنش تسلیم بالا ،  $f_y$  ، باید به ترتیب  $250 \text{ N/mm}^2$  و  $460 \text{ N/mm}^2$  درنظر گرفته شود . هر دو نوع فولاد دارای یک مدول الاستیسیته متوسط ،  $E_s$  ، با مقدار  $200 \text{ kN/mm}^2$  هستند . در صورتی که مقادیر حقیقی خصوصیات مواد در دسترس باشند ، می توان ضرایب ایمنی را اصلاح نمود .

مقاومت مشخصه کششی FRP ،  $f_{fk}$  ، بستگی به مقاومت کششی متوسطه ،  $f_m$  ، داشته و از رابطه زیر بدست می آید .

$$f_{fk} = f_m - 2s \quad (1-3)$$

که در آن  $s$  انحراف استاندارد است .

روابط تنش - کرنش فولاد و بتن براساس آیین نامه (1997) BS 8110 بوده که در آن فولاد در ابتدا دارای یک رفتار خطی و سپس با تنش ثابت است. بتن نیز دارای یک رابطه سهمی در فشار می باشد. برخلاف آرماتورهای فولادی، همه FRP ها دارای یک رفتار الاستیک خطی تا لحظه شکست بدون هیچ ناحیه تسلیم شدگی هستند.

در مورد ضرایب ایمنی مواد برای فولاد و بتن ( $\gamma_{ms}$  و  $\gamma_{mc}$ ) می توان از آیین نامه BS 8110 به صورت زیر استخراج کرد. در مورد ضریب ایمنی فولاد، این نکته حائز اهمیت است که با توجه به اینکه اکثر سازه هایی که نیاز به مقاومسازی دارند، قبل از سال ۱۹۹۷ ساخته و طراحی شده اند، بنابراین مقدار آن براساس نگارش قبلی BS 8110 برابر ۱.۱۵ به جای ۱.۰۵ درنظر گرفته می شود.

آرماتورها 1.15

بتن در بار خمشی و محوری 1.50

مقاومت برشی بتن بدون آرماتورهای برشی 1.25

مقاومت اتصال 1.4

متفرقه > 1.5

در حالت سرویس جهت جلوگیری از تغییر شکل دائمی در سازه باید مقدار ضریب ایمنی فولاد به مقدار ۱.۲۵ ارتقاء پیدا کند. ضریب ایمنی برای مقاومت مواد FRP به دو پارامتر بستگی دارد. یکی از این پارامترها، نوع الیاف ( $\gamma_{mf}$ ) و دیگری روند تولید FRP ( $\gamma_{mm}$ ) می باشد. براساس این آیین نامه، ضریب ایمنی نهایی برای مقاومت FRP از رابطه زیر بدست می آید.

$$\gamma_{mf} = \gamma_{mf} \times \gamma_{mm} \quad (2-3)$$

مقادیر  $\gamma_{mf}$  و  $\gamma_{mm}$  از جداول ۲-۳ و ۳-۳ قابل استخراج است. در مورد مدول الاستیستیه مواد FRP، مقدار آن از ضرب ضریب ایمنی  $\gamma_{mE}$  در مدول اولیه از رابطه زیر بدست می آید.

$$E_{fd} = \frac{E_{fk}}{\gamma_{mE}} \quad (3-3)$$

مقادیر  $\gamma_{mE}$  نیز براساس نوع الیاف FRP از جدول ۱-۳ قابل استخراج است. همچنین ضرایب بار مربوط به حالت های مختلف بر حسب BS 8110 از صورت جدول ۴-۳ می باشد.

جدول ۱-۳ : ضرایب ایمنی برای مدول الاستیستیه در حالت حد نهایی

Material	Factor of safety ( $\gamma_{mE}$ )
Carbon FRP	1.1
Aramid FRP	1.1
Glass FRP	1.8

جدول ۲-۳ : ضرایب ایمنی مقاومت در حالت حد نهایی

Material	Partial safety factor ( $\gamma_{mf}$ )
Carbon FRP	1.4
Aramid FRP	1.5
Glass FRP	3.5

در مورد چسبها براساس یک توصیه کلی ، تنش تحمل شده در آن باید کمتر از 25% مقاومت زمان کوتاه درنظر گرفته شود که معادل است با استفاده از ضریب ایمنی حداقل توصیه شده 4 برای آن . در مورد ضوابط تغییرشکل و ترک خوردنگی در حالت سرویس ، سازه باید ضوابط مندرج در آیین نامه BS 8110 و BS 5400 را ارضاء کند .

جدول ۳-۳ : مقادیر توصیه شده از ضرایب ایمنی که بر مقاومت طراحی کامپوزیتهای ساخته شده اعمال می گردد

Type of system (and method of application or manufacture)	Additional partial safety factor , $\gamma_{mm}$
Plates	
Pultruded	1.1
Prepreg	1.1
Preformed	1.2
Sheets or tapes	
Machine-controlled application	1.1
Vacuum infusion	1.2
Wet lay-up	1.4
Prefabricated (factory-made) shell	
Filament winding	1.1
Resin transfer moulding	1.2
Hand lay-up	1.4
Hand-held spray application	2.2

جدول ۴-۳ : ضرایب بار در شرایط مختلف براساس BS 8110

Load combination	Load type					
	Dead Adverse	Dead Beneficial	Imposed Adverse	Imposed Beneficial	Earth and water pressure	Wind
1-Dead and imposed (and earth and water pressure)	1.4	1.0	1.6	0	1.4	—
2-Dead and wind (and earth and water pressure)	1.4	1.0	—	—	1.4	1.4
3-Dead and wind and imposed (and earth and water pressure)	1.2	1.2	1.2	1.2	1.2	1.2

در مورد سازه تقویت شده با FRP در آتش براساس این راهنما باید از مقاومت FRP صرفنظر نموده و سازه بتنی به تنها یی باید بارهای واردہ را تحمل کند . اما این نکته حائز اهمیت است که براساس آیین نامه BS 8110 همچنانکه براثر حریق ، مقاومت فولاد و بتون کاهش یافته و ضریب ایمنی آنها افزایش می یابد ، ضرایب ایمنی بار نیز کاهش می یابند . براساس این آیین نامه ضرایب بار به مقدار 1.05 برای بار مرده و 1.0 برای بار زنده تقلیل می یابد .

جهت عملکرد بهتر FRP در حریق از پوششها و عایقهای مناسب استفاده می شود . عملکرد پوششها علاوه بر حفظ FRP نسبت به حرارت ، جلوگیری از نشر دود و گازهای سمی ناشی از رزینها و الیافهای FRP خصوصا در شرایط بسته مانند توپلها می باشد .

در مورد بارگذاری لرزه ای با توجه به اینکه در سازه های انگلستان زلزله یک پارامتر مهم در طراحی ها نمی باشد ، خیلی مورد توجه قرار نگرفته و در این راهنما بدان پرداخته نشده است .

۳-۳ : مقاومسازی خمثی

در طراحی خمثی اعضاء براساس این آیین نامه ، باید به ترتیب ، مراحل زیر بررسی شده و کنترل گردد .

- ۱- محاسبه ممان ماکریم
- ۲- بررسی جدادشده در انتهای FRP
- ۳- بررسی جدادشده در بین FRP و بستر بنی
- ۴- کنترل ظرفیت برشی مقطع
- ۵- بررسی شکل پذیری عضو مقاومسازی شده
- ۶- کنترل حالتهای حدی سرویس ( ترک خوردن ، تغییرشکل ، خستگی و گسیختگی خزشی )

روند طراحی خمثی اعضای بتن آرمه مقاومسازی شده با FRP را می توان به صورت زیر خلاصه نمود .

۱-۳-۳ : فرضیات

فرضیات اولیه عبارتند از :

- ۱- تغییرات خطی کرنش در عمق مقطع ( فرضیه برنولی )
- ۲- عدم وجود لغزش بین FRP و بتن
- ۳- صرفنظر کردن از مقاومت کششی بتن در حالت نهایی
- ۴- استفاده از روابط تنش - کرنش مطرح شده برای مواد
- ۵- فرض کرنش نهایی ۰.۰۰۳۵ برای بتن

۲-۳-۳ : محاسبه ممان بالانس

ممان بالانس هنگامی رخ می دهد که گسیختگی به طور همزمان با خردشدن بتن و پاره شدن R الخ دهد . مقدار این ممان مقاوم را می توان با وجود فولاد فشاری از رابطه زیر بدست آورد .

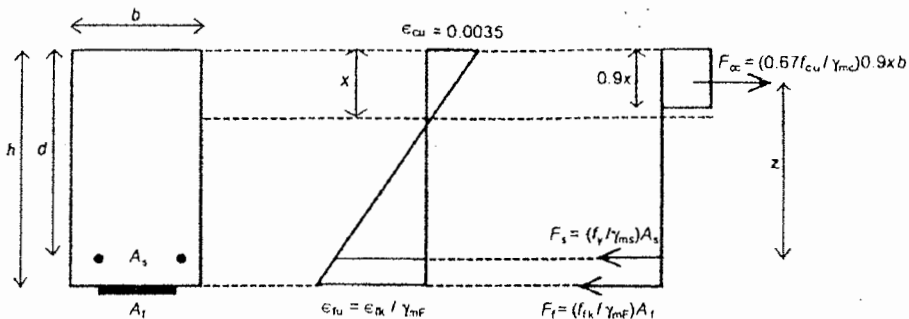
$$M_{r,b} = \left( \frac{0.67 f_{cu}}{\gamma_{mc}} \right) b 0.9x [z + (h - d)] - \left( \frac{f_y}{\gamma_{ms}} \right) A_s (h - d) + \left( \frac{f'_y}{\gamma_{ms}} \right) A'_s (h - d') \quad (4-3)$$

$$z = d - 0.9x/2 \quad (5-3)$$

$$x = h \left( \frac{\varepsilon_{fu}}{\varepsilon_{cu}} + 1 \right) \quad (6-3)$$

$$\varepsilon_{fu} = \frac{\varepsilon_{fk}}{\gamma_{mf}} \quad (7-3)$$

همانطور که از روابط بالا و شکل ۱-۳ دیده می شود ، برای محاسبه ممان مقاوم از بلوک تنشی معادل مطرح شده در آیین نامه BS 8110 استفاده شده است .



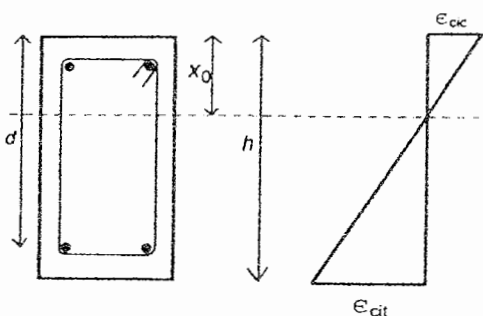
شکل ۱-۳ : توزیع تنش و کرنش برای گسیختگی بالانس

### ۳-۳-۳ : محاسبه کرنش اولیه در بسترهای تیر قبل از نصب FRP

براساس روابط موجود در مرجع [۲۵] برای محاسبه کرنش اولیه از آنالیز الاستیک مقطع ترک خورده استفاده شده که در این آیین نامه از مقاومت کششی بتن صرفنظر نکرده است . براین اساس برای محاسبه مقدار عمق تارخنی از دو رابطه تعادل ممان و تعادل نیروها استفاده کرده که می توان از ترکیب آنها رابطه زیر را برای محاسبه عمق تارخنی ،  $x$  ، استفاده کرد .

$$\begin{aligned} & [1 + \alpha_e(\rho + \rho')]x^3 + \left[ \frac{3M_{DL}}{f_t bd} - d - \alpha_e(4\rho'd' + d(3\rho - \rho')) \right]x^2 \\ & + \alpha_e \left[ 2\rho'd'(d' - d) + \frac{6M_{DL}}{bf_t}(\rho + \rho') + 3(\rho d^2 + \rho'd'^2) \right]x \\ & + \alpha_e \left[ \rho'd'(2d^2 - 3dd') - \rho d^3 - \frac{6M_{DL}}{bf_t}(\rho'd' + \rho d) \right] = 0 \end{aligned} \quad (8-3)$$

در رابطه بالا ، ممان اولیه  $M_{DL}$  قبل از مقاومسازی می باشد و دیگر پارامترها براساس در صورت زیر محاسبه می گردند .



شکل ۲-۳ : کرنش کششی اولیه در بتن

$$\rho = \frac{A_s}{bd} , \quad \rho' = \frac{A'_s}{bd} \quad (9-3)$$

$$\alpha_e = 15 , \quad f_t = 1.0 \text{ MPa}$$

بعد از محاسبه عمق تارخنثی از رابطه بالا می توان مقدار ممان مقطع معادل ترک خورده را به صورت زیر بدست آورد.

$$I_c = bd^3 \left[ \frac{1}{3} \left( \frac{x}{d} \right)^3 + \alpha_e \rho' \left( \frac{d'}{d} - \frac{x}{d} \right)^2 + \alpha_e \rho \left( 1 - \frac{x}{d} \right)^2 \right] \quad (10-3)$$

در نهایت مقدار کرنش اولیه در بستر کششی قبل از نصب FRP برابر خواهد بود با :

$$\varepsilon_{cit} = \frac{M_{DL}(h-x)}{E_c I_c} \quad (11-3)$$

### ۴-۳-۳ : محاسبه ظرفیت مقاومت خمشی نهایی

در حالتی که ممان واردہ بزرگتر از ممان بالانس مقطع باشد ، نوع گسیختگی ناشی از خردشده‌گی بتن می باشد . در مواردی که ممان نهایی لازم معلوم نیست ، ابتدا این حالت فرض می گردد . سپس از روابط زیر مقدار کرنش در FRP محاسبه می شود . در ابتدا از حل معادله زیر براساس تعادل نیروهای داخلی ، مقدار عمق تارخنثی محاسبه می شود .

$$\frac{0.9 \times 0.67}{\gamma_{mc}} f_{cu} b x^2 + [E_s \varepsilon_{cu} (A_s + A'_s) + E_{fd} A_f (\varepsilon_{cu} + \varepsilon_{cit})]x - [E_s \varepsilon_{cu} (A_s d + A'_s d') + E_{fd} A_f h \varepsilon_{cu}] = 0 \quad (12-3)$$

با محاسبه  $x$  باید کرنش در آرماتورهای کششی و فشاری محاسبه شده و در صورتی که از کرنش تسلیم آرماتورها بیشتر بود ، باید مقدار تنش در آنها برابر تنش تسلیم فرض شده و رابطه بالا برای این حالت مجددا حل گردد .

جهت ایجاد شکل پذیری مناسب در سازه باید کرنش در آرماتور کششی از 0.004 بیشتر بوده و باید به عبارتی مقدار  $x$  از ضابطه زیر تعییت کند .

$$x \leq 0.45d \quad (13-3)$$

بعد از محاسبه مقدار  $x$  ، باید مقدار کرنش در FRP محاسبه شود . جهت کنترل عدم جداسدگی در FRP ، ضوابطی به صورت زیر در این آین نامه مطرح شده که مقدار نیروی کششی و درنتیجه کرنش در FRP را محدود می نماید .

$$f_{ctm} = 0.18 (f_{cu})^{2/3} \quad (14-3)$$

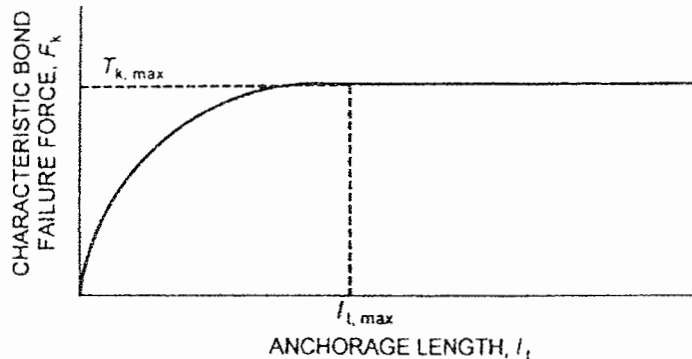
$$k_b = 1.06 \sqrt{\frac{2 - b_f/b_w}{1 + b_f/400}} \geq 1.0 \quad (15-3)$$

$$l_{t,\max} = 0.7 \sqrt{E_{fd} t_f / f_{ctm}} \quad (16-3)$$

$$T_{k,\max} = 0.5 k_b b_f \sqrt{E_{fd} t_f f_{ctm}} \quad (17-3)$$

در صورتی که طول مهاری اجرا شده از مقدار  $L_{t,\max}$  کمتر باشد، باید مقدار نیروی کششی در  $T_k$ ، به مقدار زیر محدود شود.

$$T_k = \frac{T_{k,\max} l_t}{l_{t,\max}} \left( 2 - l_t/l_{t,\max} \right) \quad (18-3)$$



شکل ۳-۳ : رابطه طول مهاری با نیروی گسیختگی چسیندگی

مقدار تنش کششی در  $T_{k,\max}/A_f$  FRP ، باید به میزان نیروی گسیختگی FRP نیز محدود شود . بنابراین خواهیم داشت :

$$\sigma_{f,\max} = \min \left\{ \frac{T_{k,\max}}{A_f}, f_{fd} \right\} \quad (19-3)$$

$$f_{fd} = \frac{f_{fk}}{\gamma_{mf}}$$

در نهایت براساس مطالعات انجام شده و ایمنی بیشتر، کرنش نهایی ممکن برای FRP از رابطه زیر بدست می آید .

$$\varepsilon_{f,\max} = \min \left\{ \frac{T_{k,\max}}{E_f A_f}, 0.5 \varepsilon_{fu}, 0.008 \right\} \quad (20-3) \quad \text{در حالت توزیع یکنواخت بار}$$

$$\varepsilon_{f,\max} = \min \left\{ \frac{T_{k,\max}}{E_f A_f}, 0.5 \varepsilon_{fu}, 0.006 \right\} \quad (21-3) \quad \text{در حالت ترکیب نیروی برشی و ممان بالا}$$

$$\varepsilon_{fu} = \frac{\varepsilon_{fk}}{\gamma_{mf}}$$

در صورتی که کرنش در FRP از مقدار  $\varepsilon_{f,max}$  کمتر باشد حدس اولیه در خردشدن بتن در هنگام گسیختگی درست است و مقدار ممان مقاوم از رابطه زیر بدست می آید.

$$M_r = \left(\frac{8}{9}\right) f_{cu} b (d - z)[z + (h - d)] - f_s A_s (h - d) + f'_s A'_s (h - d') \quad (22-3)$$

یا به عبارتی برابر است با :

$$M_r = f_s A_s (d - 0.45x) - f'_s A'_s (d' - 0.45x) + E_{fd} \varepsilon_f A_f (h - 0.45x) \quad (23-3)$$

حال در صورتی که کرنش بدست آمده از روابط قبل برای FRP، بیشتر از ممکن باشد؛ نشاندهنده آنستکه FRP قبل از آنکه بتن خرد شود، گسیخته می گردد؛ در نتیجه باید کرنش در FRP را به میزان این حداکثر،  $\varepsilon_{f,max}$ ، محدود کرده و از روابط زیر مقدار ممان نهایی مقاوم بدست آید.

در ابتدا فرض می شود تیر بدون FRP بوده و براساس آنالیز تیر ساده مطابق با BS 8110 مقدار ممان مقاوم اولیه،  $M_o$ ، محاسبه می گردد. سپس مقدار ممان مقاوم اضافی بدست آمده توسط FRP از رابطه زیر تعیین می شود.

$$M_{add} = A_f f_{f,max} z \quad (24-3)$$

$$z = d - \frac{0.9x}{2}$$

در نهایت برای محاسبه میزان مقاومت نهایی از رابطه زیر استفاده می شود.

$$M_r = M_o + M_{add} \quad (25-3)$$

در این آیین نامه، به جهت آنکه از گسیختگی ترد اجتناب شود، توصیه شده است که مقطع برای ظرفیت ممان طراحی بالاتر، حداقل 1.15 بزرگتر از مقدار نهایی طراحی گردد. همچنین در این آیین نامه به منظور جلوگیری از گسیختگی ناشی از جداسدگی در انتهای لایه FRP، علاوه بر توصیه های اجرایی، مقدار تنفس برشی در آن را که از رابطه زیر بدست می آید، به میزان 0.8 MPa محدود نموده است.

$$\tau = V \alpha_f A_f (h - x) / I_{cs} b_a \quad (26-3)$$

که در آن  $V$ ، نیروی برشی نهایی؛  $\alpha_f$ ، نسبت مدولی FRP به بتن در مدت زمانی کوتاه ( $E_f / E_c$ )؛  $A_f$ ، سطح مقطع صفحه FRP؛  $x$ ، عمق تار خنثی از مقطع تقویت شده؛  $I_{cs}$ ، ممان دوم سطح مقطع معادل ترک خورده بتنی تقویت شده و  $b_a$ ، عرض لایه چسب می باشد.

تنشهای برشی طولی باید در انتهای صفحه جایی که نیروی برشی اعمالی در سهم تقویت عضو در بالاترین مقدار خود است ، کنترل شود . همچنین ، تنش برشی طولی باید در محلی که اولین آرماتورهای فولادی تسلیم می شوند ، کنترل گردد . علت آن اینست که در آنطرف این نقطه خاصیت الاستیکی فولاد از لحاظ تئوری صفر بوده و تنشهای کششی ناشی از ممان خمشی تنها توسط FRP تحمل خواهد شد . در این محل ، هر دو مؤلفه  $x$  و  $I_{cs}$  در رابطه (۳-۲۶) باید با صرفنظر کردن از آرماتورهای فولادی موجود محاسبه گردند .

### ۳-۳-۵ : حالت سرویس

در مورد ضوابط حالت سرویس ، از محدودیتهای مطرح شده در آیین نامه BS 8110 و BS 5400 استفاده می گردد . از جمله ضوابط حالت سرویس ، کنترل عرض ترک ، خیزها ، تنشهای مواد و خستگی می باشد . جهت اجتناب از تغییرشکلهای زیاد ، تنش در فولاد و بتن در بار سرویس نباید به طور معمول از  $0.8f_y$  و  $0.6f_{cus}$  ( یا  $0.6$  بدترین مقاومت معتبر ) بیشتر گردد . خیزها و تنشها می تواند با استفاده از اصول الاستیک تخمین زده شود . مقطع تغییریافته معادل برای بارگذاریهای طولانی باید با محاسبه نسبت مدولی فولاد به بتن ،  $\alpha_e$  ، و FRP به بتن ،  $\alpha_f$  ، به صورت روابط زیر محاسبه گردد . برای بارگذاریهای زمان کوتاه ، نصف این مقادیر مورد استفاده قرار می گیرد .

$$\alpha_e = E_s / \left( \frac{1}{2} E_f \right) \quad (27-3)$$

$$\alpha_f = E_{sf} / \left( \frac{1}{2} E_f \right) \quad (28-3)$$

در مورد خستگی ، باید تنشهای FRP به مقادیر موجود در جدول زیر محدود گردد .

جدول ۴-۳ : ماکریم محدوده تنشی براساس نسبتی از مقاومت نهایی طراحی (%)

Material	Stress range (%)
Carbon FRP	80
Aramid FRP	70
Glass FRP	30

برای اجتناب از گسیختگی FRP ناشی از تنش موجود در آن ، باید مقدار آن به مقادیر جدول زیر محدود شود .

جدول ۵-۳ : ماکریم تنش تحت بار سرویس جهت اجتناب از گسیختگی تنشی به صورت درصدی از مقاومت طراحی (%)

Material	Maximum stress (%)
Carbon FRP	65
Aramid FRP	40
Glass FRP	55

۴-۳ : مقاومسازی برشی

براساس این آیین نامه ، گسیختگی برشی اعضای بتن آرمه به صورت دو مکانیزم مختلف می باشد که عبارتند از : کشش قطری و فشار قطری . گسیختگی فشاری قطری معمولاً با اعمال حد تنش برش ماکزیمم در بتن قابل اجتناب است . براساس BS 8110 ، تنش برشی ماکزیمم مجاز ،  $v_{max}$  باید کمتر از حداقل مقدار  $0.8\sqrt{f_{cu}}$  و  $5 \text{ N/mm}^2$  باشد . ماکزیمم نیروی برشی طراحی مجاز ناشی از بارهای نهایی از رابطه زیر بدست می آید .

$$V_{R,max} = v_{max} b_v d \quad (29-3)$$

مقاومت برشی عضو از جمع سهم مقاومت برشی های بتن ، فولاد و FRP بدست آمده و باید مقدار آن از حد بدست آمده در رابطه بالا ، کمتر باشد . سهم فولاد و بتن براساس مرجع [۲۳] ، از روابط زیر محاسبه می گرددند .

$$V_{Rl} = A_{sv} \frac{f_{ys}}{\gamma_{ms}} \frac{d}{s_v} (\sin \alpha + \cos \alpha) \quad (30-3)$$

$$\gamma_{ms} = 1.15 \quad (31-3)$$

$$V_{Rc} = \frac{b_v d}{\gamma_m} \left[ 0.79 \left( \frac{\rho f_{cu}}{25} \right)^{\frac{1}{3}} \left( \frac{400}{d} \right)^{\frac{1}{4}} \right] \quad \text{for} \begin{cases} \rho \leq 3 \\ d \leq 400 \end{cases} \quad (32-3)$$

$$\gamma_m = 1.25 \quad (33-3)$$

$A$  : مساحت میلگرد کششی طولی

$A_{sv}$  : مساحت میلگرد کششی عرضی

$f_{ys}$  : تنش تسلیم میلگرد کششی عرضی

$s_v$  : فاصله آرماتورهای عرضی از یکدیگر

$\alpha$  : زاویه بین آرماتورهای عرضی و محور طولی عضو

$b_v$  : ضخامت جان تیر

$d$  : عمق میلگرد کششی

سهم FRP در مقاومت برشی براساس این راهنمای روابط زیر بدست می‌آید. در این روابط، گسیختگی ناشی از جداشده‌گی با محدود کردن کرنش مؤثر در FRP، کنترل می‌گردد.

$$V_{Rf} = \left(1/\gamma_{mf}\right) A_{fs} \left(E_{fd} \varepsilon_{fe}\right) \sin \beta \left(1 + \cot \beta\right) \left(d_f / s_f\right) \quad (34-3)$$

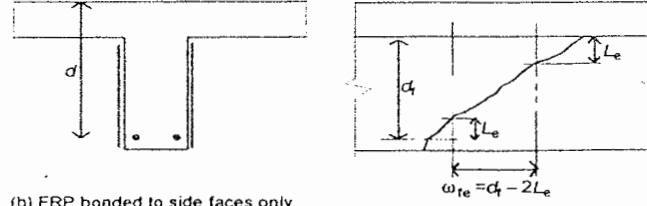
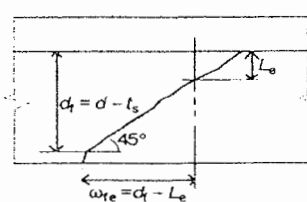
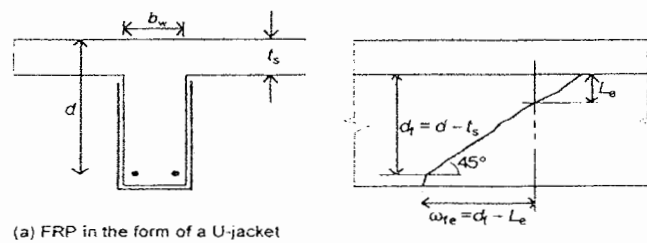
$$A_{fs} = 2t_f w_{fe} \quad \text{for Two side wrap} \quad (35-3)$$

$$\begin{cases} d_f = d & \text{برای تیرهای مستطیلی} \\ d_f = d - h_f & \text{برای تیرهای T شکل} \end{cases} \quad (36-3)$$

$$\begin{cases} w_{fe} = d_f - L_e & \text{for U-wrap} \\ w_{fe} = d_f - 2L_e & \text{for Two side wrap} \end{cases} \quad (37-3)$$

$$L_e = 461.3 / \left(t_f E_{fd}\right)^{0.58} \quad (38-3)$$

فاصله بین خطوط محور FRP‌ها بوده و در حالت ورقه‌های یکپارچه برابر  $w_{fe}$  است.



شکل ۳-۴: عرض مؤثر از FRP

$$\varepsilon_{fel} = \varepsilon_{fu} \left(0.5622 (\rho_f E_{fd})^2 - 1.2188 (\rho_f E_{fd}) + 0.778\right) \quad \text{for } \rho_f E_f < 1.1 GPa \quad (39-3)$$

که در آن

$$\varepsilon_{fu} = \varepsilon_{fk} / \gamma_{mf} \quad (40-3)$$

$$\rho_f = \left(2t_f / b_w\right) \left(w_f / s_f\right) \quad (41-3)$$

و  $E_{fd}$  مدول الاستیک FRP بوده که بر حسب  $\text{kN/mm}^2$  می‌باشد.

$$\varepsilon_{fe2} = 0.0042 \frac{(0.835 f_{cu})^{2/3} w_{fe}}{(E_f t_f)^{0.58} d_f} \quad (42-3)$$

$$\varepsilon_{fe} = \min\{\varepsilon_{fe1}, \varepsilon_{fe2}, 0.004\} \quad (43-3)$$

از جمله محدودیتهایی که باید در مقاومسازی برشی رعایت شود، حداقل فاصله نوارهای FRP از یکدیگر بوده تا هر ترک برشی حداقل یکی از نوارهای FRP را قطع کند. این محدودیت به صورت زیر می باشد.

$$\min s_f = \max\left\{0.8d, w_f + \frac{d}{4}\right\} \quad (44-3)$$

در مورد مقاطع دایره‌ای، سهم مقاومت برشی FRP از رابطه زیر قابل استخراج است.

$$V_{Rf} = (\pi / 2) t_f d E_{fd} \varepsilon_{fe} \quad (45-3)$$

مقدار  $\varepsilon_{fe}$ ، باید به 0.004 محدود گردد. در نهایت مقاومت برشی عضو از جمع سه مقاومتهای برشی فولاد، بتن و FRP از رابطه زیر بدست می آید.

$$V_R = \min\{V_{Rl} + V_{Rc} + V_{Rf}, V_{R,\max}\} \quad (46-3)$$

## ۳-۵ : مقاومسازی ستونها

### ۳-۱-۵ : مقاومسازی فشاری ستونها

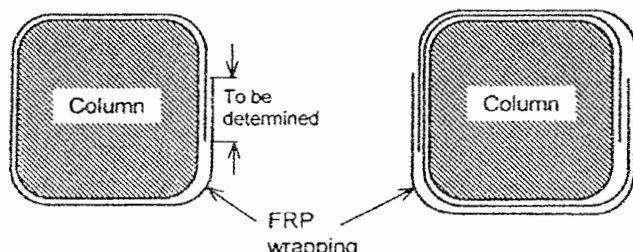
همانطور که در دیگر راهنمای مطرح شد ، اتصال حلقه ای شکل FRP به سطح ستون باعث افزایش ظرفیت بار محوری و شکل پذیری ستون می گردد . حلقه ای شکل دربرابر تغییرشکلهای جانبی ناشی از بارگذاری محوری مقاومت می کند که نتیجه تنش محبوس کنندگی در هسته بتنی می باشد . تنش محبوس کنندگی باعث تأخیر در گسیختگی بتن شده و درنتیجه هر دو مقاومت فشاری نهایی و کرنش فشاری نهایی بتن را افزایش خواهد داد . این اثر به طور قابل توجهی برای ستونهای با مقطع دایره ای مؤثرتر از ستونهای با مقطع مربعی و مستطیلی خواهد بود . علت آن این است که در دو مورد آخری عمل محبوس کنندگی اغلب در گوشه های مقطع مرمرکز می شود . در این راهنما روشهای مختلفی را جهت محاسبه اثر محبوس کنندگی بر مقاومت فشاری و کرنش فشاری نهایی بتن ارائه داده است ، اما روشی که برای طراحی مقاومسازی فشاری مورد استفاده قرار می گیرد ، به صورت زیر می باشد .

$$f_{ccd} = 0.67 f_{cu} / \gamma_{mc} + 0.05 (2t_f/D) E_{fd} \quad (47-3)$$

در مورد ستونهای کوتاه براساس BS 8110 می توان مقاومت فشاری نهایی ستون را از رابطه زیر محاسبه نمود .

$$\left\{ \begin{array}{l} N = 0.35 f_{ccd} A_c + 0.67 A_{sc} f_y \quad \text{ستونهایی که ممان به آنها وارد شده} \\ \qquad \qquad \qquad \text{اما توسط تیرهای متقاضن مهار شده اند} \\ N = 0.40 f_{ccd} A_c + 0.75 A_{sc} f_y \quad \text{ستونهایی که ممان به آنها وارد نمی شود} \end{array} \right. \quad (48-3)$$

در مورد کنترل گسیختگی ناشی از اتصالات لبه ای ، می تواند با فراهم کردن طول هم پوشانی لبه ای کافی ، جلوگیری گردد . همچنین هنگامی که از دو و یا چند لایه از FRP برروی ستون استفاده می شود ، اتصالات لبه ای باید به صورتی که در شکل ۳-۵ نشان داده شده است ، در وجهه های مختلف ستون قرار گیرد .



شکل ۳-۵ : همپوشانی لبه ای در ستونها

جهت ارضی ضوابط خدمت پذیری لازم است که کرنش در بتن تحت بارهای سرویس از 0.0035 تجاوز نکرده و مقدار تنش در FRP از محدوده تنشهای مربوط به حالت خستگی و گسیختگی تنشی مطرح شده تجاوز نکند.

### ۳-۵-۳ : مقاومسازی خمشی ستونها

در این مورد اعضايی که تحت بار محوری قرار گرفته اند به طور همزمان تحت خمش قرار می گيرند . جهت طراحی اينگونه اعضاء ، فرضيات زير درنظر گرفته می شود .

- مقاطعی که قبل از خمش مسطح هستند بعد از خمش نيز مسطح باقی می مانند
- لغزشی بين FRP و بتن رخ نمی دهد
- الیافهای محوری در يك لایه با ضخامت ثابت به کل دور ستون پیچیده شده اند
- پاسخ تنش - کرنش برای بتن از منحنی ایده ال شده برای بتن که در کدها و آیین نامه های جاری ارائه شده است تبعیت می کند با  $\gamma_{mc} = 1.5$  . ماکزیمم مقاومت فشاری ستون محبوس شده برابر  $1.5f_{cu}$  بوده اما نباید بيشتر از  $80 \text{ N/mm}^2$  گردد .
- ماکزیمم کرنش فشاری در بتن 1% می باشد
- پاسخ تنش - کرنش آرماتورهای فولادی از منحنی ایده ال ارائه شده در آیین نامه ها و کدهای امروزی تبعیت می کند با  $\gamma_{ms} = 1.15$  .
- FRP دارای يك رفتار الاستیک خطی تا لحظه گسیختگی است
- مقاومت کششی بتن صرفنظر می شود

جهت تعیین ضخامت مورد نیاز ، در ابتدا فرض شده است که کرنش بتن 0.0035 تا 0.01 بوده و اینکه کرنش FRP نمی تواند از حدنهایی طراحی آن تجاوز کند . مراحل روش به صورت زیر می باشد :

- ۱- بررسی نقاط بحرانی که ترکیب ممان ماکزیمم و بار محوری به صورت توأم وجود دارد
- ۲- بررسی خطر جداشدگی
- ۳- بررسی خطر گسیختگی مهار
- ۴- بررسی ظرفیت بشی ستون

مطالعات انجام شده نشان داده است که استفاده از چندین لایه محوری ، مشکلی ایجاد نمی کند ؛ چراکه وجود دورپیچهای حلقوی بر روی الیافهای محوری می تواند از گسیختگی ناشی از جداشدگی جلوگیری کند . همچنین جهت جلوگیری از جداشدگی FRP در انتهای لایه ، لازم است که مهار کافی با امتداد الیافهای محوری به اندازه 250 mm فراتر از نقطه مورد نیاز ، صورت گرفته و نصب دو لایه دورپیچ حلقوی در محل اتصال می تواند در این مورد مفید باشد .

## فصل چهارم : خلاصه ای از راهنمای ISIS با عنوان :

### مقاومسازی سازه های بتن آرمه به وسیله FRP چسبیده به صورت خارجی

#### ۱-۴ : کلیات

در این راهنما ، پایه و اساس طراحی ، آیین نامه های A23.3 CSA و S6 CSA از استانداردهای ملی ساختمان کانادا می باشد . این راهنما جامعیت لازم را نداشته و می توان به عنوان مرجعی برای ارائه نظر مهندسین مورد استفاده قرار گیرد .

در این آیین نامه همانند دیگر آیین نامه ها ، قبل از طراحی سیستم مقاومساز ، یک ارزیابی دقیق از سازه موجود ضرورت دارد . در این مورد می توان از آیین نامه های CSA S6 (1990) برای پلها و ACI 364.1R-94 برای ساختمانها بهره برد . از جمله نکات مهمی که می توان بدان اشاره نمود ، آنستکه براساس آیین نامه ACI 440F [۲] ، سازه موجود قبل از مقاومسازی باید به تنها یه قادر به تحمل بار  $L + 0.85D$  بعد از افزایش بار ، باشد . دیگر نکته مهم از مقدمات اولیه مقاومسازی ، بررسی سطح بتن و آماده سازی و ترمیم آن می باشد . در این مورد برای ترمیم عضو بتُنی ، می توان از استانداردهای (93) CSA S448.1 ، (1988) ACI 546.1 و (1993) ACI 224.1 بپُرسید .

۴-۲: مقاومسازی خمثی۴-۲-۱: فرضیات

- در این راستا ، فرضیاتی مورد استفاده قرار گرفته است که به ترتیب زیر می باشد :
- ۱) مقاطع مسطح به صورت مسطح باقی می مانند
  - ۲) اتصال کامل و بی عیب بین بتن و فولاد و همچنین بین بتن و FRP برقرار می باشد
  - ۳) کرنشهای برشی در طراحی خمثی ناچیز بوده و قابل صرفنظر کردن هستند
  - ۴) مهاربندی کامل و یا طول مهاری مناسب برای تقویت کننده های FRP در نظر گرفته می شود

در بعضی موارد خاص یک فرض اضافی مورد استفاده قرار می گیرد که آن صرفنظر کردن از کرنشهای اولیه در بستر بتنه قبل از مقاومسازی می باشد . با این وجود در موارد خاصی ، این فرض قابل اعمال نبوده و تنشها و کرنشهای اولیه باید در طراحی لحاظ گردد .

۴-۲-۲: خصوصیات مواد

خصوصیات مواد استفاده شده در طراحی را می توان به صورت زیر بیان نمود :

۴-۲-۲-۱: بتن

یک منحنی پارابولیک (سهموی) می تواند جهت تشریح رفتار فشاری مقاومت نرمال بتنه (تا مقدار 4.5 MPa ) مورد استفاده قرار گیرد . رابطه تنش - کرنش توسط رابطه زیر مشخص می شود .

$$f_c = f'_c \left[ \frac{2\epsilon_c}{\epsilon'_c} - \left( \frac{\epsilon_c}{\epsilon'_c} \right)^2 \right] \quad (1-4)$$

که در آن  $f_c$  ،  $\epsilon_c$  و  $\epsilon'_c$  به ترتیب تنش فشاری ، مقاومت فشاری مشخصه و کرنش در بتنه بوده و  $E_{ct}$  ، کرنش در بتنه در تنش  $f_c$  است که با رابطه زیر تعیین می گردد .

$$\epsilon'_c = \frac{2f'_c}{E_{ct}} \quad (2-4)$$

مدول تانژانت بتنه  $E_{ct}$  . می تواند برابر  $1.1E_c$  فرض شده که در آن  $E_c$  مدول الاستیک بتنه بوده و از استاندارد CSA-A23.3-94 و CSA-S6-88 به صورت روابط زیر قابل استخراج است .

$$E_c = \left( 3300\sqrt{f'_c} + 6900 \right)^{1.5} \quad (3a-4) \quad CSA - A23.3 - 94$$

$$E_c = 0.043\gamma_c^{1.5}\sqrt{f'_c} \quad (3b-4) \quad CSA - S6 - 88$$

که در آن  $\gamma_c$  ، چگالی بتنه بوده که بین مقادیر  $1500 \text{ kg/m}^3$  تا  $2500 \text{ kg/m}^3$  می باشد . برای بتنهای با وزن معمولی ، که مقاومت آن بین  $20$  تا  $45 \text{ MPa}$  است ، این روابط به صورت زیر خلاصه می شوند .

$$E_c = 4500\sqrt{f'_c} \quad (4a-4) \quad CSA - A23.3 - 94$$

$$E_c = 5000\sqrt{f'_c} \quad (4b-4) \quad CSA - S6 - 88$$

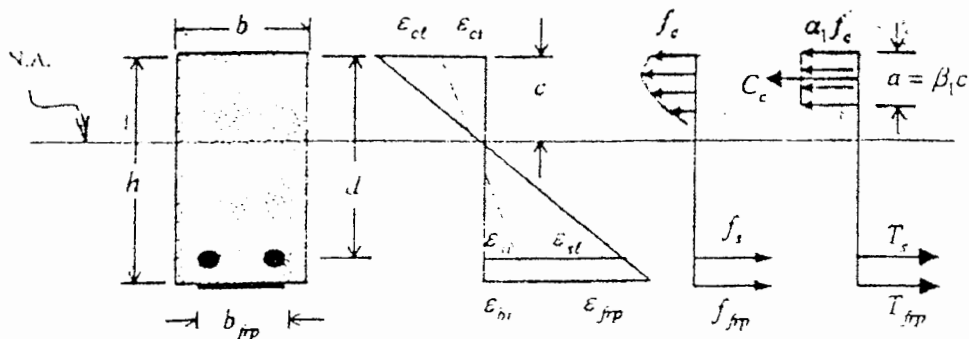
برای سازه های بتن آرمه ، مدول گسیختگی بتن  $f_r$  به وسیله رابطه زیر بدست می آید .

$$f_r = 0.6\lambda\sqrt{f'_c} \quad (5-4)$$

که در آن  $\lambda$  ، ضریبی است که برای بتنهای با وزن کم مورد استفاده قرار گرفته و برای بتنهای با وزن معمولی برابر 1.0 فرض می شود .

برای کرنشهای بیشتر از  $f_r/E_c$  ، فرض می شود که بتن ترک خورده و مقاومت کششی آن در محاسبات درنظر گرفته نمی شود .  
بلوک معادل تنشی بتن :

روش آنالیز ارائه شده در این راهنمای برپایه همان فرضیات ارائه شده در استاندارد CSA A23.3-94 برای سازه های بتن آرمه و استاندارد S6-88 CSA برای پلها بتنی می باشد . یک مقطع بتن آرمه تقویت شده با همراه نیروهای داخلی در اجزای مختلف آن ناشی از یک ممان مثبت در شکل ۱-۴ نشان داده است .



شکل ۱-۴ : توزیع تنش و کرنش ( تنها آرماتورهای کششی فولادی )

بلوک تنش نشان داده شده در شکل ، ساده سازی رایج استفاده شده را به صورت معادلسازی توزیع مستطیلی تنش به جای توزیع سهمی ، نشان می دهد . ضریب  $\alpha_i$  و  $\beta_i$  از ۶۴ از روابط زیر قبل استخراج می باشد .

$$\alpha_i = 0.85 - 0.0015f'_c \geq 0.67 \quad (6a-4) \quad CSA - A23.3 - 94$$

$$\beta_i = 0.97 - 0.0025f'_c \geq 0.67 \quad (6b-4) \quad CSA - A23.3 - 94$$

براساس استاندارد CSA-S6-88 مقادیر زیر در پلها ارائه می شود .

$$\alpha_l = 0.85 \quad (7a - 4) \quad CSA - S6 - 88$$

$$0.85 \geq \beta_l = 1.09 - 0.008 f'_c \geq 0.65 \quad (7b - 4) \quad CSA - S6 - 88$$

بنابراین تنش متوسط در ناحیه فشاری به وسیله رابطه  $\alpha_l, \phi_c, f'_c$  بدست می‌آید که ضریب مقاومت بتن بوده و مقدار عمق بلوک معادل از رابطه  $c = a = \beta_l c$  قابل دستیابی است که در آن  $c$  فاصله دورترین تار فشاری تیر از تار خنثی آن می‌باشد. روابط (۷-۴) و (۷-۶) برای بلوک تنشی در بتن بوده و معادل توزیع تنش سهموی در هنگامی که بتن به مقاومت نهایی خود می‌رسد، می‌باشند.

#### ۲-۲-۳-۴ : فولاد

رفتار آرماتورهای فولادی می‌تواند از منحنی تنش - کرنش ناشی از آزمایش کشش بدست آید. در طراحی می‌توان از مرحله سخت شدگی فولاد صرفنظر نموده و یک رفتار الاستیک و سپس کاملاً پلاستیک فرض گردد. کرنش تسلیم فولاد،  $\epsilon_y$ ، عبارتست از تنش تسلیم،  $f_y$ ، تقسیم بر مدول الاستیسیته فولاد،  $E_s$ .

#### FRP : ۳-۲-۲-۴

برای FRP‌ها یک رفتار تنش - کرنش الاستیک خطی در کشش تا لحظه گسیختگی نهایی فرض می‌گردد. مقاومت کششی نهایی، کرنش نهایی و مدول الاستیسیته آن به ترتیب با پارامترهای  $E_{frp}$ ،  $\epsilon_{frpu}$  و  $f_{frpu}$  نشان داده می‌شوند.

#### ۴-۲-۲-۴ : ضرایب / یمنی مواد

ضرایب کاهش مقاومت برای فولاد و بتن براساس استانداردهای A23.3 CSA [۱۲] و OHBDC-91 به صورت جدول ۴-۱ قابل استخراج است.

جدول ۴-۱ : ضرایب مقاومت بتن و آرماتورهای فولادی

فولاد	بتن	
0.85	0.6	سازه
0.9	0.75	پل

براساس این راهنمای خصوصیات مواد FRP باید از سازنده آن گرفته شده و تعدادی از آنها در جداولی در فصل دوم دسته بندی شده است. ضریب کاهش مقاومت  $\phi_{frp}$ ، FRP، بسیار وابسته به نوع ماده، شرایط استفاده و درجه درمعرض قرارگیری محیط‌های ناهنجار بوده و از سازنده FRP

گرفته می شود . در این مورد برای CFRP مقادیر بین 0.70 تا 0.78 و برای GFRP مقادیر بین 0.6 تا 0.76 ، پیشنهاد شده است .

### ۳-۲-۴ : مودهای گسیختگی

در این راهنما ، مودهای گسیختگی مفروض شامل سه حالت خردشده بتن به تنها بی ؛  
تسلیم شدگی فولاد و بدنبال آن خردشده بتن ؛ و تسلیم شدگی فولاد و بدنبال آن گسیختگی  
FRP بوده و مود گسیختگی ناشی از جدادشده با فرض مهاربندی کافی و ادامه دادن طول  
چسبندگی به میزان کافی ، اجتناب شده است . روند طراحی برای مقاومسازی خمشی در تیرهای  
مستطیلی را می توان به صورت زیر بیان نمود .

### ۴-۲-۴ : محاسبه کرنش اولیه در بستر کششی بتنی

در این حالت براساس روابط موجود در CSA A23.3 می توان کرنش اولیه در بتن فشاری ،  $\varepsilon_{ci}$  ،  
و فولاد ،  $\varepsilon_{si}$  ، ناشی از بارهای اولیه را محاسبه نموده و در نهایت کرنش اولیه دربستر کششی را از  
رابطه زیر بدست آورد .

$$\varepsilon_{bi} = \frac{h}{d} (\varepsilon_{si} + \varepsilon_{ci}) - \varepsilon_{ci} \quad (8-4)$$

### ۵-۲-۴ : محاسبه عمق تارخنثی در حالت بالانس

در ادامه طراحی ، در ابتدا مقدار عمق تارخنثی در حالت بالانس محاسبه می شود . این حالت  
هنگامی است که به طور همزمان خردشده بتن ( $\varepsilon_{cu} = 0.0035$  برای سازه ها و  $\varepsilon_{cu} = 0.003$  برای  
پلها) و پارگی FRP رخ دهد . با توجه به اینکه کرنش در لحظه گسیختگی FRP بالا می باشد ، به  
طور حتم در این حالت ، فولاد نیز به تسلیم خواهد رسید . مقدار عمق خنثی در حالت بالانس از  
رابطه زیر بدست می آید .

$$c_b = \frac{h\varepsilon_{cu}}{\varepsilon_{cu} + \varepsilon_{frpu} + \varepsilon_{bi}} \quad (9-4)$$

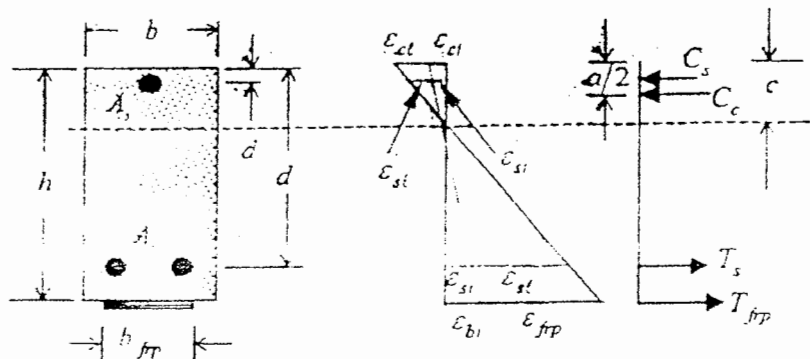
سپس مقدار عمق تارخنثی براساس تعادل نیروها به طور مجدد از رابطه زیر محاسبه می گردد .

$$c = \frac{\phi_s f_s A_s + \phi_{frp} E_{frp} \varepsilon_{frpu} A_{frp} - \phi_s f'_s A'_s}{\alpha_1 \phi_c f'_c \beta_1 b} \quad (10-4)$$

مقدار تنش در آرماتورهای کششی و فشاری در رابطه بالا به صورت زیر محاسبه می گردد .

$$f_s = E_s \varepsilon_{cu} \left( \frac{d - c_b}{c_b} \right) \leq f_y \quad (11-4)$$

$$f'_s = E_s \varepsilon_{cu} \left( \frac{c_b - d'}{c_b} \right) \leq f'_y \quad (12-4)$$



شکل ۲-۴ : توزیع تنش و کرنش (آرماتورهای فشاری و کششی)

حال اگر مقدار  $c$  بدست آمده با  $c_b$  برابر بود ، می توان ممان مقاوم بالانس مقطع را از رابطه زیر محاسبه کرد .

$$M_r = \phi_s f_s A_s \left( d - \frac{\beta_1 c_b}{2} \right) - \phi_s f'_s A'_s \left( d' - \frac{\beta_1 c_b}{2} \right) + \phi_{frp} E_{frp} \epsilon_{frpu} A_{frp} \left( h - \frac{\beta_1 c_b}{2} \right) \quad (13-4)$$

#### ۲-۶: خردشگی بتن

در صورتیکه مقدار  $c > c_b$  باشد ، به منزله آنستکه خردشگی بتن قبل از پارگی FRP رخ خواهد داد . بنابراین با فرض اولیه اینکه آرماتورهای کششی و فشاری به تسلیم نمی رساند ، مقدار  $c$  از رابطه درجه دوم زیر محاسبه می گردد .

$$\alpha_i \phi_c f'_c \beta_1 b c^2 + (\phi_s E_s \epsilon_{cu} (A_s + A'_s) + \phi_{frp} E_{frp} A_{frp} (\epsilon_{cu} + \epsilon_{bi})) c - (\phi_s E_s \epsilon_{cu} (A_s d + A'_s d') + \phi_{frp} E_{frp} A_{frp} h \epsilon_{cu}) = 0 \quad (14-4)$$

با داشتن مقدار  $c$  می توان مقدار تنش در آرماتورها و FRP را محاسبه نمود .

$$f_s = E_s \epsilon_{cu} \left( \frac{d - c}{c} \right) \leq f_y \quad (15-4)$$

$$f'_s = E_s \epsilon_{cu} \left( \frac{c - d'}{c} \right) \leq f'_y \quad (16-4)$$

در صورتی که مقدار تنش در آرماتورها بیشتر از تنش تسلیم آنها بود ، باید با جایگذاری آن به جای تنش در فولاد در رابطه قبل ، مقدار  $c$  را با فرض اینکه هر دو آرماتور به تسلیم رسیده اند ، از رابطه زیر محاسبه کرد .

$$\alpha_1 \phi_c f'_c \beta_1 b c^2 + (\phi_{frp} E_{frp} A_{frp} (\varepsilon_{cu} + \varepsilon_{bi}) - \phi_s f_y (A_s - A'_s)) c - \phi_{frp} E_{frp} A_{frp} \varepsilon_{cu} h = 0 \quad (17-4)$$

مقدار تنش در FRP از رابطه زیر محاسبه می گردد .

$$f_{frp} = E_{frp} \varepsilon_{frp} = E_{frp} \left[ \varepsilon_{cu} \left( \frac{h-c}{c} \right) - \varepsilon_{bi} \right] \quad (18-4)$$

در صورتی که مقدار تنش در FRP از تنش نهایی آن بیشتر نباشد ، می توان ممان مقاوم مقطع را از رابطه زیر محاسبه کرد .

$$M_r = \phi_s f_s A_s \left( d - \frac{a}{2} \right) - \phi_s f'_s A'_s \left( d' - \frac{a}{2} \right) + \phi_{frp} E_{frp} \varepsilon_{frp} A_{frp} \left( h - \frac{a}{2} \right) \quad (19-4)$$

#### 7-۲-۴ : گسیختگی FRP

در صورتی که  $c < c_b$  بوده و یا در رابطه قبل  $f_{frp} > f_{frpu}$  باشد ، نشاندهنده آنستکه گسیختگی FRP زودتر از خردشده‌گی بتن رخ خواهد داد . یعنی اینکه  $\varepsilon_{frp} = \varepsilon_{frpu}$  . براساس تغییرات خطی کرنش در مقطع می توان کرنش در آرماتورهای فشاری را بر حسب کرنش نهایی FRP از رابطه زیر بدست آورد .

$$\varepsilon'_s = (\varepsilon_{frpu} + \varepsilon_{bi}) \left( \frac{c-d'}{h-c} \right) \quad (20-4)$$

$$f'_s = E_s \varepsilon'_s \leq f'_y \quad (21-4)$$

از آنجاییکه مود گسیختگی ، پارگی FRP در کرنش می باشد ، فولاد کششی به طور قطع تسلیم شده و درنتیجه  $f_s = f_y$  خواهد بود . در این حالت مقدار  $c$  از رابطه زیر محاسبه می شود .

$$\alpha_1 \phi_c f'_c \beta_1 c b + \phi_s f'_s A'_s = \phi_s f_y A_s + \phi_{frp} E_{frp} \varepsilon_{frpu} A_{frp} \quad (22-4)$$

در نهایت مقدار ممان مقاوم از رابطه زیر قابل محاسبه است .

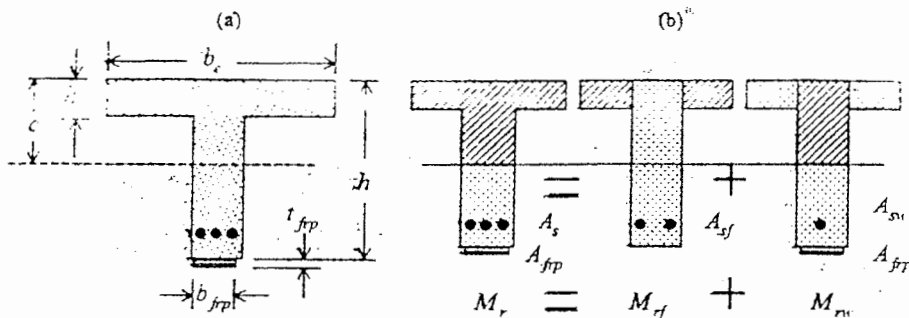
$$M_r = \phi_s \left[ f_y A_s \left( d - \frac{a}{2} \right) - f'_s A'_s \left( d' - \frac{a}{2} \right) \right] + \phi_{frp} E_{frp} \varepsilon_{frpu} A_{frp} \left( h - \frac{a}{2} \right) \quad (23-4)$$

#### 1-۲-۴ : تیرهای T شکل

در مورد تیرهای T شکل ، اولین مرحله محاسبه عمق تارخنثی می باشد . هنگامی که عمق بلوك تنشی معادل کمتر از ضخامت بال باشد ( $h_f < a$ ) ، آنالیز شبیه به حالت تیر مستطیل شکل

با یک عرض مؤثر فشاری برابر بال تیر صورت می گیرد . یعنی  $b_e = b$  . به عبارتی همه تیرهای T شکل که رابطه زیر را ارضاء کنند ، همانند مقاطع مستطیلی عمل خواهند نمود .

$$h_f \geq \frac{\phi_s f_y A_s + \phi_{frp} E_{frp} \varepsilon_{frpu} A_{frp}}{\alpha_1 \phi_c f'_c \beta_1 b_e} \quad (24-4)$$



شکل ۳-۴ : (a) پارامترهای هندسی تیر T شکل ، (b) ممان مقاوم

اگر عمق بلوك تنشی معادل ، در جان قرار گیرد ، یعنی  $h_f > a$  ، در این حالت تیر به صورت یک تیر T شکل عمل خواهد نمود . ناحیه فشاری مقاطع T شکل می تواند براساس شکل ۳b-۴ تقسیم شود . برآیند نیروهای فشاری سهم بال ،  $C_f$  ، و سهم جان ،  $C_w$  ، به وسیله روابط زیر قابل محاسبه هستند .

$$C_f = \alpha_1 \phi_c f'_c (b_e - b_w) h_f \quad (25-4)$$

$$C_w = \alpha_1 \phi_c f'_c \beta_1 c b_w \quad (26-4)$$

که در آن  $b_w$  ، عرض جان است . برآیند نیروهای کششی از روابط زیر بدست می آیند .

$$T_s = \phi_s f_s A_s \quad (27-4)$$

$$T_{frp} = \phi_{frp} f_{frp} A_{frp} \quad (28-4)$$

در شکل ۳a-۴ ،  $t_{frp}$  ، ضخامت کلی FRP است . با فرض تسلیم شدن آرماتور کششی ، سطح مقاطع فولاد که معادل نیروی فشاری بتن در دال است ،  $A_{sf}$  ، از رابطه زیر بدست می آید .

$$\alpha_1 \phi_c f'_c (b_e - b_w) h_f = \phi_s f_y A_{sf} \quad (29-4)$$

که از آن می توان رابطه زیر را استخراج کرد .

$$A_{sf} = \frac{\alpha_1 \phi_c f'_c (b_e - b_w) h_f}{\phi_s f_y} \quad (30-4)$$

این نکته باید دقت شود که مقدار  $A_{sf}$  می تواند از مقدار  $A_s$  بزرگتر گردد. موقعیت تار خنثی از رابطه زیر تعیین می شود.

$$\alpha_1 \phi_c f'_c \beta_1 b_w c = \phi_s f_y A_{sw} + \phi_{frp} E_{frp} \varepsilon_{frp} A_{frp} \quad (31-4)$$

که در آن،  $A_{sw}$ ، سهم باقی مانده آرماتورهای کششی است که از رابطه زیر محاسبه می گردد.

$$A_{sw} = A_s - A_{sf} \quad (32-4)$$

برای تیرهای تقویت شده با مقدار زیادی از مواد FRP، ممکن است مقدار منفی برای  $A_{sw}$  بدست آید. این موضوع نشان دهنده آنست که قسمتی از  $T_{frp}$  جهت تعادل در نیروی فشاری در بال بتني همکاري می کند، مگر آنکه روابط چيز ديگري غير از اين را نشان دهد. در مورد رفتار تیرهای T شکل (يعني  $h_f > a$ )، ممان مقاوم  $M_r$  در دو مرحله تعیین می شود. در ابتدا ممان مقاوم بال از طریق رابطه زیر بدست می آید.

$$M_{rf} = \phi_s f_y A_{sf} \left( d - \frac{h_f}{2} \right) \quad (33-4)$$

سپس ممان مقاوم  $M_{rw}$  ناشی از جان مقطع بتني که سهم باقی مانده از آرماتورهای کششی و FRP است، از طریق رابطه زیر محاسبه می شود.

$$M_{rw} = \phi_s f_y A_{sw} \left( d - \frac{a}{2} \right) + \phi_{frp} E_{frp} \varepsilon_{frp} A_{frp} \left( h - \frac{a}{2} \right) \quad (34-4)$$

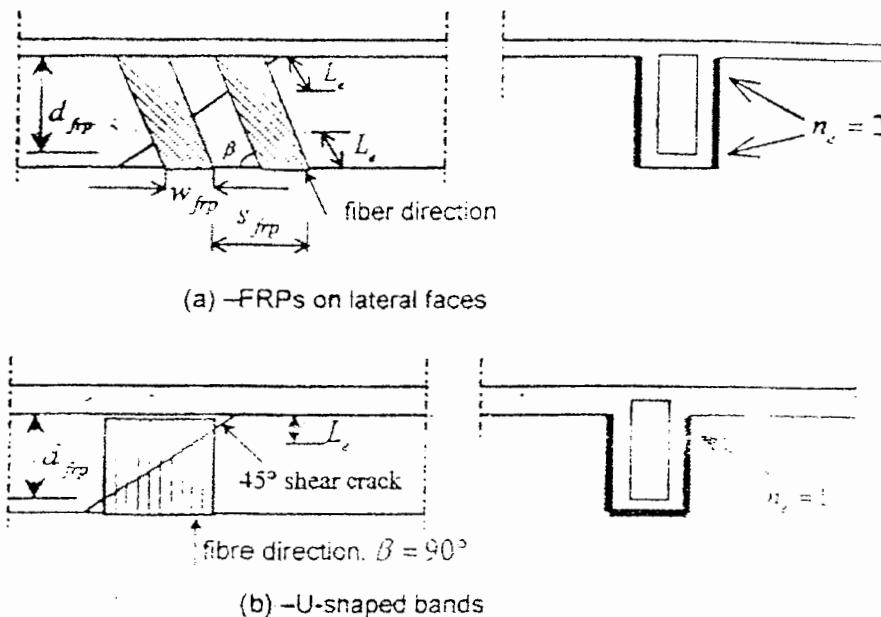
ممان مقاوم نهايی به صورت زير محاسبه می گردد.

$$M_r = M_{rf} + M_{rw} \quad (35-4)$$

### ۴-۳: مقاومسازی برشی

مواد FRP می توانند به صورت دورپیچهایی به شکل خاموت باعث افزایش مقاومت برشی مقاطع بتن آرمه گردند . جهت اجتناب از امکان گسیختگی FRP ناشی از تمرکز تنش در گوشه های مقطع تیر ، این گوشه ها باید با شعاع حداقل 35 mm گرد شوند . ضریب مقاومت CFRP همان مقدار 0.7 تا 0.78 توصیه شده ، ولی برای GFRP مقداری کمتر از 0.6 توصیه می گردد .

همانطور که گفته شد ، پایه طراحی در این راهنمای استاندارد CSA A23.3 94 برای سازه ها و CSA S6-88 برای پلها می باشد . براساس این استانداردها و راهنمای موجود ، مقاومت برشی مقطع از روابط زیر قابل محاسبه است .



شکل ۴-۴ : طول مؤثر تقویت کننده ها

$$V_r = V_c + V_s + V_{frp} \quad (36a - 4) \quad CSA - A23.3 - 94$$

$$V_r = \phi(V_c + V_s) + V_{frp} \quad \text{with } \phi = 0.75 \quad (36b - 4) \quad CSA - S6 - 88$$

که در آن :

$$V_c = 0.2\phi_c \sqrt{f'_c} b_w d \quad (37a - 4) \quad CSA - A23.3 - 94$$

$$V_c = v_b b_w d \quad (37b - 4) \quad CSA - S6 - 88$$

، مقاومت برشی مجاز بتن بوده که توسط استاندارد CSA S6-88 تعیین می شود . سهم فولاد نیز از روابط زیر بدست می آید .

$$V_s = \frac{\phi_s f_y A_v d}{s} \quad (38a - 4) \quad CSA - A23.3 - 94$$

$$V_s = \frac{f_y A_v d}{s} \quad (38b - 4) \quad CSA - S6 - 88$$

که در آن  $A_v$  و  $s$  به ترتیب سطح مقطع و فاصله آرماتورهای فولادی عرضی هستند . سهم برابر است با :

$$V_{frp} = \frac{\phi_{frp} E_{frp} \varepsilon_{frpe} A_{frp} d_{frp} (\sin \beta + \cos \beta)}{s_{frp}} \quad (39 - 4)$$

که در آن

$$A_{frp} = 2t_{frp} w_{frp} \quad (40 - 4)$$

عمق مؤثر FRP‌های برشی که به صورت U شکل هستند ،  $d_{frp}$  ، از سطح آزاد بالای دال تا پایین خاموتهای فولادی داخلی درنظر گرفته شده و در هنگام دورپیچ کامل برابر  $h$  است .

$$\varepsilon_{frpe} = \min \left\{ \frac{\alpha \phi_{frp} k_1 k_2 L_e}{9525}, R \varepsilon_{frpu}, 0.004 \right\} \quad (41 - 4)$$

در حالت دورپیچ کامل ، مقدار  $\varepsilon_{frpe}$  برابر 0.004 درنظر گرفته می شود .  $R$  نسبت کرنش مؤثر به کرنش نهایی در FRP‌های U شکل بوده و از رابطه زیر بدست می آید .

$$R = \alpha \lambda_1 \left[ \frac{f'_c^{2/3}}{\rho_{frp} E_{frp}} \right]^{\lambda_2} \quad (42 - 4)$$

و  $\rho_{frp}$  نسبت نقویت کننده های برشی FRP بوده و عبارتست از :

$$\rho_{frp} = \frac{2t_{frp} w_{frp}}{b_w s_{frp}} \quad (43 - 4)$$

در رابطه (42-4) ، ضریب کاهش برای کرنش مؤثر ،  $\alpha$  ، برابر 0.8 بوده و  $\lambda_1$  و  $\lambda_2$  عبارتند از :

CFRP گسیختگی  $\lambda_1 = 1.35$  و  $\lambda_2 = 0.30$

AFRP گسیختگی  $\lambda_1 = 1.23$  و  $\lambda_2 = 0.47$

$$k_1 = \left[ \frac{f'_c}{27.65} \right]^{2/3} \quad (44 - 4)$$

$$k_2 = \frac{d_{frp} - n_e L_e}{d_{frp}} \quad (45 - 4)$$

در این روابط ،  $\alpha = 0.8$  و  $n_e$  تعداد انتهای آزاد ورقه های FRP در یک سمت تیر می باشد که در شکل ۴-۴ نشان داده شده است. روابط (۴۴-۴) و (۴۵-۴) با اصلاح روابط ACI 440F (2000) برای  $\varepsilon_{frpe}$  بدست آمده است . اگر  $k_2 \leq 0$  ، سیستم FRP در برش مؤثر نبوده مگر آنکه مهارهای مکانیکی کافی اعمال گردد .

$$L_e = \frac{25350}{(t_{frp} E_{frp})^{0.58}} \quad (46-4)$$

براساس پیشنهاد CSA A23.3-94 CSA برای سازه ها و CSA-S6-88 برای پلها ، مقاومت برشی نهایی به مقادیر زیر محدود می گردد .

$$V_r = V_c + V_s + V_{frp} \leq V_c + 0.8\lambda\phi_c \sqrt{f'_c} b_w d \quad (47a-4) \quad CSA - A23.3 - 94$$

$$V_r = \phi(V_c + V_s) + V_{frp} \leq \phi(V_c + 0.66\lambda\sqrt{f'_c} b_w d) \quad (47b-4) \quad CSA - S6 - 88$$

برای بتهای با وزن معمولی  $1 = \lambda$  خواهد بود . دیگر محدودیت مقاومسازی ، ماکزیمم فاصله نوارها از یکدیگر بوده که به مقدار زیر محدود می گردد .

$$s_{frp} \leq w_{frp} + \frac{d}{4} \quad (48-4)$$

در سازه های اولیه بدون تقویت کننده برشی ، توصیه می شود حداقل تقویت کننده های عرضی به صورت U شکل در محل قطع تقویت کننده های FRP طولی نصب شود ( $A_{vfrp,min}$ ) . براین اساس پیشنهاد شده است که سطح مقطع نوارهای U شکل ،  $A_{vfrp,min}$  ، به گونه ای محاسبه شود که در برابر  $1/20$  نیروی کششی نهایی محل قطع تقویت کننده های طولی FRP مقاومت نموده در حالی که کرنش در نوارهای U شکل برابر  $0.004$  گردد . این روند منجر به رابطه زیر می گردد .

$$A_{vfrp,min} = \frac{A_{frp,cut} f_{frpu}}{0.08 E_{frp}} \quad (49-4)$$

که در آن  $A_{frp,cut}$  ، سطح مقطع FRP در نقطه قطع تقویت کننده های طولی FRP می باشد .

#### ۴-۴ : حداقل طول مهاری

حداقل طول مهاری لازم برای رسیدن به ظرفیت کامل تقویت کننده های FRP به صورت زیر محاسبه می گردد .

$$l_{frpd} = k_d E_{frp} t_{frp} \quad (50-4)$$

که در آن  $k_d$  ، یک ضریب وابسته به طول رشدیافته و سختی FRP بوده و از روابط زیر بدست می‌آید.

$$k_d = \frac{b_{frp}}{b_w} \frac{\varepsilon_{frpu}}{k\sqrt{f'_c}} \quad \text{for } b_{frp} \neq b_w \quad (51-4)$$

$$k_d = \frac{\varepsilon_{frpu}}{k\sqrt{f'_c}} \quad \text{for } b_{frp} = b_w \quad (52-4)$$

براساس بررسیها و تحقیقات انجام شده ، مقدار  $k$  از 0.09 تا 0.184 پیشنهاد شده است .

#### ۴-۵: حالت سرویس

جهت کنترل خیزها و اجتناب از تغییرشکل‌های پلاستیک در حالت سرویس ، باید مقدار تنش در فولاد به 80% تنش تسلیم آن محدود گردد . جهت اجتناب از گسیختگی خوشی تحت تنش‌های وارد ، محدودیتهای زیر در مقدار تنش FRP توصیه شده است .

$$0.20 f_{frpu} \quad (53a-4) \quad GFRP$$

$$0.30 f_{frpu} \quad (53b-4) \quad AFRP$$

$$0.50 f_{frpu} \quad (53c-4) \quad CFRP$$

ضریب کاهش عوامل محیطی بوده و براساس ACI 440 براساس جدول زیر تعیین می‌شود .

جدول ۲-۴ : ضریب کاهش محیطی برای سیستمهای FRP مختلف با شرایط در معرض قرارگیری گوناگون

شرایط در معرض قرارگیری	نوع الیاف	ضریب کاهش محیطی ، $\phi_{frpe}$
شرایط داخلی	Carbon/epoxy	0.95
	Glass/epoxy	0.75
	Aramid/epoxy	0.85
شرایط خارجی ( پلهای ، اسکله ها و پارکینگهای غیر بسته )	Carbon/epoxy	0.85
	Glass/epoxy	0.65
	Aramid/epoxy	0.75
محیطهای ناهنجار ( کارگاههای شیمیایی و کارخانه های تصفیه فاضلاب )	Carbon/epoxy	0.85
	Glass/epoxy	0.50
	Aramid/epoxy	0.70

در مورد بارگذاری خستگی نیز ، مقدار تنش در تقویت کننده های FRP باید به صورت اجتناب از تسلیم شدگی آرماتورهای فولادی محدود شود .

## ۴-۶: مقاومسازی ستونها

### ۴-۶-۱: ستونهای دایره‌ای کوتاه

ستون عضوی است که نسبت ابعاد ارتفاع به قطر آن بزرگتر یا مساوی ۳.۰ باشد. برای قرارگرفتن ستون در دسته ستونهای کوتاه، باید روابط زیر برقرار باشد.

$$\frac{l_u}{D_g} \leq \frac{6.25}{\sqrt{P_f/f'_c A_g}} \quad (54a-4) \quad CSA - A23.3 - 94$$

$$\frac{l_u}{D_g} \leq 8.5 \quad (54b-4) \quad CSA - S6 - 88$$

روابط این بخش برای ستونهای کوتاه بوده و باید توجه شود که ستون بعد از مقاومسازی هنوز در دسته ستونهای کوتاه قرارگیرد.

اتصال ورقه‌های FRP باید به گونه‌ای باشد که در آن راستای الیافها جهت محدود کردن کرنش محیطی در ستون عمود برمحور ستون قرارداشته و یک محصوریت اعمال کند. فشار محصور کردن نهایی ناشی از تقویت کننده‌های FRP،  $f_{frp}$ ، از رابطه زیر قابل محاسبه است.

$$f_{frp} = \frac{2N_b \phi_{frp} f_{frpu} t_{frp}}{D_g} \quad (55-4)$$

که در آن  $N_b$ ،  $f_{frp}$  و  $t_{frp}$  به ترتیب مقاومت کششی، تعداد لایه‌ها، ضخامت یک لایه و ضریب مقاومت FRP می‌باشند. برای محصوریتهای یکپارچه، نسبت حجمی مقاومت به مقاومت بتن از رابطه زیر تعیین می‌گردد.

$$\omega_w = \frac{2f_{frp}}{\phi_c f'_c} \quad (56-4)$$

که در آن  $\phi_c$  ضریب مقاومت بتن می‌باشد. مقاومت فشاری بتن محبوس شده،  $f_{cc}$ ، از رابطه زیر محاسبه می‌گردد.

$$f'_{cc} = f'_c (1 + \alpha_{pc} \omega_w) \quad (57-4)$$

ضریب عملکرد ستونهای دایره‌ای،  $\alpha_{pc}$ ، بستگی به سختی FRP و کرنش نهایی، مقاومت نهایی و کیفیت کاربرد و چسبندگی بین الیاف، رزین و بتن دارد. براساس نتایج آزمایش در دسترس، مقدار ۱.۰ برای  $\alpha_{pc}$  در حال حاضر پیشنهاد می‌شود. محدودیتهای محبوس کردن به صورت روابط زیر می‌باشد.

$$f_{frp} \geq 4 MPa \quad (58-4)$$

$$f_{frp} \leq \frac{f'_c}{2\alpha_{pc}} \left( \frac{1}{k_e} - \phi_c \right) \quad (59-4)$$

$$\alpha_1 = 0.85 - 0.0015 f'_c \geq 0.67 \quad (60a-4) \quad CSA - A23.3 - 94$$

$$\alpha_1 = 0.85 \quad (60b-4) \quad CSA - S6 - 88$$

ضریب کاهش مقاومت اعمالی برای خروج از مرکزیتهای غیرقابل پیش بینی بوده و برابر  $k_e$  است . 0.85 مقاومت بار محوری ،  $P_{rmax}$  برای یک ستون محبوس شده کوتاه ، از رابطه زیر بدست می آید .

$$P_{rmax} = k_e (\alpha_1 \phi_c f'_{cc} (A_g - A_{st}) + \phi_s f_y A_{st}) \quad (61-4)$$

#### ۴-۶-۳ : ستونهای مستطیلی کوتاه

روابط زیر برای ستونهای مستطیلی کوتاه با نسبت ابعاد  $b/h$  (عرض به عمق) کوچکتر یا مساوی 1.1 بوده و باید ستونها با شاعع ۲ گرد شوند که مقدار حداقل آن برابر است با :

$$r = \max \left\{ \frac{b}{6}, 35mm \right\} \quad (62-4)$$

ماکزیمم لاغری جهت قرار گرفتن ستون در دسته ستونهای کوتاه برابر خواهد بود با :

$$\frac{l_u}{h} \leq \frac{7.5}{\sqrt{P_f / f'_c A_g}} \quad (63a-4) \quad CSA - A23.3 - 94$$

$$\frac{l_u}{h} \leq 10.2 \quad (63b-4) \quad CSA - S6 - 88$$

مقدار مقاومت فشاری بتن محبوس شده در این حالت از روابط زیر محاسبه می گردد .

$$f_{frp} = \frac{2N_b \phi_{frp} E_{frp} \epsilon_{frp} t_{frp} (b+h)}{bh} \quad (64-4)$$

که در آن کرنش  $\epsilon_{frp}$  ،  $E_{frp}$  برابر 0.002 برای حالت های غیرپیش تنبیه در محبوس شدگی و مدول الاستیسیته  $E_{frp}$  می باشد . برای محبوس شدگی یکپارچه ، نسبت مقاومت حجمی به صورت زیر تعریف می شود .

$$\omega_w = \frac{f_{frp}}{\phi_c f'_c} \quad (65-4)$$

مقاومت فشاری بتن محبوس شده از رابطه زیر تعیین می گردد .

$$f'_{cc} = f'_c (1 + \alpha_{pr} \omega_w) \quad (66-4)$$

ضریب عملکرد یک مقطع مستطیلی ،  $\alpha_{pr}$  ، بستگی به کیفیت کاربرد و چسبندگی بین بتن ، رزین و الیاف دارد . در حال حاضر مقدار  $\alpha_{pr} = 1$  پیشنهاد می شود . مقدار مقاومت بار محوری یک ستون مستطیلی کوتاه محبوس شده ، از رابطه مشابه حالت ستونهای دایره ای بدست می آید ، با این تفاوت که مقدار  $k_e$  برابر 0.8 می باشد .

۴-۶-۳ : حالت سرویس

در حالت سرویس به جهت اجتناب از وقوع گسیختگی های زودهنگام ناشی از خرزش یا خستگی ، باید حددهای زیر رعایت گردد .

$$P_D \leq 0.85(0.8\alpha_1\phi_c f'_c(A_g - A_{st}) + f_s A_{st}) \quad (67-4)$$

که در آن  $\alpha_1$  از رابطه (۶۰-۴) بدست آمده و کرنش در آرماتورهای محوری فولادی ،  $f_s$  ، کمتر از دو مقدار زیر است .

$$f_s \leq 0.0015E_s \quad (68a-4)$$

$$f_s \leq 0.8f_y \quad (68b-4)$$

برای یک ستون محبوس شده با FRP ، ترکیب بارهای مرده ( $P_D$ ) و زنده ( $P_L$ ) نباید از حدود زیر برای تنفس بتن جهت باقی ماندن در حدود تحمل خستگی خارج شود .

$$\text{for } 0 \leq \frac{P_D}{f'_c A_g} \leq 0.5 \rightarrow P_L \leq 0.4 f'_c A_g - 0.28 P_D \quad (69a-4)$$

$$\text{for } 0.5 \leq \frac{P_D}{f'_c A_g} \leq 0.75 \rightarrow P_L \leq 0.46 f'_c A_g - 0.4 P_D \quad (69b-4)$$

$$\text{for } 0.75 \leq \frac{P_D}{f'_c A_g} \leq 1 \rightarrow P_L \leq 0.64 f'_c A_g - 0.64 P_D \quad (69c-4)$$

۴-۶-۴ : مقاومسازی برشی ستونها

در مورد ستونهای دایره ای در روابط برش تیرها به جای مقدار  $b \times d$  ، باید  $A_c$  را جایگزین کرد و سهم فولاد و FRP را در مقاومت برشی از روابط زیر بدست آورد .

$$V_s = \frac{\pi \phi_s f_{hy} n A_h D_c}{s} \cot \theta \quad (70a-4) \quad CSA - A23.3 - 94$$

$$V_s = \frac{\pi f_{hy} n A_h D_c}{s} \cot \theta \quad (70b-4) \quad CSA - S6 - 88$$

که در آن :

$A_h$  : سطح یک پایه از آرماتورهای افقی ( دقت شود که برای دورپیچها  $n = 2$  )

$D_c$  : اندازه قطر هسته ستون در امتداد بارگذاری که از مرکزتا مرکز آرماتورهای عمودی فولادی است

$f_{hy}$  : تنفس تسلیم آرماتورهای افقی

$n$  : تعداد پایه های آرماتورهای فولادی عرضی در جهت بار

$s$  : فاصله آرماتورهای افقی یا گام دورپیچ ؛ و

زاویه تنشهای فشاری اصلی با محور ستون یا زاویه ترکهای برشی ، که به طور محافظه کارانه برابر  $45^\circ$  در نظر گرفته می شود ، اما برای ستونهای پلها برابر  $30^\circ$  و برای شمع دیوارها برابر  $45^\circ$  فرض می گردد .

$$V_{frp} = \frac{\pi}{2} \phi_{frp} f_{frp} N_b t_{frp} D_g \sin^2 \theta \quad (71-4)$$

که در آن  $D_g$  ، قطر خارجی ستون دایره ای بوده و مقدار تنش کششی در FRP ،  $f_{frp}$  ، به مقدار زیر محدود می گردد .

$$f_{frp} = 0.004 E_{frp} \leq \phi_{frp} f_{frpu} \quad (72-4)$$

در ستونهای دایره ای باید محدودیت های محبوس کنندگی مطرح شده در مقاومسازی فشاری ستون ، کنترل گردد . در مورد ستونهای مستطیلی ، سهم برشی فولاد و FRP از روابط زیر تعیین می شود . سهم بتن همانند حالت قبل محاسبه خواهد شد .

$$V_s = \frac{\phi_s f_{hy} n A_h d}{s} \cot \theta \quad (73a-4) \quad CSA - A23.3 - 94$$

$$V_s = \frac{f_{hy} n A_h d}{s} \cot \theta \quad (73b-4) \quad CSA - S6.88$$

$$V_{frp} = 2 \phi_{frp} f_{frp} N_b t_{frp} d \sin^2 \theta \quad (74-4)$$

with

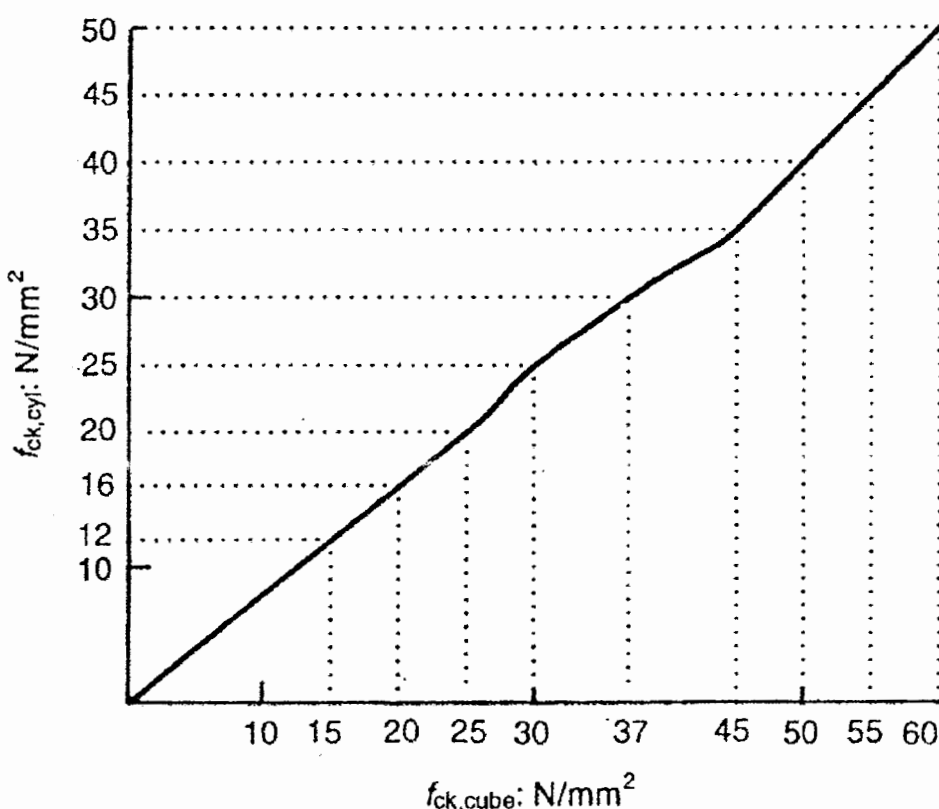
$$f_{frp} = 0.002 E_{frp} \leq \phi_{frp} f_{frpu} \quad (75-4)$$

حدهای مقاومسازی برشی ستونهای دایره ای و مستطیلی همانند تیرها بوده با این تفاوت که در ستونهای دایره ای پارامتر  $A_c$  جایگزین  $b_w d$  می گردد .

## فصل پنجم : مقایسه نتایج آیین نامه ها با نتایج آزمایشگاهی

### ۱-۵ : مقدمه

در این فصل به منظور مقایسه نتایج آیین نامه ها در موارد مختلف (خمش ، برش و فشار) ، چندین نمونه نتایج آزمایشگاهی بدست آمده توسط سایر محققین در مقاومسازی تیرها و ستونها به وسیله مواد FRP ارائه گردیده است . در هر آزمایش در ابتدا با معرفی نمونه های مختلف و نحوه انجام آزمایش ، داده های لازم برای طراحی در جدولی تنظیم شده است . این پارامترها در چند بخش خصوصیات ابعادی المان ، خصوصیات مکانیکی بتن و فولاد و درنهایت خصوصیات مکانیکی و ابعادی FRP ، می باشد . نکته ای که حائز اهمیت است ، آنستکه بعضی از پارامترها تنها در طراحی به کمک یک آیین نامه مورد استفاده قرار می گیرد . از جمله موارد می توان ضرایب ایمنی و همچنین مقاومت مشخصه بتن را نام برد . در مورد مقاومت مشخصه بتن با توجه به اینکه پایه آیین نامه انگلستان براساس BS می باشد ، لازم است که از مقاومت مشخصه مکعبی فشاری بتن به جای مقاومت مشخصه استوانه ای آن استفاده گردد . با توجه به اینکه در آزمایش‌های انجام شده توسط محققان تنها مقدار یکی از این مقاومتها داده می شود ، جهت تبدیل آن به دیگری از شکل ۱-۵ که از مرجع [۷] استخراج گردیده است ، استفاده می شود .



شکل ۱-۵ : رابطه بین مقاومت استوانه ای و مکعبی بتن

در هر آزمایش با توجه به داده های ارائه شده ، نتایج آیین نامه ها توسط نرم افزارهای آورده شده در ضمیمه (ب) که در MATLAB 6.5 نوشته شده است ، محاسبه شده و در جداولی به طور جداگانه ارائه گردیده و در نهایت با نتایج تجربی مقایسه شده است . در هر مثال با توجه به نتایج ، دیاگرامهایی جهت بررسی اثر تغییرات پارامترهای مختلف بر مقاومت المان مربوطه به کمک همین نرم افزارها رسم شده و در ادامه به بررسی و مقایسه این منحنی ها پرداخته شده است .

## ۲-۲: آزمایش‌های مقاومسازی خمشی تیرهای بتن آرمه

### ۱-۲-۵: آزمایش اول مقاومسازی خمشی

در این آزمایش که توسط M.Arduini & A.Nanni [۵] ، انجام شده است ، اثر چندین پارامتر بر نسبت افزایش مقاومت نهایی در مقاومسازی خمشی تیرهای با تکیه گاه ساده بررسی گردیده که هر کدام به طور جداگانه ای در بخش‌های بعدی ارائه شده است .

#### ۱-۱-۱: بخش اول آزمایش

در این قسمت اثر نوع FRP و همچنین ضخامت آن به طور توازن مورد بررسی قرار می گیرد . نمونه های آزمایش شده دارای نسبت  $h/b = 1$  و  $\rho_s = 0.5\rho_{max}$  می باشند . جزئیات لازم برای محاسبه میزان افزایش مقاومت نهایی در جدول ۱-۵ تا ۳-۵ به ترتیب نوع FRP ( E1 تا E3 ) آورده شده است . نحوه بارگذاری نمونه ها به صورت چهار نقطه ای بوده به گونه ای که بتوان در وسط تیر، تنها ممان خالص با مقدار ثابت اعمال نمود . لازم به ذکر است که فاصله هر یک از محل بارها تا انتهای نزدیک لایه FRP نظیرش نسبت به فاصله بار تا تکیه گاه (  $a/p$  ) برابر ۰.۸۵ می باشد.

جدول ۱-۵ : خصوصیات تیر و FRP مربوط به سری E1

پارامترها	E1-1	E1-2	E1-3	E1-4
b (mm)	240	240	240	240
h (mm)	240	240	240	240
d (mm)	190	190	190	190
$b_f$ (mm)	200	200	200	200
$t_f$ (mm)	0.1	0.5	1	2
$N_f$	1	1	1	1
$A_s$ (mm <sup>2</sup> )	308	308	308	308
$f'_c$ (MPa)	30	30	30	30
$f_{cu}$ (MPa)	37	37	37	37
$f_y$ (MPa)	600	600	600	600
$f_{fu}$ (MPa)	2000	2000	2000	2000
$C_E$	0.95	0.95	0.95	0.95
$E_s$ (MPa)	200000	200000	200000	200000
$E_f$ (MPa)	400000	400000	400000	400000
$\gamma_{mF}$	1.96	1.96	1.96	1.96
$\gamma_{mE}$	1.1	1.1	1.1	1.1
$\gamma_f$	1.35	1.35	1.35	1.35
$\phi_f$	0.7	0.7	0.7	0.7

جدول ۲-۵ : خصوصیات تیر و FRP مربوط به سری E2

پارامترها	E2-1	E2-2	E2-3	E2-4
b (mm)	240	240	240	240
h (mm)	240	240	240	240
d (mm)	190	190	190	190
b <sub>f</sub> (mm)	200	200	200	200
t <sub>f</sub> (mm)	0.1	0.5	1	2
N <sub>f</sub>	1	1	1	1
A <sub>s</sub> (mm <sup>2</sup> )	308	308	308	308
f <sub>c</sub> (MPa)	30	30	30	30
f <sub>cu</sub> (MPa)	37	37	37	37
f <sub>y</sub> (MPa)	600	600	600	600
f <sub>fu</sub> (MPa)	2250	2250	2250	2250
C <sub>E</sub>	0.95	0.95	0.95	0.95
E <sub>s</sub> (MPa)	200000	200000	200000	200000
E <sub>f</sub> (MPa)	150000	150000	150000	150000
γ <sub>mF</sub>	1.96	1.96	1.96	1.96
γ <sub>mE</sub>	1.1	1.1	1.1	1.1
γ <sub>f</sub>	1.35	1.35	1.35	1.35
ϕ <sub>f</sub>	0.7	0.7	0.7	0.7

جدول ۳-۵ : خصوصیات تیر و FRP مربوط به سری E3

پارامترها	E3-1	E3-2	E3-3	E3-4
b (mm)	240	240	240	240
h (mm)	240	240	240	240
d (mm)	190	190	190	190
b <sub>f</sub> (mm)	200	200	200	200
t <sub>f</sub> (mm)	0.1	0.5	1	2
N <sub>f</sub>	1	1	1	1
A <sub>s</sub> (mm <sup>2</sup> )	308	308	308	308
f <sub>c</sub> (MPa)	30	30	30	30
f <sub>cu</sub> (MPa)	37	37	37	37
f <sub>y</sub> (MPa)	600	600	600	600
f <sub>fu</sub> (MPa)	1500	1500	1500	1500
C <sub>E</sub>	0.95	0.95	0.95	0.95
E <sub>s</sub> (MPa)	200000	200000	200000	200000
E <sub>f</sub> (MPa)	50000	50000	50000	50000
γ <sub>mF</sub>	1.96	1.96	1.96	1.96
γ <sub>mE</sub>	1.1	1.1	1.1	1.1
γ <sub>f</sub>	1.35	1.35	1.35	1.35
ϕ <sub>f</sub>	0.7	0.7	0.7	0.7

همانطور که در مقدمه اشاره شد ، برنامه هایی جهت سهولت در انجام محاسبات مربوط به آیین نامه ها توسط نرم افزار MATLAB 6.5 نوشته شده است . به کمک این برنامه ها ، مقدار مقاومت نهایی و میزان افزایش آن و نوع گسیختگی برای نمونه های مختلف براساس آیین نامه ها محاسبه شده و در جداولی (جدوال ۴-۵ و ۵-۵) ، در کنار نتایج آزمایشگاهی تنظیم گردیده است .

جدول ۴-۵ : نتایج ممان نهایی مقطع و میزان افزایش آن نسبت به قبل از تقویت برای بخش اول

نمونه ها	M <sub>ur</sub> (kN.m)					M <sub>ur</sub> / M <sub>uo</sub>			
	ACI	BS	FIB	ISIS	Exp.	ACI	BS	FIB	ISIS
E1-1	27.53	30.25	32.05	31.64	1.27	0.95	1.11	1.17	1.20
E1-2	42.46	42.13	45.03	50.76	2	1.46	1.54	1.64	1.93
E1-3	52.81	48.95	48.25	60	2.2	1.81	1.79	1.76	2.28
E1-4	46.28	57.93	56.19	69.87	1.82	1.6	2.12	2.05	2.65
E2-1	35.1	31.17	33.7	30.72	1.46	1.21	1.14	1.23	1.17
E2-2	48.95	38.21	41.44	40.85	2.55	1.68	1.4	1.51	1.55
E2-3	56.37	42.74	44.96	48.04	2	1.938	1.57	1.64	1.83
E2-4	56.17	49.15	46.36	56.34	2	1.931	1.8	1.69	2.14
E3-1	31.56	29.76	29.82	27.96	1.18	1.08	1.09	1.09	1.06
E3-2	38.54	33.93	35.74	33	1.64	1.32	1.24	1.31	1.25
E3-3	44.47	36.69	39	37.44	2.18	1.53	1.34	1.42	1.42
E3-4	52.61	40.59	43.44	43.64	2.18	1.81	1.49	1.59	1.66

جدول ۵-۵ : نتایج مود گسیختگی حاکم برای بخش اول

نمونه ها	Failure Mode				
	Exp.	ACI	BS	FIB	ISIS
E1-1	R	R + Y	R + Y	R + E	R + Y
E1-2	D	R + Y	R + Y	D + E	R + Y
E1-3	D	D + E	D + E	D + E	C + E
E1-4	D	D + E	D + E	D + E	C + E
E2-1	R	R + Y	R + Y	C + Y	C + Y
E2-2	D	C + Y	D + Y	D + Y	C + Y
E2-3	D	C + Y	D + Y	D + E	C + Y
E2-4	D	C + Y	D + E	D + E	C + E
E3-1	C	C + Y	C + Y	C + Y	C + Y
E3-2	C	D + Y	D + Y	D + Y	C + Y
E3-3	C	C + Y	D + Y	D + Y	C + Y
E3-4	D	C + Y	D + Y	D + Y	C + Y

C : خرد شدگی بتن فشاری ( Concrete Crushing )

D : جداشدنی FRP ( FRP Debonding )

R : پارگی FRP ( FRP Rupture )

Y : گسیختگی همراه با به تسلیم رسیدن آرماتورهای فولادی کششی ( Yielding )

E : گسیختگی بدون به تسلیم رسیدن آرماتورهای فولادی کششی ( Elastic )

جهت بررسی و مقایسه بهتر ، دیاگرامهایی در شکل‌های ۴-۵ تا ۴-۷ رسم گردیده است . در این دیاگرامها ، اثر افزایش مقاومت نهایی نسبت به تغییرات ضخامت برای هریک از انواع FRP رسم شده است . لازم به ذکر است که در نتایج تجربی نسبت بار نهایی بررسی شده که البته این نسبت با توجه به خطی بودن رابطه بین مقاومت و بار نهایی ، برابر نسبت مقاومتهای نهایی نیز خواهد بود .

در این دیاگرامها جهت نشان دادن نوع گسیختگی در طول تغییرات ضخامت ، از نمادهایی استفاده شده که توضیح آنها در کنار دیاگرامها آورده شده است . لازم به ذکر است که در تمامی مثالهای ارائه شده ، رنگ سبز مربوط به دیاگرام ACI ، قرمز FIB ، آبی پرنگ BS ، آبی کمرنگ ISIS و مشکی مربوط به نتایج آزمایشگاهی می باشد .

جهت بررسی و مقایسه هرچه بهتر ، دیاگرام و جداولی نیز به منظور بررسی تغییرات ضریب ایمنی نتایج آزمایشگاهی نسبت به نتایج تئوری ارائه گردیده است . اما مشکلی که وجود دارد آنستکه در کلیه آزمایشها این سری ، میزان افزایش مقاومت نهایی مقایسه گردیده است ، نه خود مقاومت نهایی . لذا از تقسیم نتایج تجربی به تئوری در این مرحله ، ضریب ایمنی نسبت به حالت قبل از مقاومسازی بدست خواهد آمد (رابطه (۱-۵)) .

$$\frac{\left(\frac{M_{ur}}{M_{uo}}\right)_{Exp.}}{\left(\frac{M_{ur}}{M_{uo}}\right)_{ACI}} = \frac{\left(\frac{M_{ur}}{M_{uo}}\right)_{Exp.}}{\left(\frac{M_{uo}}{M_{uo}}\right)_{ACI}} = \frac{\left(S.F.\right)_r}{\left(S.F.\right)_o} \Rightarrow \left(S.F.\right)_r = \left(S.F.\right)_o \times \frac{\left(\frac{M_{ur}}{M_{uo}}\right)_{Exp.}}{\left(\frac{M_{ur}}{M_{uo}}\right)_{ACI}} \quad (1-5)$$

برای رفع این مشکل همانطور که در رابطه (۱-۵) دیده می شود ، لازم است که ضریب ایمنی هریک از آیین نامه ها را قبل از مقاومسازی ، در مورد خمینه داشته باشیم تا بتوان با ضرب آن در مقدار ضریب ایمنی نسبی ، ضریب ایمنی حقیقی را در این سری از آزمایشها بدست آوریم . برای این منظور با توجه به نتایج دیگر آزمایشها خمینه ارائه شده در این سمینار ، می توان میانگینی از این ضرایب ایمنی در حالت تیر قبل از مقاومسازی برای هریک از آیین نامه ها بدست آورد . نتایج این عمل در جدول ۶-۵ خلاصه شده است . همانطور که ملاحظه می شود ، آیین نامه ACI دارای کمترین و ISIS دارای بیشترین ضریب ایمنی می باشد . دو آیین نامه FIB و BS نیز دارای ضرایب ایمنی بسیار نزدیک به هم هستند .

جدول ۶-۵ : میانگین و انحراف معیار ضرایب ایمنی ۱۶ تیر در حالت خمینه قبل از مقاومسازی

	<b>ACI</b>	<b>BS</b>	<b>FIB</b>	<b>ISIS</b>
<b>ضریب ایمنی</b>	1.4042	1.4901	1.4892	1.5476
<b>انحراف معیار</b>	0.1970	0.2136	0.2126	0.2247

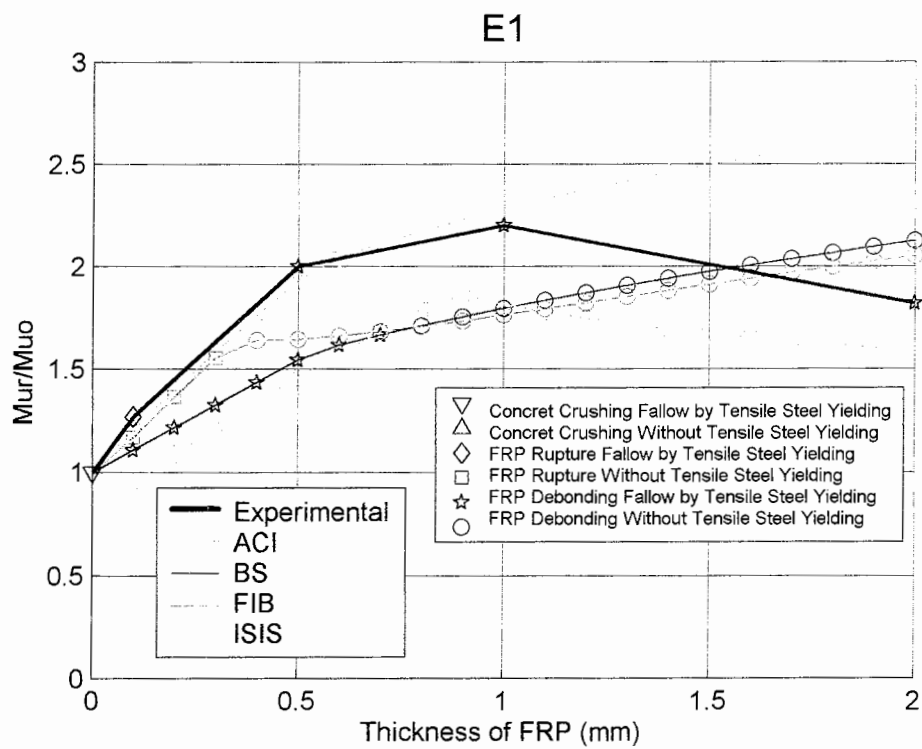
جدول ۷-۵ : ضرایب ایمنی و انحراف معیار آنها به همراه درصد تطابق مود حاکم گسیختگی نسبت به نتایج آزمایشگاهی

		ACI	BS	FIB	ISIS
E1	ضریب ایمنی	1.7792	1.6877	1.6540	1.4494
	انحراف معیار ضرایب ایمنی	0.1311	0.2495	0.2127	0.2295
	درصد تطابق مود حاکم گسیختگی	75	75	100	25
E2	ضریب ایمنی	1.6823	2.0441	1.9653	1.9037
	انحراف معیار ضرایب ایمنی	0.2775	0.3998	0.3180	0.4085
	درصد تطابق مود حاکم گسیختگی	25	100	75	0
E3	ضریب ایمنی	1.7427	2.0471	1.9511	2.0404
	انحراف معیار ضرایب ایمنی	0.1679	0.2975	0.2464	0.2311
	درصد تطابق مود حاکم گسیختگی	75	50	50	75

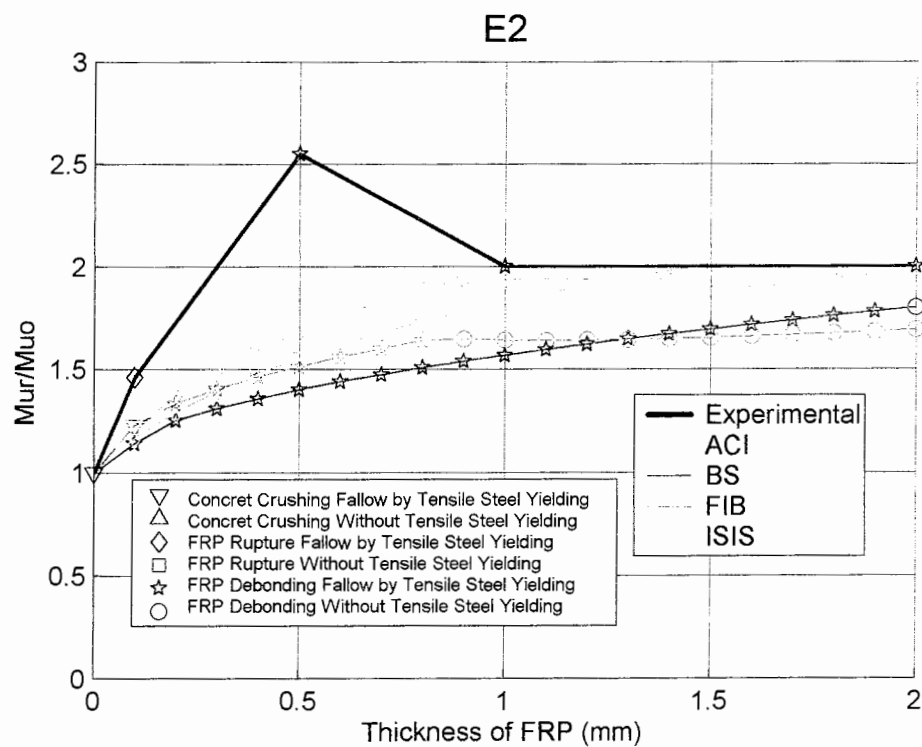
جدول ۸-۵ : میانگین ضرایب ایمنی و انحراف معیار آنها به همراه درصد تطابق مود حاکم گسیختگی نسبت به نتایج آزمایشگاهی برای تمامی سری نمونه های E1 ، E2 و E3

کل نمونه های E1 ، E2 و E3	ACI	BS	FIB	ISIS
ضریب ایمنی	1.7337	1.9263	1.8568	1.7979
انحراف معیار ضرایب ایمنی	0.1311	0.2495	0.2127	0.2295
درصد تطابق مود حاکم گسیختگی	75	75	100	25

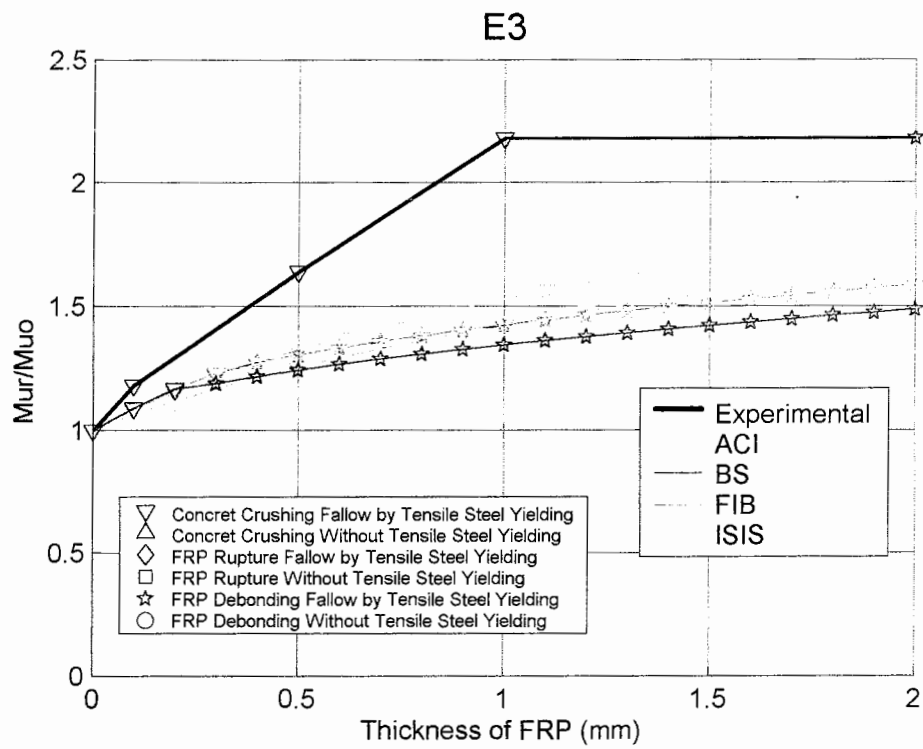
نکته ای که در مورد انحراف معیار و میانگین ضرایب ایمنی لازم به ذکر است آنستکه با داشتن میانگین و انحراف معیار و تعداد نمونه های مورد نظر از هر سری نتایج ، می توان در نهایت میانگین و انحراف معیار کل را براساس روابط ارائه شده در ضمیمه (ج) ، محاسبه نمود . این روابط در جدول ۸-۵ و بسیاری از جداول دیگر مورد استفاده قرار گرفته است .



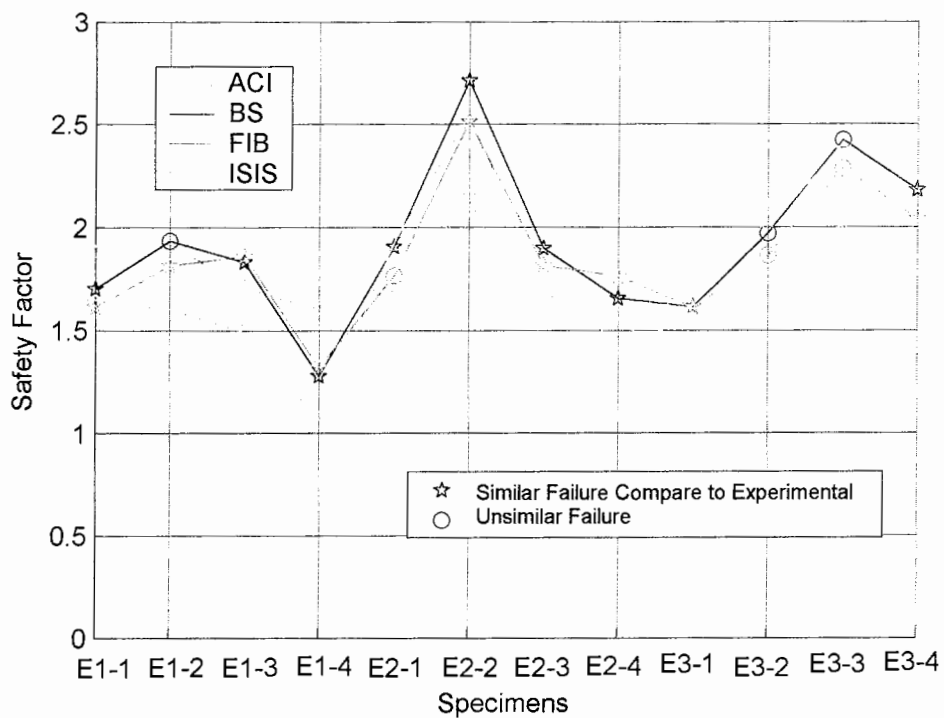
شکل ۲-۵ : افزایش نسبی مقاومت نهایی برای نمونه های مختلف تقویت شده با FRP از نوع E1



شکل ۳-۵ : افزایش نسبی مقاومت نهایی برای نمونه های مختلف تقویت شده با FRP از نوع E2



شکل ۴-۵ : افزایش نسبی مقاومت نهایی برای نمونه های مختلف تقویت شده با FRP از نوع E3



شکل ۵ : تغییرات ضرایب ایمنی برای نمونه های تقویت شده با FRP از نوع E1 ، E2 و E3

بررسیها و نتایج بدست آمده از این بخش :

همانطور که در دیاگرامها مشاهده می شود ، در نتایج آزمایشگاهی ، افزایش ضخامت FRP خمی بسته به نوع FRP موجب بالاتر رفتن مقاومت نهایی مقطع می گردد . این روند در نتایج بدست آمده از آین نامه ها نیز صادق می باشد ، با این تفاوت که در آین نامه ACI بعد از رسیدن ضخامت FRP به یک حد خاص ، همانند نتایج عملی ، روند کاهشی مقاومت بروز می نماید در حالیکه دیگر آین نامه ها هرچند با درصدی کم به روند افزایشی خود در اثر افزایش ضخامت FRP ادامه می دهند .

همانطور که در سه دیاگرام E1 ، E2 و E3 مشاهده می شود ، با کاهش سختی FRP ، میزان تطابق نتایج آین نامه ها با نتایج عملی کمتر می شود . به عبارت دیگر می توان اینگونه نتیجه گرفت که هرچه سختی FRP کاسته می شود ، نتایج آین نامه ها در رابطه با اثر تغییرات ضخامت FRP بر مقاومت نهایی ، تطابق کمتری با نتایج عملی خواهد داشت . این موضوع در مورد ضرایب آیمنی نیز به جز در دیاگرام E2 از آین نامه ACI ، صادق می باشد . این مطلب در جدول ۷-۵ مشاهده می شود . البته دقت شود که در آین نامه FIB و BS ، ضریب آیمنی در دو دیاگرام E2 و E3 تقریبا ثابت مانده است .

در دیاگرام E1 ، نتایج عملی به گونه ای است که مقاومت نهایی با افزایش ضخامت FRP تا حد 1 mm رشد داشته و با افزایش آن بیشتر از این حد ، روند کاهشی را در پیش گرفته است . اما دیاگرام ACI اینگونه است که در ابتدا با افزایش ضخامت FRP تا حد 0.1mm ، روند کاهشی از خود نشان می دهد . دلیل این امر را می توان در نحوه محاسبات موجود در آین نامه ACI جستجو کرد . همانطور که در فصول قبل مربوط به ACI ملاحظه گردید ، مقاومت نهایی خمی با ضرب ضریب کاهش مقاومت ،  $\phi$  ، در مقاومت اسمی محاسبه می گردد . در این آین نامه مقدار  $\phi$  با توجه به کرنش موجود در فولاد در لحظه گسیختگی تیر بین مقادیر 0.7 تا 0.9 متغیر می باشد . در صورتی که کرنش فولاد بیشتر از 0.005 باشد ، برابر 0.9 و در صورتی که از کرنش تسلیم کمتر گردد ، برابر 0.7 بوده و بینابین این مقادیر به صورت خطی تغییر می کند . حال نکته ای که مدنظر می باشد آنستکه قبل از نصب FRP به واسطه آنکه نوع گسیختگی ناشی از خردشدن بتن می باشد ، فولاد قابلیت این را پیدا می کند که به کرنشی بیشتر از 0.005 دست یابد . اما بعد از نصب FRP هایی که دارای کرنش گسیختگی کمی هستند ، باعث می شود قبل از اینکه بتن فشاری بتواند به کرنش نهایی خود (0.003) دست یابد ، کرنش در FRP به حد نهایی خود رسیده و در نتیجه گسیختگی حاکم ، پاره شدن FRP گردد . حال به دلیل کم بودن کرنش گسیختگی FRP ، به تبع آن کرنش در فولاد نیز کمتر از حالت قبل شده و نتیجتاً مقدار  $\phi$  نیز کاهش می یابد و در نهایت مقدار مقاومت نهایی بعد از مقاومسازی نسبت به قبل از مقاومسازی کمتر می شود . اما در صورتی که کرنش گسیختگی FRP بیشتر از یک حد خاص گردد که اجازه دهد کرنش در فولاد بیشتر از 0.005 شود ، مقدار  $\phi$  در دو حالت یکسان بوده و کاهشی در مقاومت نهایی نخواهیم داشت . البته این نکته حائز اهمیت است که در این موارد که کاهش مشاهده می شود ، در واقع بعد از پاره شدن

FRP ، تیر مانند حالت قبل از تقویت عمل کرده و ظرفیت آن برابر حالت اولیه می گردد تا اینکه بتن فشاری خرد شود . نتیجتا براساس ACI در مواردی که سختی FRP بالاست (کرنش گسیختگی آن کم است ) ، تا هنگامی که ضخامت FRP به حدی نرسد که اثر افزایشی آن در مقاومت نهايی بر اثر کاهشي اعمال شده از طريق ضريب  $\phi$  برتری يابد ، استفاده از FRP هیچ تأثيری در ظرفیت نهايی مقطع نخواهد داشت .

در ابتدای دو دیاگرام E2 و E3 برای آیین نامه ACI مشاهده می شود که نوع گسیختگی از پارگی FRP در E2 به خردشگی بتن در E3 تغيير می يابد ؛ دليل اين امر نيز به واسطه کرنش گسیختگی FRP می باشد ، چراكه با افزایش کرنش گسیختگی FRP ، کرنش بتن قابلیت رسیدن به کرنش ماکزیمم خود قبل از رسیدن FRP به کرنش گسیختگی را پیدا نموده و گسیختگی بتن قبل از پارگی FRP رخ می دهد . همچنین دليل اينکه بعد از مدتی ، گسیختگی حاكم مخصوصا در دیاگرام E2 به خردشگی بتن تبدیل می گردد ، آنستکه با افزایش ضخامت FRP ، عمق تار خنثی افزایش می يابد به طوری که کرنش بتن فشاری قابلیت رسیدن به مقدار ماکزیمم خود را قبل از رسیدن FRP به کرنش گسیختگیش پیدا می نماید .

اما ادامه روند افزایشی دیاگرام ACI تا حدی است که ضريب  $K_m$  وارد عمل شده و کرنش مؤثر در FRP را محدود می نماید . تغييرات اين ضريب با تغييرات ضخامت FRP نسبت عکس داشته و موجب می گردد که با افزایش ضخامت ، مقاومت نهايی نيز کاهش يابد . در نتایج آزمایشگاهی نيز اين اثر مشاهده شده و ACI از اين لحاظ ، تطابق خوبی با نتایج عملی دارد . البته اثر جداشdagی همانطور که در نتایج عملی نيز دیده می شود با کاهش سختی FRP ، در ضخامتهاي بيشتری بروز خواهد کرد . در ACI نيز با توجه به اينکه  $K_m$  با افزایش سختی نسبت عکس دارد ، اين اثر در دو دیاگرام E2 و E3 به چشم می خورد .

نکته ديگر دیاگرام ACI ، اثر تغييرات ضخامت FRP در مودهای حاكم گسیختگی می باشد . همانطور که در دیاگرام E1 مشاهده می گردد ، در ابتدا گسیختگی حاكم پاره شدن FRP همراه با تسلیم شدن فولاد کششی می باشد و با افزایش ضخامت FRP تا حد 0.6 mm دیگر آرماتور داخلی به تسلیم نمی رسد و نهايata در 0.9 mm ، مود حاكم ، جداشdagی FRP بدون تسلیم شدن فولادهای داخلی می گردد . از لحاظ تطابق مود حاكم گسیختگی با نتایج عملی می توان گفت که تنها در محدوده کمی اين موضوع نقص ترده است . در اين مورد همانطور که در جدول ۷-۵ دیده می شود ، مقدار تطابق مود حاكم گسیختگی برای نمونه E1 برابر 75% می باشد .

نکته اي که لازم به تذکر است آنستکه نوع گسیختگی ناشی از نتایج عملی ، تسلیم شدن يا نشدن فولاد را بررسی نکرده و در حد سه حالت خرد شدن بتن ، پارگی FRP و جداشdagی FRP تقسیم بندی می شود .

در دیاگرامهای ISIS در شکلهای ۴-۵ تا ۲-۵ همانطور که انتظار می رود ، اثر جداشdagی لحاظ نشده و لذا با افزایش ضخامت FRP ، مقاومت نهايی مقطع نيز افزایش می يابد . در دیاگرام E1 همانطور که مشاهده می شود ، تا ضخامت 1 mm برای FRP ، تطابق بسيار خوبی با نتایج عملی

وجود دارد . اما این مسئله تا هنگامی است که جداسدگی اثر خود را در نتایج عملی اعمال می کند . بعد از این مرحله ، ISIS به روند افزایشی خود ادامه داده ، حال آنکه نتایج عملی چیزی غیر از این می باشد . در این دیاگرام نیز به دلیل کم بودن کرنش گسیختگی FRP و یا به عبارتی بالا بودن سختی FRP ، مود حاکم گسیختگی در ابتدا پارگی FRP بوده و بعد از آنکه عمق تارخنی به حدی رسید که کرنش بتن فشاری قابلیت رسیدن به کرنش نهایی خود را پیدا کند ، مود حاکم به سمت خردشده‌گی بتن تغییر جهت می دهد . اما روند افزایش عمق تارخنی باعث کاهش کرنش در فولاد شده به حدی که کرنش در فولاد کششی در دیاگرام E1 بعد از ضخامت 0.7 mm و در دیاگرام E2 بعد از ضخامت 1.7 mm از مقدار تسلیمش نیز کمتر می گردد .

همانطور که گفته شد ، با کاهش سختی FRP ، نتایج عملی به سمتی می رود که دیگر اثر جداسدگی تأثیر کمتری داشته و لذا نتایج آیین نامه ها فاصله بیشتری نسبت به نتایج عملی پیدا کرده و در حاشیه اینمی بیشتری قرار می گیرند . این امر به وضوح به ترتیب در روند دیاگرامهای E1 و E2 و E3 مشاهده می گردد . این اثر، با دقت در جدول ۵-۷ نیز تأیید می شود .

با دقت در دیاگرامها می توان مشاهده کرد که دو آیین نامه FIB و BS در بیشتر موارد نزدیک به هم حرکت کرده و نتایج مشابه ای را از خود نشان می دهند . این امر را می توان ناشی از شبیه بودن روابط مربوط به طراحی شان ، خصوصا در مبحث جداسدگی دانست . تفاوت بارز این دو آیین نامه ، علی الخصوص در دیاگرامهای E1 و E2 ، رسیدن نتایج به مرز عدم تسلیم شدگی فولاد کششی می باشد . قبل از رسیدن به این نقطه از ضخامت FRP و قوع این پدیده ، معمولا FIB دارای نتایج بزرگتری نسبت به BS می باشد . نکته دیگر مربوط به این آیین نامه ها در این است که در اغلب نتایج ، مود حاکم گسیختگی از همان ابتدا ، جداسدگی می باشد و با توجه به اینکه این نوع مود گسیختگی در نتایج تجربی درصد حاکمیت بیشتری را دارد ، تطابق مود گسیختگی و BS نسبت به نتایج عملی بسیار بالاتر از ACI و ISIS است ؛ اما همانطور که در جدول ۵-۵ ملاحظه می گردد ، در E3 نوع FRP کم بوده و پدیده جداسدگی کمتر رخ می دهد ، این موضوع بر عکس شده است و میزان تطابق ACI و ISIS از لحاظ مود گسیختگی بیشتر گردیده است .

با توجه به جدول ۸-۵ و شکل ۵-۵ ، موضوع نهایی و نتیجه گیری کلی را که می توان گرفت آستکه ACI با ضریب اینمی ۱.73 و انحراف معیار ۰.۲۰۵۷ ، نزدیکترین نتیجه را داشته در حالیکه BS با ضریب اینمی ۱.۹۳ ، محافظه کارانه ترین نتایج را ارائه می دهد . از لحاظ مود گسیختگی نیز FIB و هم تراز بوده و بدنبال آن به ترتیب ACI و ISIS قرار دارند .

## ۲-۱-۵ : بخش دوم آزمایش

در این قسمت به بررسی اثر تغییرات ابعادی خود تیر بتن آرمه و به تبع آن عرض لایه FRP و همچنین مقاومت فشاری بتن بر روی میزان افزایش مقاومت نهایی پرداخته می شود . در این آزمایش ، از FRP نوع دوم ، E2 ، استفاده شده و برای سه حالت  $h/b = 1$  ،  $h/b = 0.5$  و  $h/b = 0.25$  کششی از رابطه  $\rho_s = 0.5 \rho_{max}$  ، تبعیت می کند . مقدار  $\rho_{max}$  براساس ACI 318-89 بدست می آید که برابر است با  $0.75 \rho_b$  . در این بخش از آزمایش ، مقدار مقاومت مشخصه فشاری استوانه ای بتن بین 20 تا 30 MPa تغییر می کند . همانند بخش اول آزمایش ، جداول داده ها و نتایج به صورت زیر آرائه می گردد .

جدول ۹-۵ : خصوصیات تیر و FRP مربوط به سری اول ( $h/b = 1$ )

پارامترها	E2-1-1		E2-1-2		E2-1-3		E2-1-4	
	20	30	20	30	20	30	20	30
b (mm)	240	240	240	240	240	240	240	240
h (mm)	240	240	240	240	240	240	240	240
d (mm)	190	190	190	190	190	190	190	190
b <sub>f</sub> (mm)	200	200	200	200	200	200	200	200
t <sub>f</sub> (mm)	0.1	0.5	1	2				
n <sub>f</sub>	1	1	1	1				
A <sub>s</sub> (mm <sup>2</sup> )	206	308	206	308	206	308	206	308
f' <sub>c</sub> (MPa)	20	30	20	30	20	30	20	30
f <sub>cu</sub> (MPa)	25	37	25	37	25	37	25	37
f <sub>y</sub> (MPa)	600	600	600	600				
f <sub>fu</sub> (MPa)	2250	2250	2250	2250				
C <sub>E</sub>	0.95	0.95	0.95	0.95				
E <sub>s</sub> (MPa)	200000	200000	200000	200000				
E <sub>f</sub> (MPa)	150000	150000	150000	150000				
γ <sub>mF</sub>	1.96	1.96	1.96	1.96				
γ <sub>mE</sub>	1.1	1.1	1.1	1.1				
γ <sub>f</sub>	1.35	1.35	1.35	1.35				
ϕ <sub>f</sub>	0.7	0.7	0.7	0.7				

جدول ۱۰-۵ : خصوصیات تیر و FRP مربوط به سری اول ( $h/b = 0.5$ )

پارامترها	E2-2-1		E2-2-2		E2-2-3	
	20	30	20	30	20	30
b (mm)	480	480	480	480	480	480
h (mm)	240	240	240	240	240	240
d (mm)	190	190	190	190	190	190
$b_f$ (mm)	400	400	400	400	400	400
$t_f$ (mm)	0.1	0.5	0.5	0.5	1	1
$n_f$	1	1	1	1	1	1
$A_s$ (mm <sup>2</sup> )	411	617	411	617	411	617
$f_c$ (MPa)	20	30	20	30	20	30
$f_{cu}$ (MPa)	25	37	25	37	25	37
$f_y$ (MPa)	600	600	600	600	600	600
$f_{fu}$ (MPa)	2250	2250	2250	2250	2250	2250
$C_E$	0.95	0.95	0.95	0.95	0.95	0.95
$E_s$ (MPa)	200000	200000	200000	200000	200000	200000
$E_f$ (MPa)	150000	150000	150000	150000	150000	150000
$\gamma_{mF}$	1.96	1.96	1.96	1.96	1.96	1.96
$\gamma_{mE}$	1.1	1.1	1.1	1.1	1.1	1.1
$\gamma_f$	1.35	1.35	1.35	1.35	1.35	1.35
$\phi_f$	0.7	0.7	0.7	0.7	0.7	0.7

جدول ۱۱-۵ : خصوصیات تیر و FRP مربوط به سری اول ( $h/b = 4$ )

پارامترها	E2-3-1		E2-3-2		E2-3-3	
	20	30	20	30	20	30
b (mm)	60	60	60	60	60	60
h (mm)	240	240	240	240	240	240
d (mm)	190	190	190	190	190	190
$b_f$ (mm)	50	50	50	50	50	50
$t_f$ (mm)	0.1	0.5	0.5	0.5	1	1
$n_f$	1	1	1	1	1	1
$A_s$ (mm <sup>2</sup> )	51.4	77.2	51.4	77.2	51.4	77.2
$f_c$ (MPa)	20	30	20	30	20	30
$f_{cu}$ (MPa)	25	37	25	37	25	37
$f_y$ (MPa)	600	600	600	600	600	600
$f_{fu}$ (MPa)	2250	2250	2250	2250	2250	2250
$C_E$	0.95	0.95	0.95	0.95	0.95	0.95
$E_s$ (MPa)	200000	200000	200000	200000	200000	200000
$E_f$ (MPa)	150000	150000	150000	150000	150000	150000
$\gamma_{mF}$	1.96	1.96	1.96	1.96	1.96	1.96
$\gamma_{mE}$	1.1	1.1	1.1	1.1	1.1	1.1
$\gamma_f$	1.35	1.35	1.35	1.35	1.35	1.35
$\phi_f$	0.7	0.7	0.7	0.7	0.7	0.7

جدول ۱۲-۵ : نتایج ممان نهایی مقطع و میزان افزایش آن نسبت به قبل از تقویت برای بخش اول

نمونه ها			$M_{ur}$ (kN.m)				$M_{ur} / M_{uo}$				
$h/b$	$f_c$	نام	ACI	BS	FIB	ISIS	Exp.	ACI	BS	FIB	ISIS
1	20	E2-1-1-20	25.26	22.16	24.06	21.94	1.58	1.3	1.21	1.31	1.24
		E2-1-2-20	36.17	27.86	30.42	30.55	2.15	1.86	1.52	1.66	1.73
		E2-1-3-20	37.52	31.84	32.01	36.14	1.84	1.93	1.74	1.75	2.05
		E2-1-4-20	39.73	37.46	34.9	42.17	1.84	2.04	2.05	1.91	2.39
	30	E2-1-1-30	35.1	31.17	33.7	30.72	1.46	1.21	1.14	1.23	1.17
		E2-1-2-30	48.95	38.21	41.44	40.85	2.55	1.68	1.4	1.51	1.55
		E2-1-3-30	56.37	42.74	44.96	48.04	2	1.938	1.57	1.64	1.83
		E2-1-4-30	56.17	49.15	46.36	56.34	2	1.931	1.8	1.69	2.14
0.5	20	E2-2-1-20	50.45	44.24	48.06	43.84	1.54	1.3	1.21	1.32	1.25
		E2-2-2-20	72.31	55.65	60.77	61.07	1.7	1.86	1.53	1.66	1.73
		E2-2-3-20	75.06	63.6	63.98	77.26	1.7	1.93	1.74	1.75	2.05
	30	E2-2-1-30	70.3	62.42	67.44	61.51	1.3	1.21	1.14	1.23	1.17
		E2-2-2-30	97.9	76.5	82.94	81.74	1.6	1.68	1.4	1.51	1.55
		E2-2-3-30	112.7	85.56	90	96.11	1.8	1.93	1.57	1.64	1.82
4	20	E2-3-1-20	6.31	5.53	6	5.48	1.33	1.3	1.21	1.31	1.25
		E2-3-2-20	9.04	7.15	7.84	7.63	1.5	1.86	1.57	1.72	1.73
		E2-3-3-20	9.4	8.22	8.53	9.03	1.5	1.93	1.8	1.87	2.05
	30	E2-3-1-30	8.79	7.81	8.43	7.7	1.22	1.2	1.14	1.22	1.17
		E2-3-2-30	12.25	9.79	10.66	10.22	1.44	1.68	1.43	1.55	1.55
		E2-3-3-30	14.1	11	12	12.01	1.55	1.93	1.61	1.75	1.82

جدول ۱۳-۵ : نتایج مود گسیختگی حاکم برای بخش دوم

نمونه ها			$M_{ur} / M_{uo}$				
$h/b$	$f_c$	نام	Exp.	ACI	BS	FIB	ISIS
1	20	E2-1-1-20	R	C + Y	R + Y	C + Y	C + Y
		E2-1-2-20	D	C + Y	D + Y	D + Y	C + Y
		E2-1-3-20	D	C + Y	D + Y	D + E	C + Y
		E2-1-4-20	D	C + E	D + E	D + E	C + E
	30	E2-1-1-30	R	R + Y	R + Y	C + Y	C + Y
		E2-1-2-30	D	C + Y	D + Y	D + Y	C + Y
		E2-1-3-30	D	C + Y	D + Y	D + E	C + Y
		E2-1-4-30	D	C + Y	D + E	D + E	C + E
0.5	20	E2-2-1-20	C	C + Y	R + Y	C + Y	C + Y
		E2-2-2-20	C	C + Y	D + Y	D + Y	C + Y
		E2-2-3-20	D	C + Y	D + Y	D + E	C + Y
	30	E2-2-1-30	C	R + Y	R + Y	C + Y	C + Y
		E2-2-2-30	C	C + Y	D + Y	D + Y	C + Y
		E2-2-3-30	C	C + Y	D + Y	D + E	C + Y

4	20	E2-3-1-20	C	C + Y	R + Y	C + Y	C + Y
		E2-3-2-20	C	C + Y	D + Y	D + Y	C + Y
		E2-3-3-20	D	C + Y	D + Y	D + E	C + Y
	30	E2-3-1-30	R	R + Y	R + Y	C + Y	C + Y
		E2-3-2-30	R	C + Y	D + Y	D + Y	C + Y
		E2-3-3-30	D	C + Y	D + Y	D + E	C + Y

C : خرد شدگی بتن فشاری ( Concrete Crushing )

D : جداشدنی FRP ( FRP Debonding )

R : پارگی FRP ( FRP Rupture )

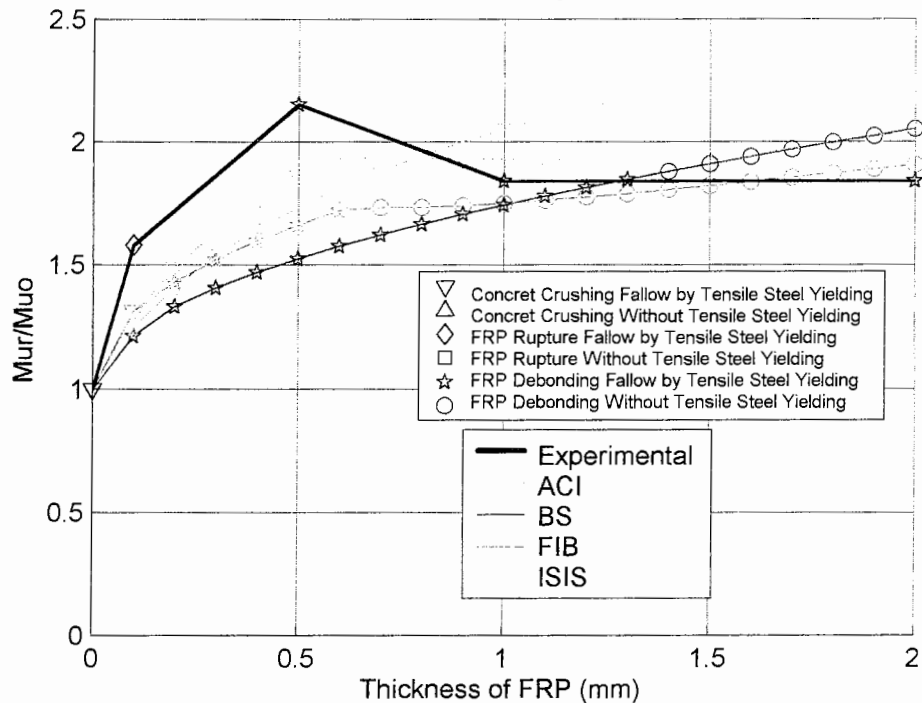
Y : گسیختگی همراه با به تسلیم رسیدن آرماتورهای فولادی کششی ( Yielding )

E : گسیختگی بدون به تسلیم رسیدن آرماتورهای فولادی کششی ( Elastic )

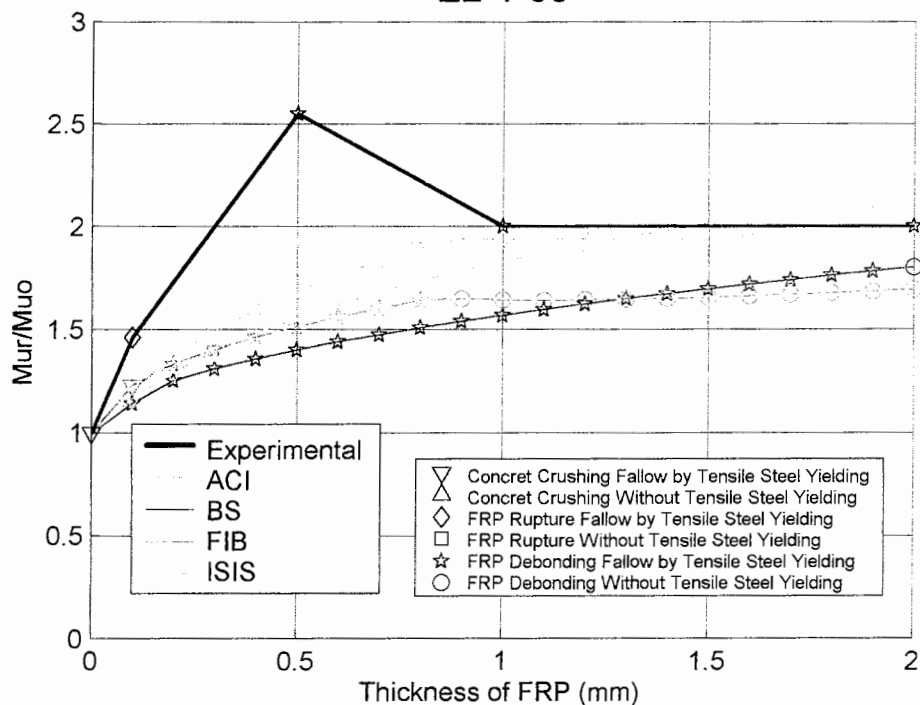
جدول ۱۴-۵ : ضرایب ایمنی و انحراف معیار آنها به همراه درصد تطابق مود حاکم گسیختگی  
نسبت به نتایج آزمایشگاهی

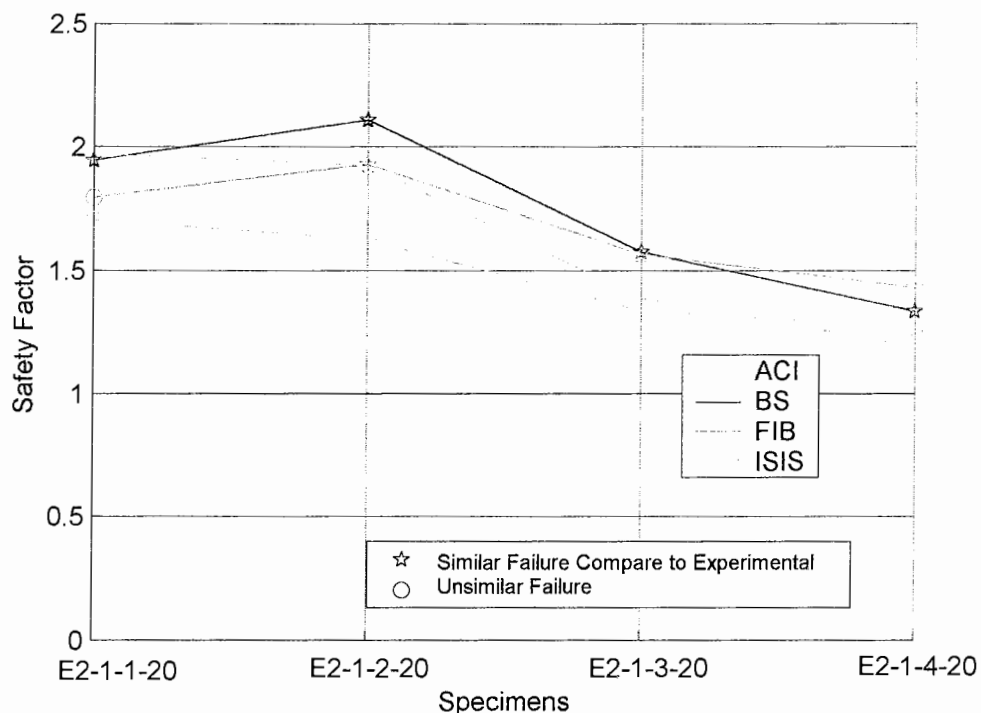
نمونه ها			ACI	BS	FIB	ISIS
<i>h/b</i>	سری نمونه ها	پارامتر				
1	E2-1-20	ضریب ایمنی	1.4838	1.7417	1.6813	1.6189
		انحراف معیار	0.1853	0.3027	0.1928	0.3365
		درصد تطابق گسیختگی	0	100	75	0
	E2-1-30	ضریب ایمنی	1.6823	2.0441	1.9653	1.9037
		انحراف معیار	0.2775	0.3998	0.3180	0.4085
		درصد تطابق گسیختگی	25	100	75	0
0.5	E2-2-20	ضریب ایمنی	1.3964	1.6693	1.5697	1.5703
		انحراف معیار	0.1911	0.1802	0.1228	0.2568
		درصد تطابق گسیختگی	66.67	33.33	66.67	66.67
	E2-2-30	ضریب ایمنی	1.3852	1.7035	1.5955	1.6159
		انحراف معیار	0.088	0.0038	0.0276	0.0782
		درصد تطابق گسیختگی	66.67	0	33.33	100
4	E2-3-20	ضریب ایمنی	1.2201	1.4344	1.3351	1.3736
		انحراف معیار	0.154	0.1619	0.1321	0.2111
		درصد تطابق گسیختگی	66.67	33.33	66.67	66.67
	E2-3-30	ضریب ایمنی	1.253	1.5099	1.3972	1.4565
		انحراف معیار	0.1273	0.0657	0.0702	0.1215
		درصد تطابق گسیختگی	33.33	66.67	33.33	0

E2-1-20

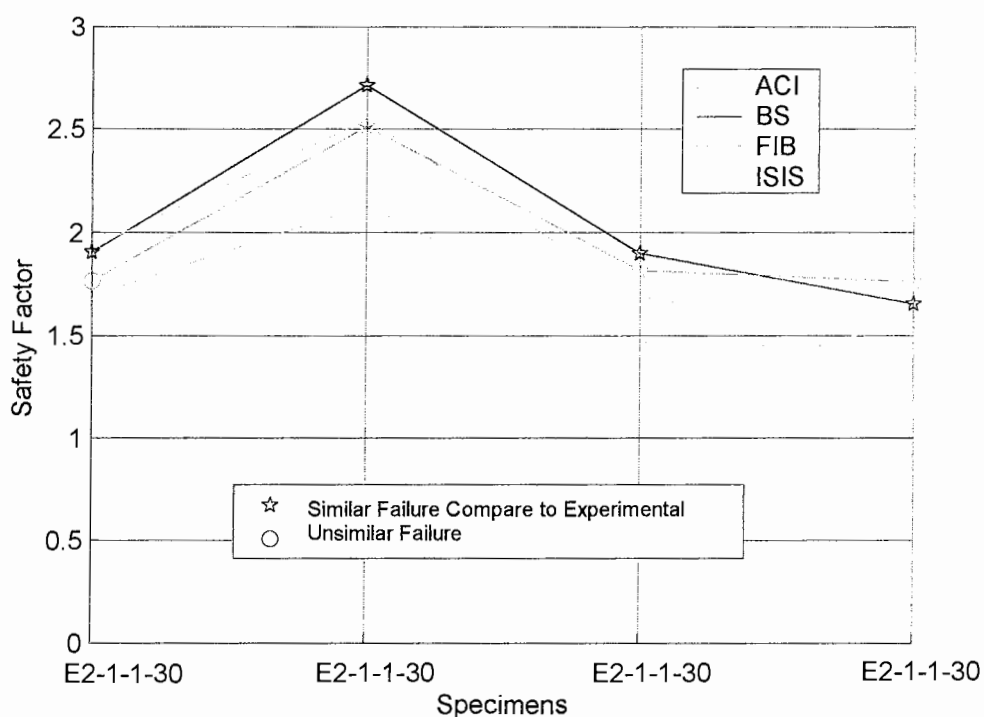
شکل ۶-۵: افزایش نسبی مقاومت نهایی برای سری نمونه های با  $f_c = 20 \text{ MPa}$  و  $h/b = 1$ 

E2-1-30

شکل ۷-۵: افزایش نسبی مقاومت نهایی برای سری نمونه های با  $f_c = 30 \text{ MPa}$  و  $h/b = 1$

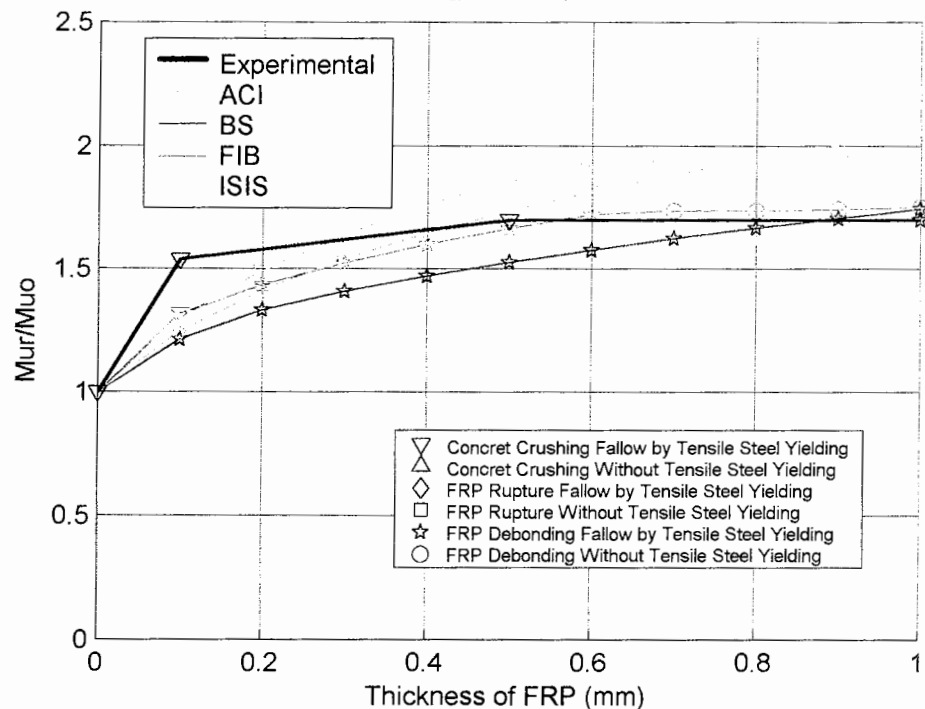


شکل ۸-۵ : تغییرات ضرایب ایمنی برای سری نمونه های با  $f'_c = 20 \text{ MPa}$  و  $h/b = 1$

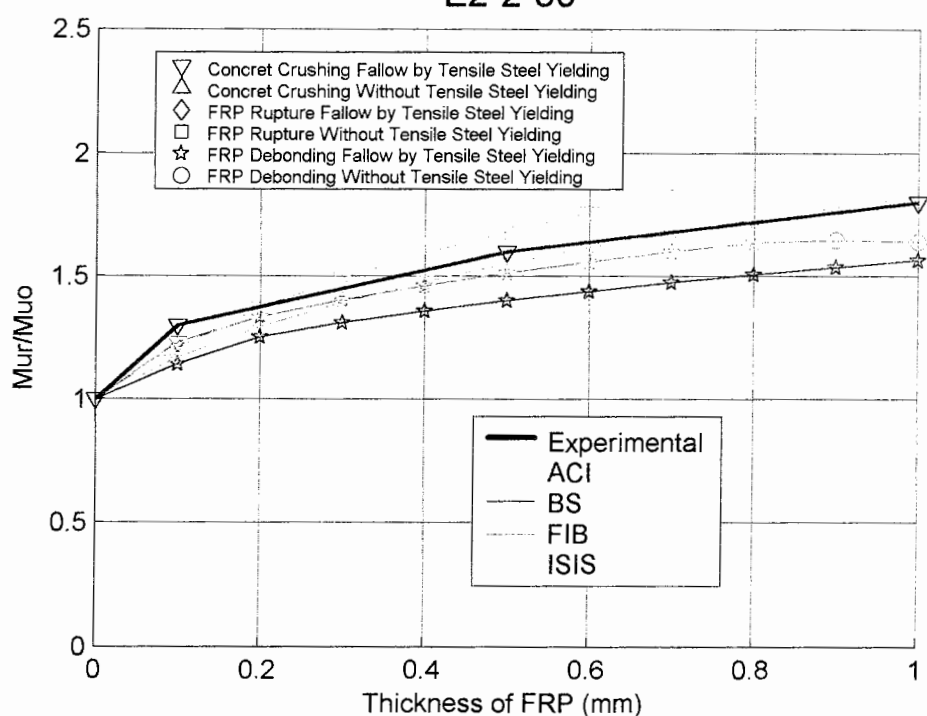


شکل ۹-۵ : تغییرات ضرایب ایمنی برای سری نمونه های با  $f'_c = 30 \text{ MPa}$  و  $h/b = 1$

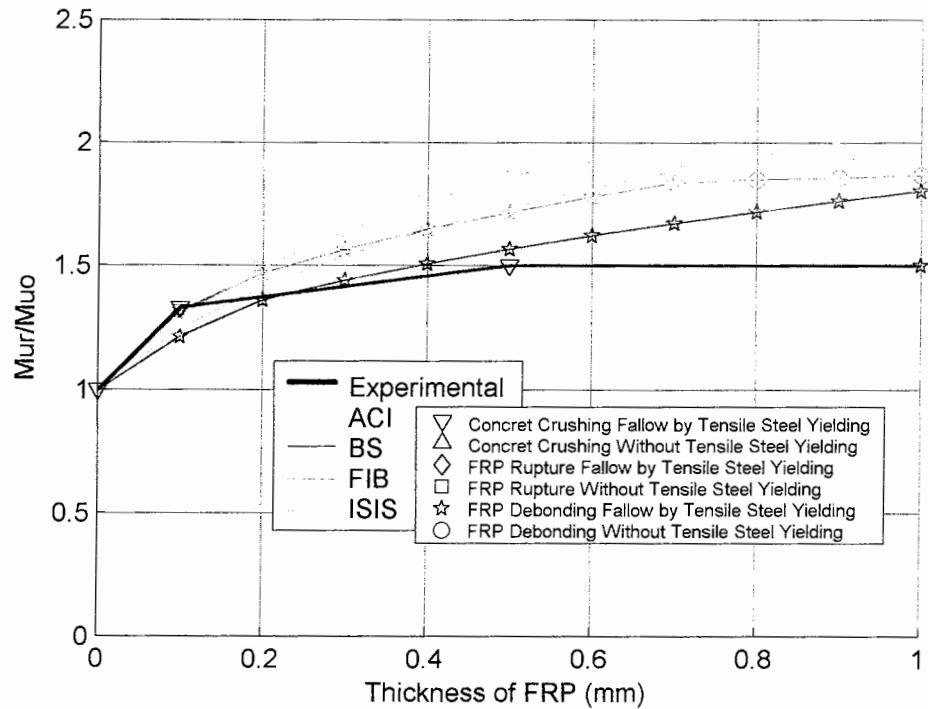
E2-2-20

شکل ۱۰-۵ : افزایش نسبی مقاومت نهایی برای سری نمونه های با  $f'_c = 20 \text{ MPa}$  و  $h/b = 0.5$ 

E2-2-30

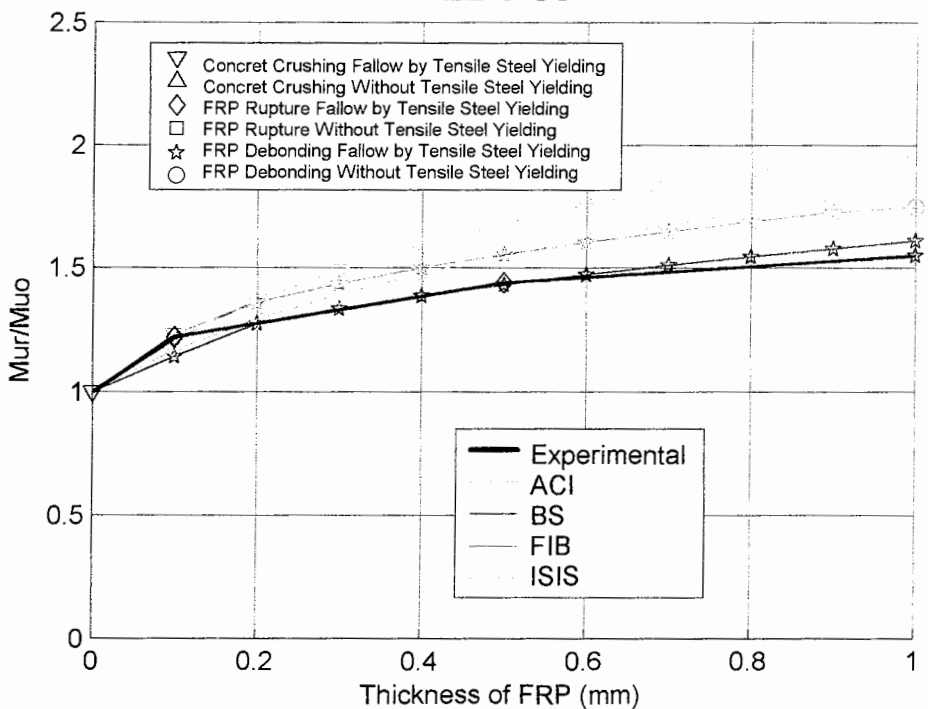
شکل ۱۱-۵ : افزایش نسبی مقاومت نهایی برای سری نمونه های با  $f'_c = 30 \text{ MPa}$  و  $h/b = 0.5$

E2-3-20

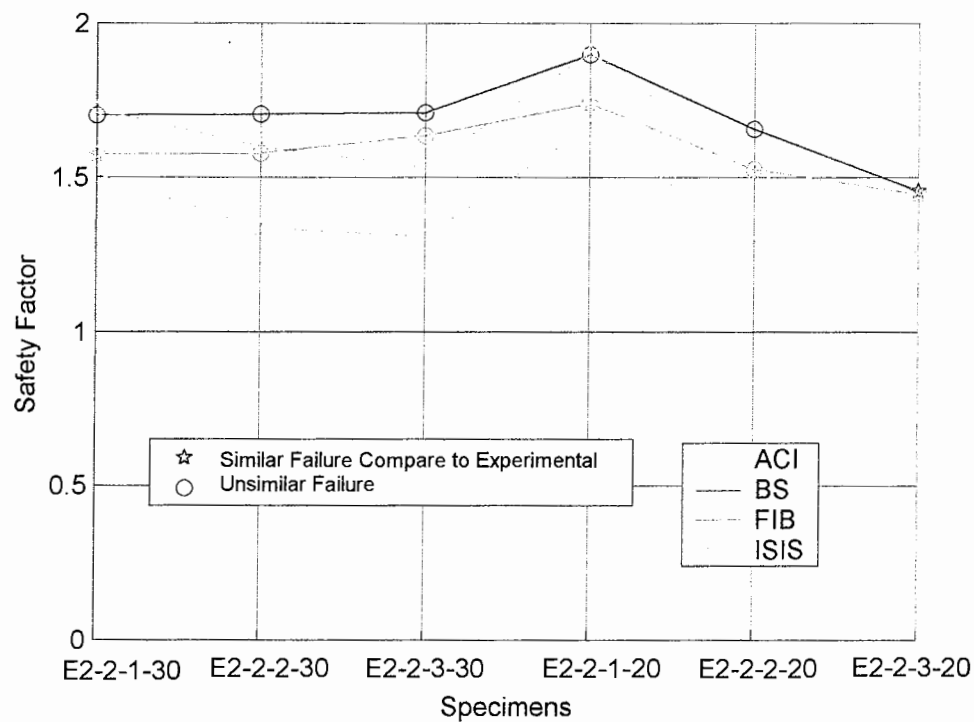


شکل ۱۲-۵ : افزایش نسبی مقاومت نهایی برای سری نمونه های با  $f_c = 20 \text{ MPa}$  و  $h/b = 4$

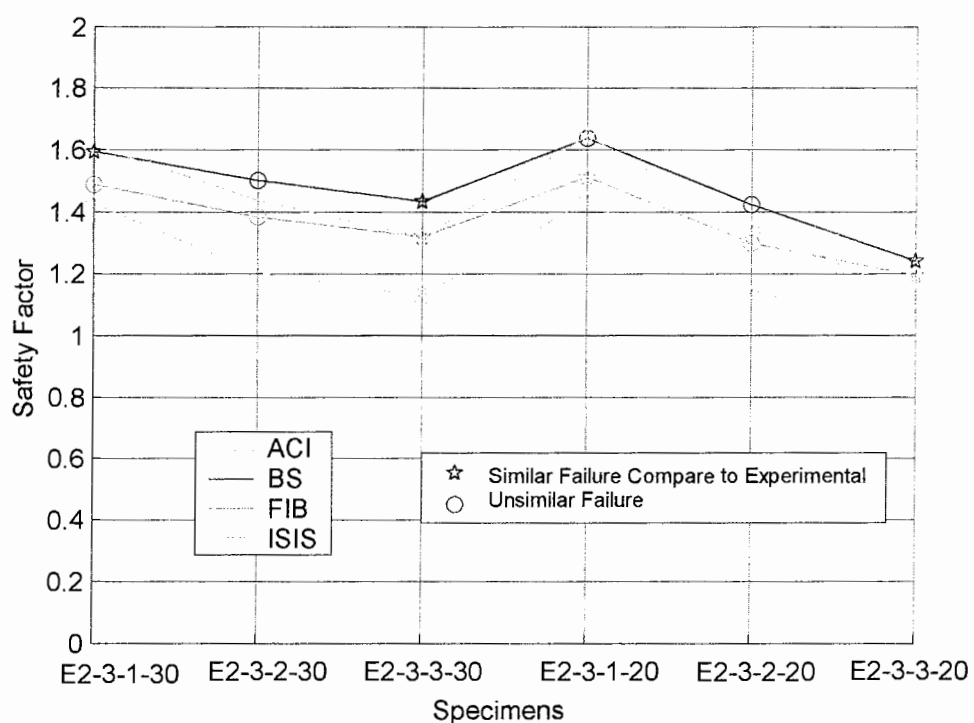
E2-3-30



شکل ۱۳-۵ : افزایش نسبی مقاومت نهایی برای سری نمونه های با  $f_c = 30 \text{ MPa}$  و  $h/b = 4$



شکل ۱۴-۵ : تغییرات ضرایب ایمنی برای سری نمونه های با  $h/b = 0.5$



شکل ۱۵-۵ : تغییرات ضرایب ایمنی برای سری نمونه های با  $h/b = 4$

بررسیها و نتایج بدست آمده از این بخش :

با دقت در نتایج محاسبه شده از آیین نامه ها در جداول ۱۲-۵ و ۱۳-۵ و همچنین دیاگرامهای نشان داده شده ، اثر تغییرات ضخامت بر میزان افزایش مقاومت نهایی برای سه حالت  $h/b = 0.5$  (E2-3) ،  $h/b = 1$  (E2-1) و  $h/b = 4$  (E2-2) ، ثابت بوده و بدون تغییر باقی مانده است . مقدار مقاومتهای نهایی نیز برای هر کدام به این نسبتها افزایش یافته اند به طوری که برای  $h/b = 0.5$  ، مقدار مقاومت نهایی نصف حالت  $h/b = 1$  بوده و برای  $h/b = 4$  ، چهار برابر حالت  $h/b = 1$  است ؛ لذا می توان نتیجه گرفت که اثر افزایش ابعادی کل اجزاء تیر به یک نسبت خاص (به جز ارتفاع تیر و ضخامت FRP) ، تأثیری در اثر تغییرات ضخامت FRP بر میزان افزایش مقاومت نهایی نخواهد گذاشت . اما نتایج عملی چیزی غیر از این را نشان می دهد . به این صورت که در  $h/b = 4$  و  $h/b = 0.5$  ، این اثر کمتر می گردد به گونه ای که ضریب ایمنی در E2-1 بزرگتر از E2-2 ، بزرگتر از E2-3 می باشد .

نکته ای که در مقایسه بین دو دسته دیاگرام با مقاومت بتن فشاری مختلف به چشم می خورد ، آنستکه با افزایش مقاومت فشاری ، اثر تغییرات ضخامت FRP بر نتایج میزان افزایش مقاومت نهایی حاصل از آیین نامه ها کمی کاسته می گردد . این در حالی است که در نتایج عملی به طور تقریبی در دو حالت آخر (E2-2 و E2-3) از ضخامت ۰.۷mm و در حالت اول از ضخامت ۰.۳ mm به بعد ، بر عکس این رفتار را شاهد هستیم ؛ لذا می توان گفت همه آیین نامه ها در این مورد بخصوص در روابط طراحی خود دارای کاستی و نقص هستند .

در مورد رفتار ضریب ایمنی نسبت به تغییرات مقاومت فشاری بتن براساس جدول ۱۴-۵ ، می توان گفت که با افزایش مقاومت ، تقریبا در هر سه حالت ، رشد ضریب ایمنی را شاهد هستیم به گونه ای که نتایج محافظه کارانه تر می گردد . در نهایت با دقت در این جدول می توان گفت که همانند قبل ، ACI کمترین ضریب ایمنی و BS بیشترین ضریب ایمنی را دارد . اما از لحاظ تطابق گسیختگی همانند قسمت قبل ، FIB و BS همتراز بوده و بدنبال آن به ترتیب ACI و ISIS قرار دارد .

### ۳-۱-۲-۵ : بخش سوم آزمایش

در این قسمت مراحل دقیقا همانند بخش اول بوده با این تفاوت که نوع بارگذاری به جای چهار نقطه ای به صورت یکپارچه اعمال می گردد و همچنین نسبت  $h/b$  برابر ۳ می باشد . همانند بخشهای قبلی می توان جداول و دیاگرامها را به صورت زیر نشان داد . لازم به ذکر است که از لحاظ تئوری با توجه به ظرفیت مناسب برشی تیر ، نحوه بارگذاری تأثیری در میزان افزایش مقاومت نهایی نخواهد گذاشت . نکته مهم دیگر آنستکه در نتایج تجربی ، نسبت بار نهایی بررسی شده است ، اما با توجه به خطی بودن رابطه بین مقاومت نهایی و بار نهایی ( $M_u = q_u \cdot L^2 / 8$ ) نسبت مقاومت های نهایی برابر نسبت بارهای نهایی خواهد بود .

جدول ۱۵-۵ : خصوصیات تیر و FRP مربوط به سری U-E1

پارامترها	E1-1-U	E1-2-U	E1-3-U	E1-4-U
b (mm)	80	80	80	80
h (mm)	240	240	240	240
d (mm)	190	190	190	190
b <sub>f</sub> (mm)	65	65	65	65
t <sub>f</sub> (mm)	0.1	0.5	1	2
n <sub>f</sub>	1	1	1	1
A <sub>s</sub> (mm <sup>2</sup> )	103	103	103	103
f' <sub>c</sub> (MPa)	30	30	30	30
f <sub>cu</sub> (MPa)	37	37	37	37
f <sub>y</sub> (MPa)	600	600	600	600
f <sub>fu</sub> (MPa)	2000	2000	2000	2000
C <sub>E</sub>	0.95	0.95	0.95	0.95
E <sub>s</sub> (MPa)	200000	200000	200000	200000
E <sub>f</sub> (MPa)	400000	400000	400000	400000
γ <sub>mF</sub>	1.96	1.96	1.96	1.96
γ <sub>mE</sub>	1.1	1.1	1.1	1.1
γ <sub>f</sub>	1.35	1.35	1.35	1.35
ϕ <sub>f</sub>	0.7	0.7	0.7	0.7

جدول ۱۶-۵ : خصوصیات تیر و FRP مربوط به سری E2-U

پارامترها	E2-1-U	E2-2-U	E2-3-U	E2-4-U
b (mm)	80	80	80	80
h (mm)	240	240	240	240
d (mm)	190	190	190	190
b <sub>f</sub> (mm)	65	65	65	65
t <sub>f</sub> (mm)	0.1	0.5	1	2
n <sub>f</sub>	1	1	1	1
A <sub>s</sub> (mm <sup>2</sup> )	103	103	103	103
f'c (MPa)	30	30	30	30
f <sub>cu</sub> (MPa)	37	37	37	37
f <sub>y</sub> (MPa)	600	600	600	600
f <sub>fu</sub> (MPa)	2250	2250	2250	2250
C <sub>E</sub>	0.95	0.95	0.95	0.95
E <sub>s</sub> (MPa)	200000	200000	200000	200000
E <sub>f</sub> (MPa)	150000	150000	150000	150000
γ <sub>mF</sub>	1.96	1.96	1.96	1.96
γ <sub>mE</sub>	1.1	1.1	1.1	1.1
γ <sub>f</sub>	1.35	1.35	1.35	1.35
ϕ <sub>f</sub>	0.7	0.7	0.7	0.7

جدول ۱۷-۵ : خصوصیات تیر و FRP مربوط به سری E3-U

پارامترها	E3-1-U	E3-2-U	E3-3-U	E3-4-U
b (mm)	80	80	80	80
h (mm)	240	240	240	240
d (mm)	190	190	190	190
b <sub>f</sub> (mm)	65	65	65	65
t <sub>f</sub> (mm)	0.1	0.5	1	2
n <sub>f</sub>	1	1	1	1
A <sub>s</sub> (mm <sup>2</sup> )	308	308	308	308
f'c (MPa)	30	30	30	30
f <sub>cu</sub> (MPa)	37	37	37	37
f <sub>y</sub> (MPa)	600	600	600	600
f <sub>fu</sub> (MPa)	1500	1500	1500	1500
C <sub>E</sub>	0.95	0.95	0.95	0.95
E <sub>s</sub> (MPa)	200000	200000	200000	200000
E <sub>f</sub> (MPa)	50000	50000	50000	50000
γ <sub>mF</sub>	1.96	1.96	1.96	1.96
γ <sub>mE</sub>	1.1	1.1	1.1	1.1
γ <sub>f</sub>	1.35	1.35	1.35	1.35
ϕ <sub>f</sub>	0.7	0.7	0.7	0.7

جدول ۱۸-۵ : نتایج ممان نهایی مقطع و میزان افزایش آن نسبت به قبل از تقویت برای بخش سوم

نمونه ها	M <sub>ur</sub> (kN.m)				M <sub>ur</sub> / M <sub>uo</sub>				
	ACI	BS	FIB	ISIS	Exp.	ACI	BS	FIB	ISIS
E1-1-U	9.16	10.08	10.66	10.53	1.04	0.94	1.1	1.16	1.19
E1-2-U	14.03	13.94	15.76	16.75	1.4	1.44	1.53	1.72	1.9
E1-3-U	17.39	16.66	16.86	19.9	1.55	1.79	1.82	1.84	2.26
E1-4-U	15.18	19.8	19.57	23.16	1.4	1.56	2.17	2.14	2.63
E2-1-U	11.68	10.38	11.21	10.23	1.04	1.2	1.14	1.22	1.16
E2-2-U	16.23	12.93	14.06	13.55	1.47	1.67	1.42	1.53	1.54
E2-3-U	18.8	14.5	15.73	15.92	1.82	1.93	1.59	1.72	1.81
E2-4-U	18.72	16.73	16.21	18.7	1.63	1.92	1.83	1.77	2.12
E3-1-U	10.53	9.92	9.94	9.33	1	1.08	1.08	1.08	1.06
E3-2-U	12.81	11.43	12.07	10.97	1.29	1.31	1.25	1.32	1.25
E3-3-U	14.75	12.4	13.2	12.43	1.55	1.52	1.36	1.44	1.41
E3-4-U	17.44	13.75	14.8	14.47	2	1.79	1.51	1.61	1.65

جدول ۱۹-۵ : نتایج مود گسیختگی حاکم برای بخش سوم

نمونه ها	Failure Mode				
	Exp.	ACI	BS	FIB	ISIS
E1-1-U	R	R + Y	R + Y	R + E	R + Y
E1-2-U	R	R + Y	R + Y	D + E	R + Y
E1-3-U	D	D + E	D + E	D + E	C + E
E1-4-U	D	D + E	D + E	D + E	C + E
E2-1-U	R	R + Y	R + Y	C + Y	C + Y
E2-2-U	R	C + Y	D + Y	D + Y	C + Y
E2-3-U	D	C + Y	D + Y	D + E	C + Y
E2-4-U	D	C + Y	D + Y	D + E	C + Y
E3-1-U	C	C + Y	C + Y	C + Y	C + Y
E3-2-U	D	C + Y	D + Y	D + Y	C + Y
E3-3-U	D	C + Y	D + Y	D + Y	C + Y
E3-4-U	D	C + Y	D + Y	D + Y	C + Y

C : خرد شدگی بتن فشاری ( Concrete Crushing )

D : جداشده‌گی ( FRP Debonding ) ( FRP )

R : پارگی ( FRP Rupture ) ( FRP )

Y : گسیختگی همراه با به تسلیم رسیدن آرماتورهای فولادی کششی ( Yielding )

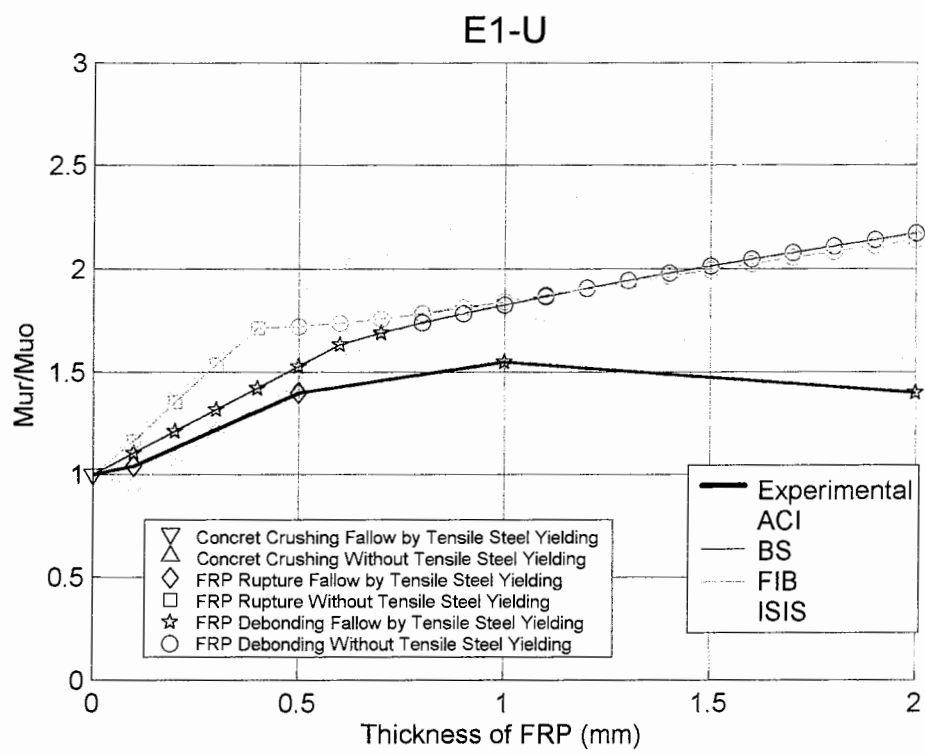
E : گسیختگی بدون به تسلیم رسیدن آرماتورهای فولادی کششی ( Elastic )

جدول ۲۰-۵ : ضرایب ایمنی و انحراف معیار آنها به همراه درصد تطابق مود حاکم گسیختگی  
نسبت به نتایج آزمایشگاهی در حالت بارگذاری گسترده

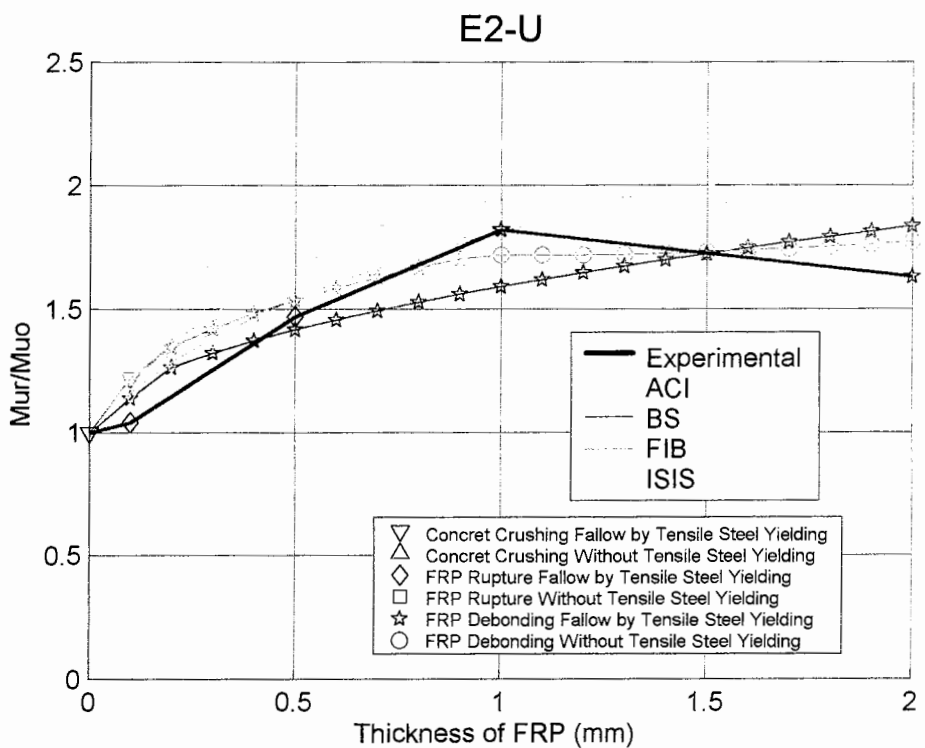
		ACI	BS	FIB	ISIS
E1-U	ضریب ایمنی	1.3487	1.2507	1.194	1.0945
	انحراف معیار ضرایب ایمنی	0.1301	0.1745	0.1344	0.1891
	درصد تطابق مود حاکم گسیختگی	100	100	75	50
E2-U	ضریب ایمنی	1.2423	1.4837	1.4119	1.4027
	انحراف معیار ضرایب ایمنی	0.0498	0.1522	0.1108	0.1366
	درصد تطابق مود حاکم گسیختگی	25	75	50	0
E3-U	ضریب ایمنی	1.421	1.6474	1.5718	1.6586
	انحراف معیار ضرایب ایمنی	0.0975	0.2195	0.1797	0.1519
	درصد تطابق مود حاکم گسیختگی	25	100	100	25

جدول ۲۱-۵ : میانگین ضرایب ایمنی و انحراف معیار آنها به همراه درصد تطابق مود حاکم  
گسیختگی نسبت به نتایج آزمایشگاهی برای تمامی سری نمونه های E1-U , E2-U و E3-U

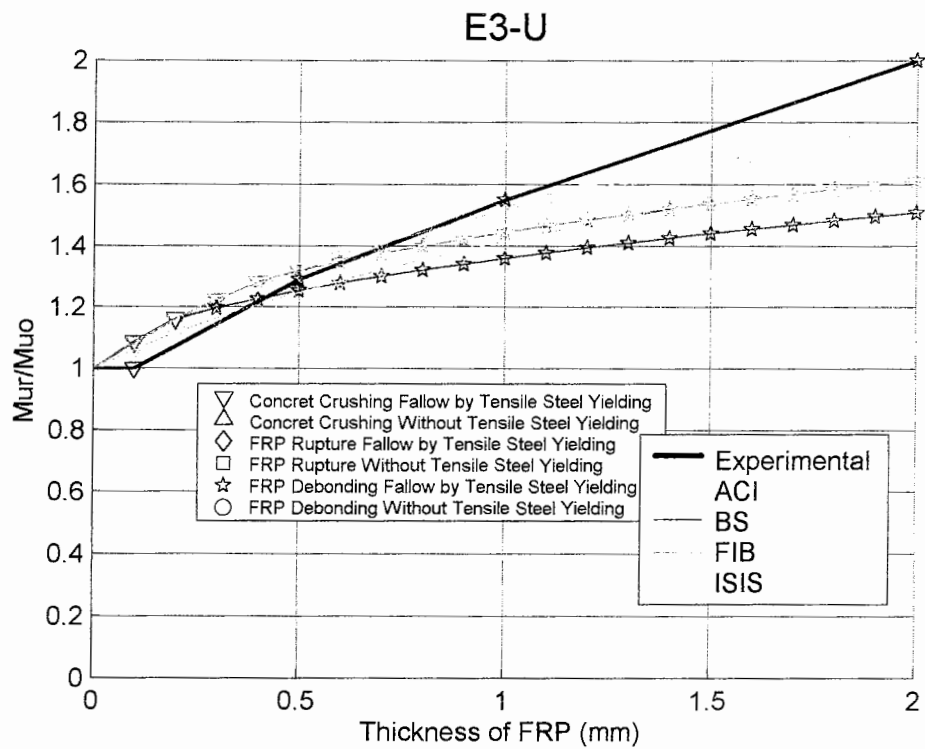
کل نمونه های E3-U و E2-U ، E1-U	ACI	BS	FIB	ISIS
ضریب ایمنی	1.3373	1.4606	1.3926	1.3853
انحراف معیار ضرایب ایمنی	0.1226	0.2458	0.2118	0.2811
درصد تطابق مود حاکم گسیختگی	50	91.67	75	25



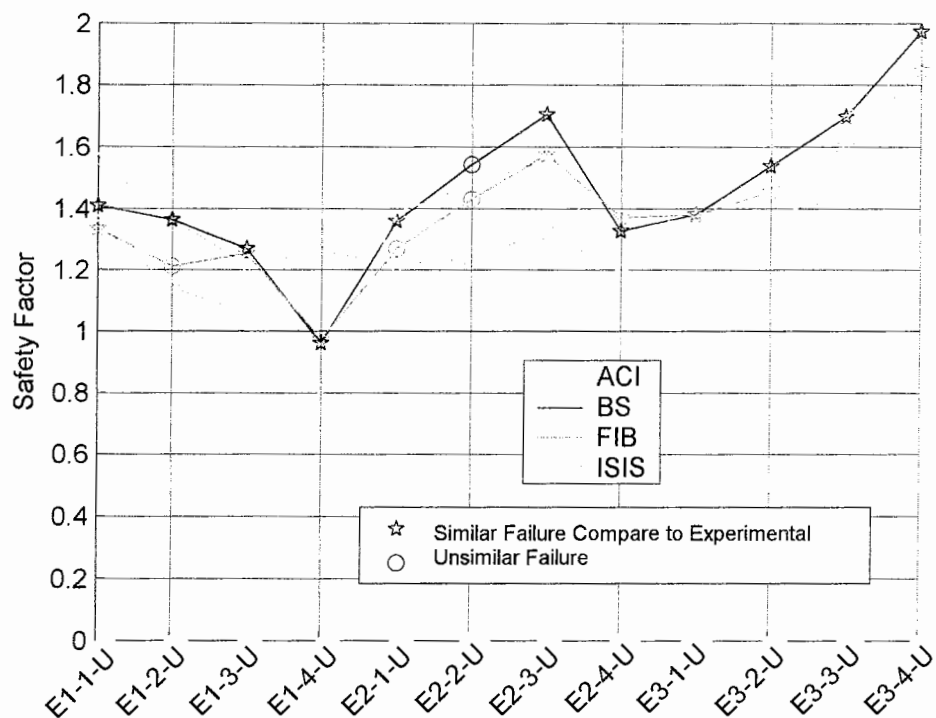
شکل ۱۶-۵ : افزایش نسبی مقاومت نهایی برای نمونه های مختلف تقویت شده با از نوع E1  
در حالت بارگذاری گسترده



شکل ۱۷-۵ : افزایش نسبی مقاومت نهایی برای نمونه های مختلف تقویت شده با از نوع E2  
در حالت بارگذاری گسترده



شکل ۱۸-۵ : افزایش نسبی مقاومت نهایی برای نمونه های مختلف تقویت شده با FRP از نوع E3 در حالت بارگذاری گسترده



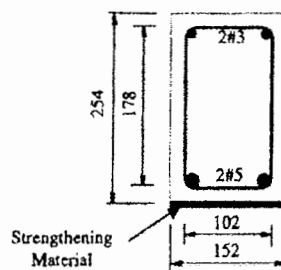
شکل ۱۹-۵ : تغییرات ضرایب ایمنی برای نمونه های مختلف تقویت شده با FRP از نوع E1 ، E2 و E3 در حالت بارگذاری گسترده

### بررسیها و نتایج بدست آمده از این بخش:

در این بخش به دلیل آنکه نسبت ابعادی تأثیر بسیار کمی در روند محاسبه آیین نامه ای برای پارامتر میزان افزایش مقاومت نهايی می گذارد و بدليل آنکه نحوه بارگذاري در محاسبه میزان مقاومت نهايی از لحاظ تئوري تأثیرگذار نیست ، نتایج تئوري در هر سه حالت E1 ، E2 و E3 تقریبا همانند بخش اول آزمایش خواهد بود . اما در نتایج تجربی تأثیر زیادی نسبت به نحوه بارگذاري و همچنین افزایش نسبت  $h/b$  مشاهده می گردد . نحوه تغییرات ضریب ایمنی نیز همانند بخش اول می باشد به گونه ای که به جز ACI در مورد نمونه های با FRP نوع 2 ، ضرایب ایمنی با کاهش سختی FRP ، افزایش می یابد . در این بخش نیز ضریب ایمنی ACI به همراه انحراف معیار آن ، کمترین مقدار را داشته در حالی که BS محافظه کارانه ترین نتایج را ارائه می دهد . از لحاظ تطابق مود گسیختگی حاکم نیز ، ترتیب همانند قبل بوده با این تفاوت که BS درصد بیشتری نسبت به FIB پیدا کرده است . نکته کلی که در بیشتر نمودارهای FIB مشاهده می شود ، تغییر شیب از یک ضخامت به بعد می باشد . علت آن را می توان در روابط طراحی این آیین نامه جستجو کرد . براساس روابط ارائه شده در فصول قبل می توان دید که با افزایش عمق تارخنی که خود ناشی از افزایش ضخامت و یا عوامل دیگری است ، کرنش بتن فشاری افزایش می یابد . حال با توجه به ضوابط مربوط به  $\psi$  و  $\delta_G$  در روابط FIB که وابسته به کرنش بتن است ، از مقدار کرنش 0.002 به بعد برای بتن فشاری ، ضابطه محاسبه این دو متغیر ، فرق کرده و لذا اثر خود را در منحنی FIB به صورت دیاگرامهای ارائه شده ، نشان می دهد .

## ۲-۲-۵ : آزمایش دوم مقاومسازی خمسي

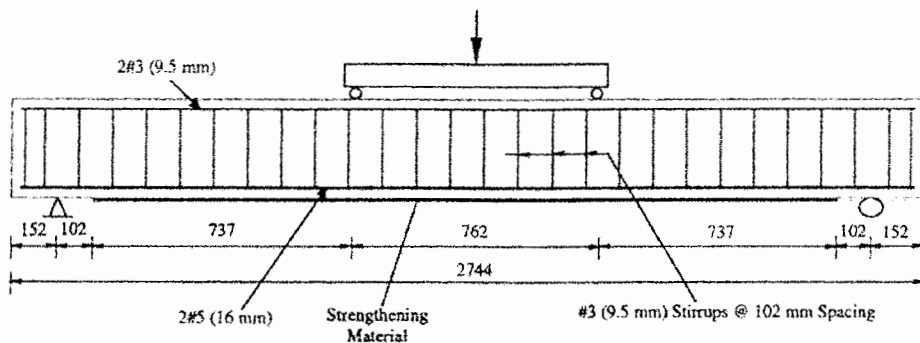
این آزمایش توسط N. F. Grace [۱۶] ، انجام شده است . در این آزمایش یکسری تیرهای بتنی با ابعاد ثابت نشان داده شده در شکل ۲۰-۵ توسط لایه های مختلف CFRP با ضخامتها و تعداد لایه های متفاوت به صورت خمسي تقویت شده اند . نحوه آرماتوربندی و بارگذاری نیز در شکل ۲۱-۵ دیده می شود . پارامترها و داده های لازم جهت طراحی در جدول ۲۲-۵ ارائه گردیده است .



شکل ۲۰-۵ : نمایش ابعاد و نحوه تقویت خمسي نمونه ها

جدول ۲۲-۵ : خصوصیات تیر و FRP در نمونه ها

پارامترها	Control Beam	C-1	C-2	C-3
b (mm)	152	152	152	152
h (mm)	254	254	254	254
d (mm)	216	216	216	216
d' (mm)	38	38	38	38
b <sub>f</sub> (mm)	---	152	152	152
t <sub>f</sub> (mm)	---	0.13	1.9	1.3
n <sub>f</sub>	---	1	1	2
A <sub>s</sub> (mm <sup>2</sup> )	400	400	400	400
A' <sub>s</sub> (mm <sup>2</sup> )	142	142	142	142
f <sub>c</sub> (MPa)	55.2	55.2	55.2	55.2
f <sub>cu</sub> (MPa)	65.2	65.2	65.2	65.2
f <sub>y</sub> (MPa)	415	415	415	415
f <sub>fu</sub> (MPa)	---	340	1310	2800
C <sub>E</sub>	---	0.95	0.95	0.95
E <sub>s</sub> (MPa)	200000	200000	200000	200000
E <sub>f</sub> (MPa)	---	28333	93571	200000
γ <sub>mF</sub>	---	1.96	1.96	1.54
γ <sub>mE</sub>	---	1.1	1.1	1.1
γ <sub>f</sub>	---	1.35	1.35	1.2
ϕ <sub>f</sub>	---	0.75	0.75	0.75



شکل ۲۱-۵ : نحوه آرماتوربندی و بارگذاری نمونه ها

براساس نتایج آزمایشگاهی ارائه شده در این آزمایش و همچنین محاسبات انجام شده توسط نرم افزار ، مقدار مقاومت خمشی نهایی مقطع و همچنین نوع شکست در جدول ۲۳-۵ ۲۳-۵ گردآوری شده است . جهت نمایش بهتر این نتایج ، از دیاگرام شکل ۲۲-۵ استفاده می گردد . همچنین جهت مقایسه بهتر آیین نامه ها ، ضریب ایمنی نتیجه شده از نسبت مقادیر آزمایشگاهی به مقادیر تئوری در دیاگرامی به صورت شکل ۲۳-۵ آورده شده است . علاوه جدولی از میانگین ضرایب ایمنی و انحراف معیار آنها برای هر یک از آیین نامه ها محاسبه شده و ارائه گردیده است . در این آزمایش با توجه به داده های هر یک از نمونه ها که توسط سه نوع CFRP تقویت شده اند ، اثر تغییرات ضخامت بر مقاومت نهایی در دیاگرامهای شکل ۲۴-۵ تا ۲۶-۵ رسم شده است .

جدول ۲۳-۵ : نتایج مقاومت نهایی و مود گسیختگی حاکم برای نمونه ها

نمونه ها	M <sub>ur</sub> (kN.m)					Failure Mode				
	Exp.	ACI	BS	FIB	ISIS	Exp.	ACI	BS	FIB	ISIS
Control	40.15	30.57	28.84	29	27.88	C + Y	C + Y	C + Y	C + Y	C + Y
C-1	42.75	31.55	29.5	29.74	29	R + Y	R + Y	R + Y	R + Y	R + Y
C-2	55.62	64.66	46.44	51.43	60.3	Shear	C + Y	D + Y	D + Y	C + Y
C-3	56.38	53.7	58.95	65.26	79.7	D + Y	D + Y	D + Y	D + E	C + Y

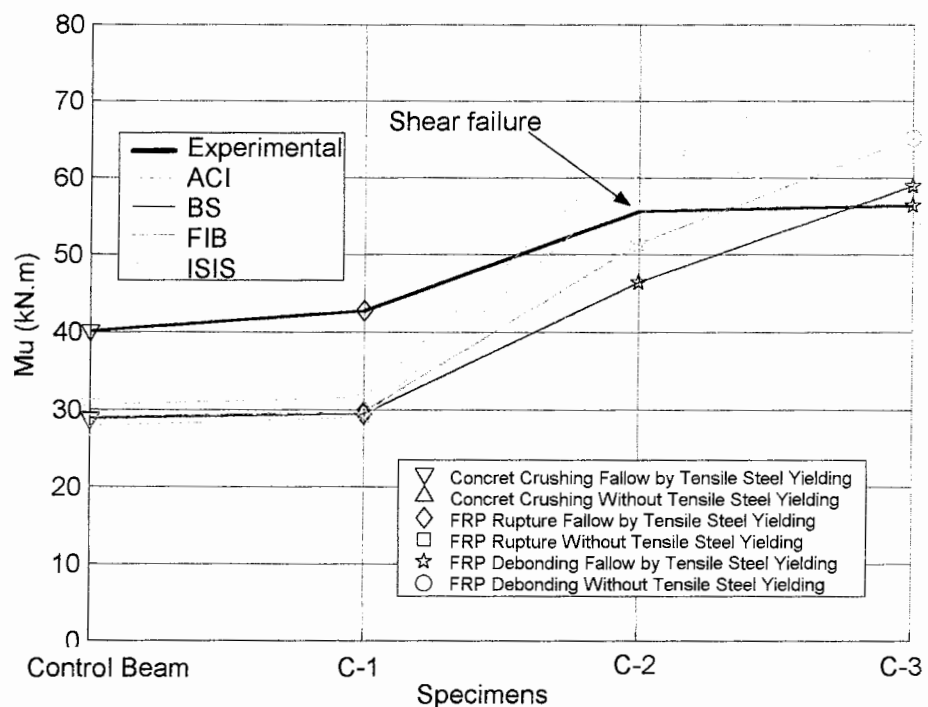
( Concrete Crushing ) C

( FRP Debonding ) D

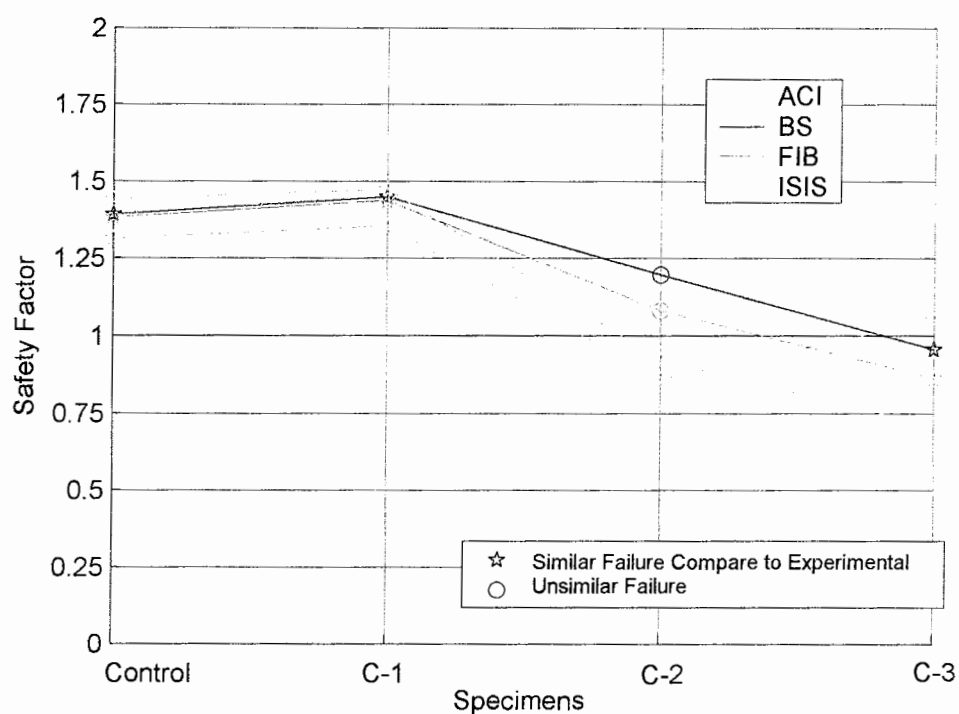
( FRP Rupture ) FRP R

( Yielding ) Y

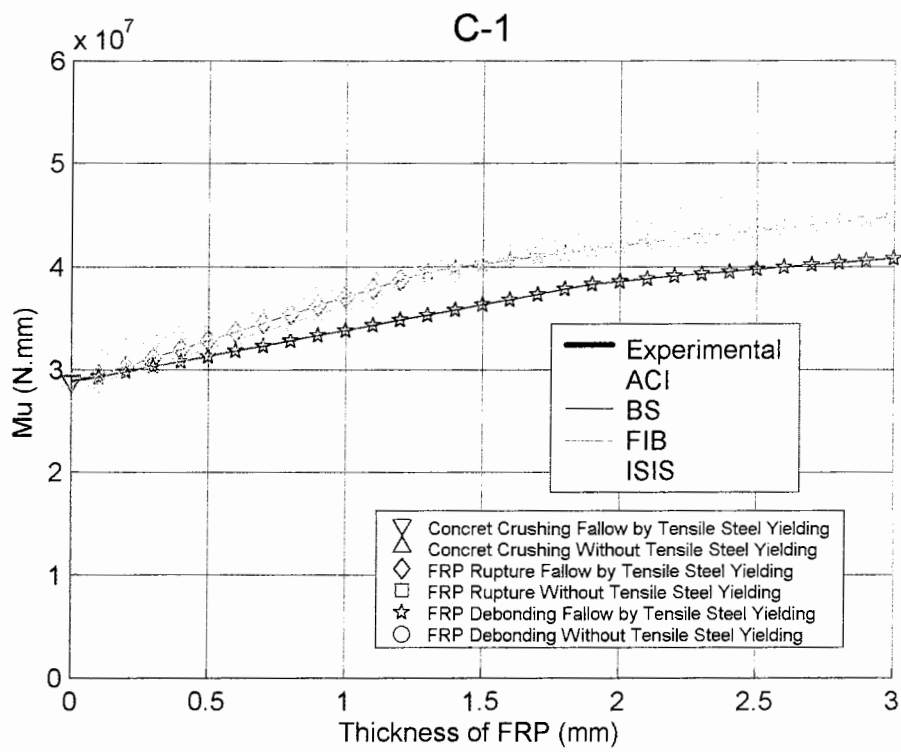
( Elastic ) E



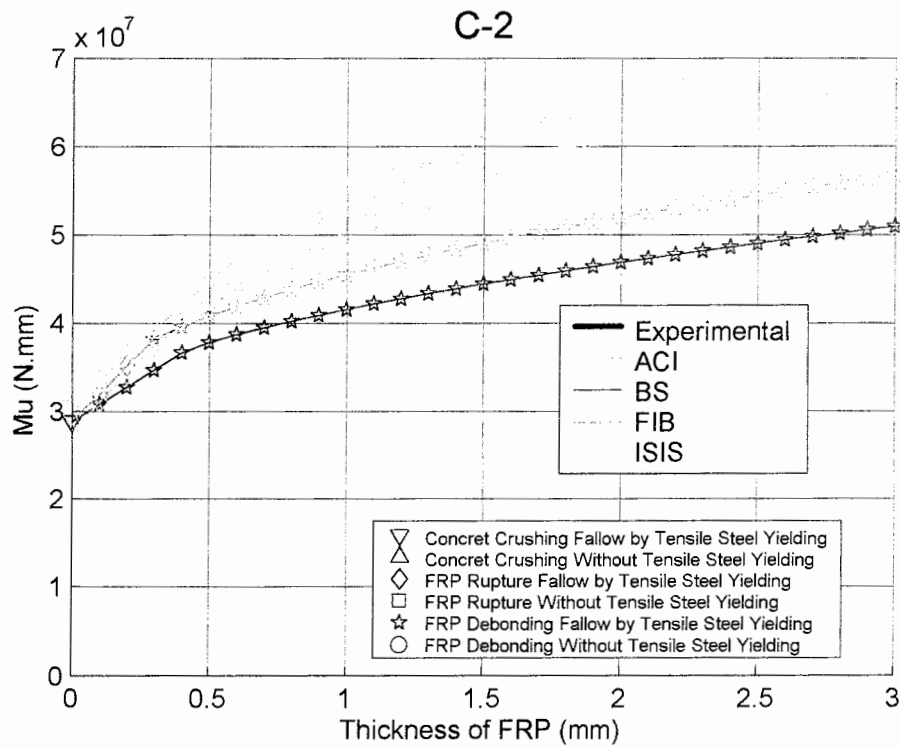
شکل ۲۲-۵ : دیاگرام تغییرات مقاومت نهایی و مود گسیختگی حاکم برای نمونه ها



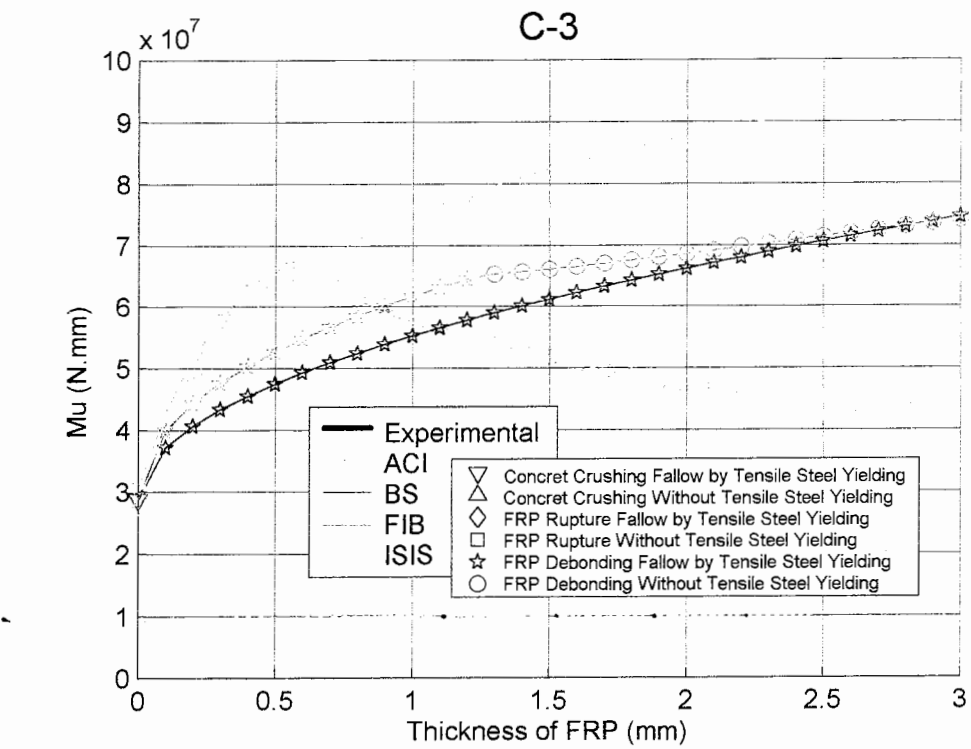
شکل ۲۳-۵ : دیاگرام تغییرات ضرایب ایمنی برای نمونه های مختلف



شکل ۲۴-۵ : نمایش تأثیر تغییر ضخامت FRP بر مقاومت نهایی حاصله از آیین نامه ها برای نمونه C-1



شکل ۲۵-۵ : نمایش تأثیر تغییر ضخامت FRP بر مقاومت نهایی حاصله از آیین نامه ها برای نمونه C-2



شکل ۲۶-۵ : نمایش تأثیر تغییر ضخامت FRP بر مقاومت نهایی حاصله از آیین نامه ها برای نمونه C-3

جدول ۲۴-۵ : ضرایب ایمنی و انحراف معیار آنها به همراه درصد تطابق مود حاکم گسیختگی نسبت به نتایج آزمایشگاهی

		ACI	BS	FIB	ISIS
تیر شاهد	ضریب ایمنی	1.3134	1.3922	1.3845	1.4401
	درصد تطابق مود حاکم گسیختگی	100	100	100	100
تیرهای تقویت شده با FRP	ضریب ایمنی	1.0884	1.2011	1.1276	1.0346
	انحراف معیار ضرایب ایمنی	0.2038	0.2012	0.2364	0.3229
	درصد تطابق مود حاکم گسیختگی	66.67	66.67	66.67	33.33
کل نمونه ها	ضریب ایمنی	1.1446	1.2488	1.1918	1.1360
	انحراف معیار ضرایب ایمنی	0.2016	0.1929	0.2330	0.3302
	درصد تطابق مود حاکم گسیختگی	75	75	75	50

بررسیها و نتایج بدست آمده از این آزمایش :

براساس نتایج نشان داده شده در شکل ۲۲-۵ ، می توان دید که اثر تقویت خمشی تیر با FRP نوع ۱ (C-1) ، بسیار کم و در حد صفر می باشد . این موضوع توسط نتایج عملی نیز تأیید می گردد . همانطور که قبلاً اشاره شد ، با افزایش ضخامت FRP ، میزان مقاومت نهایی محاسبه شده توسط آیین نامه ها و همچنین نتایج عملی ، رشد می یابد . این نتیجه گیری در نتایج نمونه های C-2 و C-3 مشاهده شده است . البته لازم به ذکر است که در نمونه های C-2 و C-3 ، اثر افزایش مقاومت کششی FRP و همچنین سختی آن در رشد مقاومت نهایی تأثیرگذار بوده است . در مقایسه نتایج بین دو نمونه C-2 و C-3 ، می توان اینگونه نظر داد که با توجه به اینکه سختی FRP استفاده شده در C-3 از C-2 بیشتر است ، حتی با بالاتر بودن ضخامت آن ، نتیجه عملی آنها تقریباً یکسان است . این موضوع در ACI ، حتی از خود کاهشی نیز نشان داده است که ناشی از تأثیر توأم سختی و ضخامت بالای FRP در نمونه C-3 می باشد . اما در دیگر آیین نامه ها ، این اثر بروز نکرده و از C-2 به C-3 ، یک رشد در مقاومت نهایی مشاهده می گردد . مسئله تطابق جدادشده نیز در نمونه C-1 به درستی صورت گرفته در حالی که در نمونه C-3 این موضوع برای ISIS صادق نمی باشد و دلیل آن نیز واضح است ؛ چراکه ISIS مبحث جدادشده را کلاً درنظر نمی گیرد .

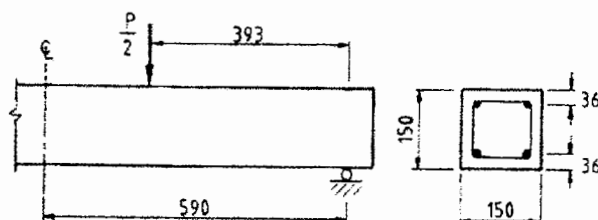
اما نکته ای که در مورد C-2 قابل بررسی می باشد ، آنستکه از لحاظ عملی این نمونه به صورت ترکهای قطری برشی گسیخته می گردد و موجب می شود مقاومت نهایی افت کرده و در نتیجه مقدار آن حتی از مقادیر محاسبه شده توسط ACI و ISIS کمتر گردد ؛ حال آنکه اگر آرماتورهای برشی به اندازه کافی وجود داشته باشد که از گسیختگی برشی جلوگیری شود ، مطمئناً نتیجه عملی مقادیر بالاتری را خواهد داد .

براساس جدول ۲۴-۵ می توان گفت که بعد از مقاومسازی خمشی ، ضریب ایمنی متوسط نمونه ها ، کاهش چشمگیری داشته است . با توجه به همین جدول می توان گفت که در این سری نمونه ها ، ISIS ضریب ایمنی کمتری نسبت به ACI دارد . البته این موضوع پوشیده نماند که انحراف معیار ضرایب ایمنی ISIS بسیار بالاتر از ACI می باشد . در این آزمایش همچنین دوباره BS ، محافظه کارانه ترین جوابها را ارائه داده است . از لحاظ تطابق مود گسیختگی حاکم ، ACI ، BS و FIB در یک سطح بوده و ISIS کمترین درصد تطابق را دارد .

همانطور که گفته شد ، جهت مقایسه آیین نامه ها از لحاظ تأثیر ضخامت FRP بر مقاومت نهایی تیر ، سه شکل ۲۴-۵ تا ۲۶-۵ رسم شده است . همانطور که مشاهده می شود ، دیاگرامها دقیقاً همانند قسمت ۱-۱-۲-۵ برای نمونه های E1 ، E2 و E3 رفتار کرده و با افزایش ضخامت FRP ، مقاومت نهایی مقطع رشد کرده است . این موضوع در مورد دیاگرام ACI شبیه به آزمایش اول ، دارای یک حد و مرزی بوده که این مرز که ناشی از جدادشده FRP است ، با افزایش سختی FRP در ضخامتهای کمتری از آن اتفاق می افتد ( نمونه C-3 ) . مباحث مربوط به مود گسیختگی حاکم نیز دقیقاً همانند آزمایش اول می باشد که از تکرار آن صرفنظر می شود .

### ۳-۲-۵: آزمایش سوم مقاومسازی خمی

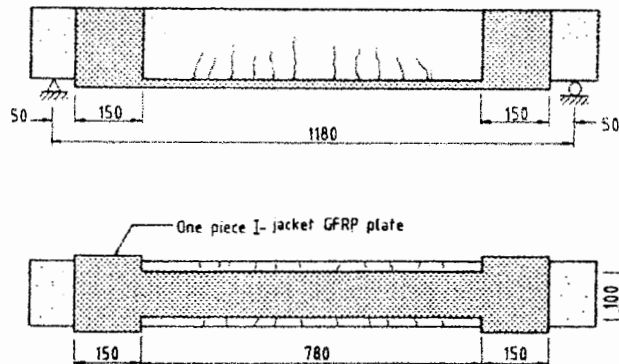
در این آزمایش که توسط A. Sharif [۲۶] ، صورت گرفته است ، یک تیر بتون آرمه توسط GFRP به صورت خمی مقاومسازی شده است . همانطور که در شکل ۲۷-۵ دیده می شود ، بارگذاری به صورت چهار نقطه ای با تکیه گاه ساده است . در این آزمایش پنج نمونه مورد بررسی قرار می گیرد . اولین نمونه ، تیر شاهد می باشد که تقویت نمی گردد . سه نمونه بعدی به ترتیب هر کدام توسط یک ، دو و سه لایه GFRP تقویت شده اند . نمونه پنجم همانند نمونه چهارم بوده با این تفاوت که انتهای لایه FRP توسط دو لایه دیگر FRP که به صورت عمود بر محور طولی تیر نصب شده اند ، مهار گردیده است (شکل ۲۸-۵) .



شکل ۲۷-۵ : ابعاد و نحوه بارگذاری نمونه ها

جدول ۲۵-۵ : خصوصیات تیر و FRP در نمونه ها

پارامترها	CB	P1	P2	P3	P3J
b (mm)	150	150	150	150	150
h (mm)	150	150	150	150	150
d (mm)	114	114	114	114	114
d' (mm)	36	36	36	36	36
b <sub>f</sub> (mm)	---	100	100	100	100
t <sub>f</sub> (mm)	---	1	2	3	3
n <sub>f</sub>	---	1	1	1	1
A <sub>s</sub> (mm <sup>2</sup> )	157.08	157.08	157.08	157.08	157.08
A' <sub>s</sub> (mm <sup>2</sup> )	56.55	56.55	56.55	56.55	56.55
f' <sub>c</sub> (MPa)	37.7	37.7	37.7	37.7	37.7
f <sub>cu</sub> (MPa)	47.7	47.7	47.7	47.7	47.7
f <sub>y</sub> (MPa)	450	450	450	450	450
f <sub>fu</sub> (MPa)	---	170	170	170	170
C <sub>E</sub>	---	0.75	0.75	0.75	0.75
E <sub>s</sub> (MPa)	200000	200000	200000	200000	200000
E <sub>f</sub> (MPa)	---	14900	14900	14900	14900
γ <sub>mF</sub>	---	4.2	4.2	4.2	4.2
γ <sub>mE</sub>	---	1.8	1.8	1.8	1.8
γ <sub>f</sub>	---	1.3	1.3	1.3	1.3
ϕ <sub>f</sub>	---	0.65	0.65	0.65	0.65



شکل ۲۸-۵ : نحوه تقویت و مهار نمونه ها به وسیله FRP

نتایج بدست آمده از آزمایش و محاسبات در جدول ۲۶-۵ ارائه شده است . نکته ای که قابل ذکر می باشد ، آنستکه در آیین نامه ها برای تعریف نمونه P3J که در انتهای مهار شده است با یک ساده سازی اینگونه رفتار می شود که ضابطه کنترل کننده جداشده حذف می شود . همانطور که مشاهده می گردد ، این اثر در آیین نامه ها به جز ISIS تأثیرگذار می باشد و علت آن اینستکه در آیین نامه ISIS ، ضابطه ای جهت کنترل جداشده وجود ندارد . به منظور نمایش بهتر نتایج از دیاگرام شکل ۲۹-۵ استفاده می شود .

جدول ۲۶-۵ : نتایج مقاومت نهایی و مود گسیختگی حاکم برای نمونه ها

نمونه ها	$M_{ur}$ (Kn.m)					Failure Mode				
	Exp.	ACI	BS	FIB	ISIS	Exp.	ACI	BS	FIB	ISIS
CB	10.41	7.1	6.62	6.58	6.28	C + Y	C + Y	C + Y	C + Y	C + Y
P1	13.16	8.09	7.02	8.07	7.6	R + Y	R + Y	R + Y	R + Y	R + Y
P2	13.36	9.19	7.42	9.67	8.91	D	R + Y	R + Y	R + Y	R + Y
P3	12.97	10.28	7.82	10.67	9.87	D	R + Y	R + Y	D + Y	C + Y
P3J	16.11	10.65	7.82	11.24	9.87	C + Y	R + Y	R + Y	R + Y	C + Y

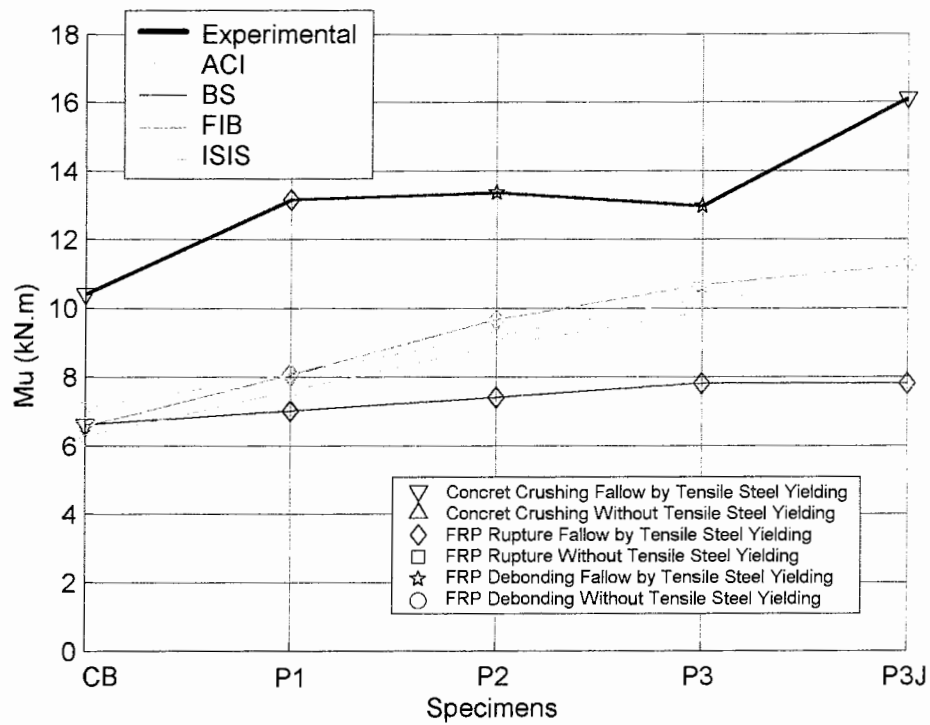
( C : خرد شدگی بتن فشاری )

( D : جداشده ) ( FRP Debonding )

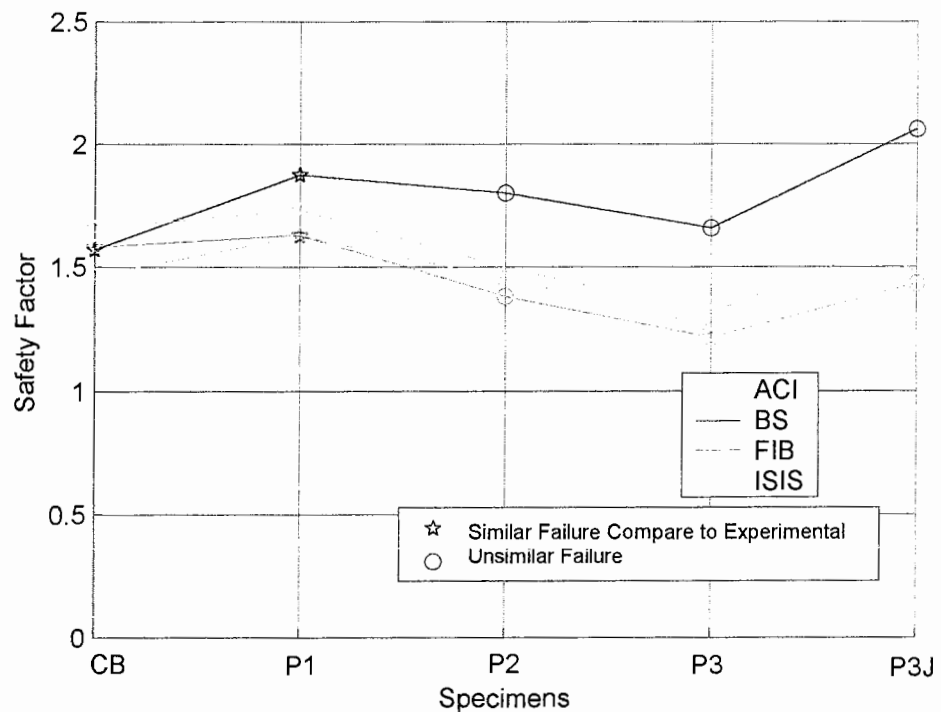
( R : پارگی ) ( FRP Rupture )

( Y : گسیختگی همراه با به تسلیم رسیدن آرماتورهای فولادی کششی ) ( Yielding )

( E : گسیختگی بدون به تسلیم رسیدن آرماتورهای فولادی کششی ) ( Elastic )



شکل ۲۹-۵ : دیاگرام تغییرات مقاومت نهایی و مود گسیختگی حاکم برای نمونه ها



شکل ۳۰-۵ : دیاگرام تغییرات ضرایب ایمنی برای نمونه های مختلف

جدول ۵-۲۷: ضرایب ایمنی و انحراف معیار آنها به همراه درصد تطابق مود حاکم گسیختگی  
نسبت به نتایج آزمایشگاهی

		ACI	BS	FIB	ISIS
تیر شاهد	ضریب ایمنی	1.4662	1.5725	1.5821	1.6576
	درصد تطابق مود حاکم گسیختگی	100	100	100	100
تیرهای تقویت شده با FRP	ضریب ایمنی	1.4637	1.8485	1.4153	1.5443
	انحراف معیار ضرایب ایمنی	0.1322	0.1448	0.1481	0.1564
	درصد تطابق مود حاکم گسیختگی	25	25	50	50
کل نمونه ها	ضریب ایمنی	1.4642	1.7933	1.4486	1.5670
	انحراف معیار ضرایب ایمنی	0.1182	0.1701	0.1483	0.1470
	درصد تطابق مود حاکم گسیختگی	40	40	60	60

بررسیها و نتایج بدست آمده از این آزمایش:

همانطور که مشاهده می شود با افزایش تعداد لایه های FRP ، مقدار مقاومت نهایی برای نتایج تئوری رشد می نماید . میزان این رشد در سه آیین نامه ACI ، FIB و ISIS تقریباً برابر بوده در حالیکه برای BS بسیار کمتر می باشد . در نتایج عملی با استفاده از دو لایه و یا بیشتر از FRP ، برای مقاومسازی ، پدیده جداسدگی بروز کرده و باعث کاهش درصد افزایش مقاومت نهایی می گردد . این در حالی است که با مهار کردن انتهاهای FRP در نمونه P3J ، مانع از جداسدگی گردیده و افزایش چشمگیری در مقاومت نهایی مشاهده می شود . اثر این مهار در ACI و FIB کمتر بوده و در مورد ISIS و BS صفر می باشد . علت عدم افزایش در مورد ISIS در آزمایشهای قبل اشاره شد ؛ اما در مورد BS می توان اینگونه توجیه کرد که چون در نمونه P3 ، مود حاکم گسیختگی ، پارگی FRP بوده نه جداسدگی ، بنابراین با مهار کردن FRP هیچ تأثیری در مقاومت نهایی تیر دیده نخواهد شد . سؤالی که در مورد ACI پیش می آید ، آنستکه چطور ACI دچار این پدیده نشده است و حال آنکه گسیختگی حاکم در نتایج ACI برای نمونه P3 نیز پارگی FRP است . دلیل این امر را می توان در حذف  $K_m$  از روابط مربوط به ACI در هنگام مهار کردن FRP دانست ؛ چراکه  $K_m$  خود به مقدار 0.9 محدود بوده و با مهار کردن FRP می توان در محاسبات آن را برابر 1.0 فرض نمود ؛ لذا ، اندکی رشد در نمونه مهار شده P3J نسبت به P3 مشاهده می شود .

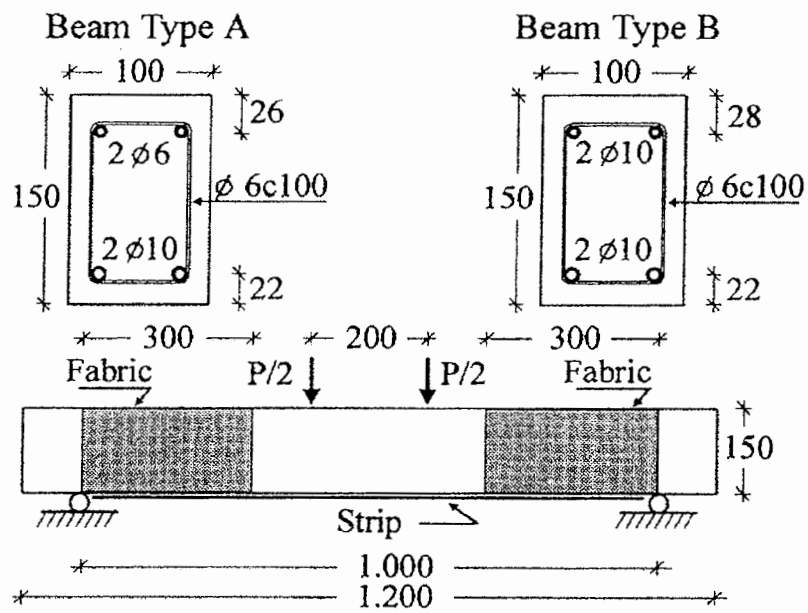
از لحاظ ضرایب ایمنی ، همانطور که در شکل ۵-۳۰ دیده می شود ، با نصب یک لایه از FRP ( P1 ) ، در ابتدا ضریب ایمنی افزایش یافته اما در ادامه با بروز پدیده جداسدگی در نتایج عملی و عدم بروز آن در نتایج تئوری ، ضریب ایمنی کاهش می یابد . اما با مهار FRP در نمونه P3J ، مقدار آن دوباره افزایش می یابد . از نظر کلی FIB کمترین ضریب ایمنی را داشته در حالیکه مقدار ضریب ایمنی ACI نیز نزدیک به FIB می باشد . در این سری نمونه ها نیز ، BS بیشترین ضریب ایمنی را دارد . از لحاظ مود گسیختگی حاکم ، ISIS و FIB هر دو 50% و ACI و BS ، 25% با نتایج عملی تطابق دارند .

#### ۴-۲-۵ : آزمایش چهارم مقاومسازی خمشی

این آزمایش توسط M. Valcuende [۳۳] ، صورت گرفته و همانند آزمایش قبلی می باشد با این تفاوت که در این آزمایش از CFRP به جای GFRP استفاده شده و همچنین تنها یک لایه از FRP مورد استفاده قرار گرفته است . داده های لازم در جدول ۲۸-۵ ارائه شده است . لازم به ذکر است که همانند آزمایش قبل ، در دو سری از آزمایشهای صورت گرفته ، یک تیر توسط فابریکهای FRP مهار گردیده است ( نمونه های A-SF و B-SF ) . نحوه بارگذاری ، آرماتوربندی و مقاومسازی در شکل ۳۱-۵ نشان داده شده است . جداول و دیاگرامها همانند حالت قبل تکرار می گردد .

جدول ۲۸-۵ : خصوصیات تیر و FRP در نمونه ها

پارامترها	A-C	A-S1	A-SF	B-C	B-S1	B-SF
b (mm)	100	100	100	100	100	100
h (mm)	150	150	150	150	150	150
d (mm)	128	128	128	128	128	128
d' (mm)	28	28	28	28	28	28
b <sub>f</sub> (mm)	---	50	50	---	50	50
t <sub>f</sub> (mm)	---	1.2	1.2	---	1.2	1.2
n <sub>f</sub>	---	1	1	---	1	1
A <sub>s</sub> (mm <sup>2</sup> )	157.08	157.08	157.08	157.08	157.08	157.08
A' s (mm <sup>2</sup> )	56.55	56.55	56.55	157.08	157.08	157.08
f' <sub>c</sub> (MPa)	38.24	39.45	38.24	37.31	41.56	37.31
f <sub>cu</sub> (MPa)	48.24	49.45	48.24	47.31	51.56	47.31
f <sub>y</sub> (MPa)	500	500	500	500	500	500
f <sub>fu</sub> (MPa)	---	2600	2600	---	2600	2600
C <sub>E</sub>	---	0.95	0.95	---	0.95	0.95
E <sub>s</sub> (MPa)	200000	200000	200000	200000	200000	200000
E <sub>f</sub> (MPa)	---	165000	165000	---	165000	165000
γ <sub>mF</sub>	---	1.96	1.96	---	1.96	1.96
γ <sub>mE</sub>	---	1.1	1.1	---	1.1	1.1
γ <sub>f</sub>	---	1.2	1.2	---	1.2	1.2
ϕ <sub>f</sub>	---	0.75	0.75	---	0.75	0.75



شکل ۳۱-۵ : نحوه بارگذاری ، آرماتوربندی و مقاومسازی نمونه ها

جدول ۲۹-۵ : نتایج مقاومت نهایی و مود گسیختگی حاکم برای نمونه ها

نمونه ها	M <sub>ur</sub> (kN.m)					Failure Mode				
	Exp.	ACI	BS	FIB	ISIS	Exp.	ACI	BS	FIB	ISIS
A-C	11.58	8.18	7.7	7.7	7.4	C + Y	C + Y	C + Y	C + Y	C + Y
A-S1	15.7	13.84	11.8	12.44	12.3	D	C + Y	D + Y	D + Y	C + Y
A-SF	16.3	13.61	14.15	14.01	12.15	D	C + Y	C + Y	C + Y	C + Y
B-C	12.02	8.16	7.66	7.65	7.37	C + Y	C + Y	C + Y	C + Y	C + Y
B-S1	14.05	14.9	11.87	12.7	13.9	D	C + Y	D + Y	D + Y	C + Y
B-SF	15.21	14.5	15.7	15.71	13.51	D	C + Y	C + Y	C + Y	C + Y

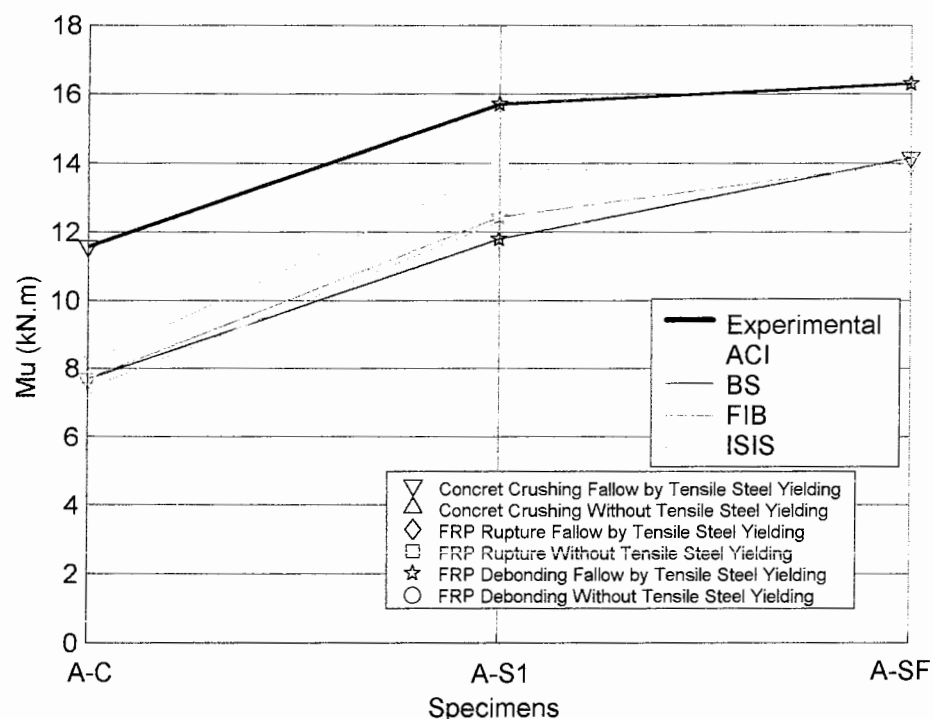
C : خرد شدگی بتن فشاری ( Concrete Crushing )

D : جداشدگی FRP ( FRP Debonding )

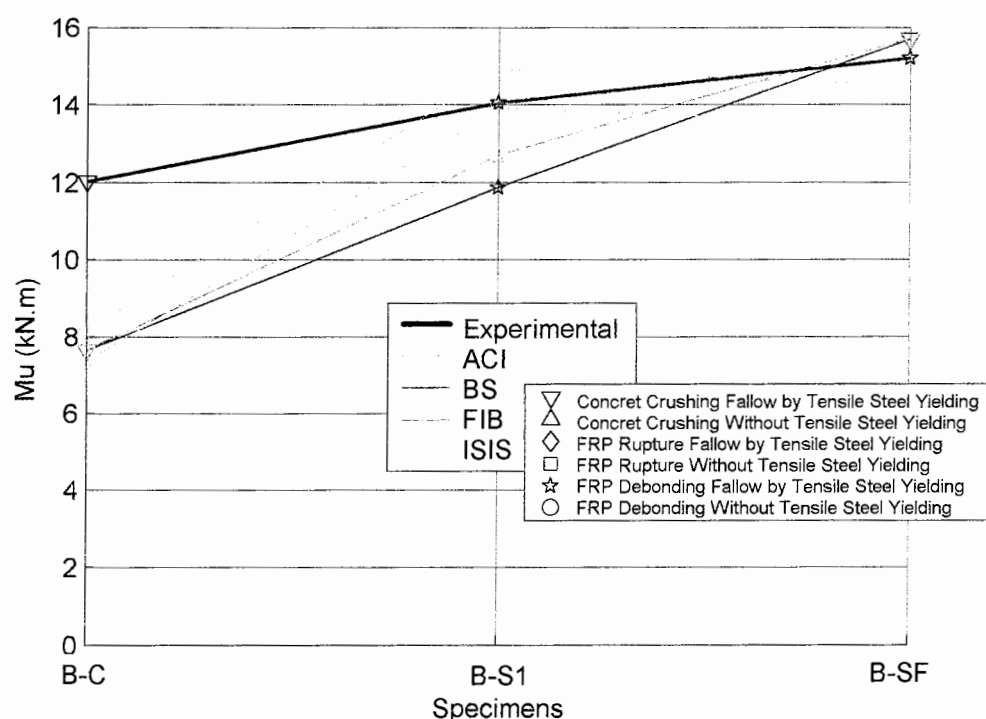
R : پارگی FRP ( FRP Rupture )

Y : گسیختگی همراه با به تسلیم رسیدن آرماتورهای فولادی کششی ( Yielding )

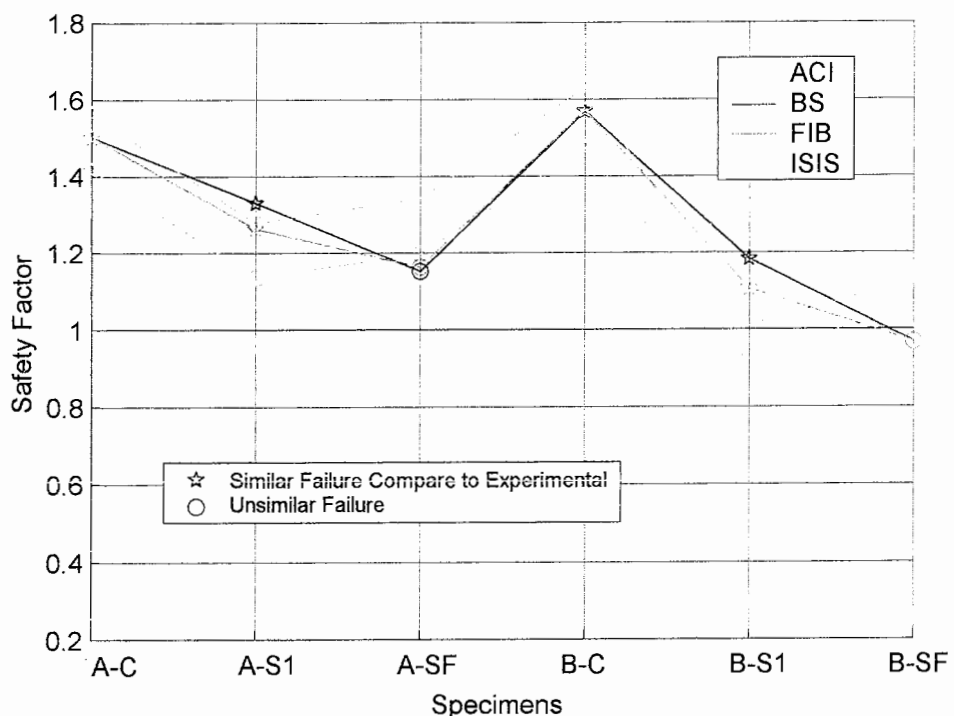
E : گسیختگی بدون به تسلیم رسیدن آرماتورهای فولادی کششی ( Elastic )



شکل ۳۲-۵ : دیاگرام تغییرات مقاومت نهایی و مود گسیختگی حاکم برای نمونه های سری A



شکل ۳۳-۵ : دیاگرام تغییرات مقاومت نهایی و مود گسیختگی حاکم برای نمونه های سری B



شکل ۳۴-۵ : دیاگرام تغییرات ضرایب ایمنی برای نمونه های مختلف

جدول ۳۰-۵ : ضرایب ایمنی و انحراف معيار آنها به همراه درصد تطابق مود حاکم گسیختگی  
نسبت به نتایج آزمایشگاهی

		<b>ACI</b>	<b>BS</b>	<b>FIB</b>	<b>ISIS</b>
تیر شاهد A-C	ضریب ایمنی	1.4156	1.5039	1.5039	1.5649
	درصد تطابق مود حاکم گسیختگی	100	100	100	100
تیر شاهد B-C	ضریب ایمنی	1.473	1.5692	1.5712	1.6309
	درصد تطابق مود حاکم گسیختگی	100	100	100	100
تیرهای تقویت شده با FRP سری A	ضریب ایمنی	1.166	1.2412	1.2128	1.3090
	انحراف معيار ضرایب ایمنی	0.0316	0.0893	0.0493	0.0326
	درصد تطابق مود حاکم گسیختگی	0	50	50	0
تیرهای تقویت شده با FRP سری B	ضریب ایمنی	0.9960	1.0762	1.0372	1.0683
	انحراف معيار ضرایب ایمنی	0.0530	0.1074	0.0691	0.0575
	درصد تطابق مود حاکم گسیختگی	0	50	50	0
کل نمونه ها	ضریب ایمنی	1.2021	1.2847	1.2625	1.3251
	انحراف معيار ضرایب ایمنی	0.1890	0.2077	0.2139	0.2207
	درصد تطابق مود حاکم گسیختگی	33.33	66.67	66.67	33.33

## بررسیها و نتایج بدست آمده از این آزمایش:

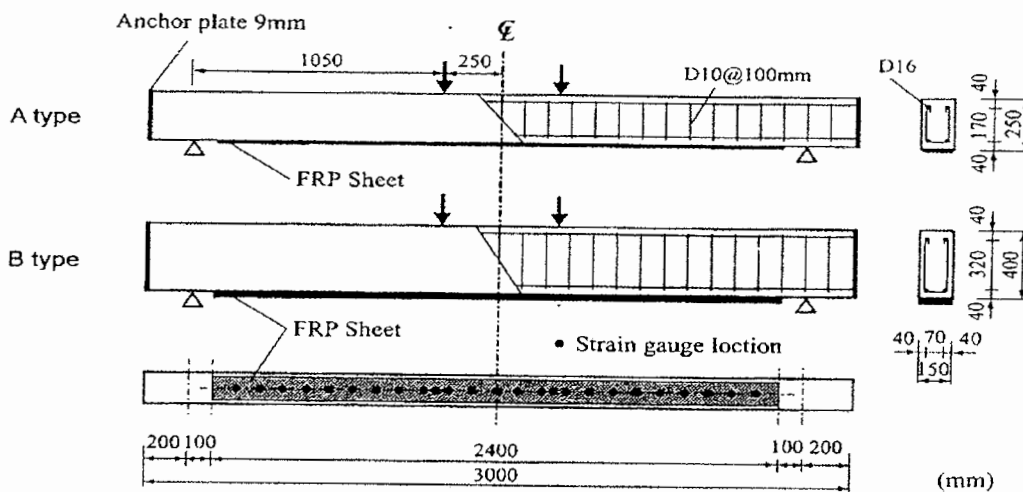
در سری اول (نمونه های سری A)، همانطور که در نتایج عملی مشاهده می شود، با نصب یک لایه CFRP، مقاومت نهایی نیز افزایش می یابد. همچنین با مهار FRP، درصد اندکی افزایش نسبت به حالت قبل از مهاربندی در مقاومت نهایی دیده می شود. علت افزایش کم در این سری از آزمایشها را می توان در عدم عملکرد کامل مهار دانست، چراکه خود مهار نیز دچار پارگی شده و سپس لایه FRP از بستر بتونی جدا می گردد. البته لازم به ذکر است که نمونه مهار شده دارای مقاومت فشاری بتون کمتری نسبت به نمونه مهارشده می باشد و این موضوع اندکی تأثیر در نتایج می گذارد. در دیاگرام ACI به دلیل آنکه اصلاً مود گسیختگی قبل از مهاربندی، جدادشده نمی باشد و همچنین چون مقاومت فشاری بتون در نمونه مهارشده کمتر است، عمل مهاربندی تأثیری در نتایج آن نگذاشته و مقاومت نهایی در این حالت قبل از مهاربندی، اندکی کمتر می گردد. این موضوع در هر دو سری نمونه ها مشاهده شده است. اما در دو سری دیاگرام FIB و BS به دلیل آنکه مود حاکم گسیختگی قبل از مهارشده FRP، جدادشده می باشد، اثر مهارشده که عملکرد آن به طور کامل فرض می گردد، بسیار مشهود است. در مورد ضرایب ایمنی همانطور که در شکل نشان داده شده است، بعد از مقاومسازی کاهش می یابد. این در حالی است که ACI به طور مجدد کمترین ضریب ایمنی و انحراف معیار را داشته ولی در این سری نمونه ها ISIS بیشترین مقدار ضریب ایمنی را دارد. بین FIB و BS نیز، نتایج BS محافظه کارانه تر می باشد. از لحاظ تطابق مود حاکم گسیختگی، FIB و BS در یک اندازه بوده و نسبت به ACI و ISIS نتایج بهتری را ارائه کرده اند. از مقایسه دو سری نمونه A و B که در مقدار فولاد فشاری و اندکی نیز در مقاومت فشاری بتون اختلاف دارند، می توان اینگونه نتیجه گیری کرد که با افزایش مقدار فولاد فشاری، مقدار مقاومت نهایی نیز افزایش می یابد که کاملاً منطقی است؛ البته درصد این افزایش اندک است، چراکه می دانیم نقش افزایش شکل پذیری فولاد فشاری بیشتر از تأثیر آن در افزایش مقاومت مقطع است.

## ۵-۲-۵ : آزمایش پنجم مقاومسازی خمی

در این آزمایش که توسط G. F. Zhang [۳۵] ، انجام شده است ، دو سری نمونه مورد بررسی قرار گرفته است . در سری اول تیرهای با ابعاد  $150 \times 250 \text{ mm}^2$  و در سری دوم تیرهای با ابعاد  $150 \times 400 \text{ mm}^2$  FRP های مختلف با الیافهای آرامید و کربن مقاومسازی شده اند . ضخامت و تعداد لایه های FRP و همچنین سایر پارامترهای لازم جهت طراحی در جدول ۳۱-۵ آورده شده است . نحوه آرماتوربندی ، بارگذاری و سایر پارامترهای ابعادی در شکل ۳۵-۵ نشان داده شده است . همانند دیگر آزمایشها ، نتایج آزمایش و محاسبات در جداول و دیاگرامهایی جهت مقایسه و بررسی ، تنظیم گردیده اند .

جدول ۳۱-۵ : خصوصیات تیر و FRP در نمونه ها

پارامترها	A-AT	A-AK	A-C1	B-AT	B-AK	B-C1	B-C2
b (mm)	150	150	150	150	150	150	150
h (mm)	250	250	250	400	400	400	400
d (mm)	210	210	210	360	360	360	360
d' (mm)	40	40	40	40	40	40	40
b <sub>f</sub> (mm)	130	130	130	130	130	130	130
t <sub>f</sub> (mm)	0.378	0.286	0.167	0.378	0.286	0.167	0.185
n <sub>f</sub>	1	1	1	2	2	2	1
A <sub>s</sub> (mm <sup>2</sup> )	402.12	402.12	402.12	402.12	402.12	402.12	402.12
A' <sub>s</sub> (mm <sup>2</sup> )	402.12	402.12	402.12	402.12	402.12	402.12	402.12
f <sub>c</sub> (MPa)	31.5	31.5	31.5	31.5	31.5	31.5	31.5
f <sub>cu</sub> (MPa)	39.4	39.4	39.4	39.4	39.4	39.4	39.4
f <sub>y</sub> (MPa)	407	407	407	407	407	407	407
f <sub>fu</sub> (MPa)	2350	2060	3400	2350	2060	3400	2400
C <sub>E</sub>	0.85	0.85	0.95	0.85	0.85	0.95	0.95
E <sub>s</sub> (MPa)	200000	200000	200000	200000	200000	200000	200000
E <sub>f</sub> (MPa)	78500	118000	230000	78500	118000	230000	440000
γ <sub>mF</sub>	2.1	2.1	1.96	2.1	2.1	1.96	1.96
γ <sub>mE</sub>	1.1	1.1	1.1	1.1	1.1	1.1	1.1
γ <sub>f</sub>	1.25	1.25	1.2	1.25	1.25	1.2	1.2
ϕ <sub>f</sub>	0.70	0.70	0.75	0.70	0.70	0.75	0.75



شکل ۳۵-۵ : نحوه آرماتوربندی و بارگذاری نمونه ها

جدول ۳۲-۵ : نتایج مقاومت نهایی و مود گسیختگی حاکم برای نمونه ها

نمونه ها	$M_{ur}$ (kN.m)					Failure Mode				
	Exp.	ACI	BS	FIB	ISIS	Exp.	ACI	BS	FIB	ISIS
A-AT	45.78	35.39	29.53	32.8	32.54	D	C + Y	D + Y	D + Y	C + Y
A-AK	44.415	36.25	29.7	33.21	33.37	D	C + Y	D + Y	D + Y	C + Y
A-C1	42	37.2	30	33.66	34.8	D	C + Y	D + Y	D + Y	C + Y
B-AT	86.415	79.18	58.53	62.87	79.63	D	D + Y	D + Y	D + Y	C + Y
B-AK	84.05	81.81	58.94	63.85	82.73	D	R + Y	D + Y	D + Y	C + Y
B-C1	82.37	84.22	59.64	64.88	85.48	D	R + Y	D + Y	D + Y	R + Y
B-C2	68.25	59.2	54.07	63.78	61.26	D	R + Y	R + Y	R + Y	R + Y

( Concrete Crushing ) C

( FRP Debonding ) D

( FRP Rupture ) R

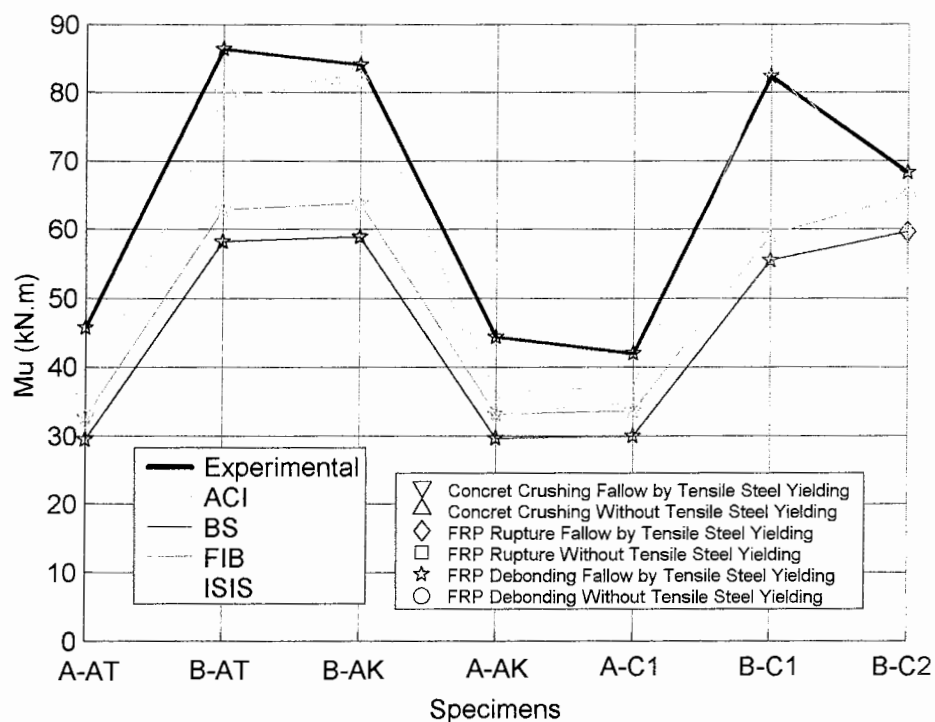
( Yielding ) Y

( Elastic ) E

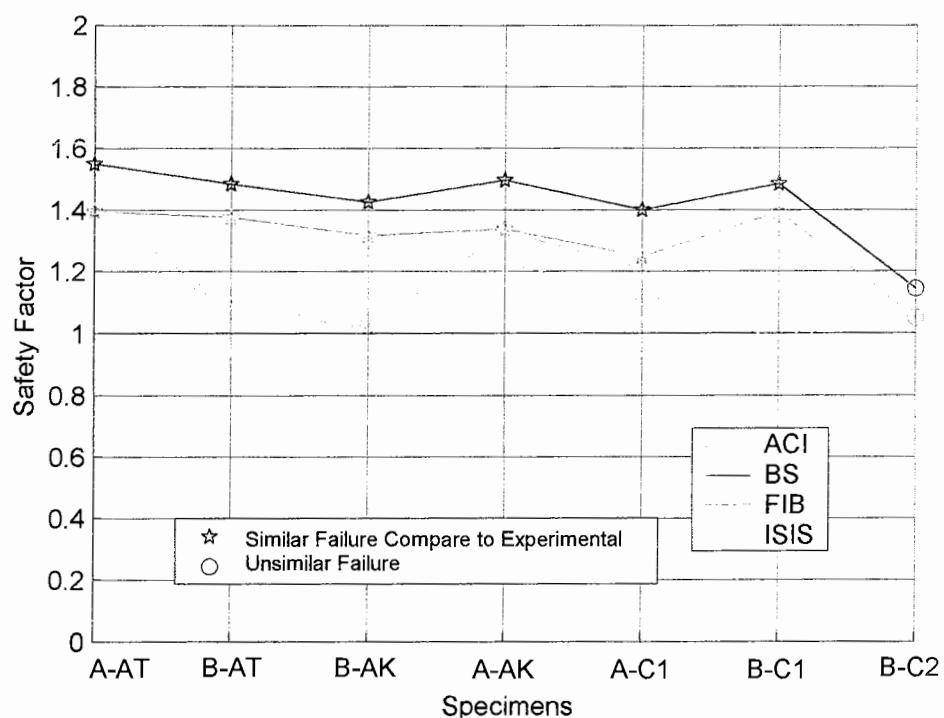
جدول ۳۳-۵ : ضرایب ایمنی و انحراف معیار آنها به همراه درصد تطابق مود حاکم گسیختگی

نسبت به نتایج آزمایشگاهی

	ضریب ایمنی	ACI	BS	FIB	ISIS
کل نمونه ها	ضریب ایمنی	1.1282	1.4263	1.3024	1.1605
	انحراف معیار ضرایب ایمنی	0.1010	0.1236	0.1129	0.1509
	درصد تطابق مود حاکم گسیختگی	14.286	85.71	85.71	0



شکل ۳۶-۵ : دیاگرام تغییرات مقاومت نهایی و مود گسیختگی حاکم برای نمونه ها



شکل ۳۷-۵ : دیاگرام تغییرات ضرایب ایمنی برای نمونه های مختلف

بررسیها و نتایج بدست آمده از این آزمایش:

با توجه به نتایج مندرج در جداول ، مشاهده می شود که با افزایش سختی FRP و هرچند کاهش ضخامت آن ، مقدار افزایش کمی در نتایج آیین نامه رخ می دهد . اما نتایج عملی بر عکس بوده که شاید بتوان گفت ، اثر جداشدنی و همچنین کاهش ضخامت ، بیشتر از اثر افزایش سختی FRP می باشد . در دو سری نمونه آزمایش شده ، نتایج ACI و ISIS بسیار نزدیک به نتایج عملی FRP می باشد ، در حالیکه در سری دوم نمونه ها که توسط دو لایه تقویت شده اند و دارای ابعاد بزرگتری هستند ، نتایج BS و FIB از نتایج عملی دورتر شده اند که می تواند ناشی از نحوه در نظر گرفتن اثر جداشدنی توسط این آیین نامه ها و همچنین تأثیر کم آنها از افزایش عمق تیر باشد . در رابطه با این موضوع همانطور که در جدول ۳۴-۵ دیده می شود ، نسبت افزایش نمونه های بزرگتر با دو لایه FRP ( سری B ) ، نسبت به نمونه های کوچکتر با یک لایه FRP ( سری A ) محاسبه گردیده است . براساس نتایج عملی با افزایش سختی FRP از AT تا B-C1 ، این درصد افزایش به مقدار کمی رشد می کند . این نحوه رشد در نتایج ACI و ISIS نیز دیده می شود ؛ در حالیکه با دقت در نتایج FIB و BS می توان دید که نوع FRP هیچ تأثیری بر میزان افزایش ندارد . همانطور که در جدول ۳۴-۵ ملاحظه می گردد ، FIB و BS کمترین تأثیر را دارا بوده در حالیکه ISIS بیشترین تأثیر را نشان داده است .

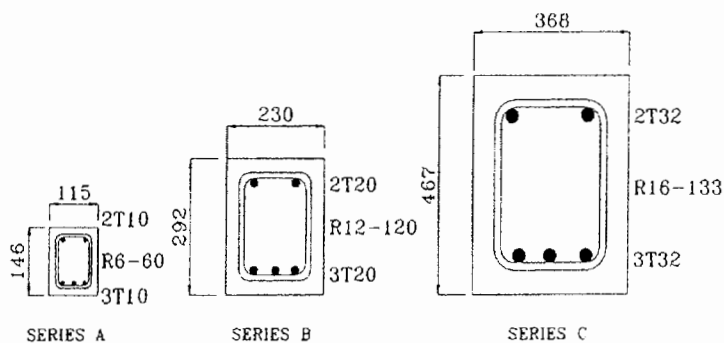
جدول ۳۴-۵ : نتایج میزان افزایش مقاومت نهایی نمونه های نظیر هم در دو سری A و B

نمونه های نظیر	$M_{ur(B)} / M_{ur(A)}$				
	Exp.	ACI	BS	FIB	ISIS
AT	1.887	2.237	1.98	1.92	2.447
AK	1.892	2.257	1.98	1.92	2.48
C1	1.96	2.264	1.98	1.92	2.46

در این سری از نمونه ها همانطور که ملاحظه می شود ، دوباره ACI کمترین ضریب ایمنی را داشته در حالی که BS بیشترین مقدار آن را دارد . از لحاظ تطابق مود گسیختگی حاکم نسبت به نتایج عملی نیز ، BS و FIB دارای درصد یکسان بوده و ISIS هیچ تطابقی نداشته است .

## ۳-۶-۶: آزمایش ششم مقاومسازی خمی

در این آزمایش که توسط K. S. Leong [۲۰] انجام شده است، اثر تغییرات ابعادی تیر نسبت به مقاومت نهایی آن مورد بررسی قرار گرفته است. در این آزمایش سه سری نمونه با نسبت ابعادی ۳.۲ : ۲ : ۱، ارزیابی شده و مقایسه شده اند. بارگذاری این تیرها به صورت چهار نقطه ای و با تکیه گاه ساده می باشد. نحوه آرماتورگذاری این تیرها در شکل ۳۸-۵ نشان داده شده است. کلیه پارامترهای لازم جهت طراحی در جدول زیر ارائه گردیده است. در نهایت جداول و دیاگرامهایی برای بررسی نتایج، تنظیم شده و در پایان، بررسی و مقایسه شده اند.



شکل ۳۸-۵: نحوه آرماتوربندی نمونه ها

جدول ۳۵-۵: خصوصیات تیر و FRP در نمونه ها

پارامترها	A1	A2	A3	B1	B2	B3	C1	C2
b (mm)	115	115	115	230	230	230	368	368
h (mm)	146	146	146	292	292	292	467	467
d (mm)	120	120	120	240	240	240	384	384
d' (mm)	26	26	26	52	52	52	83	83
b <sub>f</sub> (mm)	---	107.8	107.8	---	215.6	215.6	---	368
t <sub>f</sub> (mm)	---	0.165	0.165	---	0.165	0.165	---	0.165
n <sub>f</sub>	---	1	2	---	2	4	---	3
A <sub>s</sub> (mm <sup>2</sup> )	235.62	235.62	235.62	942.48	942.48	942.48	2412.7	2412.7
A' <sub>s</sub> (mm <sup>2</sup> )	157.08	157.08	157.08	628.32	628.32	628.32	1608.5	1608.5
f <sub>c</sub> (MPa)	39.8	39.8	39.8	39.8	39.8	39.8	41	41
f <sub>cu</sub> (MPa)	49.8	49.8	49.8	49.8	49.8	49.8	51	51
f <sub>y</sub> (MPa)	547	547	547	544	544	544	552	552
f <sub>fu</sub> (MPa)	---	3550	3550	---	3550	3550	---	3550
C <sub>E</sub>	---	0.95	0.95	---	0.95	0.95	---	0.95
E <sub>s</sub> (MPa)	180000	180000	180000	183000	183000	183000	181000	181000
E <sub>f</sub> (MPa)	---	235000	235000	---	235000	235000	---	235000
γ <sup>mF</sup>	---	1.54	1.54	---	1.54	1.54	---	1.54
γ <sup>mE</sup>	---	1.1	1.1	---	1.1	1.1	---	1.1
γ <sub>f</sub>	---	1.2	1.2	---	1.2	1.2	---	1.2
ϕ <sub>f</sub>	---	0.75	0.75	---	0.75	0.75	---	0.75

جدول ۳۶-۵ : نتایج مقاومت نهایی و مود گسیختگی حاکم برای نمونه ها

نمونه ها	M <sub>ur</sub> (kN.m)					Failure Mode				
	Exp.	ACI	BS	FIB	ISIS	Exp.	ACI	BS	FIB	ISIS
A1	22.71	12.08	11.34	11.38	10.92	C	C + Y	C + Y	C + Y	C + Y
A2	28.69	14.79	14.31	14.9	13.4	D	C + Y	D + Y	C + Y	C + Y
A3	32.475	15.82	15.54	16.46	14.98	D	C + Y	D + Y	D + Y	C + Y
B1	151.57	96.2	90.3	90.61	86.97	C	C + Y	C + Y	C + Y	C + Y
B2	196.42	118.1	107.1	110.7	106.8	D	C + Y	D + Y	D + Y	C + Y
B3	217.12	127.2	114.1	118.3	119.9	D	C + Y	D + Y	D + Y	C + Y
C1	623.46	400.5	375.6	377.1	362	C	C + Y	C + Y	C + Y	C + Y
C2	793.32	490.2	432.3	442.7	443.1	D	C + Y	D + Y	D + Y	C + Y

C : خرد شدگی بتن فشاری ( Concrete Crushing )

D : جداشده ای FRP ( FRP Debonding )

R : پارگی FRP ( FRP Rupture )

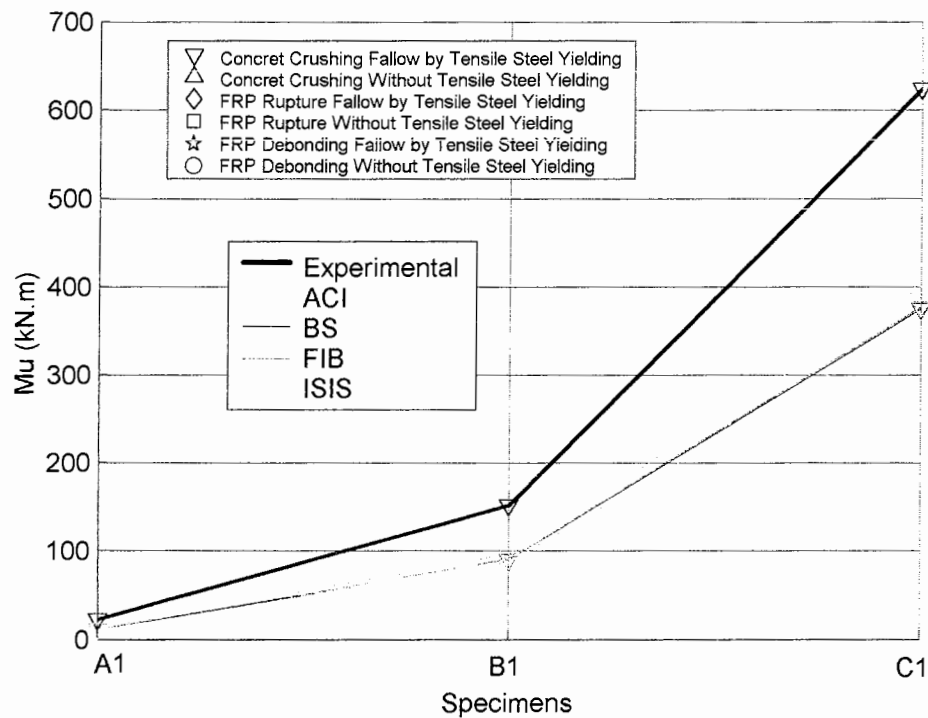
Y : گسیختگی همراه با به تسلیم رسیدن آرماتورهای فولادی کششی ( Yielding )

E : گسیختگی بدون به تسلیم رسیدن آرماتورهای فولادی کششی ( Elastic )

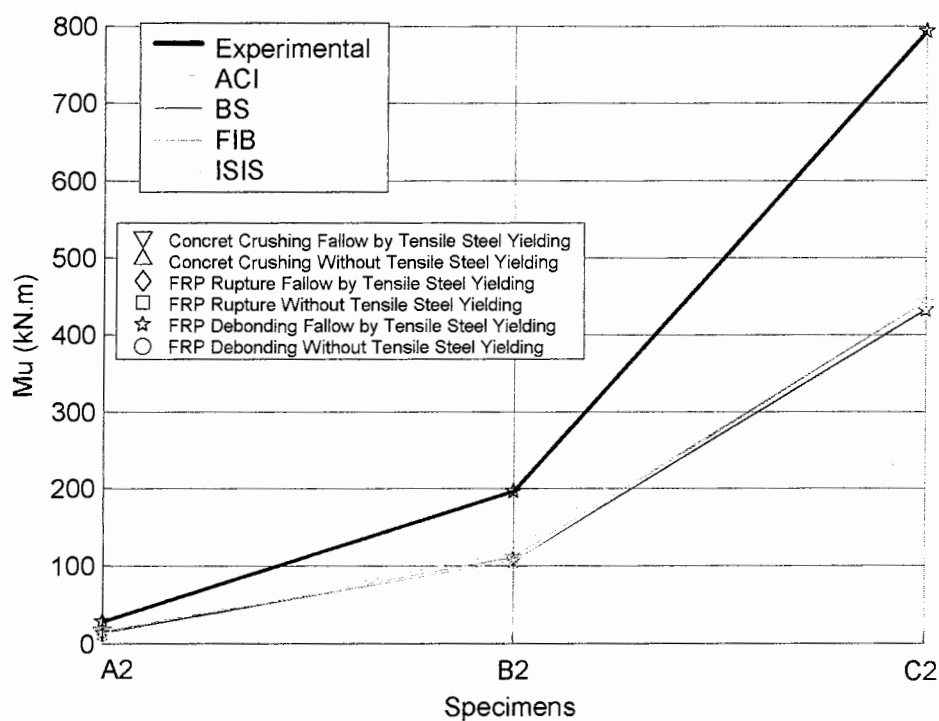
جدول ۳۷-۵ : ضرایب ایمنی و انحراف معیار آنها به همراه درصد تطابق مود حاکم گسیختگی

#### نسبت به نتایج آزمایشگاهی

		ACI	BS	FIB	ISIS
تیر شاهد A1	ضریب ایمنی	1.8791	2.0018	1.9947	2.0788
	درصد تطابق مود حاکم گسیختگی	100	100	100	100
تیر شاهد B1	ضریب ایمنی	1.5756	1.6785	1.6728	1.7428
	درصد تطابق مود حاکم گسیختگی	100	100	100	100
تیر شاهد C1	ضریب ایمنی	1.5567	1.6598	1.6531	1.7223
	درصد تطابق مود حاکم گسیختگی	100	100	100	100
تیرهای تقویت شده با FRP سری A	ضریب ایمنی	1.9963	2.0473	1.9492	2.1545
	انحراف معیار ضرایب ایمنی	0.0565	0.0424	0.0237	0.0134
	درصد تطابق مود حاکم گسیختگی	0	100	50	0
تیرهای تقویت شده با FRP سری B	ضریب ایمنی	1.6852	1.8688	1.8043	1.8253
	انحراف معیار ضرایب ایمنی	0.0216	0.0348	0.0305	0.0139
	درصد تطابق مود حاکم گسیختگی	0	100	100	0
تیرهای تقویت شده با FRP سری C	ضریب ایمنی	1.6183	1.8352	1.7918	1.7902
	درصد تطابق مود حاکم گسیختگی	0	100	100	0
کل نمونه ها	ضریب ایمنی	1.7491	1.8759	1.8274	1.9117
	انحراف معیار ضرایب ایمنی	0.1728	0.1449	0.1211	0.1734
	درصد تطابق مود حاکم گسیختگی	37.5	100	87.5	37.5

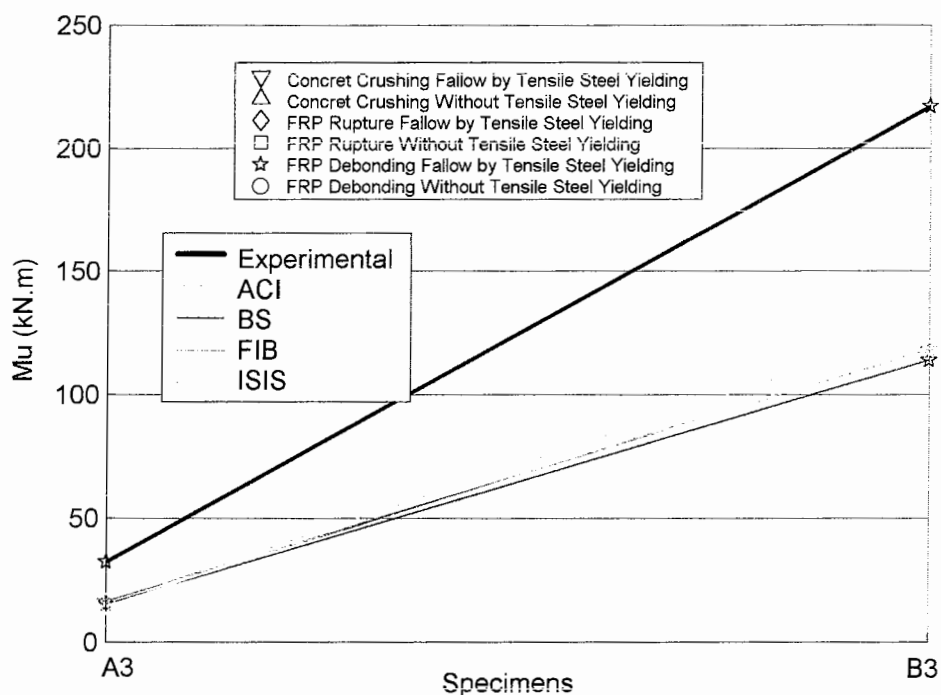


شکل ۳۹-۵ : دیاگرام تغییرات مقاومت نهایی و مود گسیختگی حاکم برای نمونه های شاهد

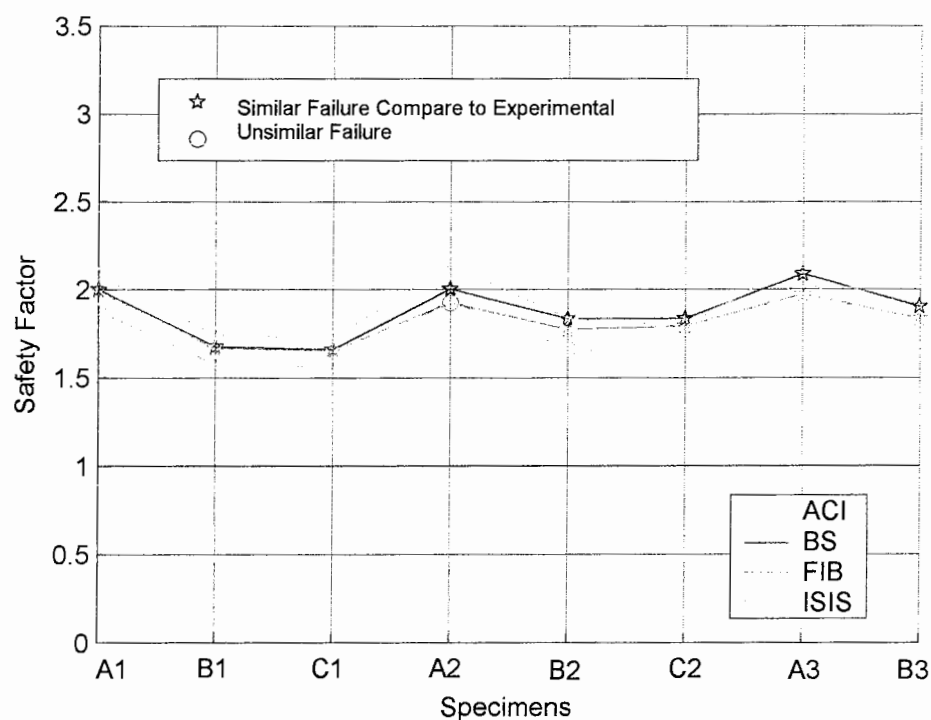


شکل ۴۰-۵ : دیاگرام تغییرات مقاومت نهایی و مود گسیختگی حاکم برای نمونه های تقویت شده

با اندیس ۲



شکل ۴۱-۵ : دیاگرام تغییرات مقاومت نهایی و مود گسیختگی حاکم برای نمونه های تقویت شده با اندیس ۳



شکل ۴۲-۵ : دیاگرام تغییرات ضرایب ایمنی برای نمونه های مختلف

بررسیها و نتایج بدست آمده از این آزمایش:

براساس جدول ۳۸-۵، می توان نسبت تأثیر افزایش ابعاد با نسبتهای ۳.۲ : ۲ : ۱ را بر مقاومت نهایی مقطع، ملاحظه نمود. همانطور که مشاهده می شود، تأثیر این افزایش بعد بر نتایج حاصل از آیین نامه ها بیشتر از نتایج عملی می باشد.

جدول ۳۸-۵: نتایج میزان افزایش نسبی مقاومت نهایی نمونه های دو سری B و C نسبت به نمونه نظری آنها در سری A

نمونه های نظری	$M_{ur(B \text{ or } C)} / M_{ur(A)}$				
	Exp.	ACI	BS	FIB	ISIS
B1	6.67	7.96	7.96	7.96	7.96
B2	6.85	7.98	7.5	7.43	7.97
B3	6.68	8.04	7.34	7.19	8
C1	27.45	33.15	33.12	33.14	33.15
C2	27.65	33.15	30.21	29.71	33.07

رونده تغییر این نسبت در ACI و ISIS، با افزایش تعداد لایه ها در سری B تقریبا ثابت بوده در حالی که نتایج BS و FIB رو به کاهش است. نتایج عملی نیز همانند ACI و ISIS تقریبا بدون تغییر باقی مانده است. براساس نتایج این جدول، می توان مشاهده نمود که نسبت افزایش مقاومت در بیشتر موارد تقریبا ضریبی از مکعب نسبت افزایش ابعاد تیر است؛ یعنی تقریبا،  $1 : 8 : 1$ .

جدول ۳۹-۵: نتایج میزان افزایش نسبی مقاومت نهايی در هر سری از نمونه های تقویت شده نسبت به نمونه شاهد نظری آن سری

نمونه های تقویت شده	$M_{ur} / M_{uo}$				
	Exp.	ACI	BS	FIB	ISIS
A2	1.26	1.22	1.26	1.31	1.23
A3	1.43	1.31	1.37	1.44	1.37
B2	1.296	1.23	1.19	1.22	1.23
B3	1.43	1.32	1.26	1.3	1.38
C2	1.27	1.22	1.15	1.17	1.22

نکته دیگری که قابل بررسی می باشد، اثر FRP در مقاومت نهايی تیر در هر یک از سریها است. همانطور که در جدول ۳۹-۵ مشاهده می شود، نسبت افزایش مقاومت در هر سری به طور جداگانه مشخص شده است. نتیجه قابل برداشت آنستکه در هر سری با افزایش تعداد لایه های FRP، مقاومت نهايی رو به افزایش می باشد؛ اما با مقایسه سریهای مختلف A، B و C می توان دید که با افزایش بعد، اثر FRP در دو آیین نامه ACI و ISIS و همچنین نتایج عملی تقریبا ثابت

بوده در حالیکه در دو آیین نامه BS و FIB ، این اثر کاسته می شود . دلیل آن را می توان ناشی از نحوه تأثیر جداسدگی در روابط این دو آیین نامه اخیر دانست .

از لحاظ درصد تطابق مود گسیختگی حاکم ، BS با مقدار 100 درصد و بدنیال آن FIB ، با مقدار 87.5 درصد ، بالاترین مقادیر را دارا بوده در حالی که ACI و ISIS با 37.5 درصد ، رتبه های بعدی را دارا می باشند . از لحاظ نزدیکی نتایج با نتایج عملی ، با توجه به جدول ۳۷-۵ ، می توان گفت که دوباره ACI در رده اول قرار داشته در حالی که ISIS محافظه کارانه ترین جوابها را ارائه داده است . از لحاظ انحراف معیار نیز همانطور که مشاهده می شود ، FIB کمترین مقدار را داراست . نکته قابل توجه دیگر آنستکه ، ضریب ایمنی با افزایش بعد تیر ، همانطور که در جدول ۳۷-۵ دیده می شود ، کاهش یافته است .

## ۷-۲-۵ : آزمایش هفتم مقاومسازی خمثی

در این آزمایش که توسط Y. Takahashi [۲۹] انجام شده است، اثر تعداد لایه‌ها در دو سری نمونه بررسی گردیده است. تفاوت این دو سری نمونه در مقاومت مشخصه فشاری بتن می‌باشد. نحوه بارگذاری، آرماتوربندی و مقاومسازی در شکل ۴۳-۵ دیده می‌شود. پارامترهای لازم جهت طراحی نیز در جدول ۴۰-۵ ارائه گردیده است. همچنین نتایج و دیاگرامها همانند دیگر آزمایشها ارائه شده و در پایان نتیجه‌گیری و بررسی شده‌اند.

جدول ۴۰-۵ : خصوصیات تیر و FRP در نمونه‌ها

پارامترها	F0	F1	F2	F3	F4	F5	F6
b (mm)	200	200	200	200	200	200	200
h (mm)	300	300	300	300	300	300	300
d (mm)	250	250	250	250	250	250	250
d' (mm)	50	50	50	50	50	50	50
b <sub>f</sub> (mm)	200	200	200	200	200	200	200
t <sub>f</sub> (mm)	---	0.167	0.167	0.167	0.167	0.167	0.167
n <sub>f</sub>	---	1	2	3	1	2	3
A <sub>s</sub> (mm <sup>2</sup> )	573	573	573	573	573	573	573
A' <sub>s</sub> (mm <sup>2</sup> )	63.34	63.34	63.34	63.34	63.34	63.34	63.34
f <sub>c</sub> (MPa)	47.5	35.8	40.2	39.0	50.3	50.3	49.5
f <sub>cu</sub> (MPa)	57.5	45.8	50.2	49.0	60.3	60.3	59.5
f <sub>y</sub> (MPa)	371	371	371	371	371	371	371
f <sub>ju</sub> (MPa)	---	3480	3480	3480	3480	3480	3480
C <sub>E</sub>	---	0.95	0.95	0.95	0.95	0.95	0.95
E <sub>s</sub> (MPa)	200000	200000	200000	200000	200000	200000	200000
E <sub>f</sub> (MPa)	---	230000	230000	230000	230000	230000	230000
γ <sub>mF</sub>	---	1.54	1.54	1.54	1.54	1.54	1.54
γ <sub>mE</sub>	---	1.1	1.1	1.1	1.1	1.1	1.1
γ <sub>f</sub>	---	1.2	1.2	1.2	1.2	1.2	1.2
ϕ <sub>f</sub>	---	0.75	0.75	0.75	0.75	0.75	0.75

جدول ۴۱-۵ : نتایج مقاومت نهایی و مود گسیختگی حاکم برای نمونه‌ها

نمونه‌ها	M <sub>ur</sub> (kN.m)					Failure Mode				
	Exp.	ACI	BS	FIB	ISIS	Exp.	ACI	BS	FIB	ISIS
<b>F0</b>	74.55	45.53	43	43.13	41.45	C	C + Y	C + Y	C + Y	C + Y
<b>F1</b>	79.45	62.17	53.17	55.96	54.9	D	C + Y	D + Y	D + Y	C + Y
<b>F2</b>	85.4	75.33	58.66	62.97	66.69	D	C + Y	D + Y	D + Y	C + Y
<b>F3</b>	94.5	83	62.05	66.79	72.9	D	C + Y	D + Y	D + Y	C + Y
<b>F4</b>	88.9	65.74	55.4	59.6	60.91	R	R + Y	D + Y	D + Y	C + Y
<b>F5</b>	97.3	79.73	60.45	66	72.45	D	C + Y	D + Y	D + Y	C + Y
<b>F6</b>	108.85	88.9	64.18	70.54	80.47	D	C + Y	D + Y	D + Y	C + Y

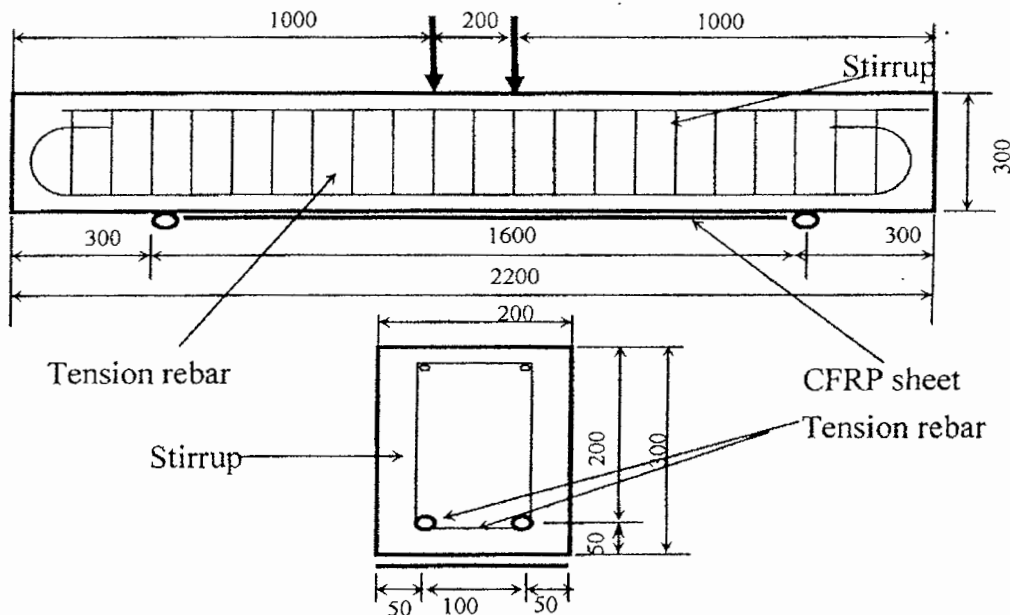
C : خرد شدگی بتن فشاری (Concrete Crushing)

D : جداسدگی FRP ( FRP Debonding )

R : پارگی FRP ( FRP Rupture )

Y : گسیختگی همراه با به تسلیم رسیدن آرماتورهای فولادی کششی ( Yielding )

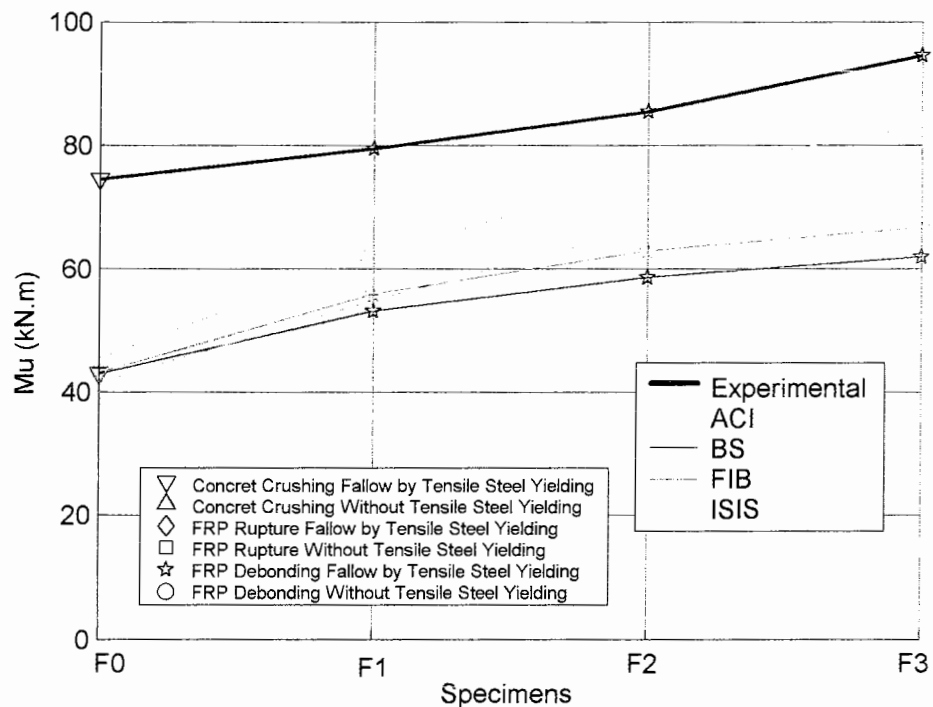
E : گسیختگی بدون به تسلیم رسیدن آرماتورهای فولادی کششی ( Elastic )



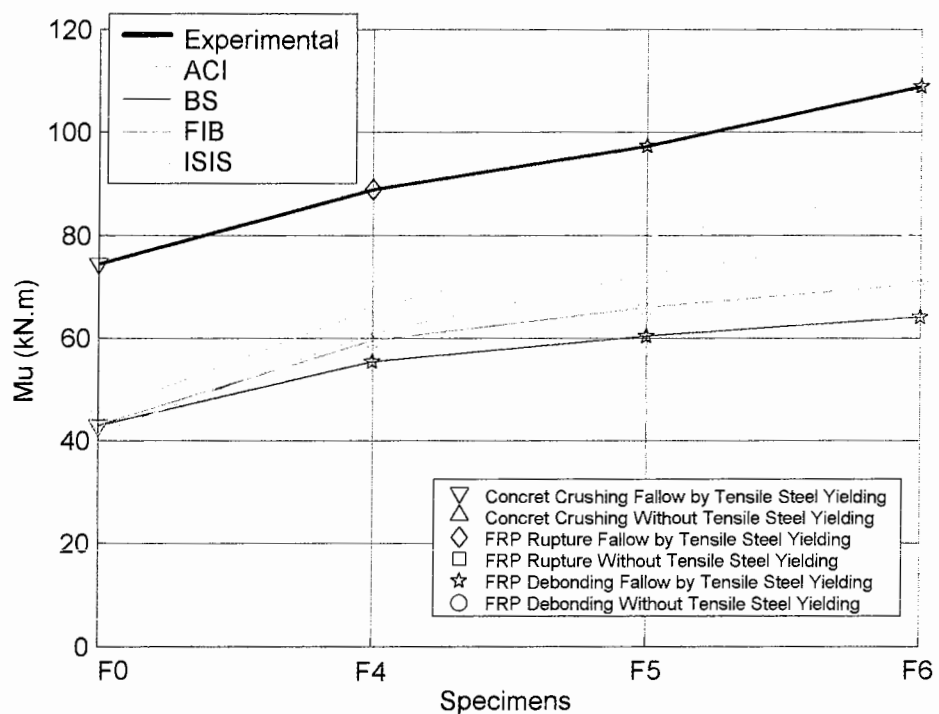
شکل ۴۳-۵ : نحوه آرماتوربندی و بارگذاری نمونه ها

جدول ۴۲-۵ : ضرایب ایمنی و انحراف معیار آنها به همراه درصد تطابق مود حاکم گسیختگی  
نسبت به نتایج آزمایشگاهی

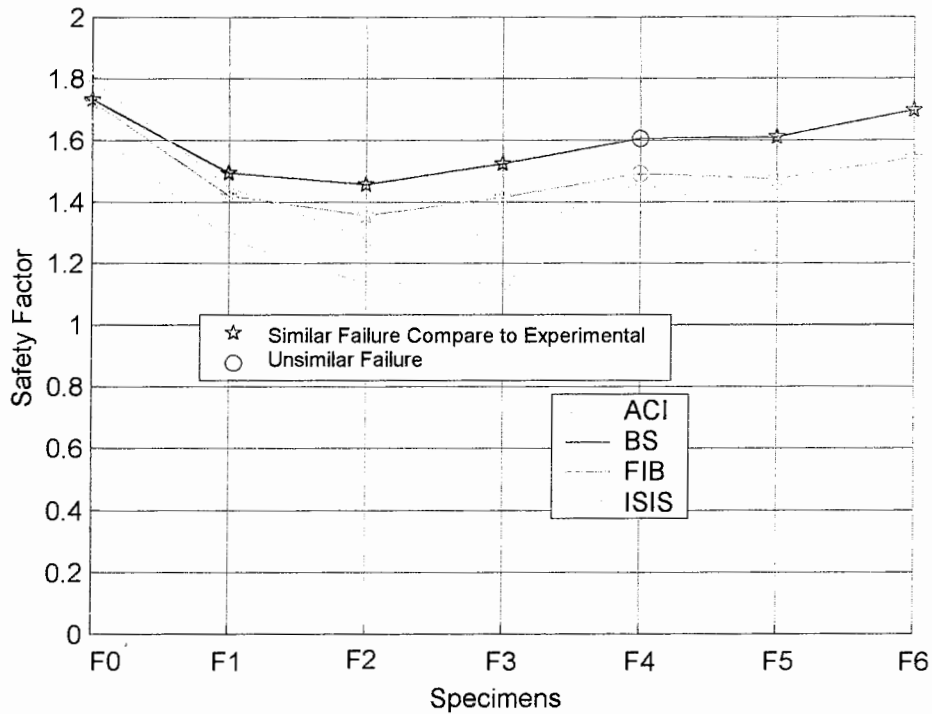
		ACI	BS	FIB	ISIS
تیر شاهد F0	ضریب ایمنی	1.6374	1.7337	1.7285	1.7960
	درصد تطابق مود حاکم گسیختگی	100	100	100	100
تیرهای تقویت شده با FRP سری اول	ضریب ایمنی	1.1834	1.4910	1.3969	1.3413
	انحراف معیار ضرایب ایمنی	0.0669	0.0275	0.0289	0.0751
	درصد تطابق مود حاکم گسیختگی	0	100	100	0
تیرهای تقویت شده با FRP سری دوم	ضریب ایمنی	1.2657	1.6368	1.5030	1.3851
	انحراف معیار ضرایب ایمنی	0.0613	0.0419	0.0292	0.0528
	درصد تطابق مود حاکم گسیختگی	33.33	66.67	66.67	0
کل نمونه ها	ضریب ایمنی	1.2835	1.5882	1.4898	1.4250
	انحراف معیار ضرایب ایمنی	0.1608	0.0957	0.1124	0.1642
	درصد تطابق مود حاکم گسیختگی	28.57	85.71	85.71	14.286



شکل ۴۴-۵ : دیاگرام تغییرات مقاومت نهایی و مود گسیختگی حاکم برای نمونه های سری اول



شکل ۴۵-۵ : دیاگرام تغییرات مقاومت نهایی و مود گسیختگی حاکم برای نمونه های سری دوم



شکل ۴۶-۵ : دیاگرام تغییرات ضرایب ایمنی برای نمونه های مختلف

بررسیها و نتایج بدست آمده از این آزمایش :

همانطور که در نتایج دیده می شود ، با افزایش تعداد لایه ها ، مقاومت نهایی مقطع نیز در هر دو سری نمونه افزایش می یابد . در مقایسه بین دو سری ، دیده می شود که با افزایش مقاومت فشاری بتن ، در نتایج عملی و تئوری ، ظرفیت نهایی مقطع افزایش می یابد . این پارامتر ، تأثیر بیشتری بر نتایج عملی گذاشته است . در حالیکه ISIS نسبت به آیین نامه ها دارای بیشترین تأثیرپذیری است ، BS در این رابطه کمترین وابستگی را به تغییرات در مقاومت فشاری بتن دارد . از لحاظ ضرایب ایمنی نیز می توان گفت که دوباره ACI ، نزدیکترین نتایج را در مجموع ارائه داده است ؛ در حالیکه BS محافظه کارانه ترین نتایج را داراست . همچنین در این آزمایش مشاهده می شود که با افزایش مقاومت بستر ، ضریب ایمنی افزایش یافته است . از لحاظ تطابق مود گسیختگی حاکم نیز می توان گفت که BS و FIB در یک مرتبه بوده و بهترین نتایج را ارائه داده اند ، در حالیکه ISIS ، با درصد بسیار کم تطابق ، بدترین آن را ارائه کرده است . نکته حائز اهمیت در مورد مود گسیختگی آنستکه ، در بعضی حالات ، گسیختگی در سری اول ، از جداسدگی ، به پارگی FRP در سری دوم تبدیل شده است . علت آن را می توان ناشی از بالا رفتن مقاومت بتن فشاری بستر دانست ؛ چراکه کم بودن این مقاومت ، خود در بعضی موارد ، یکی از دلایل جداسدگی FRP است .

## ۸-۲-۵ : آزمایش هشتم مقاومسازی خمی

در این آزمایش که پایان نامه آرش زمردیان [۳۶] ، دانشجوی کارشناسی ارشد دانشگاه امیرکبیر در سال ۱۳۸۲ بوده است ، همانند آزمایش قبلی ، دو سری نمونه با مقاومت بتن متفاوت ساخته شده و با چسباندن GFRP با ضخامت‌های مختلف ، تقویت خمی گردیده است . البته لازم به ذکر است که تنש تسلیم فولاد کششی در سری دوم نسبت به سری اول ، حدود ۱۰۰ MPa کمتر می‌باشد . پارامترها و داده‌های لازم جهت طراحی در جدول ۴۳-۵ گردآوری شده و در نهایت شبیه به دیگر آزمایشها ، با ارائه نتایج در جداول و دیاگرامها با یکدیگر مقایسه شده‌اند .

جدول ۴۳-۵ : خصوصیات تیر و FRP در نمونه‌ها

پارامترها	F-0L-33	F-1L-33	F-2L-33	F-3L-33	F-0L-46	F-1L-46	F-2L-46	F-3L-46
b (mm)	200	200	200	200	200	200	200	200
h (mm)	300	300	300	300	300	300	300	300
d (mm)	264	264	264	264	264	264	264	264
d' (mm)	35	35	35	35	35	35	35	35
b <sub>f</sub> (mm)	---	200	200	200	---	200	200	200
t <sub>f</sub> (mm)	---	1.07	1.75	2.46	---	1.07	1.75	2.46
n <sub>f</sub>	---	1	1	1	---	1	1	1
A <sub>s</sub> (mm <sup>2</sup> )	339.29	339.29	339.29	339.29	339.29	339.29	339.29	339.29
A' <sub>s</sub> (mm <sup>2</sup> )	157.08	157.08	157.08	157.08	157.08	157.08	157.08	157.08
f <sub>c</sub> (MPa)	32.6	32.6	32.6	32.6	45.9	45.9	45.9	45.9
f <sub>cu</sub> (MPa)	41.16	41.16	41.16	41.16	55.9	55.9	55.9	55.9
f <sub>y</sub> (MPa)	553.3	553.3	553.3	553.3	451.1	451.1	451.1	451.1
f <sub>u</sub> (MPa)	334.6	334.6	334.6	334.6	474.1	474.1	474.1	474.1
C <sub>E</sub>	---	146.23	181.55	211.67	---	146.23	181.55	211.67
E <sub>s</sub> (MPa)	197607	197607	197607	197607	196130	196130	196130	196130
E' <sub>s</sub> (MPa)	196823	196823	196823	196823	206130	206130	206130	206130
E <sub>f</sub> (MPa)	---	6092.9	6929.3	7401	---	6092.9	6929.3	7401
γ <sub>mF</sub>	---	4.9	4.9	4.9	---	4.9	4.9	4.9
γ <sub>mE</sub>	---	1.8	1.8	1.8	---	1.8	1.8	1.8
γ <sub>f</sub>	---	1.3	1.3	1.3	---	1.3	1.3	1.3
Φ <sub>f</sub>	---	0.65	0.65	0.65	---	0.65	0.65	0.65

جدول ۴۴-۵ : نتایج مقاومت نهایی و مود گسیختگی حاکم برای نمونه ها

نمونه ها	M <sub>ur</sub> (kN.m)					Failure Mode				
	Exp.	ACI	BS	FIB	ISIS	Exp.	ACI	BS	FIB	ISIS
F-0L-33	59.91	41.73	39.61	39.64	38.36	C	C + Y	C + Y	C + Y	C + Y
F-1L-33	57.324	45.98	41.18	45.46	42.04	R	R + Y	R + Y	C + Y	C + Y
F-2L-33	64.36	49.56	42.82	47.7	44.77	R	D + Y	R + Y	D + Y	C + Y
F-3L-33	79.35	53.22	44.9	49.4	47.4	R	C + Y	R + Y	D + Y	C + Y
F-0L-46	41.361	35.22	33.44	33.5	32.4	C	C + Y	C + Y	C + Y	C + Y
F-1L-46	47.79	39.56	35.01	39.83	37.8	R	R + Y	R + Y	R + Y	C + Y
F-2L-46	53.29	43.28	36.66	42.74	41.66	R	D + Y	R + Y	D + Y	C + Y
F-3L-46	53.91	47.11	38.74	44.78	45.36	R	D + Y	R + Y	D + Y	C + Y

C : خرد شدگی بتن فشاری ( Concrete Crushing )

D : جداشده‌گی ( FRP Debonding )

R : پارگی ( FRP Rupture )

Y : گسیختگی همراه با به تسلیم رسیدن آرماتورهای فولادی کششی ( Yielding )

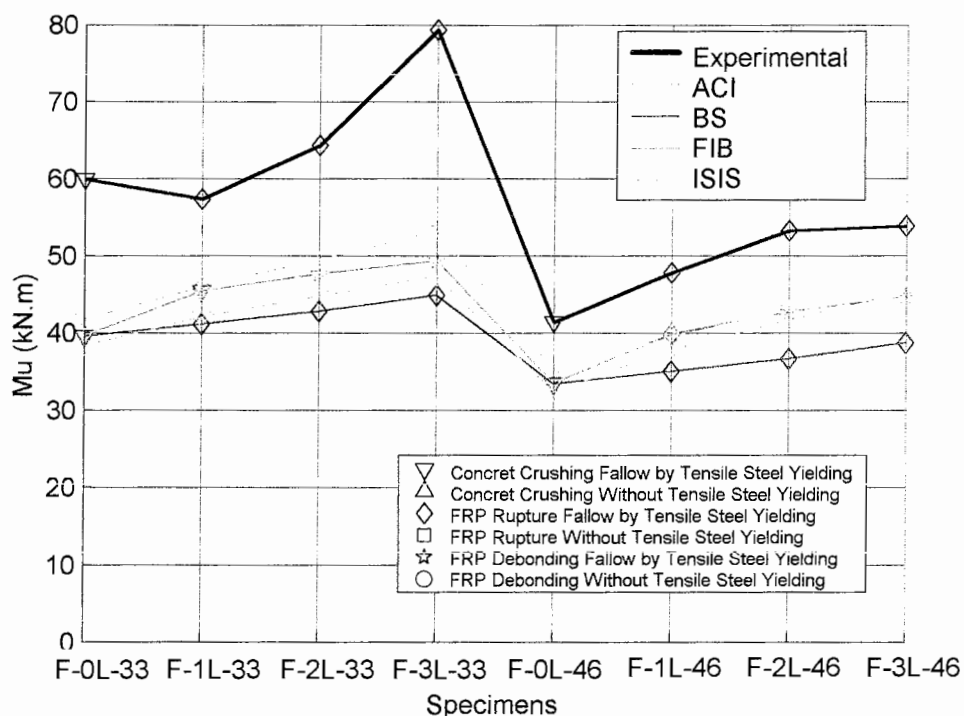
E : گسیختگی بدون به تسلیم رسیدن آرماتورهای فولادی کششی ( Elastic )

جدول ۴۵-۵ : ضرایب ایمنی و انحراف معیار آنها به همراه درصد تطابق مود حاکم گسیختگی نسبت به نتایج آزمایشگاهی

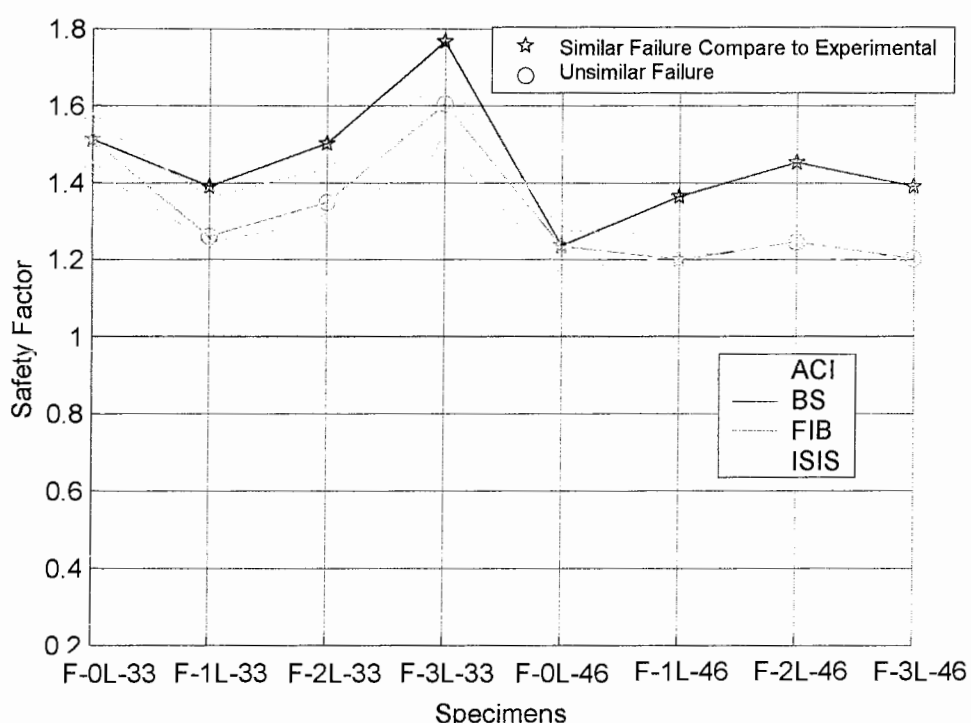
		ACI	BS	FIB	ISIS
تیر شاهد سری اول	ضریب ایمنی	1.4357	1.5125	1.5114	1.5618
	درصد تطابق مود حاکم گسیختگی	100	100	100	100
تیر شاهد سری دوم	ضریب ایمنی	1.1744	1.2369	1.2347	1.2766
	درصد تطابق مود حاکم گسیختگی	100	100	100	100
تیرهای تقویت شده با FRP سری اول	ضریب ایمنی	1.3454	1.5541	1.4055	1.4917
	انحراف معیار ضرایب ایمنی	0.1051	0.1574	0.1465	0.1324
	درصد تطابق مود حاکم گسیختگی	33.33	100	0	0
تیرهای تقویت شده با FRP سری دوم	ضریب ایمنی	1.1946	1.4034	1.2169	1.2440
	انحراف معیار ضرایب ایمنی	0.0368	0.0371	0.0213	0.0397
	درصد تطابق مود حاکم گسیختگی	33.33	100	33.33	0
کل نمونه ها	ضریب ایمنی	1.2788	1.4527	1.3266	1.3807
	انحراف معیار ضرایب ایمنی	0.1158	0.1444	0.1428	0.1557
	درصد تطابق مود حاکم گسیختگی	50	100	37.5	25

جدول ۴۶-۵ : میانگین درصد کاهش مقاومت نهایی سری دوم نمونه ها نسبت به سری اول

ISIS	FIB	BS	ACI	Exp.	Mیانگین درصد کاهش مقاومت
9.25	12.25	15	13.75	23.75	



شکل ۴۷-۵ : دیاگرام تغییرات مقاومت نهایی و مود گسیختگی حاکم برای نمونه های مختلف



شکل ۴۸-۵ : دیاگرام تغییرات ضرایب ایمنی برای نمونه های مختلف

بررسیها و نتایج بدست آمده از این آزمایش:

همانطور که در نتایج دیده می شود در هر دو سری نمونه ها ، با افزایش ضخامت ، مقاومت نهایی مقطع نیز چه در نتایج عملی و چه در نتایج تئوری افزایش می یابد . تنها در یک مورد از نتایج عملی ( F-1L-33 ) ، این موضوع نقض شده است . استدلال کسی که نتایج این آزمایش را بدست آورده است ، آنستکه FRP به دلیل تنش کششی بسیار کم شد و به علت ضخامت کم آن در لحظات اولیه دچار گسیختگی زودهنگام می گردد ؛ این در حالی است که بعد از پارگی FRP ، مقاومت مقطع قابلیت رسیدن به حالت قبل از تقویت را دارد و بنابراین درصد افزایش مقاومت در این مورد صفر می باشد . اما در مقایسه دو سری می توان دید که هم در نتایج عملی و هم در نتایج تئوری ، کاهشی در نتایج سری دوم نسبت به سری اول دیده می شود . این در حالی است مقاومت فشاری بتن و تنش تسلیم آرماتور فشاری در سری دوم ، هر کدام نزدیک 40 درصد نسبت به سری اول افزایش داشته است .

اما تفاوت دیگر سری دوم نسبت به سری اول در مقاومت تسلیم آرماتورهای فولادی کششی می باشد . همانطور که دیده می شود در سری دوم مقاومت تسلیم آرماتورهای کششی حدود 20 درصد کمتر از سری اول است . براین اساس ، میانگین درصد کاهش مقاومت نهایی در جدول ۴۶-۵ آورده شده است . با توجه به این جدول ، BS بیشترین تأثیر و ISIS کمترین تأثیر را پذیرفته است ، در حالیکه نتایج عملی نسبت به تمامی نتایج آیین نامه ها ، تأثیر بیشتری را گرفته است .

مجددا در این آزمایش نیز ، ACI کمترین ضرب ایمنی را دارا بوده در حالیکه BS بیشترین آن را از خود نشان داده است . در این آزمایش نیز ، سری دوم نمونه ها نسبت به سری اول دارای ضرب ایمنی کمتری است . از لحاظ تطابق مود گسیختگی حاکم ، BS بیشترین درصد و ISIS کمترین مقدار آن را دارد .

## ۹-۲-۵: آزمایش نهم مقاومسازی خمثی

در این آزمایش که توسط M. Shokrieh [۲۸] انجام شده است، دو نمونه تیر مورد بررسی قرار گرفته اند. تیر اول ( Beam-A ) به عنوان تیر شاهد و تیر دوم ( Beam-B )، تیر مقاومسازی شده با GFRP می باشد. داده های لازم در جدول ۴۷-۵ آورده شده اند. نتایج نیز همانند دیگر آزمایشها به صورت جداول و دیاگرامهای ارائه گردیده اند.

جدول ۴۷-۵: خصوصیات تیر و FRP در نمونه ها

پارامترها	Beam-A	Beam-B
b (mm)	152	152
h (mm)	152	152
d (mm)	116	116
d' (mm)	36	36
b <sub>f</sub> (mm)	---	152
t <sub>f</sub> (mm)	---	0.3
n <sub>f</sub>	---	5
A <sub>s</sub> (mm <sup>2</sup> )	157	157
A' (mm <sup>2</sup> )	56.52	56.52
f <sub>c</sub> (MPa)	37	37
f <sub>cu</sub> (MPa)	47	47
f <sub>y</sub> (MPa)	450	450
f' <sub>y</sub> (MPa)	450	450
f <sub>fu</sub> (MPa)	---	210
C <sub>E</sub>	---	0.75
E <sub>s</sub> (MPa)	200000	200000
E <sub>f</sub> (MPa)	---	42000
γ <sub>mF</sub>	---	4.9
γ <sub>mE</sub>	---	1.8
γ <sub>f</sub>	---	1.3
φ <sub>f</sub>	---	0.65

جدول ۴۸-۵: نتایج مقاومت نهایی و مود گسیختگی حاکم برای نمونه ها

نمونه ها	M <sub>ur</sub> (kN.m)					Failure Mode				
	Exp.	ACI	BS	FIB	ISIS	Exp.	ACI	BS	FIB	ISIS
Beam-A	10.71	7.2	6.74	6.7	6.4	C	C + Y	C + Y	C + Y	C + Y
Beam-B	19.11	8.07	7.6	10.92	10.14	R	R + Y	R + Y	R + Y	R + Y

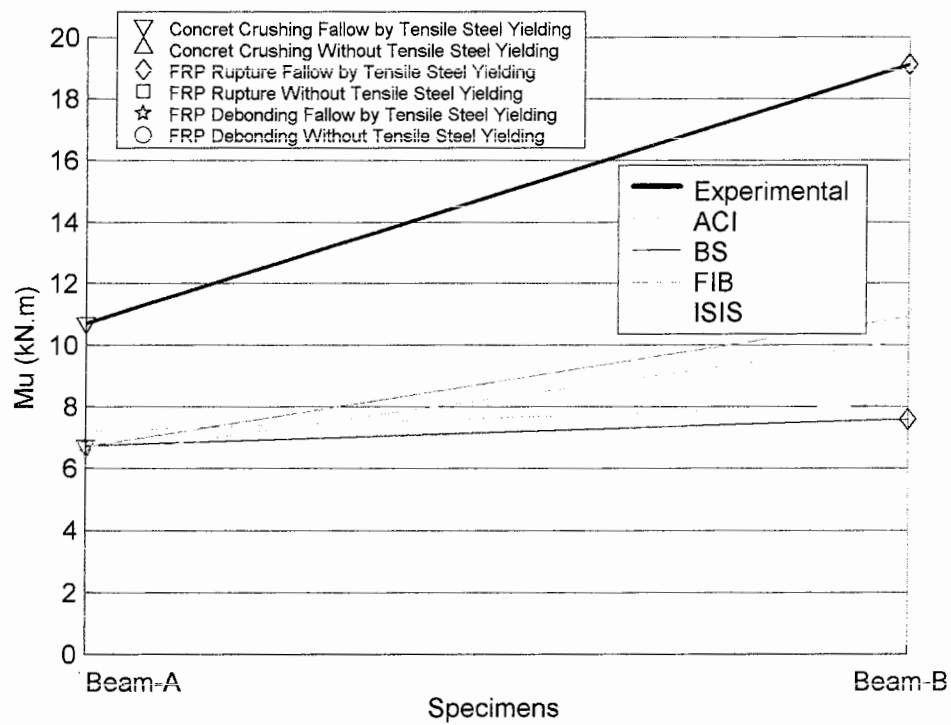
C : خرد شدگی بتن فشاری ( Concrete Crushing )

D : جداشده شدن FRP ( FRP Debonding )

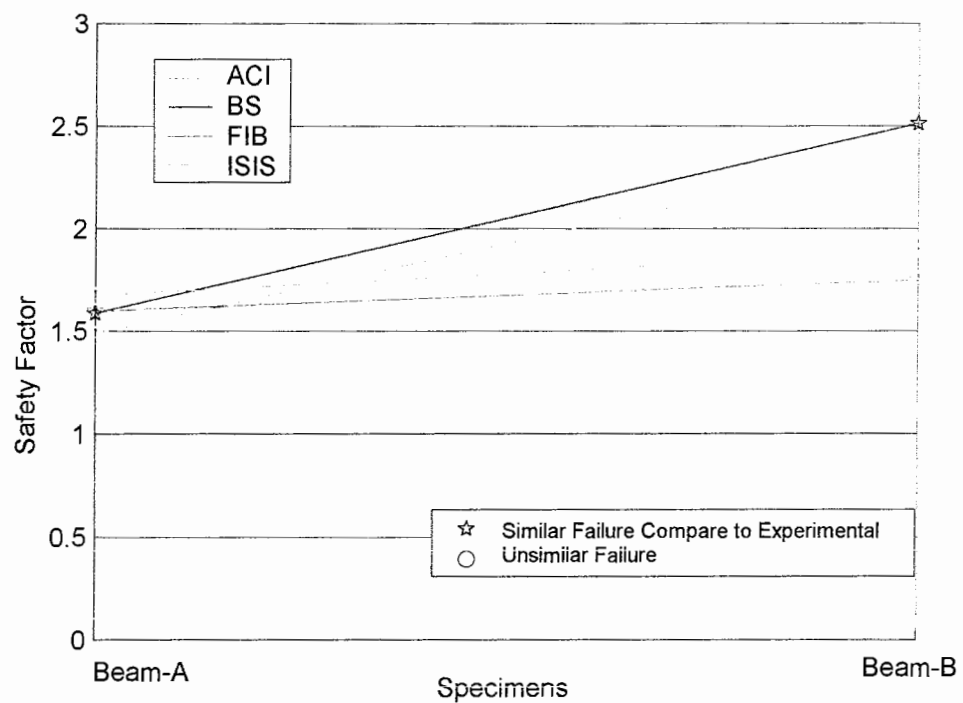
R : پارگی FRP ( FRP Rupture )

Y : گسیختگی همراه با به تسليم رسیدن آرماتورهای فولادی کششی ( Yielding )

E : گسیختگی بدون به تسليم رسیدن آرماتورهای فولادی کششی ( Elastic )



شکل ۴۹-۵ : دیاگرام تغییرات مقاومت نهایی و مود گسیختگی حاکم برای نمونه های مختلف



شکل ۵۰-۵ : دیاگرام تغییرات ضرایب ایمنی برای نمونه های مختلف

جدول ۴۹-۵ : ضرایب ایمنی و انحراف معیار آنها به همراه درصد تطابق مود حاکم گسیختگی  
نسبت به نتایج آزمایشگاهی

		ACI	BS	FIB	ISIS
تیر شاهد	ضریب ایمنی	1.4875	1.5890	1.5985	1.6734
	درصد تطابق مود حاکم گسیختگی	100	100	100	100
تیر تقویت شده	ضریب ایمنی	2.368	2.5145	1.75	1.8846
	درصد تطابق مود حاکم گسیختگی	100	100	100	100
کل نمونه ها	ضریب ایمنی	1.9278	2.0517	1.6743	1.7790
	انحراف معیار ضرایب ایمنی	0.4403	0.4627	0.0757	0.1056
	درصد تطابق مود حاکم گسیختگی	100	100	100	100

بررسیها و نتایج بدست آمده از این آزمایش :

بر اساس نتایج در این آزمایش نیز با افزایش ضخامت ، ظرفیت نهایی تیر ، افزایش یافته است .  
اما درصد این افزایش در ACI و BS کمتر از FIB و ISIS می باشد . طبق آزمایشات قبل ، کمتر بودن نتایج BS نسبت به دیگر آیین نامه ها منطقی می باشد . اما کمتر شدن نتایج ACI برای تیر تقویت شده را می توان ناشی از روابط طراحی ACI دانست . براین اساس با توجه به اینکه تعداد لایه های FRP به حد پنج لایه رسیده و با توجه به اینکه ACI در مقایسه با دیگر آیین نامه ها نسبت به تعدد لایه های FRP تأثیر بیشتری می پذیرد ، مقدار آن نسبت به FIB و ISIS کمتر گردیده است . جهت تأیید این موضوع می توان دیاگرام را در ضخامت کمتر بررسی کرد . با توجه به اینکه تنها فرق نمونه تیر A و تیر B در تعداد لایه هاست ، می توان محور افقی را نمایانگر تغییرات تعداد لایه ها دانست . با این فرض همانطور که دیده می شود ، در تعداد لایه های کم ، مقدار ACI از FIB و ISIS نیز بیشتر می باشد . با توجه به این نتایج و بررسیها ، مشاهده می شود که ضریب ایمنی FIB و ISIS به ترتیب از دو آیین نامه ACI و BS کمتر بوده در حالی که BS مجدداً محافظه کارانه ترین نتایج را ارائه می دهد . از لحاظ تطابق مود گسیختگی برای تمامی موارد آیین نامه ها ، تطابق کامل صورت گرفته است .

## ۱۰-۲-۵ : آزمایش دهم مقاومسازی خمی

در این آزمایش که توسط M. Arduini & A. Di Tammaso & A. Nanni [۶] ، انجام شده ، دو سری نمونه مورد بررسی قرار گرفته اند . سری اول (A) تیرهایی با ابعاد  $200 \times 200 \text{ mm}^2$  توسط نوع I مقاومسازی شده اند . سری دوم (B) ، تیرهایی با ابعاد  $300 \times 400 \text{ mm}^2$  توسط نوع II ، مقاومسازی خمی گردیده اند . در هر دو سری ، یک نمونه به گونه ای است که لایه های FRP توسط فابریکهای عمود بر محور طولی ، مهار شده اند (A4 و B4) . سایر داده های لازم جهت طراحی در جدول ۵-۰ ارائه شده است . نتایج آزمایش و محاسبات در جداول و دیاگرامهایی جهت بررسی و مقایسه ، آورده شده اند .

جدول ۵-۰ : خصوصیات تیر و FRP در نمونه ها

پارامترها	A1	A2	A3	A4	B1	B2	B3	B4
b (mm)	200	200	200	200	300	300	300	300
h (mm)	200	200	200	200	400	400	400	400
d (mm)	163	163	163	163	350	350	350	350
d' (mm)	37	37	37	37	50	50	50	50
b <sub>f</sub> (mm)	---	150	150	150	---	300	300	300
t <sub>f</sub> (mm)	---	1.3	1.3	1.3	---	0.17	0.17	0.17
n <sub>f</sub>	---	1	2	2	---	1	3	3
A <sub>s</sub> (mm <sup>2</sup> )	307.88	307.88	307.88	307.88	398.2	398.2	398.2	398.2
A's (mm <sup>2</sup> )	307.88	307.88	307.88	307.88	265.46	265.46	265.46	265.46
f <sub>c</sub> (MPa)	33	33	33	33	30	30	30	30
f <sub>cu</sub> (MPa)	41.8	41.8	41.8	41.8	37	37	37	37
f <sub>y</sub> (MPa)	540	540	540	540	340	340	340	340
f <sub>fu</sub> (MPa)	---	2906	2906	2906	---	3000	3000	3000
C <sub>E</sub>	---	0.95	0.95	0.95	---	0.95	0.95	0.95
E <sub>s</sub> (MPa)	200000	200000	200000	200000	200000	200000	200000	200000
E <sub>f</sub> (MPa)	---	167000	167000	167000	---	400000	400000	400000
γ <sub>mF</sub>	---	1.54	1.54	1.54	---	1.96	1.96	1.96
γ <sub>mE</sub>	---	1.1	1.1	1.1	---	1.1	1.1	1.1
γ <sub>f</sub>	---	1.2	1.2	1.2	---	1.35	1.35	1.35
ϕ <sub>f</sub>	---	0.75	0.75	0.75	---	0.70	0.70	0.70

جدول ۵۱-۵ : نتایج مقاومت نهایی و مود گسیختگی حاکم برای نمونه ها

نمونه ها	$M_{ur}$ (kN.m)					Failure Mode				
	Exp.	ACI	BS	FIB	ISIS	Exp.	ACI	BS	FIB	ISIS
A1	25.2	22.19	20.77	20.74	19.97	C	C + Y	C + Y	C + Y	C + Y
A2	38.5	45.7	33.58	35.13	43.46	D	C + Y	D + Y	D + E	C + Y
A3	31.15	36.9	38.9	36.14	52.23	D	D + E	D + Y	D + E	C + Y
A4	42	47.27	61.72	61.03	52.23	Shear	C + Y	C + Y	C + Y	C + Y
B1	52.25	43.53	40.94	40.87	39.51	C	C + Y	C + Y	C + Y	C + Y
B2	93.5	78.92	63.8	77.75	77.44	R	R + Y	R + Y	D + Y	R + Y
B3	123.75	148.5	87.65	103.9	149.3	D	R + Y	D + Y	D + Y	R + Y
B4	148.5	159.7	109.5	157.3	149.3	Shear	R + Y	R + Y	R + Y	R + Y

C : خرد شدگی بتن فشاری ( Concrete Crushing )

D : جدائشگی FRP ( FRP Debonding )

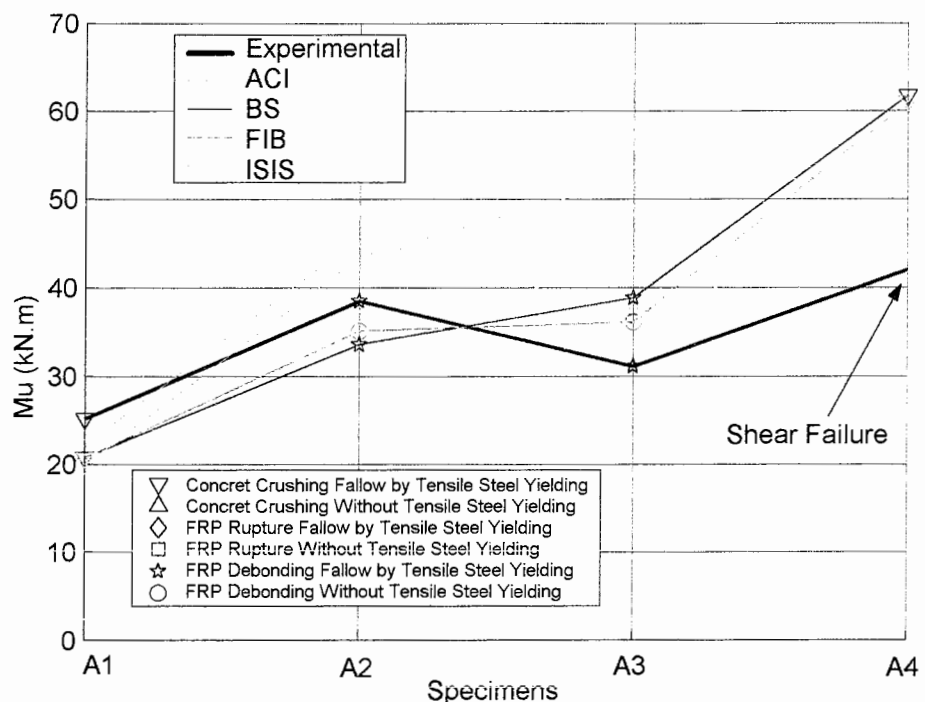
R : پارگی FRP ( FRP Rupture )

Y : گسیختگی همراه با به تسلیم رسیدن آرماتورهای فولادی کششی ( Yielding )

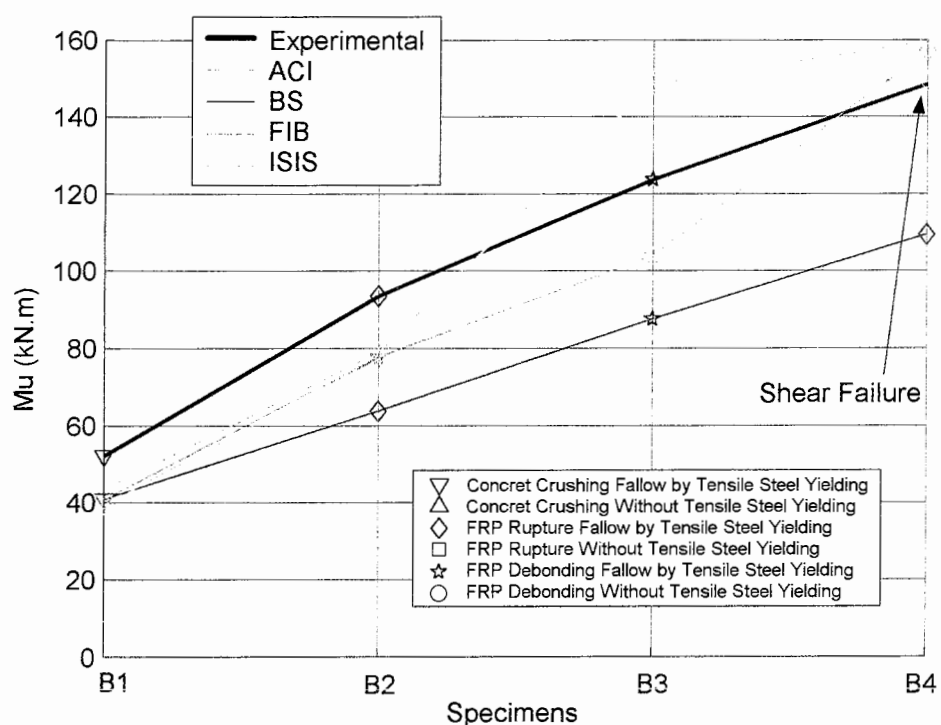
E : گسیختگی بدون به تسلیم رسیدن آرماتورهای فولادی کششی ( Elastic )

جدول ۵۲-۵ : ضرایب ایمنی و انحراف معیار آنها به همراه درصد تطابق مود حاکم گسیختگی  
نسبت به نتایج آزمایشگاهی

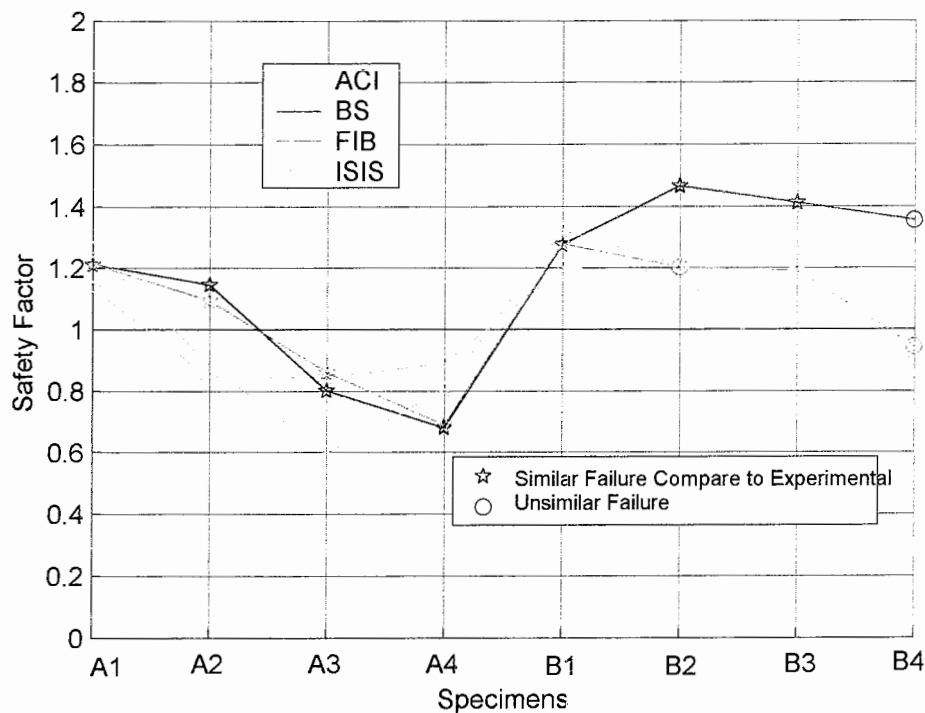
		ACI	BS	FIB	ISIS
تیر شاهد سری A	ضریب ایمنی	1.1356	1.2133	1.215	1.2619
	درصد تطابق مود حاکم گسیختگی	100	100	100	100
تیر شاهد سری B	ضریب ایمنی	1.2003	1.2763	1.2784	1.3225
	درصد تطابق مود حاکم گسیختگی	100	100	100	100
تیرهای تقویت شده با FRP سری A	ضریب ایمنی	0.8584	0.8759	0.8820	0.7621
	انحراف معیار ضرایب ایمنی	0.0213	0.1975	0.1671	0.1219
	درصد تطابق مود حاکم گسیختگی	66.67	100	100	33.33
تیرهای تقویت شده با FRP سری B	ضریب ایمنی	0.9826	1.4113	1.1126	1.0104
	انحراف معیار ضرایب ایمنی	0.1483	0.0447	0.1191	0.1549
	درصد تطابق مود حاکم گسیختگی	33.33	66.67	33.33	33.33
کل نمونه ها	ضریب ایمنی	0.9824	1.1689	1.0597	0.9877
	انحراف معیار ضرایب ایمنی	0.1518	0.267	0.1941	0.2392
	درصد تطابق مود حاکم گسیختگی	62.5	87.5	75	50



شکل ۵۱-۵ : دیاگرام تغییرات مقاومت نهایی و مود گسیختگی حاکم برای نمونه های سری A



شکل ۵۲-۵ : دیاگرام تغییرات مقاومت نهایی و مود گسیختگی حاکم برای نمونه های سری B



شکل ۵-۵ : دیاگرام تغییرات ضرایب ایمنی برای نمونه های مختلف

بررسیها و نتایج بدست آمده از این آزمایش :

همانطور که در نتایج دیاگرام مربوط به A مشاهده می شود ، با افزایش تعداد لایه های FRP برای A2 ، مقاومت مقطع افزایش یافته ، ولی با افزایش بیشتر آن برای A3 ، به دلیل غلبه اثر پدیده جداشده ای بر اثر تقویتی FRP ، مقدار آن کاهش یافته است . در نهایت در نمونه A4 ، با ایجاد یک مهار توسط FRP های برشی ، تا حدی اثر این پدیده کنترل شده و در نتیجه مقدار مقاومت مقطع تا حد مقاومت برشی آن افزایش یافته است . این اثر مهار در نمونه های سری B نیز مشاهده می شود با این تفاوت که در حالت قبل از مهار نیز چون ضخامت هر لایه FRP کم است ، تأثیر پدیده جداشده ای کمتر شده و از مرحله یک لایه FRP به دو لایه FRP برای نمونه های B2 به B3 ، افزایشی در مقاومت نهایی مشاهده می شود . اما نتایج آیین نامه ها نشان می دهد که ACI در سری اول تطابق خوبی داشته و اثر جداشده ای در آن بروز کرده است . اما به طور کلی در تمام آیین نامه ها نتایج به گونه ای است که با افزایش لایه های FRP بیشتر از یک لایه ، اثر جداشده ای به شدت در نتایج عملی دیده شده در حالیکه در نتایج تئوری کمتر جلوه گر شده و باعث شده است که نتایج آیین نامه ها از نتایج عملی نیز بیشتر گردد . البته ضریب ایمنی در حالت قبل از مقاومسازی نیز از حد نرمال خود که در دیگر آزمایشها تقریبا ثابت بود ، کمتر شده (جدول ۶-۵) و لذا جهت مقایسه بهتر می توان این نتایج را در معکوس نسبت این کاهش ضرب نمود تا نتایج به طور واقع بینانه تر نشان داده شوند . براین اساس باید نتایج عملی سری A را در ضریب ۱.۲۳ و سری B را در

1.17 ضرب نمود . نتایج حاصله براین مینا در جدول ۵-۵ آورده شده است . همانطور که مشاهده می شود ، نتایج آزمایشگاهی تقریبا بالای نتایج تئوری قرار می گیرد .

جدول ۵-۵ : ضرایب ایمنی اصلاح شده

	<b>ACI</b>	<b>BS</b>	<b>FIB</b>	<b>ISIS</b>
تیرهای تقویت شده با FRP سری A	1.0558	1.0773	1.0849	0.9374
تیرهای تقویت شده با FRP سری B	1.1496	1.6512	1.3017	1.1822
کل نمونه ها	1.1781	1.3957	1.2673	1.1817

اما نکته دیگری که در بحث مهار مطرح می شود ، آنستکه نتایج ISIS در اثر مهار FRP هیچ تغییری نکرده است . علت آن نیز همانطور که قبله گفته شد ناشی از روابط طراحی این آیین نامه است ؛ چراکه در این آیین نامه کلا پدیده جداشدگی صرفنظر شده و لذا حذف اثر جداشدگی هیچ تفاوتی در نتایج این آیین نامه نخواهد گذاشت .

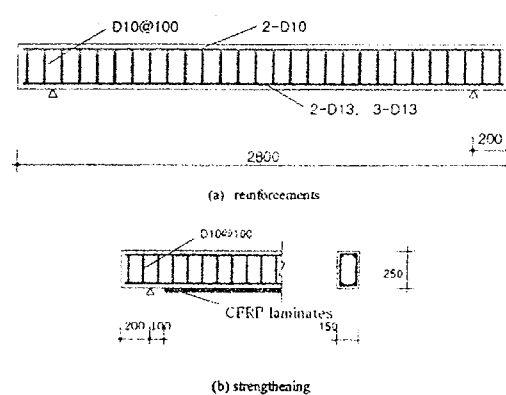
در این آزمایش ، همانند اکثر آزمایشها ، ترتیب قرارگیری ضرایب ایمنی و درصد تطابق مود گسیختگی حاکم نسبت به نتایج عملی برای ضریب ایمنی به صورت  $ACI < ISIS < FIB < BS$  و برای درصد تطابق مود گسیختگی حاکم به صورت  $BS > FIB > ACI > ISIS$  می باشد .

## ۱۱-۲-۵ : آزمایش یازدهم مقاومسازی خمی

در این آزمایش که توسط [۲۷] Y. Soo Shin & C. Lee انجام شده است، اثر تغییرات مقدار آرماتورهای فولادی کششی بر مقاومت نهایی بررسی می‌گردد. در این آزمایش چهار نمونه بررسی شده که دو تای آن به وسیله CFRP مقاومسازی خمی می‌گردند. بارگذاری به صورت چهار نقطه‌ای بوده و نحوه آرماتوربندی به صورت شکل ۵-۵ می‌باشد. سایر پارامترهای لازم جهت طراحی در جدول ۵-۵ ارائه شده است. جداول و دیاگرامهای نتایج نیز ارائه گردیده‌اند.

جدول ۵-۵ : خصوصیات تیر و FRP در نمونه‌ها

پارامترها	R2C	R2O	R3C	R3O
b (mm)	150	150	150	150
h (mm)	250	250	250	250
d (mm)	220	220	220	220
d' (mm)	30	30	30	30
b <sub>f</sub> (mm)	---	13	---	13
t <sub>f</sub> (mm)	---	0.22	---	0.22
n <sub>f</sub>	---	2	---	2
A <sub>s</sub> (mm <sup>2</sup> )	254	254	381	381
A' (mm <sup>2</sup> )	142	142	142	142
f' (MPa)	18	18	18	18
f <sub>cu</sub> (MPa)	22.5	22.5	22.5	22.5
f <sub>y</sub> (MPa)	435	435	435	435
f <sub>fu</sub> (MPa)	---	3000	---	3000
C <sub>E</sub>	---	0.95	---	0.95
E <sub>s</sub> (MPa)	200000	200000	200000	200000
E <sub>f</sub> (MPa)	---	375000	---	375000
γ <sub>mF</sub>	---	1.96	---	1.96
γ <sub>mE</sub>	---	1.1	---	1.1
γ <sub>f</sub>	---	1.35	---	1.35
ϕ <sub>f</sub>	---	0.75	---	0.75



شکل ۵-۵ : نحوه آرماتوربندی نمونه‌ها

جدول ۵-۵ : نتایج مقاومت نهایی و مود گسیختگی حاکم برای نمونه ها

نمونه ها	$M_{ur}$ (kN.m)					Failure Mode				
	Exp.	ACI	BS	FIB	ISIS	Exp.	ACI	BS	FIB	ISIS
R2C	23.1	19.77	18.84	18.89	18.28	C + Y	C + Y	C + Y	C + Y	C + Y
R2O	31.5	22.05	20.25	20.35	20.81	D	R + Y	D + Y	D + Y	R + Y
R3C	34.8	28.72	27.38	27.42	26.4	C + Y	C + Y	C + Y	C + Y	C + Y
R3O	46	30.83	28.79	28.65	28.6	D	R + Y	D + Y	D + E	C + Y

C : خرد شدگی بتن فشاری ( Concrete Crushing )

D : جداشده‌گی ( FRP Debonding )

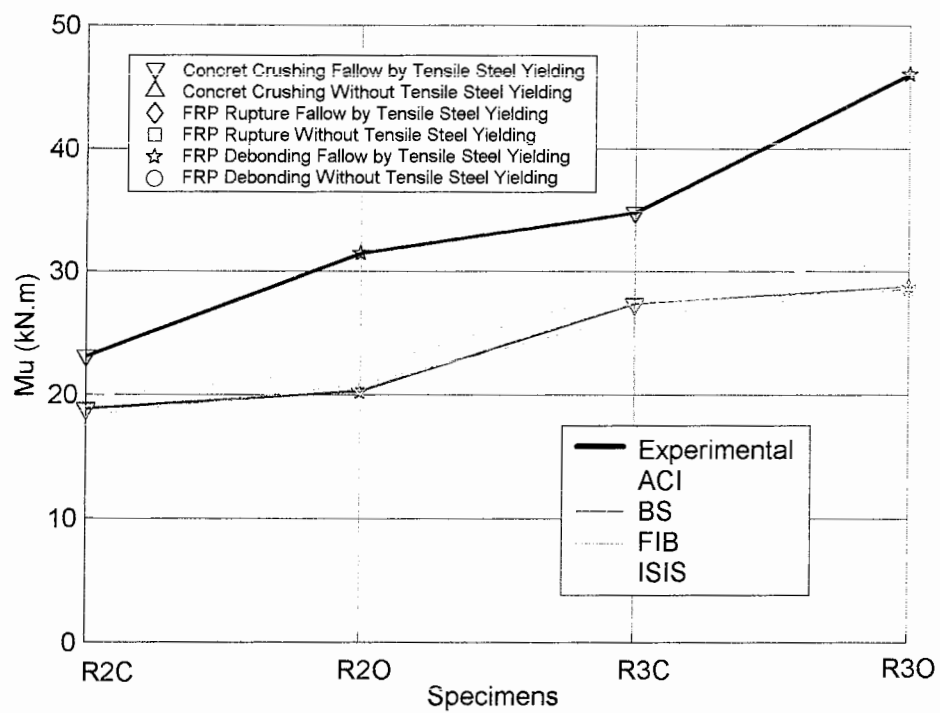
R : پارگی ( FRP Rupture )

Y : گسیختگی همراه با به تسلیم رسیدن آرماتورهای فولادی کششی ( Yielding )

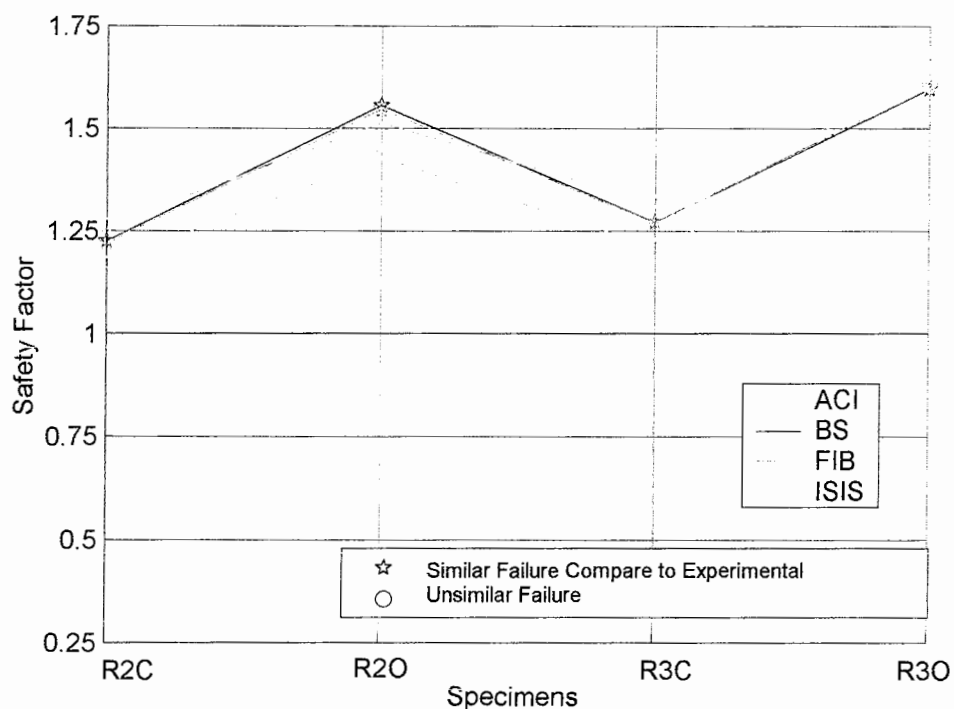
E : گسیختگی بدون به تسلیم رسیدن آرماتورهای فولادی کششی ( Elastic )

جدول ۵-۶ : ضرایب ایمنی و انحراف معیار آنها به همراه درصد تطابق مود حاکم گسیختگی نسبت به نتایج آزمایشگاهی

		ACI	BS	FIB	ISIS
تیر شاهد سری اول	ضریب ایمنی	1.1684	1.2261	1.2229	1.2637
	درصد تطابق مود حاکم گسیختگی	100	100	100	100
تیر شاهد سری دوم	ضریب ایمنی	1.2117	1.271	1.2691	1.3182
	درصد تطابق مود حاکم گسیختگی	100	100	100	100
تیرهای تقویت شده با FRP	ضریب ایمنی	1.4603	1.5767	1.5767	1.561
	انحراف معیار ضرایب ایمنی	0.0317	0.0211	0.0288	0.0473
	درصد تطابق مود حاکم گسیختگی	0	100	100	0
کل نمونه ها	ضریب ایمنی	1.3252	1.4126	1.4114	1.4260
	انحراف معیار ضرایب ایمنی	0.1378	0.1655	0.1674	0.1405
	درصد تطابق مود حاکم گسیختگی	50	100	100	50



شکل ۵۵-۵ : دیاگرام تغییرات مقاومت نهایی و مود گسیختگی حاکم برای نمونه های مختلف



شکل ۵۶-۵ : دیاگرام تغییرات ضرایب ایمنی برای نمونه های مختلف

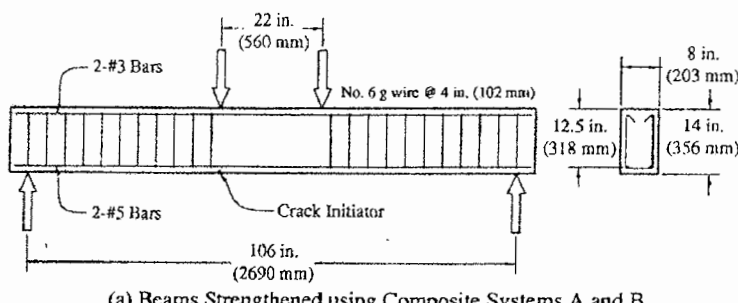
بررسیها و نتایج بدست آمده از این آزمایش :

براساس دیاگرامها ، همانطور که مشاهده می شود ، در نتایج عملی و تئوری اثر افزایش مساحت آرماتور کششی به میزان 50 درصد ، از اثر افزایش مقاومت مقطع به کمک دو لایه FRP بیشتر است ؛ اما تفاوتی که وجود دارد آنستکه درصد افزایش مقاومت با نصب FRP در نتایج عملی بیشتر از نتایج تئوری گردیده است . در مقایسه بین نتایج آین نامه ها می توان گفت که نتیجه بسیار مشابهی ارائه داده اند . در تمامی این آین نامه ها با افزایش مساحت آرماتور کششی ، ضریب ایمنی کمی افزایش یافته که نشاندهنده آنستکه ، همانطور که گفته شد ، اثر افزایش مساحت آرماتورهای کششی در نتایج عملی بیشتر گردد .

در این آزمایش نیز در مجموع ACI نزدیکترین جوابها را ارائه داده در حالیکه ISIS و با فاصله کمی از آن BS و FIB ، نتایج محافظه کارانه تری را از خود نشان می دهند . از لحاظ تطابق مود حاکم گسیختگی با نتایج عملی نیز ، BS و FIB با مقدار 100 درصد بهترین جوابها و ACI و ACI با 50 درصد تطابق ، در رتبه بعدی قرار دارند .

## ۱۲-۲-۵ : آزمایش دوازدهم مقاومسازی خمشی

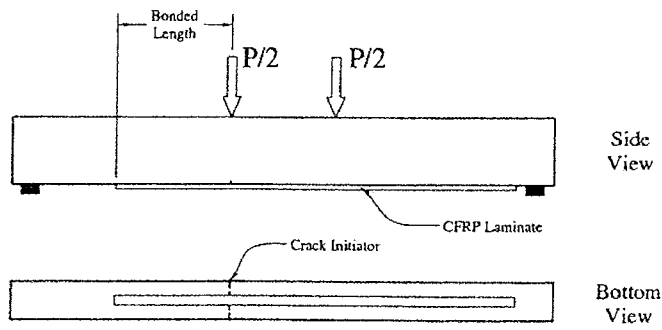
در این آزمایش که توسط Sergio F. Brena [۸] انجام شده است، یکسری نمونه با آرایشهای مختلفی توسط CFRP مقاومسازی خمشی شده اند. در این راستا، نحوه بارگذاری، آرماتوربندی و مقاومسازی و آرایشهای مختلف آن برای نمونه های مختلف در شکلهای ۵۷-۵ و ۵۸-۵ نشان داده شده است.



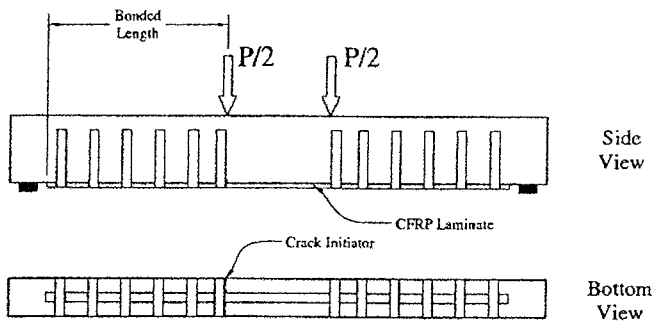
شکل ۵۷-۵ : نحوه آرماتوربندی نمونه ها

جدول ۵۷-۵ : خصوصیات تیر و FRP در نمونه ها

پارامترها	Control	A1	A2	B1	B2	B3
b (mm)	203	203	203	203	203	203
h (mm)	356	356	356	356	356	356
d (mm)	318	318	318	318	318	318
d' (mm)	38	38	38	38	38	38
b <sub>f</sub> (mm)	---	50	100	75	50	50
t <sub>f</sub> (mm)	---	0.165	0.165	0.168	0.168	0.168
n <sub>f</sub>	---	2	1	2	2	2
A <sub>s</sub> (mm <sup>2</sup> )	400	400	400	400	400	400
A' <sub>s</sub> (mm <sup>2</sup> )	142	142	142	142	142	142
f <sub>c</sub> (MPa)	35.1	35.1	37.2	37.2	37.2	34.3
f <sub>cu</sub> (MPa)	45.1	45.1	47.2	47.2	47.2	43.9
f <sub>y</sub> (MPa)	440	440	440	440	440	438
f <sub>ft</sub> (MPa)	---	3790	3790	3400	3400	3400
C <sub>E</sub>	---	0.95	0.95	0.95	0.95	0.95
E <sub>s</sub> (MPa)	200000	200000	200000	200000	200000	200000
E <sub>f</sub> (MPa)	---	230000	230000	230000	230000	230000
γ <sub>mF</sub>	---	1.96	1.96	1.96	1.96	1.96
γ <sub>mE</sub>	---	1.1	1.1	1.1	1.1	1.1
γ <sub>f</sub>	---	1.35	1.35	1.35	1.35	1.35
ϕ <sub>f</sub>	---	0.75	0.75	0.75	0.75	0.75
Configuration	I	I	I	I	II	II



(a) CFRP Configuration I



(b) CFRP Configuration II

شکل ۵۸-۵ : نحوه بارگذاری و مقاومسازی نمونه ها

جدول ۵۸-۵ : نتایج مقاومت نهایی و مود گسیختگی حاکم برای نمونه ها

نمونه ها	M <sub>ur</sub> (kN.m)					Failure Mode				
	Exp.	ACI	BS	FIB	ISIS	Exp.	ACI	BS	FIB	ISIS
<b>Control</b>	64.32	48.1	45.8	45.75	44.34	C + Y	C + Y	C + Y	C + Y	C + Y
<b>A1</b>	67.04	60.3	52.45	53.5	59	D	D + Y	D + Y	D + Y	R + Y
<b>A2</b>	68.69	61.35	54.32	56.16	59.21	D	R + Y	D + Y	D + Y	R + Y
<b>B1</b>	70.61	66.15	55.43	57.36	64.56	D	R + Y	D + Y	D + Y	R + Y
<b>B2</b>	75.56	61.54	54.3	60.77	57.93	R	R + Y	R + Y	R + Y	R + Y
<b>B3</b>	70.61	61.05	53.9	60.31	57.46	R	R + Y	R + Y	R + Y	R + Y

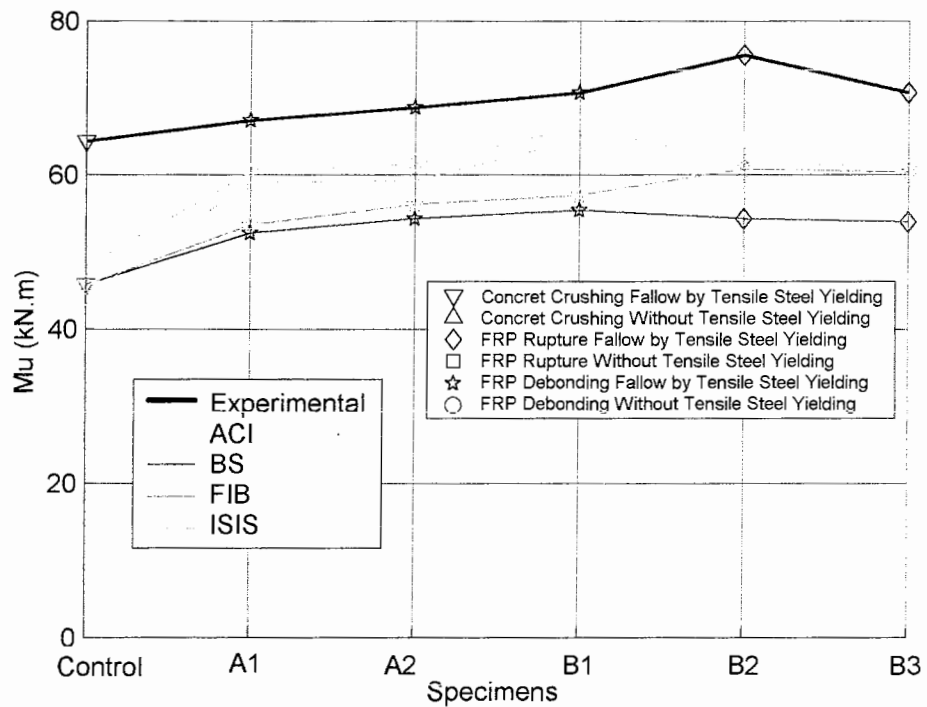
C : خرد شدگی بتن فشاری ( Concrete Crushing )

D : جداشدگی FRP ( FRP Debonding )

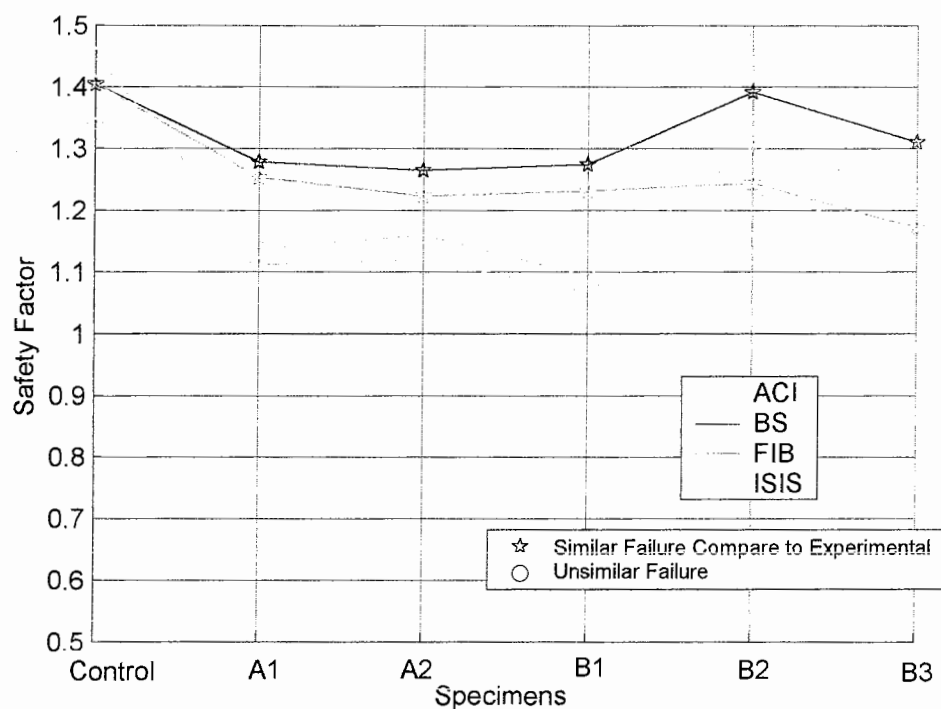
R : پارگی FRP ( FRP Rupture )

Y : گسیختگی همراه با به تسلیم رسیدن آرماتورهای فولادی کششی ( Yielding )

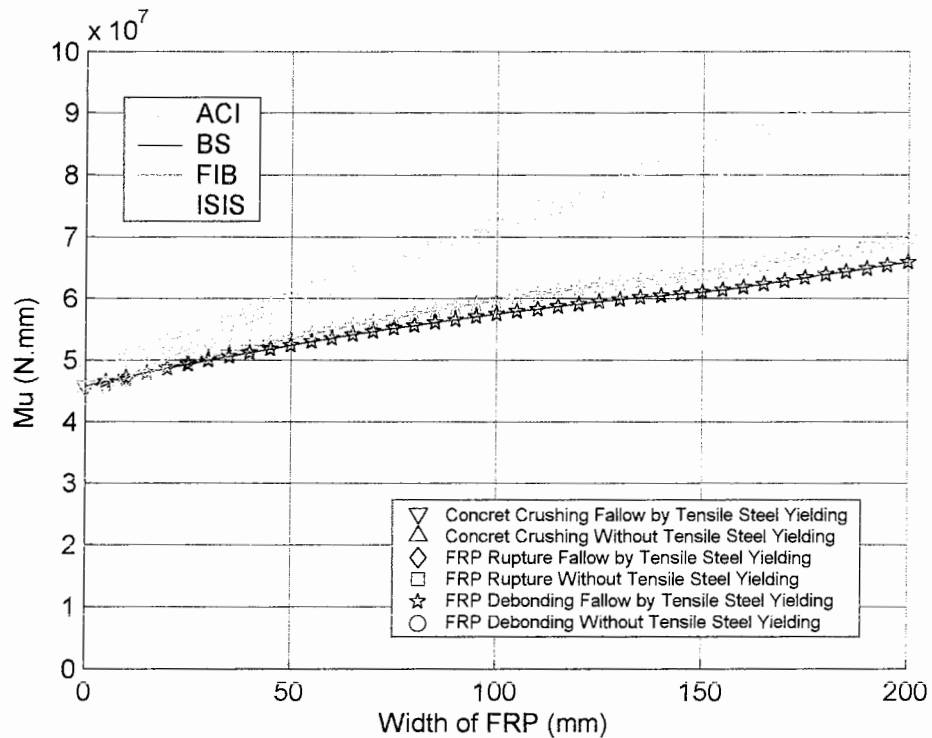
E : گسیختگی بدون به تسلیم رسیدن آرماتورهای فولادی کششی ( Elastic )



شکل ۵-۵: دیاگرام تغییرات مقاومت نهایی و مود گسیختگی حاکم برای نمونه های مختلف



شکل ۵-۶: دیاگرام تغییرات ضرایب ایمنی برای نمونه های مختلف



شکل ۵-۶۱: دیاگرام اثرتغییرات عرض FRP بر ممان نهایی حاصله از آیین نامه ها برای نمونه A1

جدول ۵-۵: ضرایب ایمنی و انحراف معیار آنها به همراه درصد تطابق مود حاکم گسیختگی  
نسبت به نتایج آزمایشگاهی

		ACI	BS	FIB	ISIS
تیر شاهد	ضریب ایمنی	1.3372	1.4044	1.4059	1.4506
	درصد تطابق مود حاکم گسیختگی	100	100	100	100
تیرهای تقویت شده با FRP	ضریب ایمنی	1.1367	1.3036	1.2243	1.1847
	انحراف معیار ضرایب ایمنی	0.0537	0.0465	0.0286	0.0741
	درصد تطابق مود حاکم گسیختگی	60	100	100	40
کل نمونه ها	ضریب ایمنی	1.1701	1.3204	1.2545	1.2290
	انحراف معیار ضرایب ایمنی	0.0894	0.0567	0.0726	0.1200
	درصد تطابق مود حاکم گسیختگی	66.67	100	100	50

بررسیها و نتایج بدست آمده از این آزمایش :

در این دیاگرامها می توان نتایج عملی و تئوری را مرحله به مرحله بررسی کرده و مقایسه نمود . از مرحله تیر شاهد تا نمونه A1 ، همانطور که مشاهده می شود ، مقاومت مقطع تیر برای تمامی نتایج به صورت افزایشی بوده است . این حالت تا نمونه A2 نیز ادامه دارد . در این رابطه ، درصد افزایش مقاومت از حالت تیر شاهد به نمونه A1 در نتایج آیین نامه ها خصوصاً ACI و ISIS ، افزایش بیشتری نسبت به نتایج عملی دیده می شود . اما در ادامه روند ، منطقی تر است ؛ تا اینکه به نمونه B1 می رسیم . از مرحله B1 به B2 در نتایج عملی و FIB درصدی افزایش مشاهده می شود ؛ در حالیکه در سایر آیین نامه ها خصوصاً ACI و ISIS ، این تغییر ، روند کاهشی دارد . علت این امر را می توان در تأثیر بیشتر دو آیین نامه ACI و ISIS نسبت به تغییرات عرض FRP دانست . همانطور که در دیاگرام شکل ۶۱-۵ دیده می شود ، ACI و ISIS بیشترین تأثیر را با تغییرات عرض FRP از خود نشان می دهند . همچنین در مقایسه نمونه B2 و A2 نیز درصدی کاهش در این آیین نامه ها مشاهده می شود که ناشی از تغییر نوع FRP و کاهش مقاومت نهایی آن است . اما در FIB ، اثر مهار به شدت بر تغییرات دیگر پارامترها غلبه کرده و از خود افزایشی در نمونه B2 نشان داده است . در ادامه دیاگرام از مرحله B2 به B3 ، نتیجه آزمایشگاهی درصدی کاهش را نشان داده ، در حالیکه نتایج آیین نامه ها بدون تغییر باقی می ماند . علت این امر را می توان در کاهش تعداد نوارهای FRP عرضی دانست . در این حالت درواقع درصد عملکرد مهار کاهش یافته و این در حالی است که در روابط آیین نامه ها ، تنها دو حالت عملکرد با مهار و یا بدون مهار وجود داشته و بینابین این دو قابل تعریف نیست .

با توجه به نتایج می توان دید که درمجموع دوباره ACI کمترین ضرب ایمنی و BS بیشترین آن را ارائه داده و در زمینه درصد تطابق مود حاکم گسیختگی با نتایج عملی ، FIB و BS و بدنبال آن به ترتیب ACI و ISIS بیشترین درصد را دارا می باشند . از نتایج جدول ۵۹-۵ نیز می توان مشاهده نمود که با نصب FRP ، ضرب ایمنی برای تمامی آیین نامه ها کاهش یافته است .

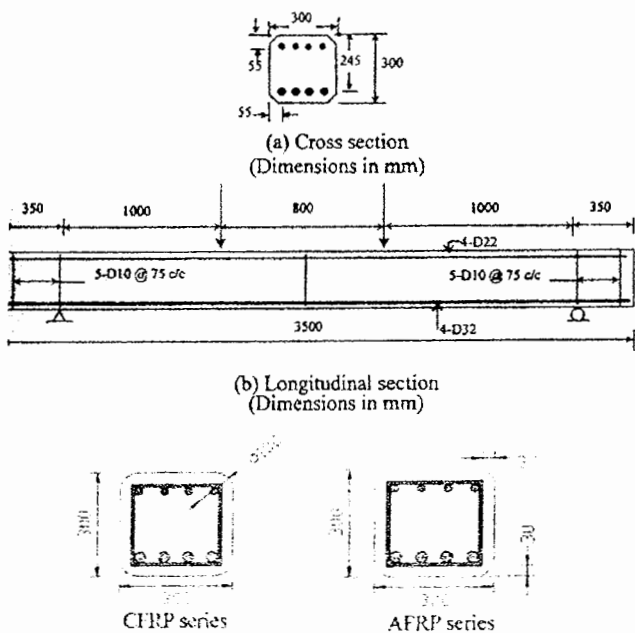
همانطور که در دیاگرام شکل ۶۱-۵ دیده می شود ، اثر عرض FRP ، بر مقاومت نهایی محاسبه شده توسط آیین نامه ها رسم شده است . براین اساس دیده می شود که ACI و ISIS در نزدیک یکدیگر بوده و FIB و BS نیز نمودارهای مشابه به یکدیگر ارائه می کنند . تغییر در شبیب نمودارهای ACI و FIB در عرضی معادل ۱۶۰ mm ناشی از ضابطه ها و حد هایی است که در روابط طراحی این آیین نامه ها استفاده می شود . در FIB و BS اثر K<sub>b</sub> و اعمال محدودیت برروی آن باعث این امر شده و در ACI نیز ضابطه محاسبه φ ، موجب این تغییر می گردد . روند تغییرات مود گسیختگی حاکم نیز در آزمایشهای گذشته بحث شد که از تکرار آن اجتناب می شود .

### ۳-۵: آزمایش‌های مقاومسازی برشی تیرهای بتن آرمه

#### ۱-۳-۵: آزمایش اول مقاومسازی برشی

در این آزمایش که توسط B.Adhikary & H.Mutsuyoshi [۳] ، انجام شده است ، پنج تیر مورد بررسی قرارگرفته اند . از این پنج تیر ، یک تیر (B-1) به عنوان تیر شاهد بوده و مقاومسازی نشده است . از چهار تیر باقی مانده ، دو تیر به وسیله CFRP و دو تیر دیگر به وسیله AFRP در دو حالت U شکل و دورپیچ کامل از لحاظ برشی تقویت شده اند . نحوه آرماتوربندی و بارگذاری تیرها در شکل ۶۲-۵ نشان داده شده است . لازم به ذکر است که این نمونه ها دارای آرماتورهای برشی عرضی نمی باشند و تنها دارای آرماتورهای طولی کششی هستند . سایر پارامترهای لازم برای طراحی ، در جدول ۶۰-۵ آورده شده است .

هدف از این آزمایش درواقع بررسی اثر نوع دورپیچ و همچنین نوع FRP در مقاومت برشی تیر می باشد . نتایج حاصل از آزمایش و محاسبات کامپیوترا در جداول و دیاگرامهای زیر جهت بررسی و مقایسه ، ارائه شده است . لازم به ذکر است که علامت مربع نشاندهنده دیاگرام ACI ، دایره FIB ، ستاره BS ، لوزی ISIS و مثلث نشاندهنده دیاگرام نتایج آزمایشگاهی می باشد .



شکل ۶۲-۵: نحوه آرماتوربندی و بارگذاری نمونه ها

جدول ۶۰-۵ : خصوصیات تیر و FRP

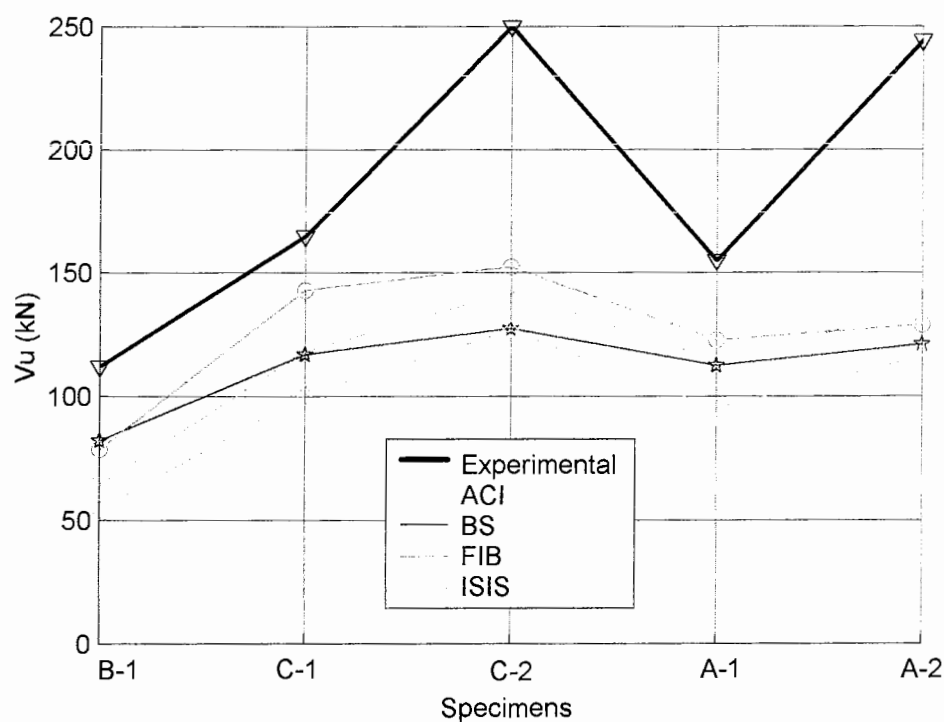
پارامترها	B-1	C-1	C-2	A-1	A-2
Wrapping scheme	---	U wrap	Completely wrap	U wrap	Completely wrap
b (mm)	300	300	300	300	300
d (mm)	245	245	245	245	245
w <sub>f</sub> (mm)	---	---	---	---	---
d <sub>f</sub> (mm)	---	300	300	300	300
t <sub>f</sub> (mm)	---	0.167	0.167	0.286	0.286
n <sub>f</sub>	---	1	1	1	1
n <sub>e</sub>	---	1	0	1	0
s <sub>f</sub> (mm)	---	---	---	---	---
β	---	90	90	90	90
A <sub>s</sub> (mm <sup>2</sup> )	3215.36	3215.36	3215.36	3215.36	3215.36
f <sub>c</sub> (MPa)	38	37.2	42.4	39.6	43.5
f <sub>cu</sub> (MPa)	48	47.2	52.4	49.6	53.5
f <sub>fu</sub> (MPa)	---	3400	3400	2000	2000
C <sub>E</sub>	---	0.95	0.95	0.85	0.85
E <sub>f</sub> (MPa)	---	230000	230000	120000	120000
γ <sub>mF</sub>	---	1.96	1.96	2.1	2.1
γ <sub>mE</sub>	---	1.1	1.1	1.1	1.1
γ <sub>f</sub>	---	1.35	1.35	1.45	1.45
ϕ <sub>f</sub>	---	0.75	0.75	0.7	0.7

جدول ۶۱-۵ : نتایج سهم مقاومت برشی بتن و FRP برای نمونه ها

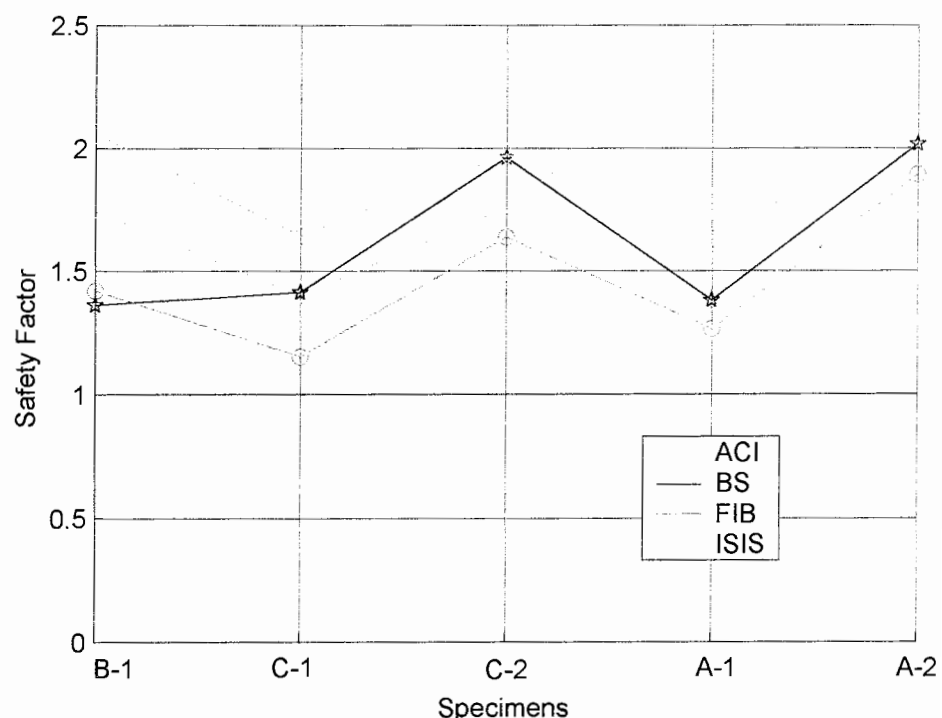
نمونه ها	V <sub>c</sub> (kN)					V <sub>f</sub> (kN)				
	Exp.	ACI	BS	FIB	ISIS	Exp.	ACI	BS	FIB	ISIS
B-1	112	64.2	82.22	78.8	54.37	0	0	0	0	0
C-1	112	63.51	81.76	77.69	53.8	53	54.4	34.92	65.3	46.57
C-2	112	67.81	84.66	84.77	57.43	138	74.44	42.75	67.75	69.14
A-1	112	65.54	83.13	81	55.5	43	48.6	29.12	41.6	39.55
A-2	112	68.7	85.25	86.23	58.17	132	66.5	35.66	42.6	57.66

جدول ۶۲-۵ : نتایج مقاومت برشی نهایی نمونه ها

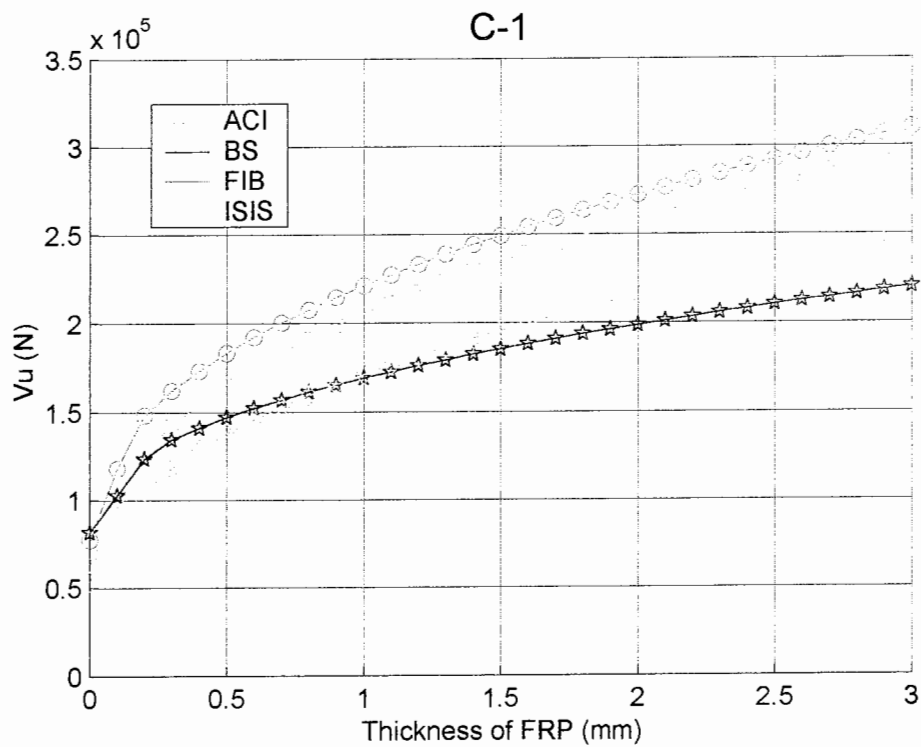
نمونه ها	V <sub>u</sub> (kN)				
	Exp.	ACI	BS	FIB	ISIS
B-1	112	64.2	82.22	78.8	54.37
C-1	165	117.91	116.7	143	100.37
C-2	250	142.25	127.42	152.52	126.57
A-1	155	114.14	112.25	122.6	95.05
A-2	244	135.2	120.91	128.86	115.83



شکل ۶۳-۵ : دیاگرام تغییرات مقاومت برشی نهایی برای نمونه های مختلف



شکل ۶۴-۵ : دیاگرام تغییرات ضرایب ایمنی برای نمونه های مختلف



شکل ۶۵-۵: دیاگرام تغییرات مقاومت برشی نهایی حاصله از آین نامه ها نسبت به تغییرات ضخامت FRP برای نمونه C-1

جدول ۶۳-۵: ضرایب ایمنی و انحراف معيار نتایج آین نامه ها نسبت به نتایج آزمایشگاهی

		ACI	BS	FIB	ISIS
تیر شاهد	ضریب ایمنی	1.7445	1.3622	1.4213	2.06
تیرهای تقویت شده با FRP	ضریب ایمنی	1.5799	1.6937	1.4877	1.8391
	انحراف معيار ضرایب ایمنی	0.2024	0.2972	0.2954	0.2071
کل نمونه ها	ضریب ایمنی	1.6128	1.6274	1.4744	1.8833
	انحراف معيار ضرایب ایمنی	0.1927	0.2971	0.2655	0.2052

بررسیها و نتایج بدست آمده از این آزمایش :

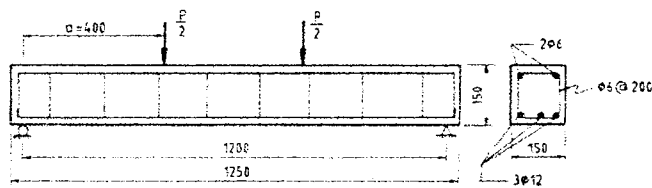
همانطور که در دیاگرامها و جداول مشاهده می شود ، روند افزایش و کاهش نتایج آین نامه ها برای نمونه های مختلف دقیقا همانند نتایج عملی بوده با این تفاوت که میزان این افزایش و کاهش متفاوت است . برای نمونه C-1 و A-1 ، درصد افزایش نسبت به تیر شاهد برای آین نامه ها به جز BS ، مشابه با نتایج عملی است . در واقع BS اثر کمتری نسبت به تقویت با FRP نشان داده است . این اثر در حالت دورپیچ کامل نسبت به دورپیچ U شکل برای تمامی آین نامه ها صادق است ، چراکه نتایج عملی به شدت تحت تأثیر نحوه دورپیچ قرار گرفته اند . به عبارت دیگر می توان گفت

که تأثیر نوع دورپیچ بر نتایج آبین نامه ها کمتر از نتایج عملی می باشد و لذا در دورپیچ کامل ضریب ایمنی به شدت افزایش یافته است . نکته دیگر آنستکه هم در نتایج عملی و هم در نتایج تئوری ، اثر CFRP نسبت به AFRP در تقویت برشی با کمی اختلاف ، بیشتر بوده است . به هر حال با توجه به جدول ۶۳-۵ ، می توان گفت که FIB نزدیکترین و ISIS دورترین نتایج را نسبت به نتایج عملی ارائه می دهد . ضریب ایمنی ACI نیز نسبت به BS با فاصله کمی کمتر می باشد .

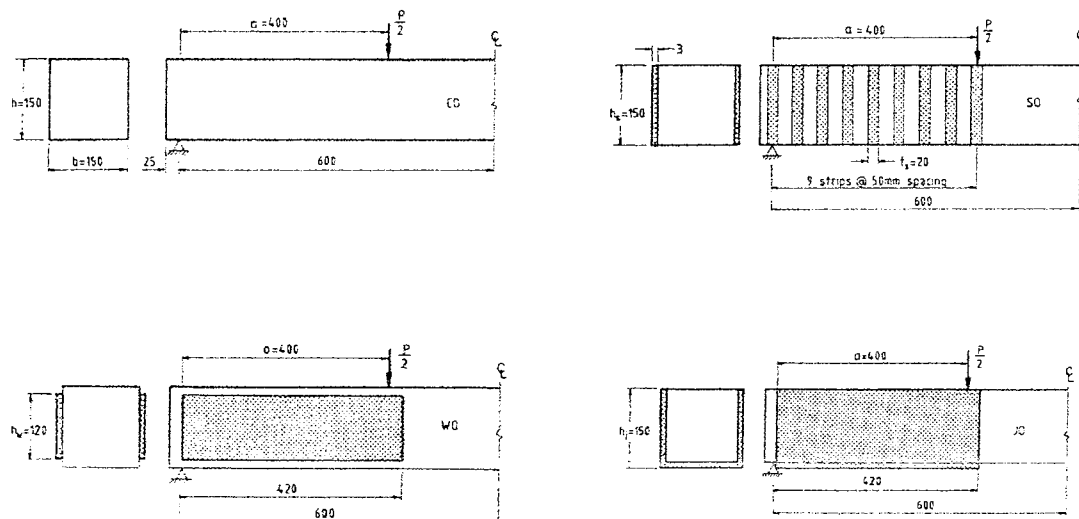
جهت بررسی اثر ضخامت FRP در تقویت برشی تیر بتی ، دیاگرام شکل ۶۵-۵ رسم شده است . همانطور که مشاهده می شود در ابتدا با افزایش ضخامت ، تأثیر زیادی در مقاومت برشی دیده می شود ، درحالیکه بعد از ضخامت حدودا  $0.2 \text{ mm}$  این اثر کمتر می گردد . علت آن را می توان در روابط طراحی آبین نامه ها جستجو کرد ، چراکه با افزایش ضخامت ، امکان جداشدن بیشتر شده و لذا کرنش مؤثر محاسبه شده برای FRP توسط آبین نامه ها به شدت افت می کند که باعث ایجاد تغییر شیب در روند دیاگرامهای شکل ۶۵-۵ می گردد . همانطور که مشاهده می گردد ، ACI و FIB با یکدیگر و همچنین BS و ISIS نسبت به هم ، رفتار مشابه ای از خود نشان داده اند .

## ۲-۳-۵ : آزمایش دوم مقاومسازی برشی

هدف از این آزمایش که توسط G. J. Al-Sulaimani [۴] ، انجام شده است؛ بررسی اثر نحوه دورپیچ تیرهای بتونی (نوارهای FRP و ورقه های یکپارچه FRP به صورت نصب در دو وجه و ورقه های یکپارچه نصب شده به صورت U شکل) بر مقاومت برشی مقطع می باشد. نحوه مقاومسازی، بارگذاری و آرماتوربندی نمونه ها در شکل های ۶۶-۵ و ۶۷-۵ نشان داده شده است. همچنین پارامترهای لازم جهت طراحی براساس آیین نامه های مختلف در جدول ۶۴-۵ ارائه گردیده است.



شکل ۶۶-۵ : نحوه آرماتوربندی و بارگذاری نمونه ها



شکل ۶۷-۵ : نحوه تقویت برشی نمونه های مختلف به وسیله FRP

جدول ۶۴-۵ : خصوصیات تیر و FRP

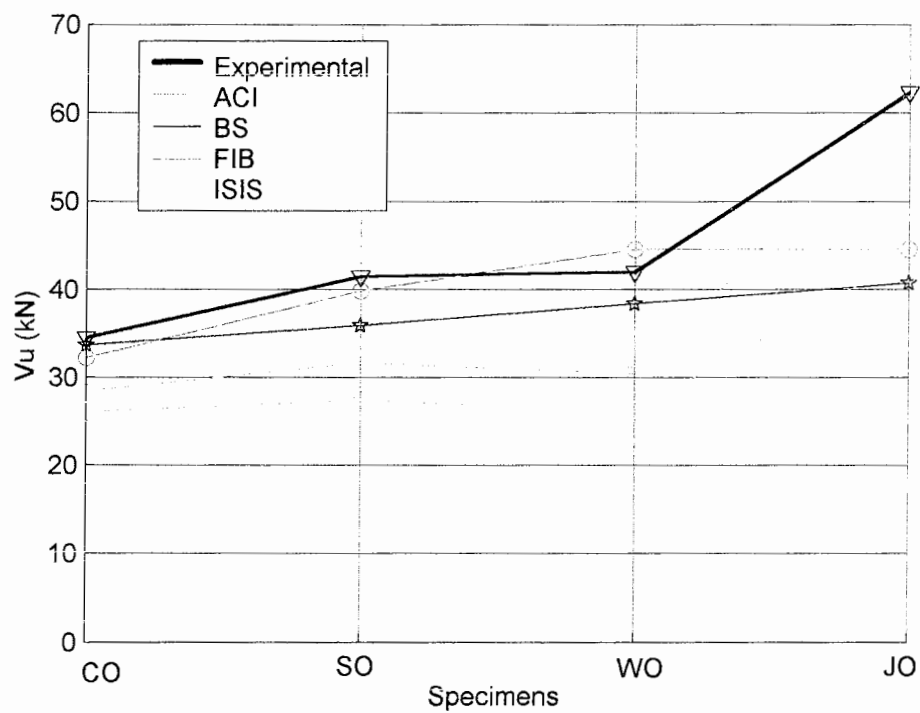
پارامترها	CO	SO	WO	JO
Wrapping scheme	---	Two side wrap	Two side wrap	U wrap
b (mm)	150	150	150	150
d (mm)	119	119	119	119
w <sub>f</sub> (mm)	---	20	---	---
d <sub>f</sub> (mm)	---	119	100	150
t <sub>f</sub> (mm)	---	3	3	3
n <sub>f</sub>	---	1	1	1
n <sub>e</sub>	---	2	2	1
s <sub>f</sub> (mm)	---	50	---	---
β	---	90	90	90
A <sub>s</sub> (mm <sup>2</sup> )	339.29	339.29	339.29	339.29
A <sub>sv</sub> (mm <sup>2</sup> )	56.55	56.55	56.55	56.55
s <sub>v</sub> (mm)	200	200	200	200
α	90	90	90	90
f <sub>y</sub> (MPa)	450	450	450	450
f <sub>c</sub> (MPa)	37.7	37.7	37.7	37.7
f <sub>cu</sub> (MPa)	47.7	47.7	47.7	47.7
f <sub>fu</sub> (MPa)	---	200	200	200
C <sub>E</sub>	---	0.75	0.75	0.75
E <sub>s</sub> (MPa)	200000	200000	200000	200000
E <sub>f</sub> (MPa)	---	14900	14900	14900
γ <sub>mF</sub>	---	4.2	4.2	4.2
γ <sub>mE</sub>	---	1.8	1.8	1.8
γ <sub>f</sub>	---	1.3	1.3	1.3
φ <sub>f</sub>	---	0.65	0.65	0.65

جدول ۶۵-۵ : نتایج سهم مقاومت برشی بتن و فولاد برای نمونه ها

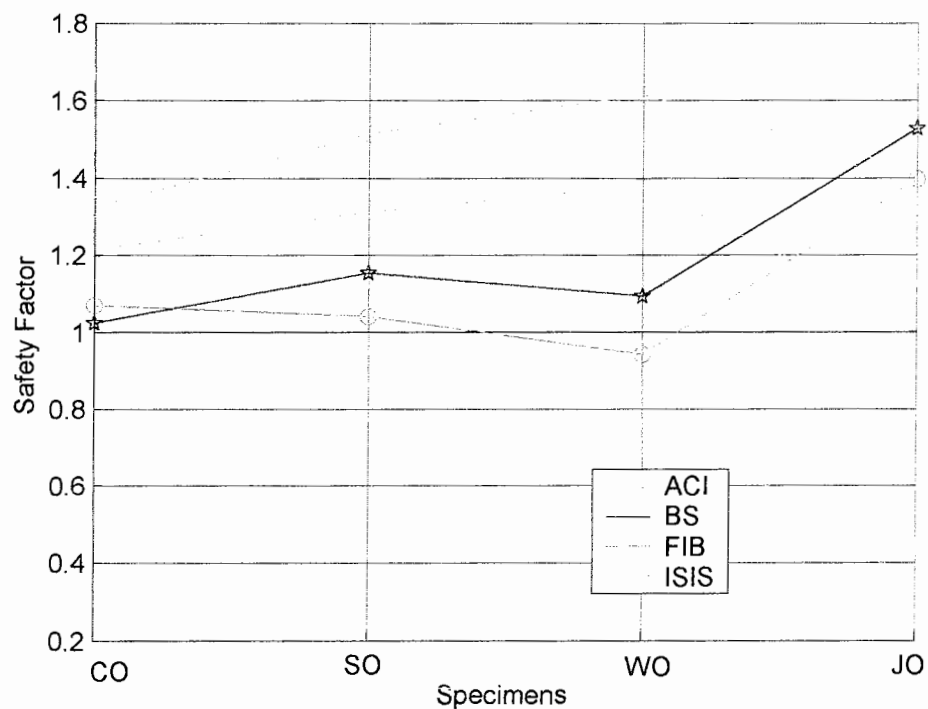
نمونه ها	V <sub>c</sub> (kN)				V <sub>s</sub> (kN)			
	ACI	BS	FIB	ISIS	ACI	BS	FIB	ISIS
CO	15.53	20.51	20.39	13.15	12.87	13.16	11.85	12.87
SO	15.53	20.51	20.39	13.15	12.87	13.16	11.85	12.87
WO	15.53	20.51	20.39	13.15	12.87	13.16	11.85	12.87
JO	15.53	20.51	20.39	13.15	12.87	13.16	11.85	12.87

جدول ۶۶-۵ : نتایج مقاومت برشی نهایی نمونه ها

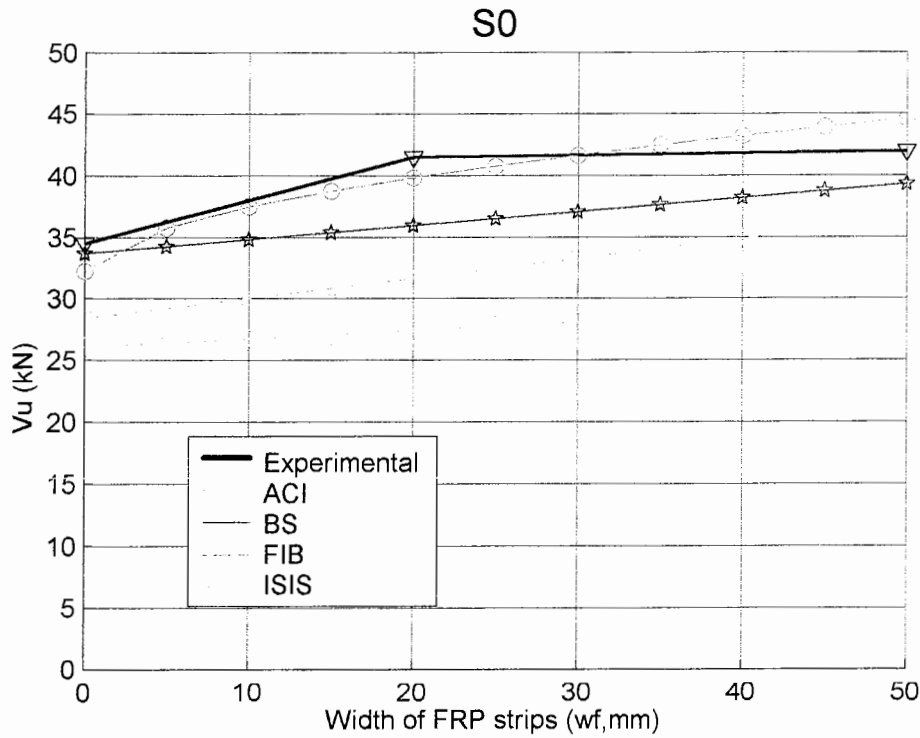
نمونه ها	V <sub>u</sub> (kN)				
	Exp.	ACI	BS	FIB	ISIS
CO	34.5	28.4	33.67	32.24	26.02
SO	41.5	31.62	35.92	39.83	27.4
WO	42	30.43	38.4	44.57	26.02
JO	62.3	61.15	40.76	44.57	43.84



شکل ۶۸-۵ : دیاگرام تغییرات مقاومت برشی نهایی برای نمونه های مختلف



شکل ۶۹-۵ : دیاگرام تغییرات ضرایب ایمنی برای نمونه های مختلف



شکل ۷-۵ : دیاگرام تغییرات مقاومت برشی نهایی حاصله از آیین نامه ها نسبت به تغییرات عرض نوارهای FRP برای نمونه SO

جدول ۶۷-۵ : ضرایب ایمنی و انحراف معيار نتایج آیین نامه ها نسبت به نتایج آزمایشگاهی

		ACI	BS	FIB	ISIS
تیر شاهد	ضریب ایمنی	1.2148	1.0247	1.0701	1.3259
تیرهای تقویت شده FRP با	ضریب ایمنی	1.2372	1.2592	1.1274	1.5166
	انحراف معيار ضرایب ایمنی	0.1569	0.1921	0.1955	0.0788
کل نمونه ها	ضریب ایمنی	1.2316	1.2006	1.1130	1.4689
	انحراف معيار ضرایب ایمنی	0.1362	0.1949	0.1711	0.1071

بررسیها و نتایج بدست آمده از این آزمایش :

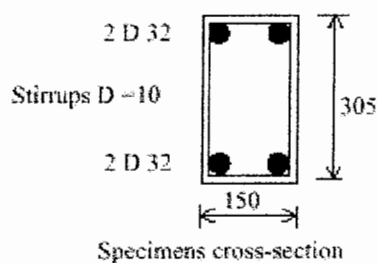
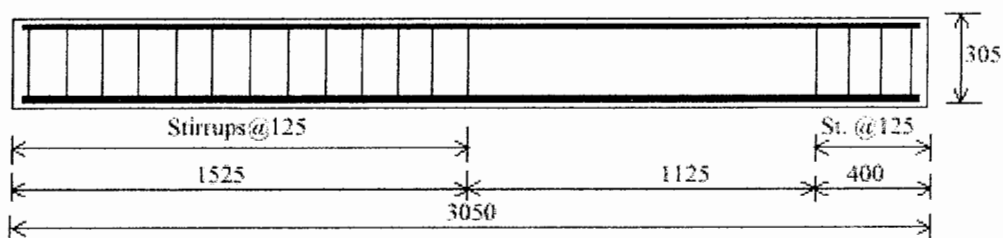
همانطور که در دیاگرامها و جداول مشاهده می شود ، با تقویت برشی توسط نصب نوارهای FRP در دو وجه تیر ، مقاومت برشی به مقدار کمی هم در نتایج عملی و هم در نتایج تئوری افزایش می یابد . با افزایش عرض نوارها به گونه ای که دو وجه تیر با FRP پوشیده شود ، مقدار بسیار کمی افزایش در نتایج عملی دیده می شود . این اثر همانطور که در شکل ۷-۵ دیده می شود ، در FIB بیشتر بوده و نتیجتا افزایش بیشتری در حرکت از نمونه SO به WO در مقاومت برشی مشاهده می گردد . اما علتی دیگر بر روند افزایشی این اثر ، تأثیر منفی گذاشته که در

دیاگرامهای ACI و ISIS به خوبی مشاهده شده است . همانطور که در جدول ۵-۶۴ داده های نمونه ها ارائه شده است و در شکل ۵-۶۸ دیده می شود ، مقدار عمق مؤثر FRP در نمونه WO نسبت به SO کاهش یافته و چون در روابط طراحی ACI ، BS و ISIS ، ضریب  $\eta$  دخالت دارد ، اثر کاهشی خود را اعمال کرده است . دلیل کاهش کم BS و همچنین نتایج عملی را نیز می توان در این علت یافت . در مرحله سوم ( نمونه JO ) ، میزان  $\eta$  مجددا افزایش یافته و بعلاوه نمونه از حالت نصب FRP در طرفین به حالت نصب U شکل تبدیل گشته است . این تغییر در نتایج عملی و همچنین ACI و ISIS به روشنی دیده می شود که باعث افزایش مقاومت بر Shi گردیده است . اما FIB که در روابط طراحی خود بین حالت نصب U شکل و نصب در طرفین تیر ، فرقی قائل نشده است و همچنین از تغییرات  $\eta$  تأثیر نمی پذیرد ، در نتایج خود نیز تغییری اعمال نمی کند . عدم تفاوت گذاشتن بین حالت دورپیچ U شکل و نصب در دو طرف تیر ، در ISIS نیز صادق است ، اما این آیین نامه تحت تأثیر  $\eta$  قرار گرفته است . اما در مورد آیین نامه BS ، با توجه به روابط طراحی آن می توان گفت که نحوه دورپیچ بین U شکل و نصب در دو طرفین ، تنها در یکی از کرنشهای محدود کننده کرنش FRP مؤثر بوده و در مواردی که این کرنش به عنوان حد ، حاکم باشد ، نتایج این آیین نامه نسبت به این دو نحوه دورپیچ تغییر می کند .

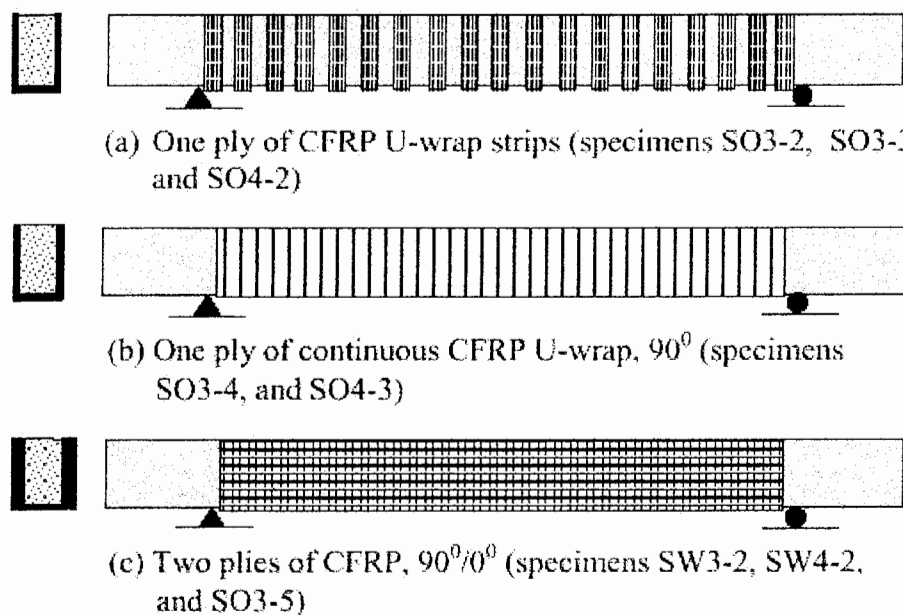
اما در مورد شکل ۵-۷۰ همانطور که دیده می شود ، اثر تغییرات عرض نوارهای FRP تا به حد پوشش کامل وجود تیر برای داده های نمونه SO بررسی شده است . نتایج عملی برای سه حالت از نمونه های CO ، SO و WO استخراج شده است . البته باید دقت شود که در WO درست است که پوشش به صورت کامل است ، اما عمق مؤثر FRP نیز کاهش یافته است ، بنابراین اگر مقدار حقیقی نمونه ای با عرض مؤثر نمونه SO مورد آزمایش قرار گیرد ، قطعاً مقداری بیشتر از مقدار بدست آمده برای WO خواهد بود . لذا دیاگرام عملی قطعاً از دیاگرام FIB نشان داده شده در شکل ، بیشتر می گردد . اما به دلیل عدم وجود داده چنین نمونه ای مجبور به استفاده از نتایج نمونه WO گردیده ایم . با دقت در این دیاگرام می توان دید که BS و ISIS کمترین تأثیر و تقریباً به یک میزان و FIB نیز بیشترین تأثیر و البته این دو نیز تقریباً به یک مقدار تحت تأثیر افزایش عرض نوارهای FRP قرار گرفته اند که شبیه نمودار این دو آیین نامه اخیر نیز تقریباً مشابه با شبیه تغییرات نتایج عملی است . براساس این شکل به راحتی می توان دید که محافظه کاری نتایج به ترتیب از راست به چپ ، ACI ، ISIS و BS می باشد ، طوری که FIB نتایج بسیار نزدیکی به نتایج عملی ارائه داده است . اما با دقت در دیاگرام ضرایب ایمنی می توان مشاهده نمود که در حالت U شکل ( نمونه JO ) ، این ترتیب کاملاً به هم می ریزد که علت آن همانطور که قبل از توصیح داده شده وابسته به تأثیر پذیری نتایج آیین نامه ها نسبت به نحوه دورپیچ FRP می باشد . اما به طور میانگین همانطور که در جدول ۵-۶۷ مشاهده می شود ، همان ترتیب قبلی برای محافظه کاری بدست می آید .

### ۳-۳-۵ : آزمایش سوم مقاومسازی برشی

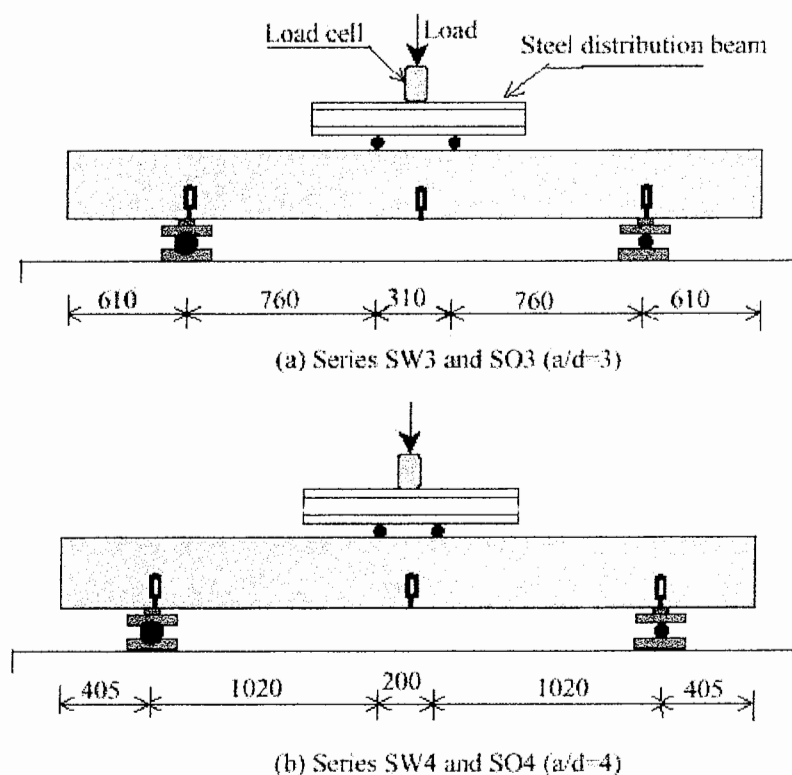
در این آزمایش که توسط A. Khalifa & A. Nanni [۱۸] ، انجام شده است ، هدف ، بررسی اثر نحوه دورپیچ ( نوارهای U شکل منقطع و یا یکپارچه ) بر مقاومت برشی مقطع می باشد . در آزمایش قبل حالت نصب در طرفین تیر در حالت یکپارچه و منقطع مقایسه گردید . در این آزمایش برای بررسی این موضوع چهار تیر درنظر گرفته شده و نتایج آن استخراج گردیده است . یک تیر به عنوان تیر شاهد (SO3-1) ، تقویت برشی نمی شود . از سه تیر باقی مانده ، یک تیر (SO3-2) با نوارهای U شکل CFRP با عرض ۵۰ mm و فاصله مرکز تا مرکز ۱۲۵ mm و تیر دیگر (SO3-4) با توسط نوارهای CFRP به طور کامل به صورت U شکل دورپیچ گردیده است . نحوه آرماتوربندی ، مقاومسازی و بارگذاری نمونه ها در شکلهای ۷۱-۵ تا ۷۳-۵ نشان داده شده است . نتایج بدست آمده از آزمایش و محاسبات نیز در جداول و دیاگرامهایی ارائه گردیده اند .



شکل ۷۱-۵ : نحوه آرماتوربندی نمونه ها



شکل ۵ : نحوه تقویت نمونه ها



شکل ۵ : نحوه بارگذاری نمونه ها

جدول ۶۸-۵ : خصوصیات تیر و FRP

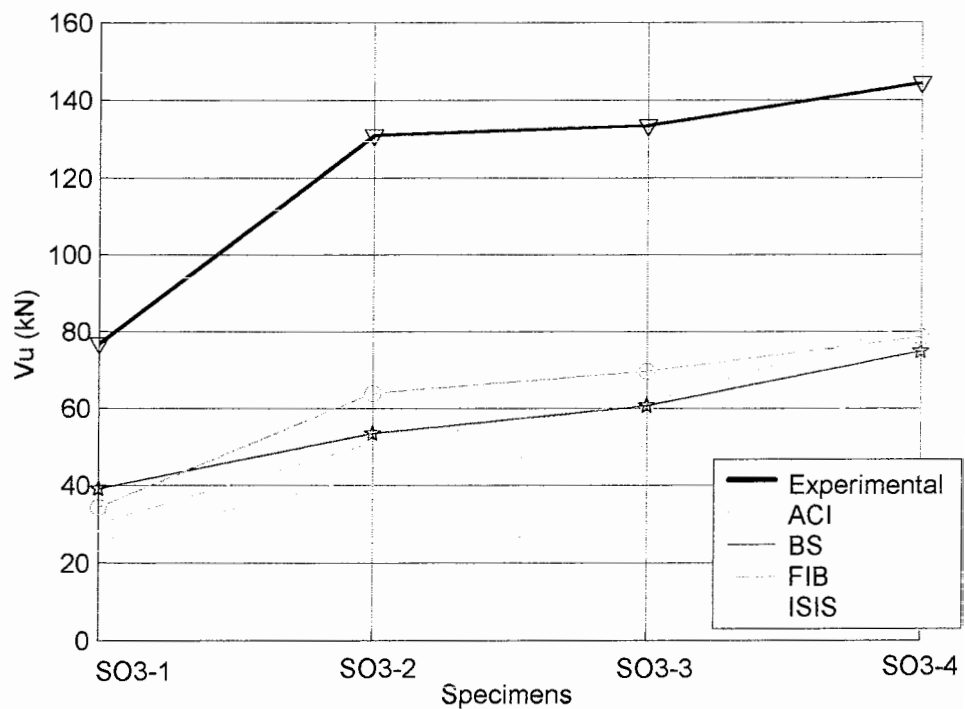
پارامترها	SO3-1	SO3-2	SO3-3	SO3-4
Wrapping scheme	---	U wrap	U wrap	U wrap
b (mm)	150	150	150	150
d (mm)	270	270	270	270
w <sub>f</sub> (mm)	---	50	75	---
d <sub>f</sub> (mm)	---	270	270	270
t <sub>f</sub> (mm)	---	0.165	0.165	0.165
n <sub>f</sub>	---	1	1	1
n <sub>e</sub>	---	1	1	1
s <sub>f</sub> (mm)	---	125	125	---
β	---	90	90	90
A <sub>s</sub> (mm <sup>2</sup> )	1608.5	1608.5	1608.5	1608.5
f' <sub>c</sub> (MPa)	27.5	27.5	27.5	27.5
f <sub>cu</sub> (MPa)	33.5	33.5	33.5	33.5
f <sub>fu</sub> (MPa)	---	3790	3790	3790
C <sub>E</sub>	---	0.95	0.95	0.95
E <sub>f</sub> (MPa)	---	228000	228000	228000
γ <sub>mF</sub>	---	1.96	1.96	1.96
γ <sub>mE</sub>	---	1.1	1.1	1.1
γ <sub>f</sub>	---	1.2	1.2	1.2
ϕ <sub>f</sub>	---	0.75	0.75	0.75

جدول ۶۹-۵ : نتایج سهم مقاومت برشی بتن و FRP برای نمونه ها

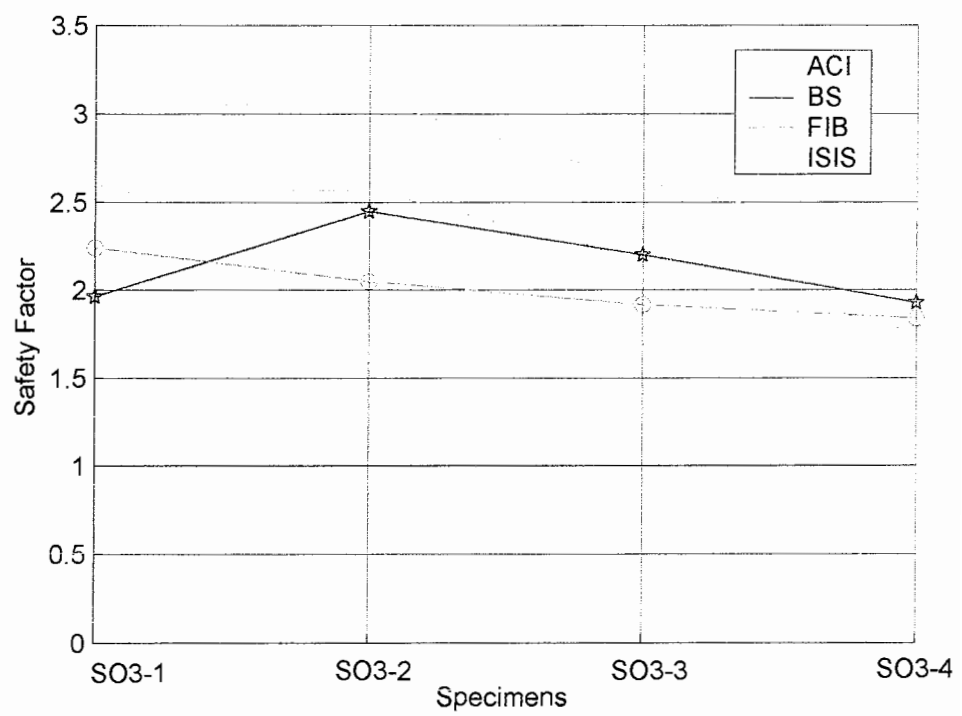
نمونه ها	V <sub>c</sub> (kN)					V <sub>f</sub> (kN)				
	Exp.	ACI	BS	FIB	ISIS	Exp.	ACI	BS	FIB	ISIS
SO3-1	77	30.09	39.22	34.35	25.49	0	0	0	0	0
SO3-2	77	30.09	39.22	34.35	25.49	54	20.88	14.29	29.25	17.03
SO3-3	77	30.09	39.22	34.35	25.49	56.5	31.32	21.44	35.3	25.55
SO3-4	77	30.09	39.22	34.35	25.49	67.5	52.2	35.73	44.2	37.89

جدول ۷۰-۵ : نتایج مقاومت برشی نهایی نمونه ها

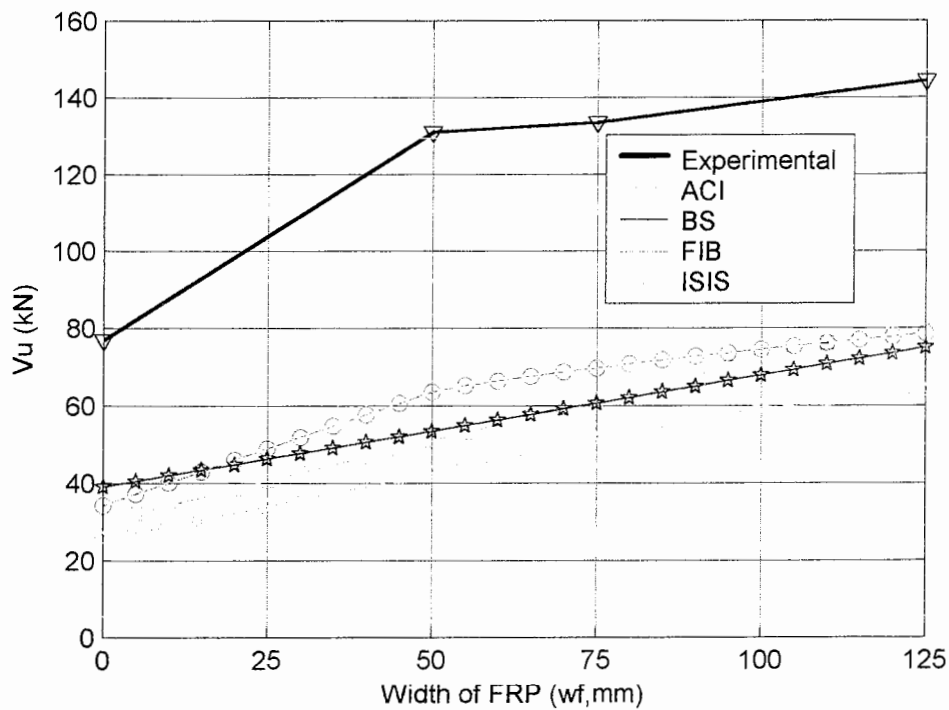
نمونه ها	V <sub>u</sub> (kN)				
	Exp.	ACI	BS	FIB	ISIS
SO3-1	77	30.09	39.22	34.35	25.49
SO3-2	131	50.97	53.51	63.6	42.52
SO3-3	133.5	61.41	60.66	69.65	51.04
SO3-4	144.5	82.3	74.95	78.55	63.38



شکل ۷۴-۵ : دیاگرام تغییرات مقاومت برشی نهایی برای نمونه های مختلف



شکل ۷۵-۵ : دیاگرام تغییرات ضرایب ایمنی برای نمونه های مختلف



شکل ۷۶-۵ : دیاگرام تغییرات مقاومت برشی نهایی حاصله از آیین نامه ها نسبت به تغییرات عرض نوارهای FRP

جدول ۷۱-۵ : ضرایب ایمنی و انحراف معيار نتایج آیین نامه ها نسبت به نتایج آزمایشگاهی

		ACI	BS	FIB	ISIS
تیر شاهد	ضریب ایمنی	2.5590	1.9633	2.2416	3.0208
تیرهای تقویت شده با FRP	ضریب ایمنی	2.1666	2.1923	1.9355	2.6588
	انحراف معيار ضرایب ایمنی	0.3325	0.2125	0.0869	0.3284
کل نمونه ها	ضریب ایمنی	2.2647	2.1350	2.0120	2.7493
	انحراف معيار ضرایب ایمنی	0.3343	0.2090	0.1525	0.3248

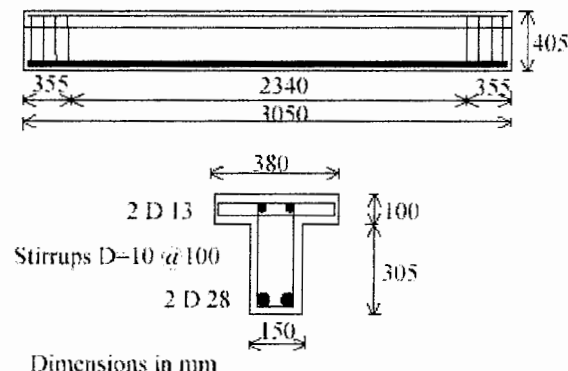
بررسیها و نتایج بدست آمده از این آزمایش :

همانطور که در دیاگرامها و نتایج مشاهده می شود ، روند تغییرات بین نمونه ها برای تمامی نتایج ( هم عملی و هم تئوری ) ، یکسان است . تنها تفاوت در درصد افزایش مقاومت برشی از نمونه شاهد به نمونه تقویت شده با FRP می باشد . همانطور که در آزمایش اول مقاومسازی برشی مطرح شد ، نتایج آیین نامه ها تأثیر کمتری در برابر تقویت برشی با FRP نسبت به نتایج عملی می پذیرند . این موضوع به روشنی در این آزمایش نیز مشهود است . روند افزایشی نتایج عملی از نمونه

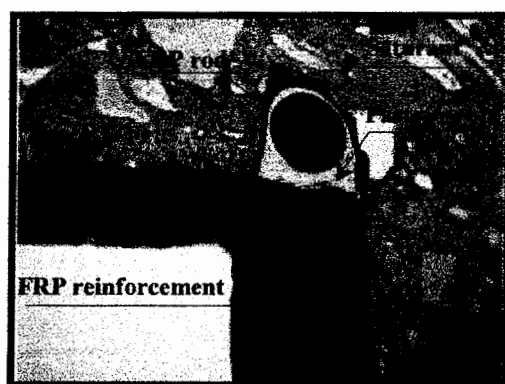
SO3-2 به نمونه های بعدی تقریبا مشابه نتایج تئوری می باشد . تغییرات نتایج آیین نامه ها به طور جزئی تر نسبت به تغییرات عرض نوارها در شکل ۷۶-۵ نشان داده شده است . همانطور که دیده می شود ، FIB با دیاگرامی بسیار شبیه به نتایج عملی و البته با یک مقدار ضریب ایمنی ، نتایج خود را ارائه کرده است . در این دیاگرام نیز اثر تغییرات عرض نوارهای FRP نسبت به مقاومت برپی تیر برای BS و ISIS مشابه می باشد . با دقت در دیاگرامهای دیگر آزمایشات دیده می شود که در اکثر آنها ضریب ایمنی در حالت قبل از مقاومسازی برای BS از دیگر آیین نامه ها کمتر است . اما بعد از تقویت ، FIB از این لحاظ از BS پیشی می گیرد . در این آزمایش نیز نتایج به همین نحو بوده و البته درمجموع ، برای مقدار میانگین ضرایب ایمنی دوباره ترتیب آزمایش قبل تکرار می گردد به طوری که ترتیب محافظه کاری به صورت ISIS > ACI > BS > FIB می باشد.

#### ۴-۳-۵ : آزمایش چهارم مقاومسازی برشی

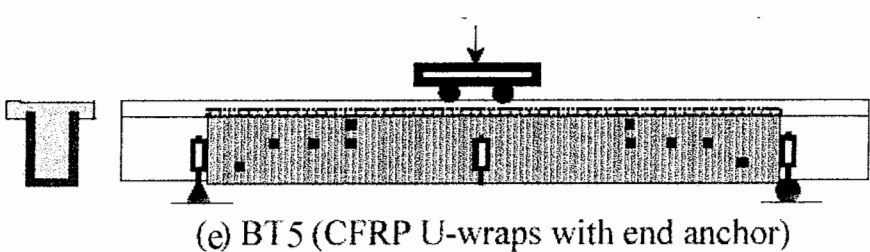
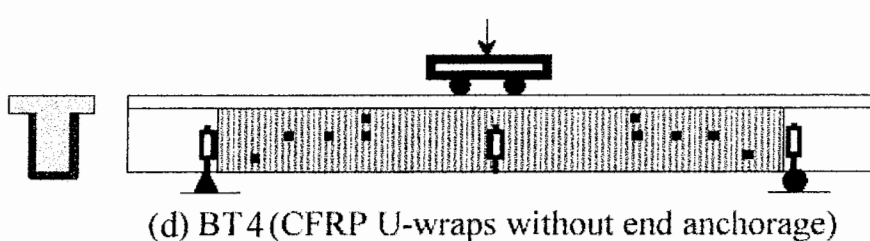
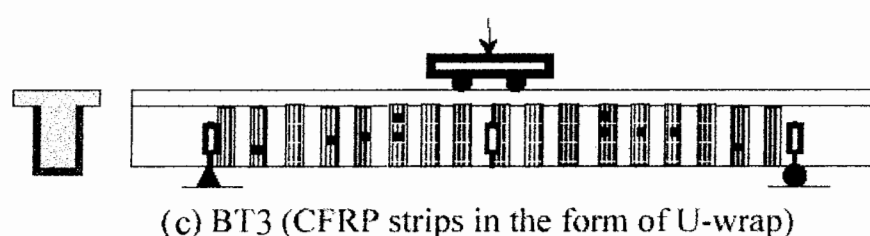
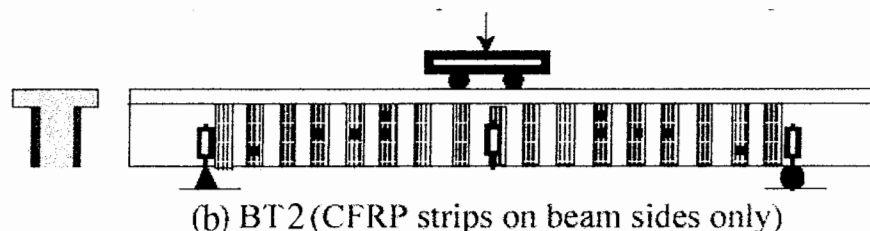
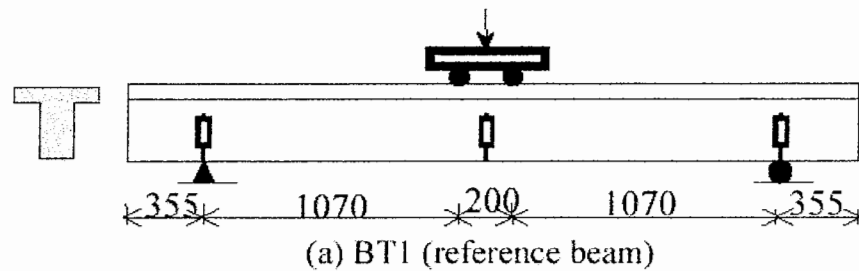
در این آزمایش نیز که توسط A. Khalifa & A. Nanni [۱۷] ، انجام شده است ، بررسی اثر نوع دورپیچ بر مقاومت برشی مقطع می باشد ، مضاف بر اینکه در این آزمایش ، اثر مهار انتهای لایه FRP که به صورت U شکل نصب شده است نیز مورد ارزیابی قرار می گیرد . در این آزمایش پنج تیر T شکل بررسی شده که یکی از تیرها ، تیر شاهد (BT1) می باشد . چهار تیر بعدی به ترتیب کامپوزیتهای نصب شده به صورت U شکل یکپارچه ، U شکل نواری ، نصب در دو طرف مقطع تیر به صورت نواری و U شکل یکپارچه همراه با مهاربندی در انتهای ، تقویت برشی می گردند . نحوه آرماتوربندی و ابعاد نمونه ها در شکل ۷۷-۵ مشاهده می شود . همچنین نحوه مقاومسازی هر یک از نمونه ها در شکل ۷۹-۵ و نحوه مهاربندی نمونه BT5 در شکل ۷۸-۵ ، نشان داده شده اند . لازم به ذکر است که اثر مهاربندی ، با حذف روابط جداسدگی در طراحی برای آیین نامه ها لحاظ می گردد به گونه ای که فرض می شود FRP قابلیت رسیدن به کرنش حد ارائه شده در هر آیین نامه را دارد . سایر پارامترهای لازم برای طراحی در جدول ۷۲-۵ آورده شده است . نتایج آزمایش و محاسبات در جداول و دیاگرامهای زیر جهت مقایسه بهتر ، گردآوری شده است .



شکل ۷۷-۵ : نحوه آرماتوربندی و ابعاد نمونه ها



شکل ۷۸-۵ : نحوه مهاربندی نمونه BT5



■ LVDT

▪ Strain gauge location

Dimensions in mm

شکل ۵-۷۹ : نحوه تقویت برشی نمونه ها

جدول ۷۲-۵ : خصوصیات تیر و FRP

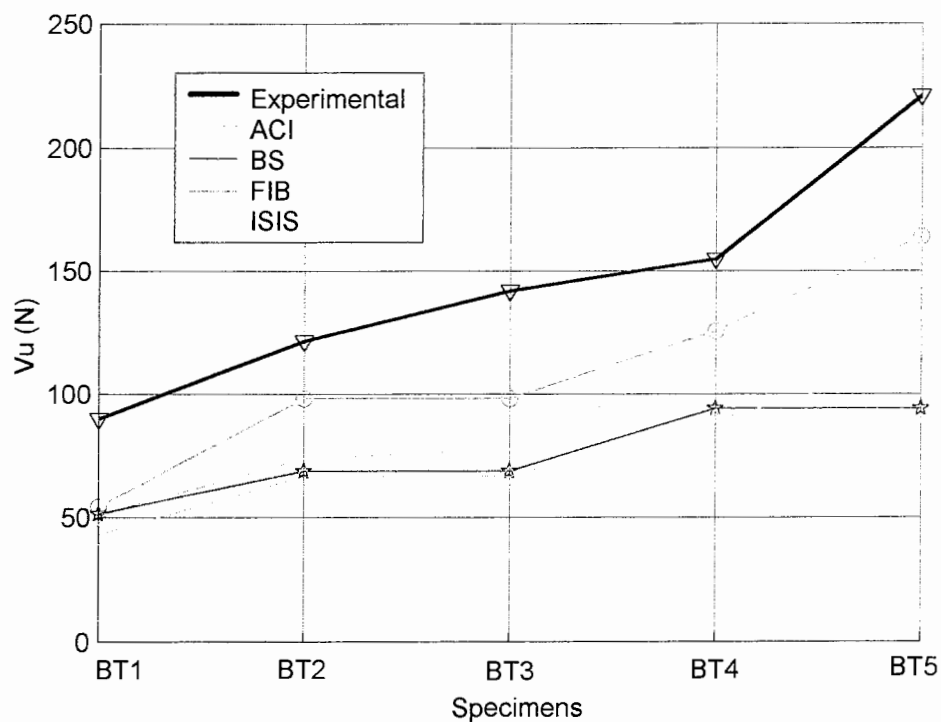
پارامترها	BT1	BT2	BT3	BT4	BT5
Wrapping scheme	---	Two side wrap	U wrap	U wrap	U wrap with anchore
b (mm)	150	150	150	150	150
d (mm)	405	405	405	405	405
w <sub>f</sub> (mm)	---	50	50	---	---
d <sub>f</sub> (mm)	---	305	305	305	305
t <sub>f</sub> (mm)	---	0.165	0.165	0.165	0.165
n <sub>f</sub>	---	1	1	1	1
n <sub>e</sub>	---	2	1	1	1
s <sub>f</sub> (mm)	---	125	125	---	---
β	---	90	90	90	90
A <sub>s</sub> (mm <sup>2</sup> )	1230.88	1230.88	1230.88	1230.88	1230.88
f <sub>c</sub> (MPa)	35	35	35	35	35
f <sub>cu</sub> (MPa)	45	45	45	45	45
f <sub>fu</sub> (MPa)	---	3790	3790	3790	3790
C <sub>E</sub>	---	0.95	0.95	0.95	0.95
E <sub>f</sub> (MPa)	---	228000	228000	228000	228000
γ <sub>mF</sub>	---	1.96	1.96	1.96	1.96
γ <sub>mE</sub>	---	1.1	1.1	1.1	1.1
γ <sub>f</sub>	---	1.35	1.35	1.35	1.35
ϕ <sub>f</sub>	---	0.75	0.75	0.75	0.75

جدول ۷۳-۵ : نتایج سهم مقاومت برشی بتن و FRP برای نمونه ها

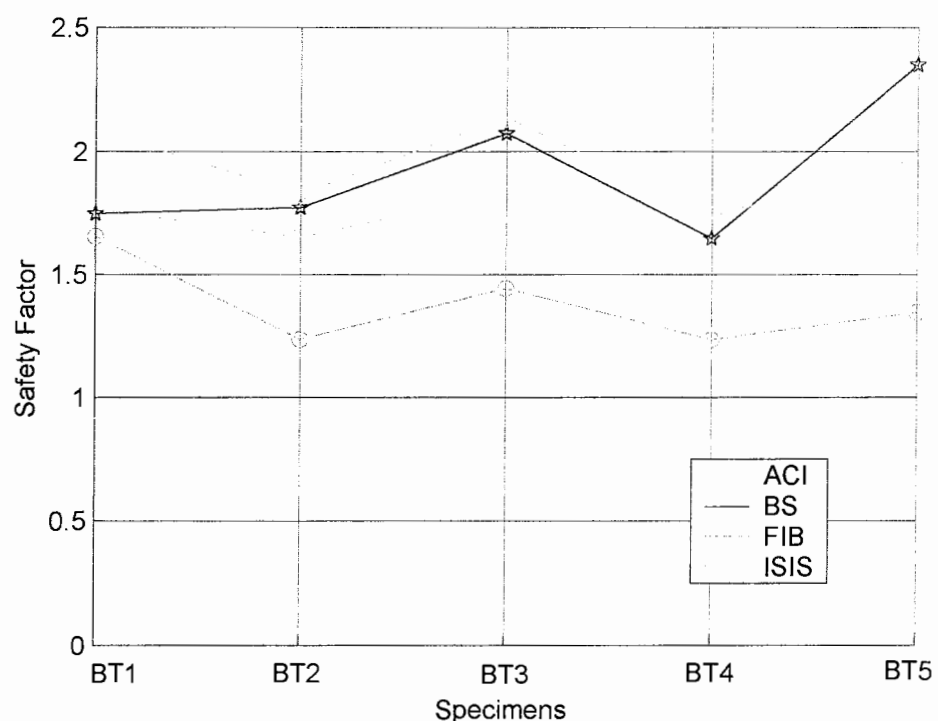
نمونه ها	V <sub>c</sub> (kN)					V <sub>f</sub> (kN)				
	Exp.	ACI	BS	FIB	ISIS	Exp.	ACI	BS	FIB	ISIS
<b>BT1</b>	90	50.92	51.47	54.37	43.13	0	0	0	0	0
<b>BT2</b>	90	50.92	51.47	54.37	73.13	31.5	22.65	17.03	43.88	23.3
<b>BT3</b>	90	50.92	51.47	54.37	73.13	52	26.53	17.03	43.88	23.3
<b>BT4</b>	90	50.92	51.47	54.37	73.13	65	66.32	42.57	71.22	46.17
<b>BT5</b>	90	50.92	51.47	54.37	73.13	131	66.32	42.57	109.7	68.84

جدول ۷۴-۵ : نتایج مقاومت برشی نهایی نمونه ها

نمونه ها	V <sub>u</sub> (kN)				
	Exp.	ACI	BS	FIB	ISIS
<b>BT1</b>	90	50.92	51.47	54.37	43.13
<b>BT2</b>	121.5	73.57	68.5	98.25	66.41
<b>BT3</b>	142	77.45	68.5	98.25	66.41
<b>BT4</b>	155	117.24	94.04	125.6	89.3
<b>BT5</b>	221	117.24	94.04	164.07	111.97



شکل ۸۰-۵ : دیاگرام تغییرات مقاومت برشی نهایی برای نمونه های مختلف



شکل ۸۱-۵ : دیاگرام تغییرات ضرایب ایمنی برای نمونه های مختلف

جدول ۷۵-۵ : ضرایب ایمنی و انحراف معیار نتایج آیین نامه ها نسبت به نتایج آزمایشگاهی

		ACI	BS	FIB	ISIS
تیر شاهد	ضریب ایمنی	1.7675	1.7486	1.6553	2.0867
تیرهای تقویت شده	ضریب ایمنی	1.6730	1.9613	1.3157	1.9193
FRP با	انحراف معیار ضرایب ایمنی	0.2204	0.2724	0.0876	0.1522
کل نمونه ها	ضریب ایمنی	1.6919	1.9187	1.3837	1.9528
	انحراف معیار ضرایب ایمنی	0.2007	0.2581	0.1568	0.1517

بررسیها و نتایج بدست آمده از این آزمایش :

همانطور که در شکل ۸۰-۵ دیده می شود ، روند تغییرات نتایج آیین نامه ها بین نمونه BT1 و BT2 تقریبا شبیه به نتایج عملی است ، اما در مرحله بعدی ، تأثیر تغییر نوع دوربین از حالت نصب در دو طرف به حالت نصب U شکل ، هیچ اثری در نتایج BS ، FIB و ISIS نگذاشته که دلیل آن همانطور که در آزمایش دوم مطرح شد ، عدم دخالت این ضابطه در روابط طراحی آیین نامه ها است . اما با افزایش عرض نوارهای FRP به حدی که کل سطوح جانبی تیر را بپوشاند ، از حالت BT3 به BT4 برای تمامی نتایج ، چه عملی و چه تئوری ، افزایشی مشاهده می شود . در مرحله بعدی با مهار FRP در نتایج عملی و همچنین FIB و ISIS ، تغییراتی در جهت رشد مقاومت برشی مشهود است ؛ اما برای ACI و BS اینگونه نیست که می توان اینطور توجیه کرد که مقدار کرنش در ACI و BS به مقادیر حد خود حتی قبل از مهاربندی رسیده و اعمال مهاربندی در این دو آیین نامه همانگونه که توضیح داده شد ، تأثیری در مقادیر نتایج آنها نمی گذارد . از لحاظ میانگین کلی ضرایب ایمنی آیین نامه ها نیز می توان به ترتیبی غیر از آزمایشهای قبلی دست یافت به گونه ای که جای ACI و BS عوض شده و درنتیجه ترتیب محافظه کاری نتایج به صورت زیر خواهد بود :

$$\text{ISIS} > \text{BS} > \text{ACI} > \text{FIB}$$

## ۴-۵ : آزمایش‌های مقاومسازی فشاری

### ۱-۴-۵ : آزمایش اول مقاومسازی فشاری

در این آزمایش که توسط Pu. Wang [۳۴] انجام شده است، اثر دورپیچ کامل یک ستون کوتاه توسط CFRP بررسی می‌گردد. برای این منظور دو سری نمونه، آزمایش شده است. در سری اول چهار ستون کوتاه با قطر 200 mm مورد آزمایش قرار گرفته است. از این چهار ستون، دو ستون به وسیله سه لایه از CFRP تقویت می‌گردد. در سری دوم سه ستون با همان قطر 200mm آزمایش شده که یکی از آنها با یک لایه و یکی دیگر با سه لایه CFRP تقویت می‌شود. در ستونهای سری دوم، آرماتورهای فولادی طولی و عرضی نیز وجود دارد، در حالیکه سری اول فاقد آرماتور داخلی است. پارامترهای لازم جهت طراحی در جدول ۷۶-۵ آورده شده است.

در این سری از آزمایش‌های مقاومسازی فشاری، پارامتری که بین نتایج تجربی و آین نامه‌ها مقایسه می‌گردد، مقدار مقاومت فشاری بتن محبوس شده،  $f_{cc}$ ، می‌باشد. در این آزمایش نتایج این پارامترها در جدول ۷۷-۵ آورده شده است. جهت نمایش بهتر این نتایج، از دیاگرام‌های شکل‌های ۸۲-۵ و ۸۳-۵ استفاده می‌گردد. لازم به ذکر است که همانند نمودارهای برش، نماد مربع نشانگر دیاگرام نتایج ACI، دایره FIB، ستاره BS، لوزی ISIS و مثلث، نشاندهنده نتایج عملی می‌باشد.

جدول ۷۶-۵ : خصوصیات ستون و FRP

پارامترها	B1	B2	B3	B4	C1-1	C1-2	C1-3
$d$	200	200	200	200	200	200	200
$t_f$	---	---	0.1201	0.1201	---	0.1201	0.1201
$n_f$	---	---	3	3	---	1	3
$A_s$	---	---	---	---	452.16	452.16	452.16
$f'_c$	43.5	46.5	45.7	47.7	52.5	37.2	41.5
$f_{cu}$	53.5	56.5	55.7	57.7	62.5	47.2	51.5
$f_y$	---	---	---	---	380	380	380
$f_{fu}$	---	---	4400	4400	---	4400	4400
$C_E$	---	---	0.95	0.95	---	0.95	0.95
$E_f$	---	---	235000	235000	---	235000	235000
$\gamma_{mE}$	---	---	1.1	1.1	---	1.1	1.1
$\gamma_f$	---	---	1.35	1.35	---	1.35	1.35
$\phi_f$	---	---	0.75	0.75	---	0.75	0.75

جدول ۷۷-۵ : نتایج مقاومت فشاری بتن ( $f_{cc}$ ) ستونها بعد از اثر ضریب ایمنی

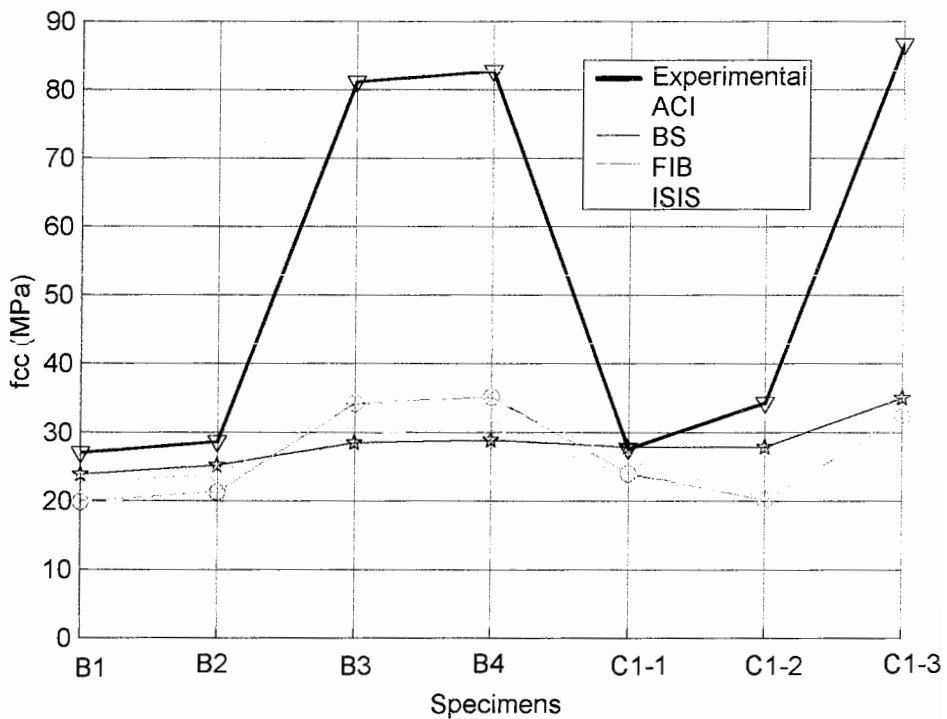
نمونه ها	$f_{cc}$ (MPa)				
	Exp.	ACI	BS	FIB	ISIS
B1	27.06	19.66	23.9	19.96	22.75
B2	28.65	21.02	25.23	21.34	23.81
B3	81.17	29.64	28.51	34.28	34.01
B4	82.76	30.59	28.92	35.21	34.67
C1-1	27.64	23.73	27.92	24.09	25.9
C1-2	34.32	21.35	27.92	20.17	20.47
C1-3	86.84	30.65	35.04	32.34	32.6

جدول ۷۸-۵ : ضرایب ایمنی و انحراف معیار نتایج آبین نامه ها نسبت به نتایج آزمایشگاهی

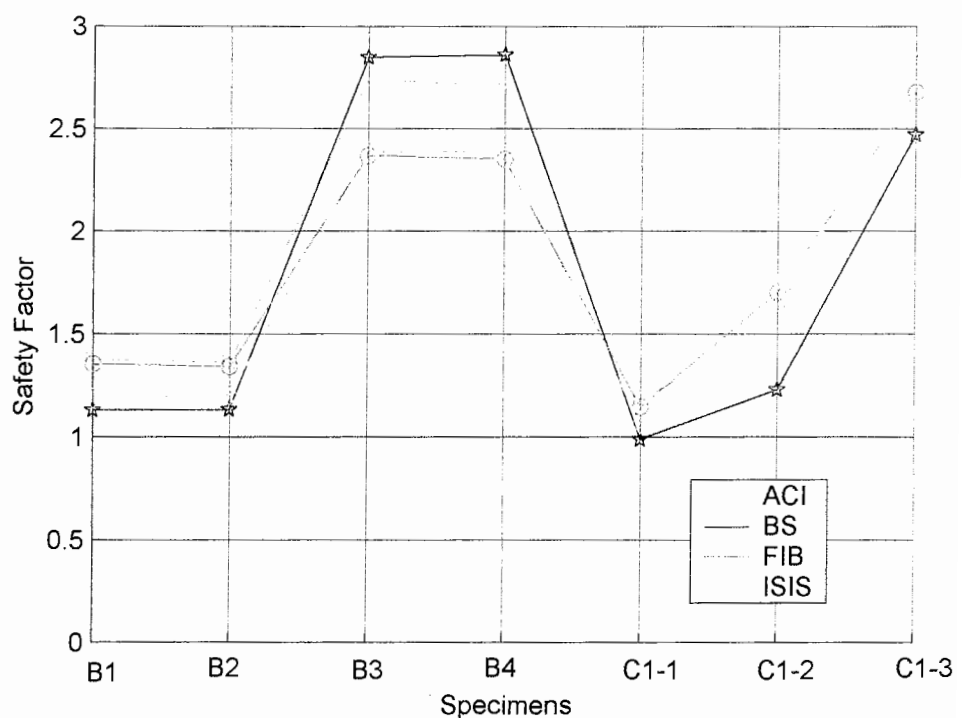
		ACI	BS	FIB	ISIS
تیر شاهد سری اول	ضریب ایمنی	1.3764	1.1322	1.3557	1.1895
تیر شاهد سری دوم	ضریب ایمنی	1.1648	0.9900	1.1474	1.0672
تیرهای تقویت شده	ضریب ایمنی	2.2690	2.2814	2.0203	1.9923
با FRP سری اول	انحراف معیار ضرایب ایمنی	0.6408	0.8103	0.4793	0.5579
تیرهای تقویت شده	ضریب ایمنی	2.2171	1.8509	2.1903	2.1671
با FRP سری دوم	انحراف معیار ضرایب ایمنی	0.6096	0.6217	0.4887	0.4905
کل نمونه ها	ضریب ایمنی	1.9689	1.8098	1.8492	1.7954
	انحراف معیار ضرایب ایمنی	0.6935	0.8057	0.5636	0.6217

جدول ۷۹-۵ : نتایج مقاومت فشاری بتن ( $f_{cc}$ ) ستونهای تقویت شده ، قبل از اثر ضریب ایمنی

نمونه ها	$f_{cc}$ (MPa)				
	Exp.	ACI	BS	FIB	ISIS
B3	81.17	65.57	63.36	74.68	85.33
B4	82.76	67.69	64.26	76.7	87.33
C1-2	34.32	47.23	62.04	43.96	50.53
C1-3	86.84	67.82	77.87	70.45	81.13



شکل ۸۲-۵ : دیاگرام تغییرات مقاومت فشاری بتن برای نمونه های مختلف



شکل ۸۳-۵ : دیاگرام تغییرات ضرایب ایمنی برای نمونه های مختلف

بررسیها و نتایج بدست آمده از این آزمایش :

همانطور که مشاهده می شود ، در نمونه های مختلف جز یک مورد ، روند تغییرات مقاومت فشاری بتن در نتایج تئوری و عملی شبیه به یکدیگر است . در این بین ، BS کمترین تأثیرات را می پذیرد ، در حالیکه FIB نسبت به دیگر آیین نامه ها حساس تر می باشد . در نمونه های تقویت شده ، به علت وجود ضرایب ایمنی و اطمینان بسیار بالا ، نتایج با نتایج عملی فاصله زیادی گرفته اند و حال آنکه می توان نتایج این آیین نامه ها را بدون اعمال ضریب ایمنی در جدول ۷۹-۵ ملاحظه کرده و مقایسه نمود . در سری اول ، روند تغییرات مقاومت بتن منطقی است به صورتی که با تقویت فشاری ، مقدار آن افزایش یافته است . اما در سری دوم از حالت تقویت نشده به حالت تقویت شده با یک لایه از CFRP ، مقداری کاهش در نتایج FIB ، ISIS و ACI دیده می شود . علت این موضوع را می توان در کاهش مقاومت فشاری مشخصه بتن نمونه تقویت شده نسبت به حالت قبل از مقاومسازی دانست . البته این اثر در BS ، تأثیر کمی گذاشته و نتیجه افزایشی تقویت با نتیجه کاهشی مقاومت مشخصه بتن ، خنثی شده است و در نتیجه نمودار آن بدون تغییر باقی مانده است . اما در مورد نمونه آخر سری دوم ( C1-3 ) ، با توجه به افزایش لایه های FRP و همچنین افزایش کمی در مقاومت مشخصه فشاری بتن ، روند رو به رشدی در مقدار  $\text{f}_{\text{c}}$  در تمام نتایج مشاهده گردیده است . با بررسی نتایج می توان مشاهده نمود که وجود آرماتورهای طولی و عرضی ، اثر کمی بر مقاومت فشاری بتن گذاشته و به مقدار کمی آن را افزایش می دهد . در مورد ضریب ایمنی با توجه به جدول ۷۸-۵ ، می توان گفت که ترتیب زیر برای محافظه کاری آیین نامه ها ، حاصل می شود : ACI > FIB > BS > ISIS .

## ۲-۴-۵ : آزمایش دوم مقاومت فشاری

در این آزمایش که توسط L. Lam [۱۹] انجام شده است، اثر نوع FRP (با الیاف کربن یا شیشه) و همچنین تعداد لایه های محصور کننده ستون بر مقاومت فشاری بتن محبوس شده بررسی می گردد. بر این اساس پنج نمونه مورد ارزیابی قرار می گیرد. سه نمونه از این ستونها به ترتیب توسط یک لایه، دو لایه و سه لایه CFRP و دو نمونه دیگر توسط یک و دو لایه GFRP محصور می شوند. پارامترهای لازم جهت طراحی در جدول ۸۰-۵، آورده شده است. نتایج آزمایش و محاسبات انجام شده به کمک کامپیوتر نیز در جدول و دیاگرامهایی، ارائه گردیده است.

جدول ۸۰-۵ : خصوصیات ستون و FRP

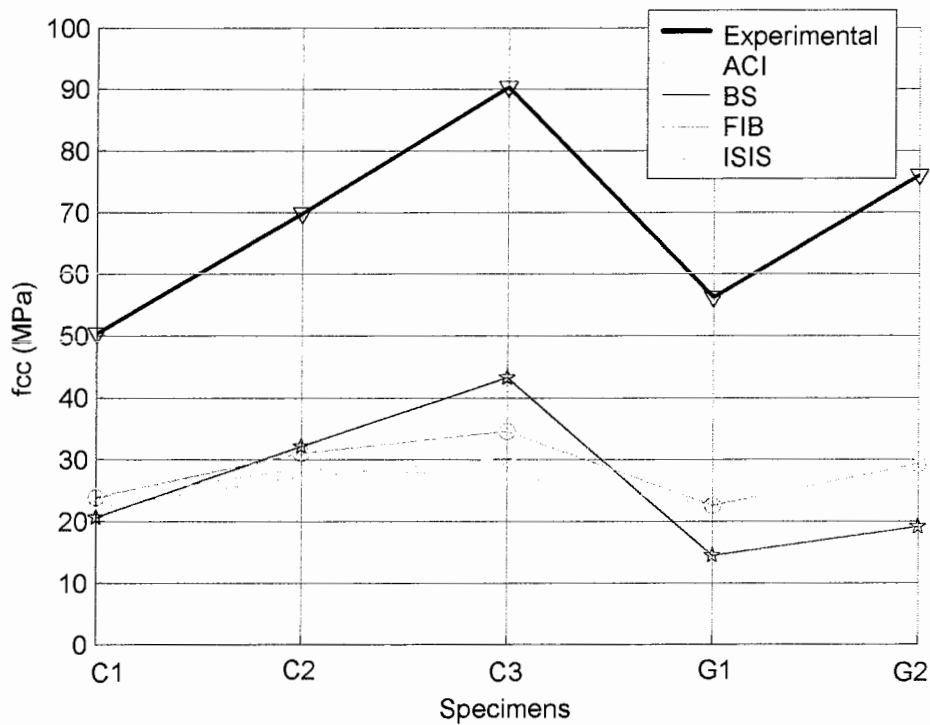
پارامترها	C1	C2	C3	G1	G2
<b>d</b>	152	152	152	152	152
<b>t<sub>f</sub></b>	0.165	0.165	0.165	1.27	1.27
<b>n<sub>f</sub></b>	1	2	3	1	2
<b>f<sub>c</sub></b>	35.9	35.9	34.3	38.5	38.5
<b>f<sub>cu</sub></b>	45.9	45.9	43.88	48.5	48.5
<b>f<sub>fu</sub></b>	4203	4203	4203	490	490
<b>C<sub>E</sub></b>	0.95	0.95	0.95	0.75	0.75
<b>E<sub>f</sub></b>	258810	258810	258810	22455	22455
<b>γ<sub>mE</sub></b>	1.1	1.1	1.1	1.8	1.8
<b>γ<sub>f</sub></b>	1.2	1.2	1.2	1.3	1.3
<b>φ<sub>f</sub></b>	0.75	0.75	0.75	0.65	0.65

جدول ۸۱-۵ : نتایج مقاومت فشاری بتن ( $f_{cc}$ ) ستونها بعد از اثر ضریب ایمنی

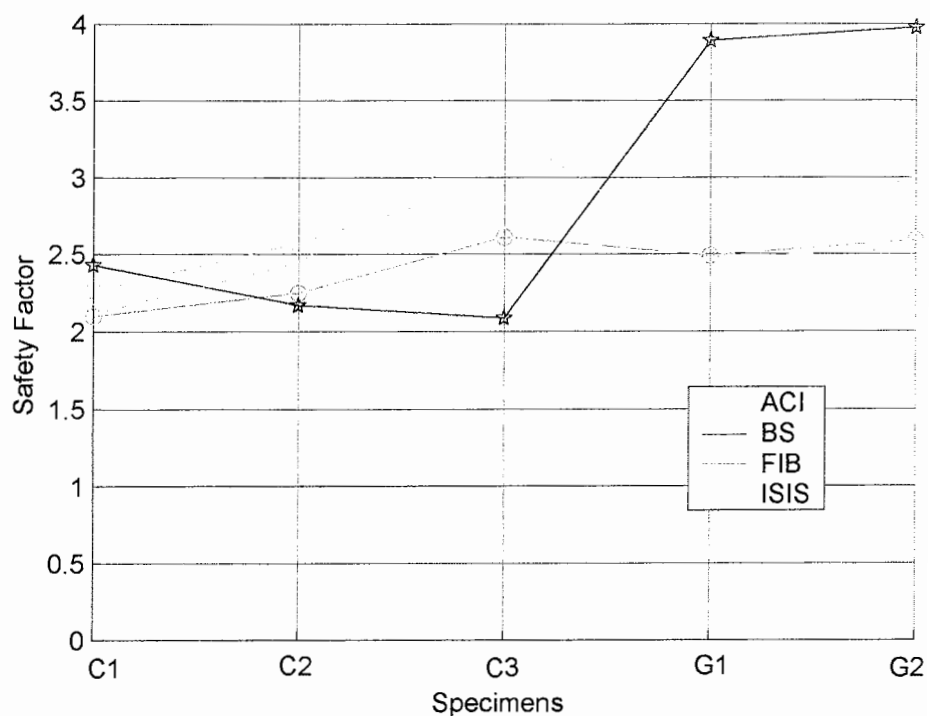
نمونه ها	$f_{cc}$ (MPa)				
	Exp.	ACI	BS	FIB	ISIS
C1	50.4	22.32	20.72	24	23.84
C2	69.9	27.15	32.21	31.07	28.58
C3	90.4	30.26	43.3	34.61	27.4
G1	56.2	21.67	14.44	22.57	22.72
G2	76	25.31	19.13	29.32	30

جدول ۸۲-۵ : ضرایب ایمنی و انحراف معیار نتایج آین نامه ها نسبت به نتایج آزمایشگاهی

کل نمونه ها	ضریب ایمنی	ACI	BS	FIB	ISIS
	انحراف معیار ضرایب ایمنی	2.6833	2.9110	2.4088	2.5732



شکل ۸۴-۵ : دیاگرام تغییرات مقاومت فشاری بتن برای نمونه های مختلف



شکل ۸۵-۵ : دیاگرام تغییرات ضرایب ایمنی برای نمونه های مختلف

جدول ۸۳-۵ : نتایج مقاومت فشاری بتن ( $f_{cc}$ ) ستونهای تقویت شده ، قبل از اثر ضریب ایمنی

نمونه ها	$f_{cc}$ (MPa)				
	Exp.	ACI	BS	FIB	ISIS
C1	50.4	49.38	46.04	52.25	58.71
C2	69.9	60.06	71.58	67.7	70.39
C3	90.4	66.95	96.22	75.4	67.25
G1	56.2	47.94	32.08	49.18	56.2
G2	76	55.99	42.5	63.88	74

بررسیها و نتایج بدست آمده از این آزمایش :

همانطور که در شکل دیده می شود ، با افزایش تعداد لایه های FRP ، مقاومت فشاری بتن نیز در تمام حالات افزایش می یابد . براساس نتایج ، تأثیر تعداد لایه های FRP در مقاومت فشاری بتن برای BS نزدیکترین حالت نسبت به نتایج عملی می باشد . اما در آین نامه های دیگر این تأثیر کمتر است . در مورد ISIS ، برای دو نمونه C3 و C2 مقدار مقاومت فشاری بتن ( $f_{cc}$ ) ، تقریبا ثابت بوده و افزایشی دیده نمی شود که می توان علت آن را در کاهش مقاومت مشخصه فشاری نمونه C3 نسبت به C2 دانست . این نتایج ، همانطور که در آزمایش قبل توضیح داده شد ، ناشی از ضرایب ایمنی بالاست که با حذف آن می توان دید نتایج آین نامه ها بسیار نزدیک به نتایج عملی می باشد (جدول ۸۳-۵) .

نکته دیگری که از این دیاگرام قابل استخراج است ، این موضوع است که نتایج عملی نمونه های سری دوم که از GFRP البته با ضخامت تقریبی هشت برابر CFRP نسبت به سری اول استفاده شده است ، افزایش نسبی کمی مشاهده می شود ؛ اما در نتایج آین نامه ها این موضوع بر عکس می باشد . به هر حال با توجه به جدول ۸۲-۵ ، ترتیب ضرایب ایمنی آین نامه ها به صورت  $BS > ACI > ISIS > FIB$  می باشد . البته لازم به ذکر است ، با توجه به دیاگرام ضرایب ایمنی می توان دریافت که BS در سری اول که از CFRP استفاده شده است ، کمترین ضریب ایمنی را دارد و حال آنکه در سری دوم ، دقیقا بر عکس می باشد ؛ لذا از نظر میزان تأثیر نوع FRP بر ضریب ایمنی نتایج ، ترتیب مشهود است :  $BS > ISIS > ACI > FIB$  .

### ۳-۴-۵ : آزمایش سوم مقاومسازی فشاری

هدف از این آزمایش که توسط M. Theriault [۳۲] ، انجام شده است نیز بررسی اثر تعداد لایه های دوربیج شده CFRP به دور ستون می باشد . در این راستا ، چهار نمونه مورد بررسی قرار می گیرد که قطر همه آنها برابر ۱۵۰ mm است . سه ستون به ترتیب توسط یک ، دو و سه لایه CFRP محصور شده اند و ستون آخر بدون مقاومسازی ، به عنوان ستون شاهد مورد آزمایش قرار می گیرد . داده های لازم جهت طراحی توسط آین نامه ها در جدول ۸۴-۵ آورده شده است .

جدول ۸۴-۵ : خصوصیات ستون و FRP

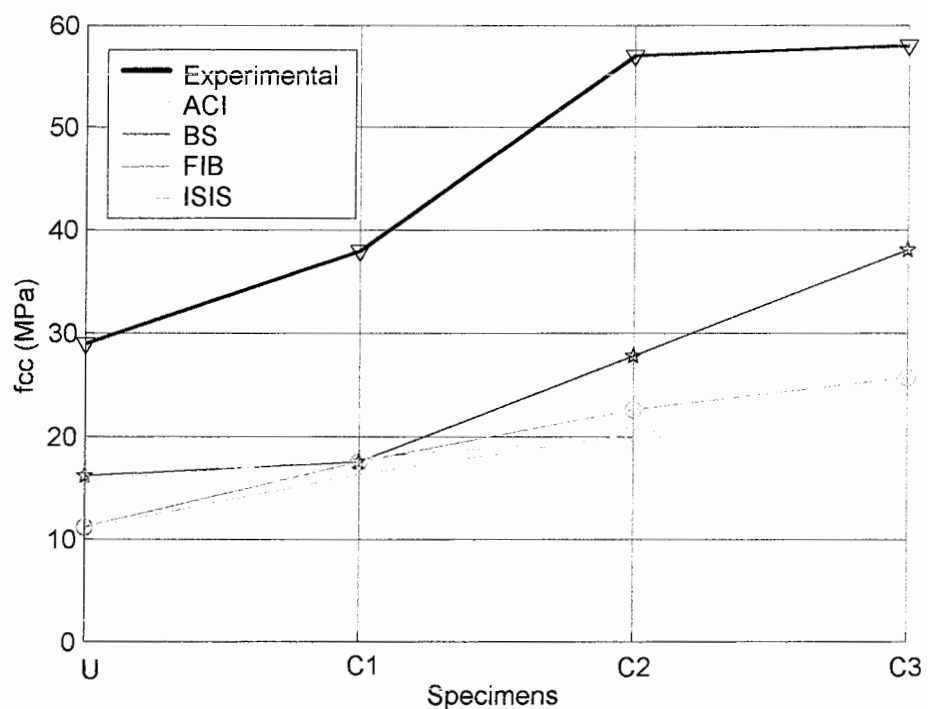
پارامترها	U	C1	C2	C3
$d$	150	150	150	150
$t_f$	---	0.165	0.165	0.165
$n_f$	---	1	2	3
$f'_c$	24.5	24.5	24.5	24.5
$f_{cu}$	36.3	36.3	36.3	36.3
$f_{fu}$	---	3400	3400	3400
$C_E$	---	0.95	0.95	0.95
$E_f$	---	228000	228000	228000
$\gamma_{mE}$	---	1.1	1.1	1.1
$\gamma_f$	---	1.2	1.2	1.2
$\phi_f$	---	0.75	0.75	0.75

جدول ۸۵-۵ : نتایج مقاومت فشاری بتن (  $f'_{cc}$  ) ستونها بعد از اثر ضریب ایمنی

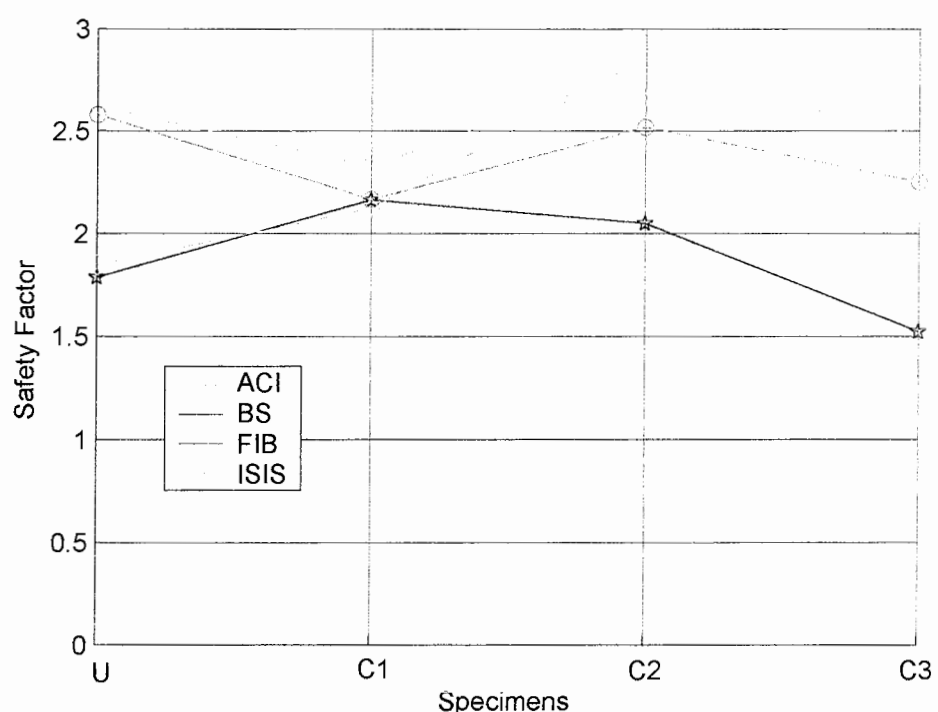
نمونه ها	$f'_{cc}$ (MPa)				
	Exp.	ACI	BS	FIB	ISIS
U	29	11.07	16.21	11.24	15.69
C1	38	16.32	17.55	17.55	17.91
C2	57	20.27	27.81	22.63	19.92
C3	58	23.44	38.07	25.77	19.92

جدول ۸۶-۵ : ضرایب ایمنی و انحراف معیار نتایج آین نامه ها نسبت به نتایج آزمایشگاهی

		ACI	BS	FIB	ISIS
تیر شاهد	ضریب ایمنی	2.6197	1.7890	2.5801	1.8483
تیرهای تقویت شده با FRP	ضریب ایمنی	2.5383	1.9124	2.3116	2.6316
	انحراف معیار ضرایب ایمنی	0.2025	0.2789	0.1506	0.3611
کل نمونه ها	ضریب ایمنی	2.5586	1.8815	2.3787	2.4358
	انحراف معیار ضرایب ایمنی	0.1789	0.2474	0.1747	0.4614



شکل ۸۶-۵ : دیاگرام تغییرات مقاومت فشاری بتن برای نمونه های مختلف



شکل ۸۷-۵ : دیاگرام تغییرات ضرایب ایمنی برای نمونه های مختلف

جدول ۸۷-۵ : نتایج مقاومت فشاری بتن ( $f_{cc}$ ) ستونهای تقویت شده ، قبل از اثر ضریب ایمنی

نمونه ها	$f_{cc}$ (MPa)				
	Exp.	ACI	BS	FIB	ISIS
C1	38	36.11	39	38.24	43.2
C2	57	44.84	61.8	49.3	48.04
C3	58	51.87	84.6	56.16	48.04

بررسیها و نتایج بدست آمده از این آزمایش :

در این سری آزمایش نیز با توجه به دیاگرام شکل ۸۶-۵ می توان دید که با افزایش تعداد لایه های FRP دورپیچ شده به دور ستون ، مقاومت فشاری بتن افزایش می یابد . این موضوع در تمامی نتایج به جز دو مورد مشاهده شده است . در نمونه C1 نسبت به نمونه قبل از مقاومسازی ، تأثیر تقویت در نتایج آین نامه های ACI و FIB شباهت بیشتری به نتایج عملی داشته در حالی که BS با شبکه کمی رشد نموده اند . با افزایش تعداد لایه ها در نمونه C2 به مقدار دو لایه ، روند افزایشی ACI و FIB همانند حالت قبل ادامه پیدا کرده در حالیکه نتایج عملی با شبکه بیشتری به افزایش خود ادامه می دهند . در این مرحله نتایج BS تشابه بیشتری نسبت به نتایج عملی پیدا کرده است .

در مرحله سوم ، افزایش تعداد لایه ها به سه لایه تأثیر بسیار کمی در نتایج عملی گذارد که در حالیکه BS و ACI و FIB به روند افزایشی با شبکه مرحله قبل ادامه داده اند . اما نکته ای که در ISIS مشاهده می شود آنستکه این افزایش مقاومت ، متوقف گردیده است . علت این امر را می توان در روابط طراحی ISIS مشاهده کرد . با مرور فصلهای قبل به روشنی می توان دید که در ISIS ، دو ضابطه جهت محدود کردن مقدار مقاومت فشاری بتن استفاده می شود و همین امر موجب می گردد که در این آزمایش با افزایش تعداد لایه ها از دو به سه لایه تأثیری در مقاومت فشاری بتن دیده نشود . در این آزمایش نیز نتایج آین نامه ها بدون ضریب نزدیک و حتی گاهی اوقات بیشتر از نتایج عملی بوده که در جدول ۸۷-۵ آورده شده است . در نهایت ترتیب ضرایب ایمنی نتایج آین نامه ها را برای این آزمایش می توان به صورت مقابل آرائه کرد : ACI > ISIS > FIB > BS .

#### ۴-۴-۵: آزمایش چهارم مقاومسازی فشاری

در این آزمایش که توسط J. G. Teng [۳۱] ، انجام شده است ، دوباره اثر نوع CFRP (FRP) در این آزمایش که توسط J. G. Teng [۳۱] ، انجام شده است ، دوباره اثر نوع ۱ و نوع ۲) و همچنین اثر تعداد لایه های CFRP دورپیچ شده بر روی ستون در حالت نوع ۲ ، مقایسه می گردد . داده های لازم برای نمونه های مختلف در جدول ۸۸-۵ آورده شده است. نتایج نیز همانند قبل در شکلها و جداول زیر ارائه گردیده است .

جدول ۸۸-۵ : خصوصیات ستون و FRP

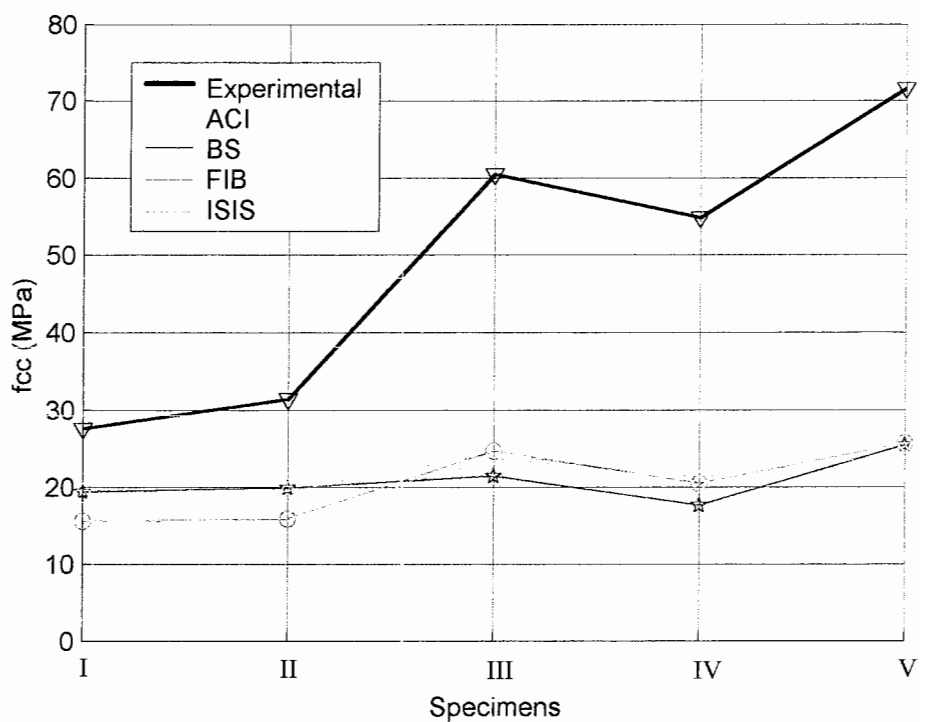
پارامترها	I	II	III	IV	V
$d$	151.9	152	152	151.6	152.3
$t_f$	---	---	0.165	0.11	0.11
$n_f$	---	---	1	1	2
$f'_c$	34.06	34.75	38.8	37.1	35.8
$f_{cu}$	43.5	44.6	48.8	47.1	45.8
$f_{fu}$	---	---	3983	3824	3824
$C_E$	---	---	0.95	0.95	0.95
$E_f$	---	---	263000	276000	276000
$\gamma_m E$	---	---	1.1	1.1	1.1
$\gamma_f$	---	---	1.2	1.2	1.2
$\phi_f$	---	---	0.75	0.75	0.75

جدول ۸۹-۵ : نتایج مقاومت فشاری بتن ( $f'_{cc}$ ) ستونها بعد از اثر ضریب ایمنی

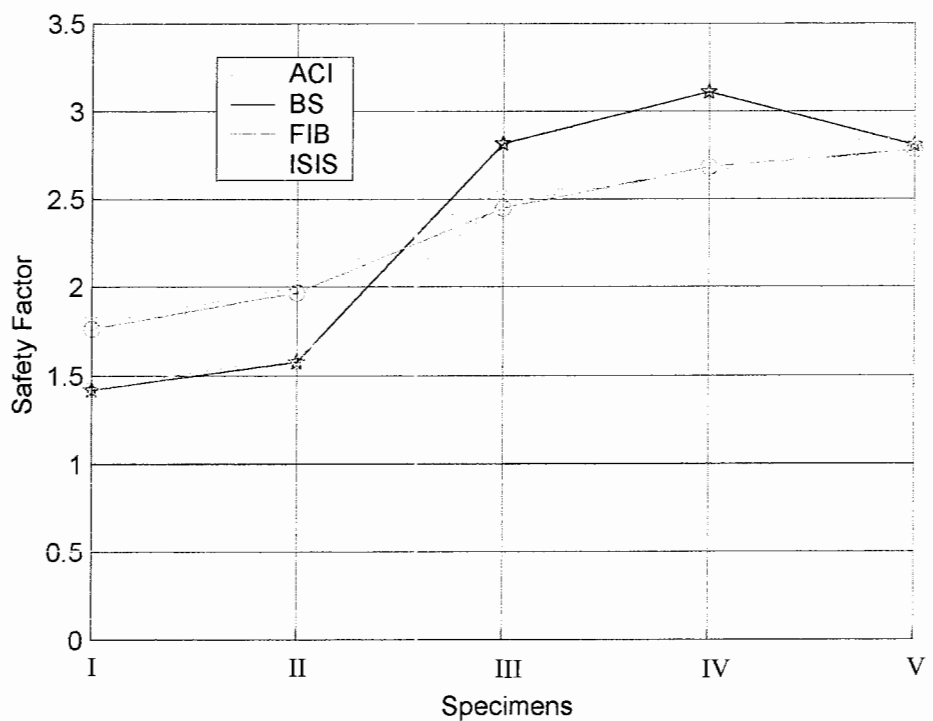
نمونه ها	$f'_{cc}$ (MPa)				
	Exp.	ACI	BS	FIB	ISIS
I	27.6	15.39	19.43	15.63	19.31
II	31.4	15.71	19.92	15.95	19.56
III	60.5	23.77	21.49	24.7	24.4
IV	54.9	21.28	17.66	20.47	20.65
V	71.6	24.41	25.51	25.76	25.75

جدول ۹۰-۵ : ضرایب ایمنی و انحراف معیار نتایج آبین نامه ها نسبت به نتایج آزمایشگاهی

		ACI	BS	FIB	ISIS
تیر شاهد اول	ضریب ایمنی	1.7934	1.4205	1.7658	1.4293
تیر شاهد دوم	ضریب ایمنی	1.9987	1.5763	1.9687	1.6053
تیرهای تعویت شده با FRP	ضریب ایمنی	2.6861	2.9102	2.6370	2.6396
	انحراف معیار ضرایب ایمنی	0.1753	0.1404	0.1385	0.1236
کل نمونه ها	ضریب ایمنی	2.3701	2.3455	2.3291	2.1907
	انحراف معیار ضرایب ایمنی	0.4153	0.7019	0.3973	0.5608



شکل ۸۸-۵ : دیاگرام تغییرات مقاومت فشاری بتن برای نمونه های مختلف



شکل ۸۹-۵ : دیاگرام تغییرات ضرایب ایمنی برای نمونه های مختلف

جدول ۹۱-۵ : نتایج مقاومت فشاری بتن ( $f_{cc}$ ) ستونهای تقویت شده ، قبل از اثر ضریب ایمنی

نمونه ها	$f_{cc}$ (MPa)				
	Exp.	ACI	BS	FIB	ISIS
III	60.5	52.6	47.75	53.81	60.4
IV	54.9	47.1	39.24	44.6	50.97
V	71.6	54.01	56.69	56.12	63.42

بررسیها و نتایج بدست آمده از این آزمایش :

همانطور که در دیاگرامها مشاهده می شود ، تغییرات مقاومت فشاری بتن طی نمونه های مختلف برای نتایج آیین نامه ها و نتایج عملی ، یکسان است ، اما میزان درصد این تغییرات متفاوت می باشد . در این سری نمونه ها نیز ، نتایج نمونه های تقویت شده با نتایج عملی دارای ضریب ایمنی بالایی بوده و اختلاف زیادی دارند . مقادیر نتایج آیین نامه ها قبل از اعمال ضریب ایمنی که در جدول ۹۱-۵ آورده شده اند ، در بعضی اوقات از خود نتایج عملی نیز بیشتر هستند . در مقایسه بین دو نوع FRP به کاررفته ، با توجه به آنکه مقاومت نهایی و ضخامت فشاری بتن ( $f_{cc}$ ) آن مقاومت مشخصه فشاری آن کاهش یافته است ، منطقی می باشد که مقاومت فشاری بتن ( $f_{cc}$ ) آن نیز کاهش یابد که هم نتایج تئوری و هم نتایج عملی این موضوع را تأیید می کند . با افزایش تعداد لایه های FRP ، باز هم مقاومت مشخصه فشاری بتن هرچند کم ، کاهش یافته است ، اما تأثیر افزایشی خود را در نتایج عملی و تئوری گذارده است که در روند بین دو نمونه IV و V دیده می شود . از لحاظ ضرایب ایمنی می توان دید که ترتیب مقدار آن به صورت زیر برای آیین نامه های مختلف می باشد : ACI > BS > FIB > ISIS .

## فصل ششم : نتیجه گیری و پیشنهادات

### ۱-۶: کلیات

در این بخش با توجه به مطالب ارائه شده در سمینار می توان یک نتیجه گیری کلی نسبت به چهار آیین نامه مورد بحث داشت . به طور کلی می توان آیین نامه های معرفی شده در این سمینار را در چند مبحث مختلف مقایسه نمود . اولین مبحث ، نکات اجرایی مقاومسازی می باشد . آیین نامه های ACI 440 ، ACI 9.3 Task Group fib 55 و UK Technical Report 55 بیشتر به جنبه دقیقی ، نکات اجرایی را باز کرده و تشریح نموده اند ؛ در حالیکه استاندارد ISIS بیشتر به جنبه های طراحی پرداخته است . در زمینه مقاومسازی خمی ، فرضیات استفاده شده و روند طراحی در آیین نامه fib نسبت به دیگر آیین نامه ها جنبه حقیقی تری داشته و از لحاظ پایه تئوری ، قویتر می باشد . آیین نامه ACI با یکسری روشهای ساده شده ، اثر جداسدگی را لحاظ نموده و استفاده عملی تری را برای طراحان ایجاد کرده است . راهنمای ارائه شده توسط انجمن بنن انگلستان ، فرضیه وجود جداسدگی را به طور مختصراً مطرح نموده در حالیکه ISIS به طور کلی با فرض اجرای طول مهاری حداقل در انتهای ، از گسیختگی ناشی از جداسدگی صرف نظر کرده است .

نکته جالبی که در مقاومسازی خمی در ISIS مطرح شده است ، بحث تیرهای T شکل به صورت یک بخش جدا می باشد . هدف آیین نامه ISIS ، ارائه یک راهنمای ساده و کلی بوده و با آوردن ریز نکات طراحی و مثالهای مختلف و همچنین دیاگرامهایی جهت طراحی سریع سیستم مقاومسازی به این موضوع دست یافته است .

در مورد مقاومسازی برشی ، می توان گفت که راهنماییهای ارائه شده برای طراحی در تمام آیین نامه ها مشابه یکدیگر بوده و یک روند خاص را پی گرفته اند .

در رابطه با مقاومسازی پیچشی توسط FRP ، تنها آیین نامه ای که بدان پرداخته است ، آیین نامه fib می باشد . دیگر آیین نامه ها هیچ مطلبی در این زمینه ارائه نکرده اند .

مبحث بعدی محبوس کردن اعضای بتنی به خصوص ستونها توسط FRP بود که تمامی آیین نامه ها روند مشابه ای را پی گرفته اند . در بعضی از آنها مانند fib ، از لحاظ دسته بنده و حالت های مختلف محبوس کردن ، بیشتر وارد جزئیات شده و مسئله را به صورت واقعی تر مدل نموده است . در رابطه با طراحی اعضای بتنی که تحت خمش و فشار به صورت توأم قرار گرفته اند ، تنها آیین نامه ای که بدان پرداخته است ، راهنمای منتشر شده توسط انجمن بنن انگلستان می باشد .

در آیین نامه های مطرح شده ، ضوابط حالت سرویس در fib به طور کاملتری نسبت به دیگر راهنمایها مطرح شده و ACI با یک روش و فرمول ساده ، این ضابطه را کنترل کرده است . این در حالی است که در دو راهنمای دیگر تنها به طور کلی بدان پرداخته و بیشتر به ضوابط مندرج در آیین نامه های پایه خود ، ارجاع داده اند .

اگر بخواهیم این چهار راهنما را به طور کلی با یکدیگر مقایسه کنیم ، می توان گفت که استاندارد ISIS ، سریعترین و ساده ترین بیان را البته با فرضیات ساده شده مختلف داشته در

حالیکه راهنمایان انگلستان و fib پیچیده ترین روشهای را ارائه نموده اند . به نظر می رسد آیین نامه ACI با بیانی ساده تر و البته فرضیاتی معقولانه تر نسبت به ISIS یک روند طراحی مناسبی را پیش گرفته و از لحاظ مباحث اجرایی به طور کامل بدان پرداخته است . این در حالی است که استاندارد fib، از لحاظ جامعیت نسبت به دیگر آیین نامه ها برتری دارد .

موضوعی که مهم است ، آنستکه در هیچکدام از این آیین نامه ها به طور خاص به مبحث زلزله و بارهای دینامیکی ناشی از آن نپرداخته که یک خلاصه بزرگ در مباحث آیین نامه ها به نظر می رسد .

اما برای نتیجه گیری جزئی تر ، لازم است که با توجه به فصل پنجم ، نتایج آیین نامه ها در سه بخش خمش ، برش و فشار جمعبندی شده و نتایج حاصل از آنها به طور جداگانه ارائه گردد . برای این منظور سه بخش ۲-۶ الی ۴-۶ ارائه می گردد .

## **۶-۲ : نتایج مقاومسازی خمسی**

براساس دوازده آزمایش ارائه شده در این مبحث ، می توان نتایج زیر را استخراج نمود . همانطور که در فصل پنجم دیده می شود ، برای هر آزمایش جداگانه از ضرایب ایمنی و انحراف معیار آنها و همچنین درصد تطابق مود گسیختگی حاکم نسبت به نتایج آزمایشگاهی ارائه گردیده است . حال با داشتن تعداد نمونه های هر آزمایش و استفاده از فرمولهای ضمیمه (ج) ، می توان سه جدول ۱-۶ تا ۳-۶ را تنظیم کرد . در جدول ۱-۶ ، میانگین ضریب ایمنی ۱۶ نمونه تقویت نشده برای هر آیین نامه به همراه انحراف معیار آنها آورده شده است . این موضوع در جدول ۲-۶ برای ۹۳ نمونه تقویت شده و در جدول ۳-۶ برای کل نمونه ها اعم از تقویت شده و تقویت نشده ( ۱۰۹ نمونه ) ، تکرار شده است ؛ با این تفاوت که در دو جدول اخیر ، درصد تطابق مود گسیختگی حاکم نسبت به نتایج عملی نیز آورده شده است . حال با توجه به مقادیر این جداول و همچنین بررسیهای انجام شده در انتهای هر آزمایش ، می توان نتایج نهایی را در بندهای زیر ارائه کرد .

**جدول ۱-۶ : میانگین ضرایب ایمنی تیرهای تقویت نشده به همراه انحراف معیار آنها**

n = 16	ACI	BS	FIB	ISIS
میانگین ضرایب ایمنی	1.4042	1.4901	1.4892	1.5476
انحراف معیار	0.1970	0.2136	0.2126	0.2247

□ در حالت قبل از مقاومسازی ، ضرایب ایمنی نتایج ACI کمترین مقدار را داشته که نشاندهنده تزدیکتر بودن نتایج آن نسبت به نتایج عملی می باشد ، این در حالی است که ISIS محافظه کارانه ترین نتایج را ارائه کرده است . BS و FIB نیز با مقادیر نزدیک به هم دارای

ضریب ایمنی بینابین بوده که البته مقدار BS از این حیث کمی بیشتر است . از لحاظ انحراف معیار نیز دقیقا ترتیب موجود برای ضرایب ایمنی در حالت قبل از مقاومسازی تکرار شده است .

جدول ۲-۶ : میانگین ضرایب ایمنی تیرهای تقویت شده به همراه انحراف معیار و درصد تطابق مود گسیختگی حاکم آنها نسبت به نتایج آزمایشگاهی

n = 93	ACI	BS	FIB	ISIS
میانگین ضرایب ایمنی	1.3662	1.5894	1.4911	1.4503
انحراف معیار	0.3077	0.3667	0.3838	0.3785
درصد تطابق مود گسیختگی	38.71	77.42	68.82	24.73

□ در حالت بعد از مقاومسازی ، ضریب ایمنی ACI همچنان کمترین مقدار را داشته و حال آنکه BS محافظه کارانه ترین نتایج را ارائه کرده است . FIB و ISIS نیز به ترتیب از راست به چپ از لحاظ بزرگی ضریب ایمنی ، در این بین واقع هستند . ترتیب مقدار انحراف معیار در این حالت تغییر کرده به گونه ای که  $ACI < BS < FIB < ISIS$  .

جدول ۳-۶ : میانگین ضرایب ایمنی کل نمونه ها به همراه انحراف معیار و درصد تطابق مود گسیختگی حاکم آنها نسبت به نتایج آزمایشگاهی

n = 109	ACI	BS	FIB	ISIS
میانگین ضرایب ایمنی	1.3718	1.5703	1.4737	1.4646
انحراف معیار	0.2944	0.3441	0.3126	0.3617
درصد تطابق مود گسیختگی	47.71	80.73	73.39	35.78

□ همانطور که در جدول ۳-۶ مشاهده می شود ، نتایج کلی نمونه ها برای ضریب ایمنی همانند وضعیت قبل برای نمونه های تقویت شده بوده به گونه ای که ترتیب آن برای آیین نامه ها به صورت  $ACI < BS < FIB < ISIS$  ، می باشد . اما از لحاظ انحراف معیار این ترتیب با یک تغییرکلی ، به صورت  $ACI < FIB < BS < ISIS$  ، است . لازم به ذکر است که در تمامی موارد ، ACI کمترین درصد تغییرات ضریب ایمنی در نمونه های مختلف را داشته و با توجه به کمتر بودن ضریب ایمنی آن در تمام حالات ، می توان گفت ACI نزدیکترین نتایج را نسبت به نتایج عملی ارائه کرده است . در این حین ، BS نیز در تمامی حالات محافظه کارانه ترین نتایج را از خود نشان داده است .

□ با تقویت خمشی تیرها به وسیله FRP ، ضریب ایمنی برای ISIS و ACI از خود کاهش نشان داده ولی برای FIB با درصد کمی افزایش تقریباً ثابت مانده است . این درحالیستکه BS به مقدار زیادی افزایش در ضریب ایمنی خود وارد کرده است .

□ در مورد درصد تطابق مود گسیختگی حاکم ، با توجه به اینکه در حالت قبل از مقاومسازی برای تمامی آیین نامه ها ، خردشدنگی بتن است ؛ لذا مقدار آن برای همه آنها صد درصد بوده که از ذکر آن در جدول خودداری شده است . اما در حالت بعد از مقاومسازی ( جدول ۲-۶ ) ، این مقدار مخصوصاً برای ACI و ISIS به شدت افت می کند . همانطور که در جدول ۲-۶ دیده می شود ، پیش بینی مود گسیختگی حاکم در BS نزدیکترین نتایج را نسبت به نتایج عملی ارائه کرده ، درحالیکه ISIS در این مورد ، بدترین نتایج را نشان داده است . FIB نیز با مقادیری نزدیک به BS ، نتایج خوبی را ارائه کرده ، درحالیکه ACI بعد از ISIS کمترین درصد تطابق را دارا می باشد . این نتایج همانطور که در جدول ۳-۶ مشاهده می شود ، دوباره تکرار گردیده به گونه ای که ترتیب درصد تطابق مود گسیختگی حاکم در نتایج آیین نامه ها نسبت به نتایج عملی ، به صورت ISIS > FIB > ACI > BS ، می باشد .

□ افزایش ضخامت FRP موجب افزایش مقاومت نهایی تیر می گردد . این موضوع هم در نتایج عملی و هم در نتایج تمامی آیین نامه ها صادق بوده و معمولاً در نتایج عملی بیشتر است . اما نکته قابل ذکر در آنستکه در نتایج عملی و نتایج ACI ، بعد از رسیدن ضخامت FRP به یک حد خاص ، تغییر در روند مقاومت نهایی ، در ابتدا روند ثابت و سپس نزولی در پیش گرفته ، درحالیکه در سه آیین نامه دیگر معمولاً روند افزایش ، هرچند کم ، همچنان ادامه پیدا می کند .

□ با کاهش سختی FRP در مقاومسازی خمشی ، اثر جدادشدنگی خصوصاً در نتایج ACI و نتایج عملی کاسته می شود و معمولاً ضریب ایمنی نتایج آیین نامه ها نسبت به نتایج عملی بیشتر می گردد .

□ با افزایش مقاومت فشاری بتن ، مقدار ظرفیت نهایی مقطع حاصله از آیین نامه ها و نتایج عملی ، افزایش یافته و مقدار ضریب ایمنی نتایج آیین نامه ها بیشتر می شود که ناشی از این امر است که نتایج عملی تأثیر بیشتری از این لحاظ می بیند ؛ در این مورد ترتیب تأثیرپذیری آیین نامه ها به صورت BS > FIB > ACI > ISIS ، می باشد . در این شرایط درصد امکان گسیختگی ناشی از جدادشدنگی ، کاهش می یابد .

□ تأثیر تغییرات تنفس تسلیم آرماتورهای کششی فولادی نسبت به تأثیر تغییرات مقاومت مشخصه بتن فشاری بر مقاومت نهایی مقطع ، بیشتر است . این تأثیر ، در نتایج عملی بیشتر از نتایج آیین نامه ها می باشد .

- با افزایش تعداد لایه های FRP ، البته تا یک حد خاص ، نتایج ACI و ISIS همانند نتایج عملی تأثیرپذیری زیادی از خود نشان داده و افزایش می یابند . در این موارد ، این اثر با افزایش سختی FRP ، بیشتر می گردد . اما نتایج BS و FIB نسبت به این تغییر و اکنون کمتری نشان داده و میزان تأثیرپذیری آنها به نوع FRP و سختی آن بستگی ندارد .
- تأثیرپذیری نتایج آیین نامه ها نسبت به تغییرات ابعادی کل اجزاء نمونه ، بیشتر از نتایج عملی می باشد . با افزایش تعداد لایه ها ، در نمونه های نظیر هم ، این اثر برای BS و FIB کمتر شده ولی در نتایج عملی ، ISIS و ACI ، تقریبا ثابت باقی می ماند . همچنین با افزایش سایز تیر ، در صد افزایش تقویت تیر نسبت به تغییرات ضخامت FRP برای FIB و BS کمتر شده و در دو آیین نامه دیگر و نتایج عملی ثابت باقی می ماند . همچنین با افزایش سایز نمونه ، ضریب ایمنی نتایج آیین نامه ها کاسته می شود .
- با تغییرات عرض FRP خمی ، نتایج ACI و ISIS نسبت به FIB و BS تأثیر بیشتری می گیرد .

### ۳-۶: نتایج مقاومسازی برشی

براساس چهار آزمایش بررسی شده در فصل پنجم ، می توان همانند قسمت قبل ، جداول میانگین ضرایب ایمنی و انحراف معیار همه نمونه ها را با توجه به فرمولهای ارائه شده در ضمیمه (ج) ، برای سه حالت نمونه های قبل از تقویت ، بعد از تقویت و کل نمونه ها ، به صورت جداول ۴-۶ تا ۶-۶ نشان داد . حال با توجه به این جداول و بررسیهای انجام شده برای هر آزمایش در فصل پنجم ، می توان نتایج زیر را برای مقاومسازی برشی ارائه نمود .

جدول ۴-۶ : میانگین ضرایب ایمنی تیرهای تقویت نشده به همراه انحراف معیار آنها

n = 4	ACI	BS	FIB	ISIS
میانگین ضرایب ایمنی	1.8215	1.5247	1.5971	2.1234
انحراف معیار	0.4798	0.3602	0.4264	0.6014

- با نصب FRP های برشی ، ظرفیت برشی تیرها افزایش می یابد ، در صد این افزایش در آیین نامه های FIB ، ACI و ISIS نسبت به نتایج عملی بیشتر است . بنابراین با نصب لایه های FRP ضریب ایمنی نتایج این آیین نامه ها کاهش می یابد . اما این موضوع در آیین نامه BS بر عکس بوده و موجب می گردد که ضریب ایمنی بعد از تقویت ، افزایش پیدا کند . این نتایج ، با توجه در جداول ۴-۶ و ۵-۶ تأیید می گردد .

جدول ۵-۶ : میانگین ضرایب ایمنی تیرهای تقویت شده به همراه انحراف معیار آنها

n = 14	ACI	BS	FIB	ISIS
میانگین ضرایب ایمنی	1.6588	1.7839	1.4573	1.9688
انحراف معیار	0.3870	0.4124	0.3395	0.4412

با توجه به جدول ۴-۶ ، می توان ترتیب محافظه کاری آیین نامه ها را به صورت ISIS > ACI > FIB > BS دید . با تقویت تیرها توسط FRP ، میانگین ضرایب ایمنی برای آیین نامه ها ، ترتیب دیگر پیدا کرده به گونه ای که FIB نزدیکترین نتایج و ISIS دورترین آنها را ارائه می دهد . ترتیب ضریب ایمنی در بررسی این چهارده تیر تقویت شده به صورت زیر می باشد : ISIS > BS > ACI > FIB . ترتیب انحراف معیار در هر دو سری ( قبل از تقویت و بعد از تقویت ) ، همان ترتیب ضرایب ایمنی شان می باشد .

جدول ۶-۶ : میانگین ضرایب ایمنی کل نمونه ها به همراه انحراف معیار آنها

n = 18	ACI	BS	FIB	ISIS
میانگین ضرایب ایمنی	1.6949	1.7263	1.4884	2.0030
انحراف معیار	0.4150	0.4156	0.3653	0.4857

- در مورد کل نمونه ها ، همانطور که در جدول ۶-۶ مشاهده می شود ، ترتیب ضریب ایمنی و انحراف معیار همان ترتیب نمونه های تقویت شده است .
- در ضخامتهای کم FRP ، اثر تقویت برشی در نتایج آیین نامه ها نسبت به حالت قبل از مقاومسازی بیشتر است .
- نتایج تمامی آیین نامه ها در مقایسه بین دو حالت دورپیچ U شکل و دورپیچ کامل ، تفاوت کمتری از خود نشان می دهند و حال آنکه نتایج عملی به شدت تحت تأثیر قرار می گیرد و لذا در حالت دورپیچ U شکل ، ضریب ایمنی کاهش داشته ولی در حالت دروپیچ کامل ، افزایش می یابد .
- دیاگرام نتایج FIB و همچنین در بعضی اوقات BS و ISIS نسبت به دو نحوه دورپیچ U شکل FRP و نصب آن در طرفین مقطع ، تفاوتی قائل نمی شود و حال آنکه ظرفیت برشی حالت اول در نتایج عملی و ACI بیشتر است .

- ارتفاع نوارهای FRP برشی در وجوده تیر ، تأثیری در نتایج FIB نمی گذارد ، چراکه متغیری با این مشخصه در روابط طراحی آن وجود ندارد .
- درصد افزایش مقاومت برشی در نتایج ACI و FIB ، با بیشترین تأثیر نسبت به تغییرات عرض نوارهای FRP برشی ، مشابه نتایج عملی رفتار می کنند ؛ اما نتایج ISIS و BS در این زمینه تأثیر کمتری می پذیرند .
- عموماً با تقویت برشی به کمک نوارهای FRP با عرض کم ، ضریب ایمنی نتایج آیین نامه ها افزایش یافته ، اما در عرضهای زیاد نوارهای تقویت کننده FRP ، ضرایب ایمنی کاهش می یابند . به عبارتی ، تأثیر افزایش عرض FRP در نتایج آیین نامه ها بعد از یک مقدار خاص از عرض FRP ، بیشتر از نتایج عملی می گردد .
- اثر مهار در نتایج عملی ، بیشتر از نتایج آیین نامه ها می باشد .

#### ۴-۶ : نتایج مقاومسازی فشاری

همانطور که در فصل پنجم دیده شد ، چهار آزمایش برای تقویت فشاری ستونها مورد بررسی قرار گرفته است . حال با توجه به نتایج بدست آمده برای ضریب ایمنی و انحراف معیار آن در هر آزمایش و استفاده از روابط مندرج در ضمیمه (ج) ، می توان میانگین ضرایب ایمنی و انحراف معیار کلیه نمونه های آزمایش شده را در حالت قبل از مقاومسازی ، بعد از تقویت و برای کلیه نمونه ها در جداول ۶-۶ تا ۶-۸ خلاصه نمود و با توجه به آنها و بررسیهای انجام شده در هر آزمایش ، نتایج زیر را استخراج کرد :

جدول ۶-۶ : میانگین ضرایب ایمنی ستونهای تقویت نشده به همراه انحراف معیار آنها

n = 6	ACI	BS	FIB	ISIS
میانگین ضرایب ایمنی	1.7906	1.3816	1.7635	1.4279
انحراف معیار	0.5087	0.2902	0.5010	0.2811

- با تقویت ستون توسط دورپیچ کردن و محصور کردن آن توسط FRP ، مقاومت فشاری بتن ، هم در نتایج عملی و هم در نتایج تئوری افزایش می یابد ، اما این افزایش در نتایج آزمایشگاهی و عملی بسیار بیشتر از نتایج آیین نامه ها است ؛ لذا با تقویت ستونها توسط FRP همانطور که در مقایسه جداول ۶-۶ و ۶-۷ مشاهده می شود ، ضریب ایمنی نتایج آیین نامه ها ، افزایش می یابد .

جدول ۷-۶ : میانگین ضرایب ایمنی ستونهای تقویت شده به همراه انحراف معیار آنها

<b>n = 15</b>	<b>ACI</b>	<b>BS</b>	<b>FIB</b>	<b>ISIS</b>
میانگین ضرایب ایمنی	2.5207	2.4731	2.3332	2.4369
انحراف معیار	0.4455	0.7882	0.3654	0.4800

□ در مورد مقدار ضریب ایمنی برای آیین نامه ها در حالت قبل از تقویت فشاری می توان در جدول ۶-۶ ترتیب مقابله مشاهده نمود :  $ACI > FIB > ISIS > BS$  . اما در ادامه بعد از تقویت ستون این ترتیب تغییر کرده به گونه ای که به صورت زیر می باشد :  $BS > ACI > BS > ISIS > FIB$  . همانطور که مشاهده می شود ، در حالت قبل از مقاومسازی ،  $BS > ACI > BS > ISIS > FIB$  و در حالت بعد از تقویت ،  $FIB$  نزدیکترین نتایج را ارائه می دهد .  $ACI$  در هر دو حالت دارای محافظه کاری بیشتر نسبت به دیگر آیین نامه هاست . در حالت کلی برای تمامی نمونه ها (جدول ۸-۶) ، ترتیب مقدار ضریب ایمنی به صورت زیر تغییر می کند :  $ACI > BS > FIB > ISIS$  .

جدول ۸-۶ : میانگین ضرایب ایمنی کل نمونه ها به همراه انحراف معیار آنها

<b>n = 18</b>	<b>ACI</b>	<b>BS</b>	<b>FIB</b>	<b>ISIS</b>
میانگین ضرایب ایمنی	2.3468	2.2132	2.1975	2.1967
انحراف معیار	0.5563	0.8423	0.4694	0.6157

□ در بین آیین نامه ها ،  $BS$  کمترین تأثیر را نسبت به تقویت فشاری توسط  $FRP$  از خود نشان می دهد که نتیجه آن کاهش ضریب ایمنی  $BS$  با درصدی بیشتر از دیگر آیین نامه ها در حالت بعد از مقاومسازی نسبت به قبل از تقویت است .

□ با افزایش تعداد لایه های  $FRP$  ، مقاومت فشاری بتن در نتایج عملی و تئوری افزایش می یابد . در آیین نامه  $ISIS$  ، این موضوع محدود بوده و با افزایش تعداد لایه ها از یک حدی به بعد به علت ضوابط طراحی این آیین نامه ، دیگر رشدی در مقاومت فشاری بتن دیده نخواهد شد .

□ همانطور که در هر آزمایش مشاهده می شود ، نتایج آیین نامه ها بعد از تقویت با  $FRP$  بدون اعمال ضریب ایمنی تقریبا نزدیک به نتایج آزمایشگاهی می باشند .

## ۶-۵: پیشنهادات

با توجه به اینکه موضوع کلی "استفاده از FRP برای تقویت اجزاء بتنی"، مورد بحث در این سمینار، یک موضوع جدیدی است، جای کار زیادی در مورد آن وجود دارد. اما در مورد مبحث اصلی سمینار که به طور خاص در مورد آیین نامه های مربوط به مقاومسازی سازه های بتنی به وسیله FRP می باشد، چندین آیین نامه بررسی شده و در نهایت مقایسه گردیده اند. در ادامه این روند و تکمیل این مباحث، پیشنهادهایی ارائه می گردد:

- با توجه به اینکه در این سمینار تنها چهار آیین نامه ACI، fib، UK Technical Report، (BS) و ISIS بررسی شد، توصیه می شود دیگر آیین نامه ها، خصوصاً آیین نامه های ژاپن و آیین نامه هایی که به مباحث لرزه ای بعد از تقویت با FRP پرداخته اند، مورد ارزیابی قرار گیرند.
- همانطور که در این سمینار مشاهده گردید، مقاومتهای نهایی خمشی، برشی و فشاری محاسبه شده توسط آیین نامه ها، با نتایج آزمایشگاهی مختلف مقایسه گردید. در ادامه این روند، پیشنهاد می شود که این عمل به طور معکوس انجام شود؛ یعنی آنکه با داشتن داده های یک نمونه که نیاز به تقویت دارد، مساحت، ابعاد و نوع FRP مورد نیاز توسط آیین نامه ها محاسبه شده و با نتایج آزمایشگاهی مقایسه گردد. در این روند مقایسه بهتر و صحیح تری بین آیین نامه ها انجام شده، چراکه ضوابط خدمت پذیری و همچنین نکات اجرایی موجود در آیین نامه ها نیز در نتایج دخالت خواهد داشت.
- پیشنهاد دیگر برای بررسی آیین نامه ها، انجام آزمایشات عملی می باشد. در این رابطه توصیه می شود با اعمال تغییر پارامترهای مختلف در نمونه ها، اثر آن در نتایج عملی و نتایج آیین نامه ها مقایسه گردد. با این عمل می توان نتیجه گیری بسیار بهتری نسبت به اثربازی نتایج آیین نامه ها و نتایج حقیقی گرفته شده از آزمایش، در تقویت اجزاء بتنی توسط FRP، ارائه نمود.
- در جهت سهولت استفاده از آیین نامه ها، توصیه می شود نرم افزارهای کامپیوتی با توانایی بالا برنامه نویسی شود، به گونه ای که قابلیتهای متنوعی داشته و برای هر دو حالت محاسبه مقاومت نهایی نمونه تقویت شده با FRP و بالعکس (محاسبه ابعاد FRP برای یک المان بتنی که نیاز به تقویت دارد)، قابل استفاده باشد.

## مراجع

- 1) ACI 318-99 (1999) , Building Code Requirements for Structural Concrete and Commentary , American Concrete Institute (ACI) , Farmington Hills , Michigan ,USA .
- 2) ACI 440.2R (2002) , “Guide for the Design and Construction of Externally Bonded FRP Systems for Strengthening Concrete Structures” , Draft Report by ACI Committee 440 , American Concrete Institute , Farmington Hills .
- 3) Adhikary B.B. , Mutsuyoshi H. and Ashraf M. (2004) , “Shear Strenghtening of Reinforced Concrete Beams Using Fiber-Reinforced Polymer Sheets with Bonded Anchorage” , ACI Structural Journal , V. 101 , No 5 , September – October 2004 , pp. 660-668 .
- 4) Al-Sulaimani G.J. , Sharif A. , Basubul I.A. ,Baluch M.H. and Ghaleb B.N. (1994) , “Shear Repair for Reinforced Concrete by Fiberglass Plate Bonding” , ACI Structural Journal , V. 91 , No 3 , July – August 1994 , pp. 458-464 .
- 5) Arduini M. and Nanni A. (1997) , “Parametric Study of Beams with Externally Bonded FRP Reinforcement” , ACI Structural Journal , V. 94 , No 5 , September – October 1997 , pp. 493-501 .
- 6) Arduini M. , Tommaso A.D. and Nanni A. (1997) , “Brittle Failure in FRP Plate and Sheet Bonded Beams” , ACI Structural Journal , V. 94 , No 4 , July – August 1997 , pp. 363-370 .
- 7) Beeby A.W. and Narayanan R.S. (1995) , “Designers’ Handbook to Eurocode2 , Part 1.1 : Design of Concrete Structures” , Thomas Thelford .
- 8) Brena S.F. , Bramblett R.M. , Wood S.L. and Kreger M.E. (2003) , “Increasing Flexural Capacity of Reinforced Concrete Beams Using Carbon Fiber-Reinforced Polymer Composites” , ACI Structural Journal , V. 100 , No 1 , January – February 2003 , pp. 36-46 .
- 9) BS 8110 (1997) , Structural use of Concrete . Part 1 : Code of Practice for Design and Construction , British Standard Instituition , London .
- 10) Cheung M. S. (2001) , “Design and Construction of Building Components with Fibre Reinforced Polymers – A New Canadian Standard” , proceedings of the International Conference on FRP Composites in Civil Engineering , pp. 137-145 .
- 11) Concrete Society Technical Report No. 55 (2000) , “Design guidance for strengthening concrete structures using fibre composite materials” , Report of a Concrete Society Committee .
- 12) CSA Standard (1985) , “Design of Concrete Structures for Buildings with Explanatory Notes” , CAN3-A23.3-M84 .

- 13) ENV 1992-1-1 (1991) Eurocode 2 : Design of Concrete Structures , Part 1 : General Rules and Rules for Buildings , CEN , Brussels , Belgium .
- 14) FIB , Federation Internationale du Beton (2001) , Bulletin 14 , “Externally bonded FRP reinforcement for RC structures” , Technical Report ,Task Group 9.3.
- 15) Fukuyama H. , Tumialan G. and Nanni A. (2001) , “Japanese Design and Construction Guidelines for Seismic Retrofit of Building Structures with FRP Composites” , proceedings of the International Conference on FRP Composites in Civil Engineering , pp. 107-118 .
- 16) Grace N.F. , Abdel-Sayed G. and Ragheb W.F. (2002) , “Strengthening of Concrete Beams Using Innovative Ductile Fiber-Reinforced Polymer Fabric” , ACI Structural Journal , V. 99 , No. 5 , September-October 2002 , pp. 692-700 .
- 17) Khalifa A. and Nanni A. (2000) , “Improving Shear Capacity of Existing RC T-Section Beams Using CFRP Composites” , Cement and Concrete Composites , Vol. 22 , No. 2 , July 2000 , pp. 165-174 .
- 18) Khalifa A. and Nanni A. (2002) , “Rehabilitation of Rectangular Simply Supported RC Beams with Shear Deficiencies Using CFRP Composites” , Construction and Building Materials , Vol. 16 , No. 3 , 2002 , pp. 135-146 .
- 19) Lam L. and Teng J.G. (2003) , “Hoop Rupture Strains of FRP Jackets in FRP Confined Concrete” , proceedings , 6<sup>th</sup> International Symposium on Fibre-Reinforced Polymer (FRP) Reinforcement of Concrete Structures (FRPRCS-6) , pp. 601-612 .
- 20) Leong K.S. and Maalej M. (2003) , “Effect of Beam Size on Interfacial Shear Stresses and Failure Mode of FRP-Bonded Beams” , proceedings , 6<sup>th</sup> International Symposium on Fibre-Reinforced Polymer (FRP) Reinforcement of Concrete Structures (FRPRCS-6) , pp. 257-266 .
- 21) Martin L.H. , Croxton P.C.L. and Purkiss J.A. (1989) , “Structural Design in Concrete To BS 8110” , Edward Arnold .
- 22) Maruyama K. and Ueda T. (2001) , “JSCE Recommendations for Upgrading of Concrete Structures with use of Continuous Fiber Sheets” , proceedings of the International Conference on FRP Composites in Civil Engineering , pp. 99-106 .
- 23) Narayanan R.S. (1994) , “Concrete Structures : Eurocode EC2 and BS 8110 Compared” , Longman Group UK limited .
- 24) Neale K. (2001) , “Strengthening Reinforced Concrete Structures with Externally-Bonded Fibre Reinforced Polymers” , Design Manual No 4 , ISIS Canada .

- 25) Reynolds E. and Steedman J.C. (1992) , “Examples of the Design of Reinforced Concrete Buildings to BS 8110” .
- 26) Sharif A. , Al Sulaimani G.J. , Basunbul I.A. , Baluch M.H. and Ghaleb B.N. (1994) , “Strengthening of Initially Loaded Reinforced Concrete Beams Using FRP Plates” , ACI Structural Journal , V. 91 , No. 2 , March-April 1994 , pp. 160-168 .
- 27) Shin Y.S. and Lee C. (2003) , “Flexural Behavior of Reinforced Concrete Beams Strengthened with Carbon Fiber-Reinforced Polymer Laminates at Different Levels of Sustaining Load” , ACI Structural Journal , V. 100 , No 2 , March – April 2003 , pp. 231-239 .
- 28) Shokrieh M. and Malevajerdy A. (2001) , “Strengthening of Reinforced Concrete Beams Using Composite Laminates” , proceedings of the International Conference on FRP Composites in Civil Engineering , pp. 507-515 .
- 29) Takahashi Y. and Sato Y. (2003) , “Flexural Behavior of RC Beams Externally Reinforced with Carbon Fiber Sheets” , proceedings , 6<sup>th</sup> International Symposium on Fibre-Reinforced Polymer (FRP) Reinforcement of Concrete Structures (FRPRCS-6) , pp. 237-246 .
- 30) Taljsten B. (2001) , “Design Guidelines – A Scandinavian Approach” , proceedings of the International Conference on FRP Composites in Civil Engineering , pp. 153-163 .
- 31) Teng J.G. and Lam L. (2002) , “Compressive Behavior of Carbon Fiber Reinforced Polymer-Confining Concrete in Elliptical Columns” , ASCE , Journal of Structural Engineering , December 2002 , Vol. 128 , No. 12 , pp. 1535-1543 .
- 32) Theriault M. , Pelletier M.A. , Khayat K. and Chami G.A. (2003) , “Creep Performance of CFRP Confined Concrete Cylinders” , proceedings , 6<sup>th</sup> International Symposium on Fibre-Reinforced Polymer (FRP) Reinforcement of Concrete Structures (FRPRCS-6) , pp. 623-632 .
- 33) Valcuende M. , Benlloch J. and Parra C.J. (2003) , “Ductility of Reinforced Concrete Beams Strengthened with CFRP Strips and Fabric” , proceedings , 6<sup>th</sup> International Symposium on Fibre-Reinforced Polymer (FRP) Reinforcement of Concrete Structures (FRPRCS-6) , pp. 337-346 .
- 34) Wang P. and Cheong K.K. (2001) , “RC Columns Strengthened by FRP under Uniaxial Compression” , proceedings of the International Conference on FRP Composites in Civil Engineering , pp. 327-334 .
- 35) Zhang G.F. , Kishi N. and Mikami H. (2003) , “Influence of Material Properties of FRPs on Strength of Flexural Strengthened RC Beams” , proceedings , 6<sup>th</sup> International Symposium on Fibre-Reinforced Polymer (FRP) Reinforcement of Concrete Structures (FRPRCS-6) , pp. 327-336 .

۳۶) زمردیان آرش (۱۳۸۲)، ”بررسی عملکرد اجزاء بتنی تقویت شده با ورقهای FRP در بارگذاریهای استاتیکی و تکراری“، پایان نامه دوره کارشناسی ارشد، دانشگاه امیرکبیر، دانشکده عمران و محیط زیست.

۳۷) نقیه مجیدرضا (۱۳۸۰)، ”شرحی بر آیین نامه سازه های بتن آرمه ACI 318“، انتشارات ارکان، چاپ دوم، جلد اول و دوم.

#### مراجع اینترنتی:

- 1) <http://www.fiberglassrebar.com>
- 2) <http://www.mdacomposites.org>
- 3) <http://www.rb2c.umr.edu>
- 4) <http://www.sp-reinforcement.ch.com>

## ضمیمه (الف) : معرفی تعدادی از آیین نامه ها و راهنمایی های مربوط به طراحی

### مقاومسازی سازه های بتن آرمه به کمک مواد FRP

همانطور که در مقدمه بدان اشاره شد ، هدف از این سمینار معرفی هرچه بهتر آیین نامه ها و راهنمایی های موجود در جهان برای مقاومسازی به وسیله FRP می باشد . بدین جهت در این ضمیمه به معرفی تعدادی از آیین نامه ها و راهنمایی های مقاومسازی به وسیله FRP می پرداخته می شود . این راهنمایی های را می توان به صورت زیر لیست نمود :

#### راهنمایی منتشر شده در ژاپن :

-۱ AIJ (Architectural Institute of Japan) ، انجمن معماران ژاپن

عنوان :

“Evaluation items and evaluation methods for new reinforcement materials and new reinforced concrete ”

”روشهای محاسبه و تخمین مواد تقویت کننده و بتنهای مسلح جدید ”

تاریخ انتشار : ۱۹۹۱

-۲ BRI (Building Research Institute) ، انجمن تحقیقات ساختمان ژاپن

عنوان :

”راهنمای طراحی ساختمانهای بتنی تقویت شده با FRP ”

تاریخ انتشار : ۱۹۹۳

عنوان :

”راهنمای طراحی اعضای بتنی پیش تنیده شده با FRP ”

تاریخ انتشار : ۱۹۹۵

عنوان :

”The retrofurring design guidelines on the application of continuous FRP sheet ”

”راهنمای طراحی مقاومسازی با استفاده از ورقه های FRP ”

تاریخ انتشار : ۱۹۹۸

-۳ HHPC (Hanshin Highway Public Corporation) ، مؤسسه ملی بزرگراههای هانشین

عنوان :

”Design/construction guidelines on the seismic retrofitting of RC bridge piers using carbon fibre sheet ”

”راهنمای طراحی و اجرای بهسازی لرزه ای پایه پلهاي بتن آرمه با استفاده از ورقه هاي با  
الياف كربن“

تاریخ انتشار : ۱۹۹۷

۴- (Japan Building Disaster Prevention Association) ، انجمن حفاظت JBDPA

ساختمانهای ژاپن در برابر آسیب

عنوان :

”Seismic retrofitting design and construction guidelines for existing reinforced concrete (RC) and steel – encased reinforced concrete (SRC) building with FRP materials“

”راهنمای طراحی و اجرای بهسازی لرزه ای ساختمانهای بتن آرمه و بتن مسلح با مش فولادی  
با مواد FRP“

تاریخ انتشار : سپتامبر ۱۹۹۹

۵- (Japan Concrete Institute) ، انجمن بتن ژاپن JCI TC952

عنوان : ”Technical report on continuous fibre reinforced concrete“

”گزارش ویژه در مورد بتنهای تقویت شده با الیافهای بلند و یکپارچه“

تاریخ انتشار : ۱۹۹۸

۶- (Japan Highway Public Corporation) ، مؤسسه ملی بزرگراههای ژاپن JHPC

عنوان :

”Design/construction guidelines on the retrofitting of RC bridge piers using carbon fibre sheet“

”راهنمای طراحی و اجرای مقاومسازی پایه پلهاي بتن آرمه با استفاده از ورقه هاي CFRP“

تاریخ انتشار : ۱۹۹۵

۷- (Japanese Society for Civil Engineering) ، انجمن مهندسین عمران ژاپن JSCE

عنوان :

”Application of continuous fiber reinforcement materials to concrete structure“

”کاربرد مواد تقویت شده با الیافهای بلند و یکپارچه در سازه های بتونی“

تاریخ انتشار : ۱۹۹۲

عنوان : ”State-of-the-art report on continuous fibre reinforcing materials“

”گزارش تفضیلی بر مواد تقویت شده با الیافهای بلند و یکپارچه“

تاریخ انتشار : ۱۹۹۳

عنوان :

"Recommendation for design and construction of concrete structures using continuous fibre reinforcing materials"

"توصیه های طراحی و اجرای سازه های بتنی که در آنها از مواد تقویت شده با الیاف استفاده شده است"

تاریخ انتشار : سپتامبر ۱۹۹۷

عنوان :

"Recommendation for upgrading of concrete structures with use of continuous fiber sheets"

"توصیه های مقاومسازی سازه های بتنی با استفاده از ورقه های FRP"

تاریخ انتشار : ۲۰۰۰

ـ۸ عنوان : RTRI (Railway Technical Research Institute) ، انجمن تحقیقات حرفه ای راه آهن

عنوان :

"Design/construction guidelines on the seismic retrofitting of railway viaduct columns using carbon and aramid fibre sheet"

"راهنمای طراحی و اجرای بهسازی لرزه ای ستونهای پلهای بتن آرمه راه آهن با استفاده از ورقه های با الیاف کربن و آرامید"

تاریخ انتشار : ۱۹۹۶

عنوان :

"Design/construction guidelines on the seismic retrofitting of subway RC columns using carbon fibre sheet"

"راهنمای طراحی و اجرای بهسازی لرزه ای ستونهای بتن آرمه مترو با استفاده از ورقه های با الیاف کربن"

تاریخ انتشار : ۱۹۹۷

راهنمای منتشر شده در آمریکا :

ـ۹ عنوان : ACI Committee 440 (American Concrete Institute)

عنوان : ACI 440 1R-03

"Guide for design and construction of concrete reinforced with FRP bars"

"راهنمای طراحی و اجرای اعضا بتنی مسلح شده با میلگردهای FRP"

تاریخ انتشار : ۲۰۰۳

عنوان : ◆ ACI 440 2R-02

“Guide for the design and construction of externally bonded FRP systems for strengthening concrete structures”

”راهنمای طراحی و اجرای سیستم های FRP چسبیده به صورت خارجی جهت مقاومسازی سازه های بتنی“

تاریخ انتشار : ۲۰۰۲

عنوان : ◆ ACI 440 R-96

“State-of-the-art report on fibre reinforced plastic reinforcement for concrete structures”

”گزارش تفضیلی تقویت کننده های پلاستیکی مسلح شده با الیاف جهت مقاومسازی سازه های بتنی“

تاریخ انتشار : ۱۹۹۶

راهنمای منتشر شده در کانادا :

-۱۰ آین نامه طراحی پلهای CHBDC (Canadian Highway Bridge Design Code)

بزرگراههای کانادا

عنوان : ◆ “Section 16 : Fiber Reinforced Structures”

”فصل ۱۶ : سازه های تقویت شده با الیاف“

تاریخ انتشار : جولای ۱۹۹۶

-۱۱ CSA S806 (Canadian Standard Association) ، انجمن استاندارد کانادا

عنوان :

”Design and construction of building component with Fiber Reinforced Polymer“

”طراحی و اجرای اعضای تقویت شده از ساختمان به وسیله FRP“

تاریخ انتشار : می ۲۰۰۲

-۱۲ ISIS Canada (Intelligent Sensing for Innovative Structures)

عنوان : ◆ ”Reinforced concrete structures with fibre reinforced polymer“

”سازه های بتنی مسلح شده با پلیمرهای تقویت شده با الیاف“

تاریخ انتشار : ۲۰۰۱

عنوان :

”Strengthening reinforced concrete structures with externally bonded fibre reinforced polymers (FRPs)“

”مقاومسازی سازه های بتن آرمه به وسیله FRP های چسبیده به صورت خارجی“

تاریخ انتشار : ۲۰۰۱

راهنماهای منتشر شده در اروپا :

- ۱۳ fib Task Group 9.3 (International Federation for Structural Concrete)

فدراسیون بین المللی سازه های بتنی

عنوان : ♦ “FRP reinforcement for concrete structures”

”تقویت کننده های FRP برای سازه های بتنی“

تاریخ انتشار : ۲۰۰۱

عنوان : ♦

“Design and use of externally bonded FRP reinforcement (FRP EBR) for reinforced concrete structures”

”طراحی و استفاده از تقویت کننده های FRP چسبیده به صورت خارجی برای سازه های بتن  
آرمه“

تاریخ انتشار : ۲۰۰۱

- ۱۴ TMR ConFibreCrete (Training and Mobility of Researchers) ، آموزش و تحرک

محققان

عنوان : ♦

“Development of guidelines for the design of concrete structures , reinforced , prestressed or strengthened with advance composites”

”توسعه راهنماهای طراحی سازه های بتنی در زمینه مسلح کردن ، اعمال پیش تنیدگی و مقاومسازی به وسیله کامپوزیتهای پیشرفته“

تاریخ انتشار : ۲۰۰۱

- ۱۵ Concrete Society U.K. Technical Report No.55 ، انجمن بتن انگلستان

عنوان : ♦

“Design guidance for strengthening concrete structures using fibre composite materials”

”راهنمای طراحی مقاومسازی سازه های بتن آرمه با استفاده از مواد کامپوزیتی الیافی“

تاریخ انتشار : ۲۰۰۰

- ۱۶ آیین نامه پلهاي سوئد ، Swedish Bridge Code : BRO 94

عنوان : ♦ “Design guidelines for FRP plate bonding”

”راهنمای طراحی برای چسباندن صفحات FRP“

تاریخ انتشار : ۱۹۹۹

CUR , Center of Civil Engineering Research and Codes , The Netherlands - ۱۷

عنوان : ◆ “kunststof wapeningselementen in beton – preadvies”

تاریخ انتشار : سپتامبر ۱۹۹۶

SINTEF , Report STF22A98741 , sintef structures and concrete , Norway - ۱۸

عنوان : ◆

“Modifications to NS3473 when using fibre reinforced plastic (FRP) reinforcement”

” اصلاح کد NS3473 در هنگام استفاده از تقویت کننده های FRP ”

تاریخ انتشار : آپریل ۱۹۹۸

Istruct E (Institute of structural Engineers ) U.K. - ۱۹

انگلستان

عنوان : ◆

“Interim guidance on the design of reinforced concrete structures using fibre composit reinforcement”

” راهنمای موقتی طراحی سازه های بتن آرمه با استفاده از تقویت کننده های کامپوزیتی ”

تاریخ انتشار : آگوست ۱۹۹۹

## ضمیمه (ب) : برنامه های MATLAB جهت محاسبه مقاومت نهایی

### خمشی ، برشی و فشاری اعضای تقویت شده با FRP

در این بخش با توجه به روش‌های ارائه شده در هر یک از راهنمایها ، برنامه‌ای برای سهولت در محاسبه مقاومت نهایی خمشی ، برشی و فشاری در MATLAB ویرایش 6.5 نوشته شده است . از این برنامه‌ها جهت حل مثالهای ارائه شده و همچنین بررسی اثر پارامترهای مختلف در مقاومت‌های نهایی استفاده گردیده است . در هر قسمت ، در ابتدا درجداولی جهت درک بهتر ، پارامترهای استفاده شده در برنامه معرفی گردیده اند . سپس متن اصلی برنامه ارائه شده است .

Design function to calculate ultimate **flexural** moment of rectangular beam based on  
**ACI 440.2R-02**

\*\*\*\*\* Definition of Input Data \*\*\*\*\*

b	Wide of beam (mm)	b
h	Hight of beam (mm)	h
dt	Depth of tensial reinforcement (mm)	d
dc	Depth of compressial reinforcement (mm)	d'
bf	Wide of FRP layers (mm)	b <sub>f</sub>
tf	Thikness of FRP layers (mm)	t <sub>f</sub>
nf	Number of FRP layers	n <sub>f</sub>
Ast	Area of tensial reinforcement (mm <sup>2</sup> )	A <sub>s</sub>
Asc	Area of compressial reinforcement (mm <sup>2</sup> )	A' <sub>s</sub>
f <sub>c</sub>	Characteristic concrete strength (MPa)	f <sub>c</sub>
f <sub>yt</sub>	Yield stress of tensial reinforcement (MPa)	f <sub>y</sub>
f <sub>yc</sub>	Yield stress of compressial reinforcement (MPa)	f <sub>y</sub>
f <sub>fu</sub>	Ultimate stress of FRP layers (MPa)	f <sub>fu</sub>
CE	Enviromental-reduction factor for FRP layers	C <sub>E</sub>
E <sub>st</sub>	Modul of elastisity of tensial reinforcement (MPa)	E <sub>s</sub>
E <sub>sc</sub>	Modul of elastisity of compressial reinforcement (MPa)	E' <sub>s</sub>
E <sub>f</sub>	Modul of elastisity of FRP layers (MPa)	E <sub>f</sub>
M <sub>dl</sub>	Maximum initial moment befor installing FRP (N.mm)	M <sub>dl</sub>

\*\*\*\*\* Definition of Computed Data \*\*\*\*\*

M <sub>u</sub>	Ultimate flexural moment of beam (N.mm)	Mult.
E <sub>c</sub>	Modul of elastisity of concrete (MPa)	E <sub>c</sub>
f <sub>r</sub>	Ultimate tensile strength of concrete (MPa)	f <sub>r</sub>
beta1	A parameter defining rectangular stress block	β <sub>1</sub>
gama	A parameter defining rectangular stress block	γ
epsilon <sub>cu</sub>	Ultimate compressive strain of concrete	ε <sub>cu</sub>
epsilon <sub>onfu</sub>	Ultimate tensile strain of FRP	ε <sub>fu</sub>
epsilon <sub>onyt</sub>	Yield strain of tensial reinforcement	ε <sub>y</sub>
sif	FRP strength reduction factor	ψ <sub>f</sub>
A <sub>f</sub>	Area of FRP reinforcement (mm <sup>2</sup> )	A <sub>f</sub>
epsilon <sub>onbi</sub>	Initial strain befor bond the FRP	ε <sub>bi</sub>
k	Stiffness coefficient of FRP reinforcement	k
k <sub>m</sub>	Bond dependent coefficient	k <sub>m</sub>
c	Depth of neutral axis (mm)	c
epsilon <sub>onfe</sub>	Effective strain in FRP reinforcement	ε <sub>fe</sub>
f <sub>fe</sub>	Effective stress in FRP reinforcement (MPa)	f <sub>fe</sub>
epsilon <sub>onst</sub>	Strain of tensial reinforcement	ε <sub>s</sub>
f <sub>i</sub>	Strength reduction factor	ϕ
f <sub>st</sub>	Stress of tensial reinforcement (MPa)	f <sub>s</sub>
f <sub>sc</sub>	Stress of compressial reinforcement (MPa)	f <sub>s</sub>
M <sub>n</sub>	Nominal flexural moment of beam (N.mm)	M <sub>n</sub>

\*\*\*\*\* Main Function \*\*\*\*\*

```
function Mu = moment_aci ;  
  
ans = input('Do you want to make new file (y/n) ? ','s');  
if ans == 'y'  
    filename = inputs ;  
else  
    filename = input ('Enter your file name ? ','s');  
end  
load (filename);  
anchor = 'n' ;  
Fracture2 = 'Tensile steel in elastic mode' ;  
Fracture3 = 'Compressive steel in elastic mode' ;  
ffu = CE * ffu ;  
Ec = 1500 * sqrt(10 * fc) ;  
fr = 0.2 * sqrt (10 * fc) ;  
t = nf*tfrp ;  
beta1 = beta (fc) ;  
gama = 0.85 ;  
epsiloncu = 0.003 ;  
epsilonyt = fyt / Est ;  
sif = 0.85 ;  
Frfr = 0 ;  
Af = bf*t ;  
if (Af*ffu*CE*Ef)>0  
    epsilonbi = istrain  
(b,h,dt,dc,Ast,Asc,fc,fr,Ec,fyt,fyc,Est,Esc,Mdl,Ef,Af) ;  
    epsilonfu = ffu/Ef ;  
    anchor = input ('Do you anchor FRP (y/n) ? ','s');  
    if anchor == 'n'  
        k = Ef*t ;  
        if k<=180000  
            km = (1 - k/360000)/(60*epsilonfu) ;  
        else  
            km = (90000/k)/(60*epsilonfu) ;  
        end  
        if km > 0.9  
            km = 0.9;  
            Frfr = 1 ;  
        end  
    else  
        km = 1 ;  
        Frfr = 1 ;  
    end  
else  
    Af = 0 ;  
    epsilonbi = 0 ;  
    ffe = 0 ;  
end  
c = 0.3 * dt ;  
n = 0 ;  
c1 = [0,c] ;  
while abs(c1(1)-c1(2))>0.001  
    if n==1  
        c = (c1(1)+c1(2))/2 ;  
        c1(2) = c ;  
    end  
    n = 1 ;  
    Frfr = 1 ;  
    Frst = 0 ;  
    Frsc = 0 ;  
    epsilonfe = epsiloncu * (h-c)/c - epsilonbi ;  
    if Af > 0  
        if epsilonfe > (km * epsilonfu)  
            epsilonfe = km * epsilonfu ;  
            Frfr = 0 ;  
    end
```

```

        ffe = epsilonfe * Ef ;
    end
    epsilonst = (epsilonfe + epsilonbi)*(dt-c) / (h-c);
    if epsilonst >= 0.005
        fi = 0.9 ;
    elseif epsilonst <= epsilonnyt
        fi = 0.70 ;
    else
        fi = 0.7 + 0.2*( epsilonst - epsilonnyt) / (0.005 - epsilonnyt) ;
    end
    fst = epsilonst * Est ;
    if fst > fyt
        fst = fyt ;
        Frst = 1 ;
    end
    fsc = Esc * (epsilonfe + epsilonbi)*(c-dc) / (h-c);
    if fsc > fyc
        fsc = fyc ;
        Frsc = 1 ;
    end
    c1(1) = (fst*Ast + ffe*Af - fsc*Asc) / (gama*fc*beta1*b) ;
end

Mst = fi*fst*Ast*(dt - beta1*c/2);
Msc = fi*fsc*Asc*(beta1*c/2-dc);
Mf = fi*sif*ffe*Af*(h - beta1*c/2);
Mn = fst*Ast*(dt - beta1*c/2) + sif*ffe*Af*(h - beta1*c/2) + fsc*Asc*(beta1*c/2-dc) ;

Mu = fi * Mn ;

if Frsc == 1
    Fracture1 = 'Concrete crushing' ;
elseif Frf == 0
    Fracture1 = 'FRP debonding' ;
elseif Frf == 1
    Fracture1 = 'FRP rupture' ;
end
if Frst == 1
    Fracture2 = 'Follow by tensile steel yielding' ;
end
if Frsc == 1
    Fracture3 = 'Follow by compressive steel yielding' ;
end
filenamel = input ('Enter your output filename = ','s') ;
save
(filenamel,'anchor','c','Mst','Msc','Mf','Mn','Mu','Fracture1','Fracture2',
'Fracture3')

```

#### \*\*\*\*\* Subfunctions \*\*\*\*\*

#### \*\*\*\*\* beta \*\*\*\*\*

```

function betal = beta (fc)
if fc >= 55
    betal = 0.65 ;
else
    if fc <= 30
        betal = 0.85 ;
    else
        betal = 0.008*(30-fc) + 0.85 ;
    end
end

```

## \*\*\*\*\* Istrain (Initial Strain) \*\*\*\*\*

```
function epsilonbi = istrain
(b,h,dt,dc,Ast,Asc,fc,fr,Ec,fyt,fyc,Est,Esc,Mdl)

% befor concrete cracking :

nst = Est/Ec ;
nsc = Esc/Ec ;

c = [(nst-1)*Ast*dt + (nsc-1)*Asc*dc + (b*h^2)/2]
/[ (nst-1)*Ast + (nsc-1)*Asc + b*h] ;
I = [(b*h^3)/12 + b*h*(h/2 - c)^2] + [(nst-1)*Ast*(dt-c)^2]
+[(nsc-1)*Asc*(dc-c)^2] ;

Mcr = (fr*I)/(h-c) ;

if Mdl <= Mcr
    epsilonbi = [Mdl*(h-c)] / (I*Ec) ;
else

% after concrete cracking :

equal = [b/2 , ((nsc-1)*Asc + nst*Ast) , -((nsc-1)*Asc*dc + nst*Ast*dt)] ;
C = roots(equal) ;

if (C(1,1)>0) and (C(1,1)<h)
    c = C(1,1) ;
else
    c = C(2,1) ;
end

I = (b*c^3)/3 + (nsc-1)*Asc*(dc-c)^2 + nst*Ast*(dt-c)^2 ;
epsilonbi = [Mdl*(h-c)] / (I*Ec) ;
end
```

Design function to calculate ultimate **flexural** moment of rectangular beam based on  
**Technical Report UK. 2000**

\*\*\*\*\* **Definition of Input Data** \*\*\*\*\*

b	Wide of beam (mm)	b
h	Hight of beam (mm)	h
dt	Depth of tensial reinforcment (mm)	d
dc	Depth of compressial reinforcment (mm)	d'
bf	Wide of FRP layers (mm)	b <sub>f</sub>
tf	Thikness of FRP layers (mm)	t <sub>f</sub>
nf	Number of FRP layers	n <sub>f</sub>
Ast	Area of tensial reinforcment (mm <sup>2</sup> )	A <sub>s</sub>
Asc	Area of compressial reinforcment (mm <sup>2</sup> )	A' <sub>s</sub>
fcu	Cubic concrete strength (MPa)	f <sub>c<sub>u</sub></sub>
fyt	Yield stress of tensial reinforcmnt (MPa)	f <sub>y</sub>
fyc	Yield stress of compressial reinforcmnt (MPa)	f' <sub>y</sub>
ffu	Ultimate stress of FRP layers (MPa)	f <sub>f<sub>u</sub></sub>
gamamF	FRP material partial safety factor	γ <sub>mF</sub>
gamamE	Modul of FRP material partial safety factor	γ <sub>mE</sub>
Est	Modul of elastisity of tensial reinforcmnt (MPa)	E <sub>s</sub>
Esc	Modul of elastisity of compressial reinforcmnt (MPa)	E' <sub>s</sub>
Ef	Modul of elastisity of FRP layers (MPa)	E <sub>f</sub>
Mdl	Maximum initial moment befor installing FRP (N.mm)	M <sub>dl</sub>

\*\*\*\*\* **Definition of Computed Data** \*\*\*\*\*

Mu	Ultimate flexural moment of beam (N.mm)	Mult.
gamamc	Concrete material partial safety factor	γ <sub>mc</sub>
gamams	Steel material partial safety factor	γ <sub>ms</sub>
gama	A parameter defining rectangular stress block	γ
beta1	A parameter defining rectangular stress block	β <sub>1</sub>
epsiloncu	Ultimate compressive strain of concrete	ε <sub>cu</sub>
epcilonfu	Ultimate tensile strain of FRP	ε <sub>f<sub>u</sub></sub>
Af	Area of FRP reinforcement (mm <sup>2</sup> )	A <sub>f</sub>
epsilonbi	Initial strain befor bond the FRP	ε <sub>bi</sub>
fctm	Ultimate tensile strength of concrete (MPa)	f <sub>c<sub>tm</sub></sub>
Tmax	Maximum ultimate bond force	T <sub>max</sub>
c	Depth of neutral axis (mm)	c
fst	Stress of tensial reinforcmnt (MPa)	f <sub>s</sub>
fsc	Stress of compressial reinforcmnt (MPa)	f' <sub>s</sub>
ffe	Effective stress in FRP reinforcement (MPa)	f <sub>e</sub>
Muc	Nominal flexural moment of beam befor strengthening (N.mm)	M <sub>uc</sub>
Madd	FRP contribution in flexural moment of beam (N.mm)	M <sub>add</sub>

\*\*\*\*\* Main Function \*\*\*\*\*

```
function Mu = moment_BS ;  
  
ans = input('Do you want to make new file (y/n) ? ','s');  
if ans == 'y'  
    filename = inputs ;  
else  
    filename = input ('Enter your file name ? ','s');  
end  
load (filename);  
  
Fracture2 = 'Tensile steel in elastic mode' ;  
Fracture3 = 'Compressive steel in elastic mode' ;  
anchor = 'n' ;  
gamamc = 1.5 ;  
gamams = 1.15 ;  
gama = 0.67 ;  
beta1 = 0.9 ;  
epsiloncu = 0.0035 ;  
fyt = fyt/gamams ;  
fyc = fyc/gamams ;  
fcu = fcu/gamamc ;  
t = tfrp * nf ;  
Af = bf*t ;  
if (Af*ffu*gamamF*gamamE*Ef) > 0  
    epsilonbi = istain (b,h,dt,dc,Ast,Asc,fcu,Mdl);  
    epsilonfu = ffu / Ef ;  
    Ef = Ef/gamamE ;  
    ffu = ffu/gamamF ;  
    anchor = input ('Do you anchor FRP (y/n) ? ','s');  
    if anchor == 'n'  
        fctm = 0.18*(fcu)^(2/3) ;  
        kb = 1.06 * sqrt((2-bf/b)/(1+bf/400)) ;  
        if kb < 1  
            kb = 1.0 ;  
        end  
        fmax = 0.5*kb*bf*sqrt(Ef*t*fctm)/Af ;  
        if fmax < ffu  
            limit = fmax ;  
            Frf = 0 ;  
        else  
            limit = ffu ;  
            Frf = 1 ;  
        end  
    else  
        limit = ffu;  
        Frf = 1 ;  
    end  
else  
    Af = 0 ;  
    epsilonbi = 0 ;  
    limit = ffu ;  
end  
Frst = 0 ;  
Frsc = 0 ;  
Frcc = 1 ;  
  
a1 = gama*fcu*beta1*b ;  
a2 = epsiloncu*(Asc*Esc+Ast*Est) + Ef*Af*(epsiloncu + epsilonbi) ;  
a3 = -[epsiloncu*(Asc*Esc*dc+Ast*Est*dt) + Ef*Af*h*epsiloncu] ;  
a = [a1,a2,a3];  
C = roots(a);  
c = finds (h,C,2) ;
```

```

fst = epsiloncu*Est*(dt-c)/c ;
if fst > fyt
    fst = fyt ;
    Frst = 1 ;
end
fsc = epsiloncu*Esc*(c-dc)/c ;
if fsc > fyc
    fsc = fyc ;
    Frsc = 1 ;
end
if (Frst == 1) | (Frsc == 1)
    n = 0 ;
    fst1 = [0,fst] ;
    fscl = [0,fsc] ;
    while [abs(fst1(1) - fst1(2)) > 0.001] | [abs(fscl(1) - fscl(2)) > 0.001]
        if n==1
            fst = (fst1(1) + fst1(2))/2 ;
            fst1(2) = fst ;
            fsc = (fscl(1) + fscl(2))/2 ;
            fscl(2) = fsc ;
        end
        n = 1 ;
        Frst = 0 ;
        Frsc = 0 ;
        a1 = gama*fcu*beta1*b ;
        a2 = fsc*Asc - fst*Ast + Af*Ef*(epsiloncu+epsilonbi) ;
        a3 = -Af*Ef*epsiloncu*h ;
        a = [a1 a2 a3] ;
        C = roots (a) ;
        c = finds (h,C,2) ;
        fst = epsiloncu*Est*(dt-c)/c ;
        if fst > fyt
            fst = fyt ;
            Frst = 1 ;
        end
        fsc = epsiloncu*Esc*(c-dc)/c ;
        if fsc > fyc
            fsc = fyc ;
            Frsc = 1 ;
        end
        fst1(1) = fst ;
        fscl(1) = fsc ;
    end
end
ffe = epsiloncu*Ef*(h-c)/c ;
if ffe > limit
    Muc = imoment (b,h,dt,dc,Ast,Asc,fcu,fyt,fyc,Est,Esc) ;
    Mst = Muc(1);
    Msc = Muc(2);
    c = h / [(epsilonfu+epsilonbi)/epsiloncu + 1] ;
    Mf = Af*limit*(dt - beta1*c/2);
    Mu = Mst + Msc + Mf;
    Frc = 0 ;
else
    Mst = Ast*fst*(dt - beta1*c/2) ;
    Msc = Asc*fsc*(beta1*c/2 - dc) ;
    Mf = ffe*Af*(h-beta1*c/2) ;
    Mu = [Ast*fst*(dt-beta1*c/2) - Asc*fsc*(dc-beta1*c/2)] + ffe*Af*(h-
beta1*c/2);
    Frc = 1 ;
end

if Frc == 1
    Fracture1 = 'Concrete crushing' ;
elseif Frf == 0
    Fracture1 = 'FRP debonding' ;
elseif Frf == 1
    Fracture1 = 'FRP rupture' ;

```

```

end
if Frst == 1
    Fracture2 = 'Follow by tensile steel yielding' ;
end
if Frsc == 1
    Fracture3 = 'Follow by compressive steel yielding' ;
end
filenamel = input ('Enter your output filename = ','s') ;
save
(filenamel,'anchor','c','Mst','Msc','Mf','Mu','Fracture1','Fracture2','Fracture3')

```

### \*\*\*\*\* Subfunctions \*\*\*\*\*

#### \*\*\*\*\* Istrain (Initial Strain) \*\*\*\*\*

```

function epsilonbi = istrain (b,h,dt,dc,Ast,Asc,fcu,Mdl)

gamamc = 1.5 ;
fcu = fcu / gamamc ;
Ec = (20 + 0.2*fcu)*1000 ;
alfae = 15 ;
ft = 1.0 ;
rot = Ast/(b*dt) ;
roc = Asc/(b*dt) ;

a1 = 1 + alfae*(rot + roc) ;
a2 = [3*Mdl/(ft*b*dt)] - dt - alfae*[4*roc*dc + dt*(3*rot - roc)] ;
a3 = alfae*[2*roc*dt*(dc - dt) + 6*Mdl*(rot + roc/(b*ft))
            + 3*(rot*dt^2 + roc*dc^2)] ;
a4 = alfae*[roc*dc*(2*dt^2 - 3*dt*dc) - rot*dt^3
            - 6*Mdl*(roc*dc + rot*dt)/(b*ft)] ;

a = [a1 a2 a3 a4] ;
C = roots (a) ;
c = finds (h,C,3)

Ic = (b*dt^3) * [(c/dt)^3/3 + alfae*roc*[(dc/dt) - (c/dt)]^2
                  + alfae*rot*[1 - c/dt]^2] ;

epsilonbi = Mdl*(h-c)/(Ec*Ic) ;

```

#### \*\*\*\*\* finds (search c between 0 and h) \*\*\*\*\*

```

function c = finds(h,C,nm)

for num = 1:nm
    if abs(C(num,1))==real(C(num,1))
        if (C(num,1)<h)
            c = C(num,1);
        end
    end
end

```

#### \*\*\*\*\* imoment (calculate ultimate flexural moment before strengthening) \*\*\*\*\*

```

function Muc = imoment (b,h,dt,dc,Ast,Asc,fcu,fyt,fyc,Est,Esc)

beta1 = 0.9 ;
gama = 0.67 ;
epsilononcu = 0.0035 ;
a1 = gama*fcu*beta1*b ;

```

```

a2 = epsiloncu*(Asc*Esc+Ast*Est) ;
a3 = -epsiloncu*(Asc*Esc*dc+Ast*Est*dt) ;
a = [a1,a2,a3];
C = roots(a);
c = finds (h,C,2);
fst = epsiloncu*Est*(dt-c)/c ;
if fst > fyt
    fst = fyt ;
end
fsc = epsiloncu*Esc*(c-dc)/c ;
if fsc > fyc
    fsc = fyc ;
end
n = 0 ;
fst1 = [0,fst] ;
fscl1 = [0,fsc] ;
while [abs(fst1(1) - fst1(2)) > 0.001] | [abs(fscl1(1) - fscl1(2)) > 0.001]
    if n==1
        fst = (fst1(1) + fst1(2))/2 ;
        fst1(2) = fst ;
        fsc = (fscl1(1) + fscl1(2))/2 ;
        fscl1(2) = fsc ;
    end
    n = 1 ;
    ci = [fst*Ast - fsc*Asc]/[gama*fcu*beta1*b] ;
    if ci > 0
        c = ci ;
    end
    fst = epsiloncu*Est*(dt-c)/c ;
    if fst > fyt
        fst = fyt ;
    end
    fsc = epsiloncu*Esc*(c-dc)/c ;
    if fsc > fyc
        fsc = fyc ;
    end
    fst1(1) = fst ;
    fscl1(1) = fsc ;
end

Muc(1) = Ast*fst*(dt-beta1*c/2);
Muc(2) = -Asc*fsc*(dc-beta1*c/2);

```

Design function to calculate ultimate flexural moment of rectangular beam based on  
***fib Task Group 9.3 2001***

\*\*\*\*\* Definition of Input Data \*\*\*\*\*

b	Wide of beam (mm)	B
h	Hight of beam (mm)	H
dt	Depth of tensial reinforcement (mm)	D
dc	Depth of compressial reinforcement (mm)	d'
bf	Wide of FRP layers (mm)	B <sub>f</sub>
tf	Thikness of FRP layers (mm)	T <sub>f</sub>
nf	Number of FRP layers	N <sub>f</sub>
Ast	Area of tensial reinforcement (mm <sup>2</sup> )	A <sub>s</sub>
Asc	Area of compressial reinforcement (mm <sup>2</sup> )	A' <sub>s</sub>
fc	Cylindrical concrete strength (MPa)	f <sub>c</sub>
fyt	Yield stress of tensial reinforcement (MPa)	F <sub>y</sub>
fyc	Yield stress of compressial reinforcement (MPa)	f <sub>y</sub>
ffu	Ultimate stress of FRP layers (MPa)	F <sub>fu</sub>
gamaf	Reduction factor for FRP layers	γ <sub>f</sub>
Est	Modul of elastisity of tensial reinforcmment (MPa)	E <sub>s</sub>
Esc	Modul of elastisity of compressial reinforcmment (MPa)	E' <sub>s</sub>
Ef	Modul of elastisity of FRP layers (MPa)	E <sub>f</sub>
Mdl	Maximum initial moment befor installing FRP (N.mm)	M <sub>dl</sub>

\*\*\*\*\* Definition of Computed Data \*\*\*\*\*

Mu	Ultimate flexural moment of beam (N.mm)	Mult.
gamac	Concrete strength reduction factor	γ <sub>c</sub>
gamas	Steel strength reduction factor	γ <sub>s</sub>
Ec	Modul of elastisity of concrete (MPa)	E <sub>c</sub>
epsilononcu	Ultimate compressive strain of concrete	ε <sub>cu</sub>
epsilononbi	Initial strain befor bond the FRP	ε <sub>bi</sub>
epcilonfu	Ultimate tensile strain of FRP	ε <sub>fu</sub>
Af	Area of FRP reinforcement (mm <sup>2</sup> )	A <sub>f</sub>
fctm	Ultimate tensile strength of concrete (MPa)	F <sub>ctm</sub>
fst	Stress of tensial reinforcmment (MPa)	F <sub>s</sub>
fsc	Stress of compressial reinforcmment (MPa)	f <sub>s</sub>
alfa	Reduction factor	α
kc	Is a factor accounting for the state of compaction of concrete	K <sub>c</sub>
kb	Geometry factor	K <sub>b</sub>
c	Depth of neutral axis (mm)	C
si	A parameter defining rectangular stress block	ψ
deltaG	A parameter defining rectangular stress block	δ <sub>G</sub>
epsilononsc	Strain of compressial reinforcmment	ε' <sub>s</sub>

\*\*\*\*\* Main Function \*\*\*\*\*

```
function Mu = moment_fib ;

ans = input('Do you want to make new file (y/n) ? ','s');
if ans == 'y'
    filename = inputs ;
else
    filename = input ('Enter your file name ? ','s');
end
load (filename);

Fracture2 = 'Tensile steel in elastic mode' ;
Fracture3 = 'Compressive steel in elastic mode' ;
anchor = 'n' ;
gamac = 1.5 ;
gamas = 1.15 ;
epsiloncu = 0.0035 ;
Ec = 9.5*(fc + 8)^0.33 ;
t = tfrp * nf ;
Af = t*bf ;
if (Af*ffu*gamaf*Ef) > 0
    epsilonbi = istrain (b,h,dt,dc,Ast,Asc,fc,fyt,fyc,Est,Esc,Mdl);
    epsilonfu = ffu / (gamaf*Ef) ;
    anchor = input ('Do you anchor FRP (y/n) ? ','s') ;
    if anchor == 'n'
        fctm = 0.3*(fc)^0.67 ;
        alfa = 0.9 ;
        c1 = 0.64 ;
        kc = 1 ;
        kb = 1.06*sqrt((2-bf/b)/(1+bf/400)) ;
        if kb <1
            kb = 1 ;
        end
        epslimit = alfa*c1*kc*kb*bf*sqrt(Ef*t*fctm)/(Af*Ef) ;
        Frf = 0 ;
        epslimit = min([epslimit epsilonfu]) ;
        if epslimit == epsilonfu
            Frf = 1 ;
        end
    else
        epslimit = epsilonfu ;
        Frf = 1 ;
    end
else
    Af = 0 ;
    epsilonbi = 0 ;
    epsilonf = 0 ;
end
fyc = fyc/gamas ;
fyt = fyt/gamas ;
fc = fc/gamac ;

Frst = 0 ;
Frsc = 0 ;
Frc = 1 ;
si = 0.8;
a1 = 0.85*si*fc*b ;
a2 = Asc*Esc*epsiloncu + Af*Ef*(epsiloncu + epsilonbi)-Ast*fyt ;
a3 = - [Asc*Esc*epsiloncu*dc + Af*Ef*epsiloncu*h] ;
a = [a1 a2 a3] ;
C = roots (a) ;
c = finds (h,C);

fst = epsiloncu*Est*(dt-c)/c ;
```

```

if fst > fyt
    fst = fyt ;
    Frst = 1 ;
end
fsc = epsiloncu*Esc*(c-dc)/c ;
if fsc > fyc
    fsc = fyc ;
    Frsc = 1 ;
end
if (Frst == 0) | (Frsc == 1)
    n = 0 ;
    fst1 = [0,fst] ;
    fscl1 = [0,fsc] ;
    while [abs(fst1(1) - fst1(2)) > 0.001] | [abs(fscl1(1) - fscl1(2)) > 0.001]
        Frst = 0 ;
        Frsc = 0 ;
        if n==1
            fst = (fst1(1) + fst1(2))/2 ;
            fst1(2) = fst ;
            fsc = (fscl1(1) + fscl1(2))/2 ;
            fscl1(2) = fsc ;
        end
        n = 1 ;
        a1 = 0.85*si*fc*b ;
        a2 = fsc*Asc - fst*Ast + Af*Ef*(epsiloncu+epsilonbi) ;
        a3 = -Af*Ef*epsiloncu*h ;
        a = [a1 a2 a3] ;
        C = roots (a) ;
        c = finds (h,C) ;
        fst = epsiloncu*Est*(dt-c)/c ;
        if fst > fyt
            fst = fyt ;
            Frst = 1 ;
        end
        fsc = epsiloncu*Esc*(c-dc)/c ;
        if fsc > fyc
            fsc = fyc ;
            Frsc = 1 ;
        end
        fst1(1) = fst ;
        fscl1(1) = fsc ;
    end
end

deltaG = 0.4 ;
if Af > 0
    epsilonnf = epsiloncu*(h-c)/c - epsilonbi ;
    if epsilonnf > epslimit
        epsilonnf = epslimit ;
        ff = Ef*epsilonnf ;
        Frc = 0 ;
        n = 0 ;
        c1 = [0,c] ;
        while abs(c1(1)-c1(2))>0.001
            Frsc = 0 ;
            Frst = 0 ;
            if n==1
                c = (c1(1)+c1(2))/2 ;
                c1(2) = c;
            end
            epsilonnc = (epsilonnf + epsilonbi)*c/(h-c) ;
            fst = Est * (epsilonnf + epsilonbi)*(dt-c)/(h-c) ;
            if fst > fyt
                fst = fyt ;
                Frst = 1 ;
            end
            fsc = Esc * (epsilonnf + epsilonbi)*(c-dc)/(h-c) ;
            if fsc > fyc

```

```

        fsc = fyc ;
        Frsc = 1 ;
    end
    n = 1 ;
    if epsilonc < 0.002
        si = 1000*epsilonc*(0.5-1000*epsilonc/12) ;
        deltaG = (8-1000*epsilonc)/[4*(6-1000*epsilonc)] ;
    else
        si = 1 - 2/(3000*epsilonc) ;
        deltaG = [1000*epsilonc*(3000*epsilonc - 4) + 2] /
[2000*epsilonc*(3000*epsilonc - 2)] ;
    end
    c = [Ast*fst + Af*ff - Asc*fsc] / [0.85*si*fc*b] ;
    c1(1) = c ;
end
end
end
Mst = Ast*fst*(dt-deltaG*c);
Msc = Asc*fsc*(deltaG*c-dc);
Mf = Af*Ef*epsilononf*(h-deltaG*c);
Mu = Ast*fst*(dt-deltaG*c) + Af*Ef*epsilononf*(h-deltaG*c) +
Asc*fsc*(deltaG*c-dc) ;

if Frc == 1
    Fracture1 = 'Concrete crushing' ;
elseif Frf == 0
    Fracture1 = 'FRP debonding' ;
elseif Frf == 1
    Fracture1 = 'FRP rupture' ;
end
if Frst == 1
    Fracture2 = 'Follow by tensile steel yielding' ;
end
if Frsc == 1
    Fracture3 = 'Follow by compressive steel yielding' ;
end
filename1 = input ('Enter your output filename = ','s') ;
save
(filename1,'anchor','c','Mst','Msc','Mf','Mu','Fracture1','Fracture2','Fracture3')

```

### \*\*\*\*\* Subfunctions \*\*\*\*\*

#### \*\*\*\*\* Istrain (Initial Strain) \*\*\*\*\*

```

function epsilonbi = istrain (b,h,dt,dc,Ast,Asc,fc,fyt,fyc,Est,Esc,Mdl)

% befor concrete cracking :

Ec = 9.5*(fc + 8)^0.33 ;
nst = Est/Ec ;
nsc = Esc/Ec ;
fctm = 0.3*(fc)^(0.67) ;

c = [(nst-1)*Ast*dt + (nsc-1)*Asc*dc + (b*h^2)/2] / [(nst-1)*Ast + (nsc-1)*Asc + b*h] ;
I = [(b*h^3)/12 + b*h*(h/2 - c)^2] + [(nst-1)*Ast*(dt-c)^2] + [(nsc-1)*Asc*(dc-c)^2] ;

Mcr = (fctm*I)/(h-c) ;

```

```

if Mdl <= Mcr
    epsilonbi = 0 ;
else

    % after concrete cracking :

    equal = [b/2 , ((nsc-1)*Asc + nst*Ast) , -((nsc-1)*Asc*dc + nst*Ast*dt) ]
;
    C = roots(equal) ;

    if (C(1,1)>0) and (C(1,1)<h)
        c = C(1,1) ;
    else
        c = C(2,1) ;
    end

    I = (b*c^3)/3 + (nsc-1)*Asc*(dc-c)^2 + nst*Ast*(dt-c)^2 ;
    epsilonbi = [Mdl*(h-c)] / (I*Ec) ;

end

***** finds (search c between 0 and h) *****

function c = finds(h,C)

if (C(1,1)>0)
    if (C(1,1)<h)
        c = C(1,1);
    else
        c = C(2,1);
    end
else
    c = C(2,1);
end

```

Design function to calculate ultimate **flexural** moment of rectangular beam based on  
**ISIS CANADA 2001**

\*\*\*\*\* Definition of Input Data \*\*\*\*\*

st	Is your structure a bridge (y/n) ?	---
b	Wide of beam (mm)	b
h	Hight of beam (mm)	h
dt	Depth of tensial reinforcement (mm)	d
dc	Depth of compressial reinforcement (mm)	d'
bf	Wide of FRP layers (mm)	b <sub>f</sub>
tf	Thikness of FRP layers (mm)	t <sub>f</sub>
nf	Number of FRP layers	n <sub>f</sub>
Ast	Area of tensial reinforcement (mm <sup>2</sup> )	A <sub>s</sub>
Asc	Area of compressial reinforcement (mm <sup>2</sup> )	A' <sub>s</sub>
fc	Cylindrical concrete strength (MPa)	f' <sub>c</sub>
fyt	Yield stress of tensial reinforcement (MPa)	f <sub>y</sub>
fyc	Yield stress of compressial reinforcement (MPa)	f' <sub>y</sub>
ffu	Ultimate stress of FRP layers (MPa)	f <sub>fu</sub>
fif	Reduction factor for FRP layers	ϕ <sub>f</sub>
Est	Modul of elastisity of tensial reinforcement (MPa)	E <sub>s</sub>
Esc	Modul of elastisity of compressial reinforcement (MPa)	E' <sub>s</sub>
Ef	Modul of elastisity of FRP layers (MPa)	E <sub>f</sub>
Mdl	Maximum initial moment befor installing FRP (N.mm)	M <sub>dl</sub>

\*\*\*\*\* Definition of Computed Data \*\*\*\*\*

Mu	Ultimate flexural moment of beam (N.mm)	Mult.
fic	Concrete strength reduction factor	ϕ <sub>c</sub>
fis	Steel strength reduction factor	ϕ <sub>s</sub>
beta1	A parameter defining rectangular stress block	β <sub>1</sub>
alfa1	A parameter defining rectangular stress block	α <sub>1</sub>
Ec	Modul of elastisity of concrete (MPa)	E <sub>c</sub>
epsilononcu	Ultimate compressive strain of concrete	ε <sub>cu</sub>
epsilononbi	Initial strain befor bond the FRP	ε <sub>bi</sub>
epcilonfu	Ultimate tensile strain of FRP	ε <sub>fu</sub>
Af	Area of FRP reinforcement (mm <sup>2</sup> )	A <sub>f</sub>
fr	Ultimate tensile strength of concrete (MPa)	f <sub>r</sub>
Cb	Depth of neutral axis in balanced condition (mm)	C <sub>b</sub>
fst	Stress of tensial reinforcement (MPa)	f <sub>s</sub>
fsc	Stress of compressial reinforcement (MPa)	f' <sub>s</sub>
c	Depth of neutral axis (mm)	c
ff	Stress of FRP	f <sub>f</sub>

\*\*\*\*\* Main Function \*\*\*\*\*

```
function Mu = moment_isis ;  
  
ans = input('Do you want to make new file (y/n) ? ','s');  
if ans == 'y'  
    filename = inputs ;  
else  
    filename = input ('Enter your file name ? ','s');  
end  
load (filename);  
  
Fracture2 = 'Tensile steel in elastic mode' ;  
Fracture3 = 'Compressive steel in elastic mode' ;  
  
if st == 'n'  
    betal = 0.97 - 0.0025*fc ;  
    if betal < 0.67  
        betal = 0.67 ;  
    end  
    alfa1 = 0.85 - 0.0015*fc ;  
    if alfa1 < 0.67  
        alfa1 = 0.67 ;  
    end  
    Ec = 4500*sqrt(fc) ;  
    epsiloncu = 0.0035 ;  
    fis = 0.85 ;  
    fic = 0.6 ;  
else  
    betal = 1.09 - 0.008*fc ;  
    if betal < 0.65  
        betal = 0.65 ;  
    elseif betal > 0.85  
        betal = 0.85 ;  
    end  
    alfa1 = 0.85 ;  
    epsiloncu = 0.003 ;  
    fis = 0.9 ;  
    fic = 0.75 ;  
    Ec = 5000*sqrt(fc) ;  
end  
  
c = 0.3*dt ;  
Cb = 0 ;  
t = tfrp * nf ;  
Af = bf*t ;  
fr = 0.6 * sqrt (fc) ;  
Frst = 0 ;  
Frsc = 0 ;  
Frc = 1 ;  
Fri = 0 ;  
if (Af*ffu*fif*Ef)>0  
    epsilonfu = ffu / Ef ;  
    epsilonbi = istrain (b,h,dt,dc,Ast,Asc,fc,fr,Ec,fyt,fyc,Est,Esc,Mdl) ;  
  
    Cb = (h*epsiloncu) / (epsiloncu + epsilonfu + epsilonbi);  
  
    fst = Est * epsiloncu * (dt - Cb)/Cb ;  
    if fst > fyt  
        fst = fyt ;  
        Frst = 1 ;  
    end  
  
    fsc = Esc * epsiloncu * (Cb - dc)/Cb ;  
    if fsc > fyc  
        fsc = fyc ;  
        Frsc = 1 ;
```

```

    end

    c = (fis*fst*Ast + fif*Ef*epsilonfu*Af - fis*fsc*Asc) /
(alfal*fic*fc*beta1*b);
    if c == Cb
        Frf = 1 ;
        Frc = 1 ;
        Mu = fis*fst*Ast*(dt - beta1*c/2) + fif*Ef*epsilonfu*Af*(h -
beta1*c/2) - fis*fsc*Asc*(dc - beta1*c/2) ;
    end
else
    Af = 0 ;
    epsilonbi = 0 ;
end
%
%
%
if (c > Cb) | (Af==0)
    n = 0 ;
    i = 1 ;
    c1 = [0,c] ;
    while abs(c1(1)-c1(2))>0.001
        if n==1
            c = (c1(1)+c1(2))/2 ;
            c1(2) = c ;
        end
        Frst = 0 ;
        Frsc = 0 ;
        Frc = 1 ;
        n = 1 ;
        if Af > 0
            epsilonf = epsiloncu * (h-c)/c - epsilonbi ;
            if epsilonf > epsilonfu
                epsilonf = epsilonfu ;
                Frc = 0 ;
            end
            ff = epsilonf * Ef ;
        else
            ff = 0 ;
        end
        epsilonst = epsiloncu*(dt-c)/c;
        fst = epsilonst * Est ;
        if fst > fyt
            fst = fyt ;
            Frst = 1 ;
        end
        fsc = Esc * epsiloncu*(c-dc)/c;
        if fsc > fyc
            fsc = fyc ;
            Frsc = 1 ;
        end
        c = (fis*fst*Ast + fif*ff*Af - fis*fsc*Asc) / (alfal*fic*fc*beta1*b);
        c1(1) = c ;
    end

    Mst = fis*Ast*fst*(dt-beta1*c/2) ;
    Msc = fis*Asc*fsc*(beta1*c/2-dc) ;
    Mf = fif*ff*Af*(h-beta1*c/2) ;
    Mu = fis*[Ast*fst*(dt-beta1*c/2) - Asc*fsc*(dc-beta1*c/2)] +
fif*ff*Af*(h-beta1*c/2);
end

%
%
%
FRP Rupture
%
%
```

```

if (c < Cb) & (Af>0)
    Frc = 0 ;
    n = 0 ;
    c1 = [0,c] ;
    while abs(c1(1)-c1(2))>0.001
        if n==1
            c = (c1(1)+c1(2))/2;
            c1(2) = c ;
        end
        n = 1 ;
        Frst = 0 ;
        Frsc = 0 ;
        epsilonf = epsiloncu * (h-c)/c - epsilonbi ;
        if epsilonf > epsilonfu
            epsilonf = epsilonfu ;
        end
        ff = epsilonfu * Ef ;
        epsilonst = (epsilonf + epsilonbi)*(dt-c) / (h-c);
        fst = epsilonst * Est ;
        if fst > fyt
            fst = fyt ;
            Frst = 1 ;
        end
        fsc = Esc * (epsilonf + epsilonbi)*(c-dc) / (h-c);
        if fsc > fyc
            fsc = fyc ;
            Frsc = 1 ;
        end
        c = (fis*fst*Ast + fif*ff*Af - fis*fsc*Asc) / (alfa1*fic*fc*beta1*b) ;
        c1(1) = c ;
    end
    Mst = fis*Ast*fst*(dt-beta1*c/2);
    Msc = fis*Asc*fsc*(beta1*c/2-dc) ;
    Mf = fif*ff*Af*(h-beta1*c/2);
    Mu = fis*[Ast*fst*(dt-beta1*c/2) - Asc*fsc*(dc-beta1*c/2)] +
    fif*ff*Af*(h-beta1*c/2);
end

if (Frc == 1) & (Frfr == 0)
    Fracture1 = 'Concrete crushing' ;
elseif (Frc == 1) & (Frfr == 1)
    Fracture1 = 'Balanced failure' ;
elseif Frc == 0
    Fracture1 = 'FRP rupture' ;
end
if Frst == 1
    Fracture2 = 'Follow by tensile steel yielding' ;
end
if Frsc == 1
    Fracture3 = 'Follow by compressive steel yielding' ;
end
filename1 = input ('Enter your output filename = ','s') ;
save
(filename1,'c','Mst','Msc','Mf','Mu','Fracture1','Fracture2','Fracture3')

```

### \*\*\*\*\* Subfunctions \*\*\*\*\*

#### \*\*\*\*\* Istrain (Initial Strain) \*\*\*\*\*

```

function epsilonbi = istrain
(b,h,dt,dc,Ast,Asc,fc,fr,Ec,fyt,fyc,Est,Esc,Mdl)

% befor concrete cracking :

nst = Est/Ec ;
nsc = Esc/Ec ;

```

```

c = [(nst-1)*Ast*dt + (nsc-1)*Asc*dc + (b*h^2)/2]
/[ (nst-1)*Ast + (nsc-1)*Asc + b*h] ;
I = [(b*h^3)/12 + b*h*(h/2 - c)^2] + [(nst-1)*Ast*(dt-c)^2]
+ [(nsc-1)*Asc*(dc-c)^2] ;

Mcr = (fr*I)/(h-c) ;

if Mdl <= Mcr
    epsilonbi = [Mdl*(h-c)] / (I*Ec) ;
else
    % after concrete cracking :

    equal = [b/2 , ((nsc-1)*Asc + nst*Ast) , -( (nsc-1)*Asc*dc + nst*Ast*dt) ]
;
    C = roots(equal) ;

    if (C(1,1)>0) and (C(1,1)<h)
        c = C(1,1) ;
    else
        c = C(2,1) ;
    end

    I = (b*c^3)/3 + (nsc-1)*Asc*(dc-c)^2 + nst*Ast*(dt-c)^2 ;
    epsilonbi = [Mdl*(h-c)] / (I*Ec) ;
end

```

\*\*\*\*\* finds (search c between 0 and h) \*\*\*\*\*

```

function c = finds(h,C)

if (C(1,1)>0)
    if (C(1,1)<h)
        c = C(1,1);
    else
        c = C(2,1);
    end
else
    c = C(2,1);
end

```

Design function to calculate ultimate shear capacity of RC element based on  
**ACI 440.2R-02**

**\*\*\*\*\* Definition of Input Data \*\*\*\*\***

st	wrapping schemes c(Completely wrap) or u(U-wrap) or t(Two sides wrap)	---
b	Wide of beam (mm)	b
d	Depth of tensial reinforcmnt (mm)	d
s	Center to center spacing between the shear reinforcement (mm)	s <sub>v</sub>
a1	Inclined angle of shear reinforcement (Degree)	α
wf	Wide of FRP strips (mm)	w <sub>f</sub>
df	Depth of FRP strips (mm)	d <sub>f</sub>
tf	Thikness of FRP strips (mm)	t <sub>f</sub>
nf	Number of FRP layers	n <sub>f</sub>
sf	Center to center spacing between the FRP shear reinforcement (mm)	s <sub>f</sub>
a2	Inclined angle of FRP shear reinforcement (Degree)	β
Av	Area of shear reinforcement (mm <sup>2</sup> )	A <sub>sv</sub>
fc	Characteristic concrete strength (MPa)	f <sup>c</sup>
f <sub>y</sub>	Yield stress of shear reinforcmnt (MPa)	f <sub>y</sub>
f <sub>fu</sub>	Ultimate stress of FRP layers (MPa)	f <sub>fu</sub>
CE	Enviromental-reduction factor for FRP layers	C <sub>E</sub>
E <sub>s</sub>	Modul of elastisity of shear reinforcement (MPa)	E <sub>s</sub>
E <sub>f</sub>	Modul of elastisity of FRP layers (MPa)	E <sub>f</sub>

**\*\*\*\*\* Definition of Computed Data \*\*\*\*\***

V <sub>u</sub>	Ultimate shear capacity of beam (N.mm)	V <sub>ult</sub>
f <sub>i</sub>	Strength reduction factor	ϕ
V <sub>c</sub>	Concrete contribution in shear capacity (N.mm)	V <sub>c</sub>
V <sub>s</sub>	Steel contribution in shear capacity (N.mm)	V <sub>s</sub>
k <sub>v</sub>	Bond-reduction coefficient	K <sub>v</sub>
sif	FRP strength reduction factor	ψ <sub>f</sub>
V <sub>f</sub>	FRP contribution in shear capacity (N.mm)	V <sub>f</sub>
L <sub>e</sub>	Active bond length (mm)	L <sub>e</sub>
k <sub>1</sub>	Modification factor that account for the concrete strength	k <sub>1</sub>
k <sub>2</sub>	Modification factor that account for the wrapping scheme	k <sub>2</sub>
A <sub>fv</sub>	Area of FRP reinforcement (mm <sup>2</sup> )	A <sub>fv</sub>
epsilon <sub>fe</sub>	Effective strain in FRP reinforcement	ε <sub>fe</sub>
f <sub>fe</sub>	Effective stress in FRP reinforcement (MPa)	f <sub>fe</sub>
V <sub>n</sub>	Nominal shear capacity of beam (N.mm)	V <sub>n</sub>

\*\*\*\*\* Main Function \*\*\*\*\*

```
function Vu = shear_aci ;  
  
ans = input('Do you want to make new file (y/n) ? ','s');  
if ans == 'y'  
    filename = inputs ;  
else  
    filename = input ('Enter your file name ? ','s');  
end  
load (filename);  
anchor = 'n' ;  
  
a1 = (pi / 180) * a1 ;  
a2 = (pi / 180) * a2 ;  
fi = 0.85 ;  
t = nf*tfrp ;  
AfV = 2*t*wf ;  
FrF = 0 ;  
  
Vc = 0.1667*sqrt(fc)*b*d ;  
if s > 0  
    Vs = Av*fy*d*(sin(a1)+cos(a1))/s ;  
else  
    Vs = 0 ;  
end  
if (sf == 0) & wf > 0  
    sf = wf ;  
end  
  
if (sf*df*Afv*a2*ffu*CE*Ef) > 0  
    ffu = CE * ffu ;  
    epsilonfu = ffu/Ef ;  
    anchor = input ('Do you anchor FRP (y/n) ? ','s');  
    if anchor == 'n'  
        if st == 'c'  
            kv = 0.75 ;  
            Frf = 1 ;  
            sif = 0.95 ;  
        else  
            Le = 23300 / [t*Ef]^(0.58) ;  
            k1 = [fc/27]^(0.667) ;  
            sif = 0.85 ;  
            if st == 'u'  
                k2 = (df-Le)/df ;  
            end  
            if st == 't'  
                k2 = (df-2*Le)/df ;  
            end  
            kv = (k1*k2*Le)/(11900*epsilonfu) ;  
            if kv > 0.75  
                kv = 0.75 ;  
                Frf = 1 ;  
            elseif kv < 0  
                kv = 0  
            end  
        end  
        epsilonfe = kv * epsilonfu ;  
        if epsilonfe > 0.004  
            epsilonfe = 0.004 ;  
            Frf = 1 ;  
        end  
    else  
        if st == 'c'  
            sif = 0.95 ;  
        else  
            . . .  
        end  
    end  
end
```

```

        sif = 0.85 ;
    end
    epsilonfe = min([0.004 epsilonfu]) ;
    Frf = 1 ;
end
ffe = epsilonfe * Ef ;
Vf = sif*Afv*ffe*df*(sin(a2)+cos(a2)) / sf ;
else
    Vf = 0 ;
end
Vn = Vc + Vs + Vf ;
limitl = 0.66*sqrt(fc)*b*d + Vc ;
limit = min([Vn limitl]) ;
Vu = fi * limit ;
Vc = fi * Vc ;
Vs = fi * Vs ;
Vf = fi * Vf ;

if Frf == 1
    Fracture = 'FRP rupture' ;
else
    Fracture = 'FRP debonding' ;
end

filename1 = input ('Enter your output filename = ','s') ;
save
(filename1,'anchor','Vc','Vs','Vf','Vn','limitl','limit','Vu','Fracture') ;

```

Design function to calculate ultimate **shear** capacity of RC element based on  
**Technical Report UK. 2000**

**\*\*\*\*\* Definition of Input Data \*\*\*\*\***

st	wrapping schemes c(Completely wrap) or u(U-wrap) or t(Two sides wrap)	---
b	Width of beam (mm)	b
d	Depth of tensial reinforcement (mm)	d
s	Center to center spacing between the shear reinforcement (mm)	$s_v$
a1	Inclined angle of shear reinforcement (Degree)	$\alpha$
wf	Width of FRP strips (mm)	$w_f$
df	Depth of FRP strips (mm)	$d_f$
tf	Thikness of FRP strips (mm)	$t_f$
nf	Number of FRP layers	$n_f$
sf	Center to center spacing between the FRP shear reinforcement (mm)	$s_f$
a2	Inclined angle of FRP shear reinforcement (Degree)	$\beta$
Av	Area of shear reinforcement ( $\text{mm}^2$ )	$A_{sv}$
As	Area of tension steel ( $\text{mm}^2$ )	$A_s$
fc	Characteristic concrete strength (MPa)	$f_c$
fy	Yield stress of shear reinforcement (MPa)	$f_y$
ffu	Ultimate stress of FRP layers (MPa)	$f_{fu}$
gamamF	FRP material partial safety factor	$\gamma_{mF}$
gamamE	Modul of FRP material partial safety factor	$\gamma_{mE}$
Ef	Modul of elastisity of FRP layers (MPa)	$E_f$

**\*\*\*\*\* Definition of Computed Data \*\*\*\*\***

Vu	Ultimate shear capacity of beam (N.mm)	$V_{ult}$
gamamc	Concrete material partial safety factor	$\gamma_{mc}$
gamams	Steel material partial safety factor	$\gamma_{ms}$
epcilononfu	Ultimate tensile strain of FRP	$\varepsilon_{fu}$
gamam	Material partial safety factor	$\gamma_m$
Vc	Concrete contribution in shear capacity (N.mm)	$V_c$
Vs	Steel contribution in shear capacity (N.mm)	$V_s$
epsilononfe	Effective strain in FRP reinforcement	$\varepsilon_{fe}$
Le	Effective bond length (mm)	$L_e$
wfe	Effective width of FRP (mm)	$W_{fe}$
rof	FRP shear reinforcement ratio	$\rho_f$
Vf	FRP contribution in shear capacity (N.mm)	$V_f$
Af	Area of FRP reinforcement ( $\text{mm}^2$ )	$A_{fv}$

\*\*\*\*\* Main Function \*\*\*\*\*

```
function Vu = shear_BS ;

ans = input('Do you want to make new file (y/n) ? ','s');
if ans == 'y'
    filename = inputs ;
else
    filename = input ('Enter your file name ? ','s');
end
load (filename);
anchor = 'n' ;

al = (pi / 180) * al ;
a2 = (pi / 180) * a2 ;
gamamc = 1.5 ;
gamams = 1.15 ;
fcu = fcu / gamamc ;
t = nf*tfrp ;
FrF = 0 ;
gamam = 1.25 ;
ro = 100*As/(b*d) ;
if ro > 3
    ro = 3 ;
end
Vc = b*d*0.79*[(fcu/25)*ro]^(1/3)*(400/d)^(0.25)/gamam ;
if s > 0
    Vs = Av*fy*d*(sin(al)+cos(al))/(gamams*s) ;
else
    Vs = 0 ;
end
if (sf == 0) & wf > 0
    sf = wf ;
end

if (wf*df*t*sf*a2*ffu*gamamF*gamamE*Ef) > 0
    Ef = Ef/gamamE ;
    ffu = ffu / gamamF ;
    epsilonfu = ffu/Ef ;
    anchor = input ('Do you anchor FRP (y/n) ? ','s') ;
    if anchor == 'n'
        if st == 'c'
            epsilonfe = min([0.004 epsilonfu]) ;
            FrF = 1 ;
        else
            Le = 461.3/(t*Ef)^(0.58) ;
            if st == 'u'
                wfe = df-Le ;
            elseif st == 't'
                wfe = df-2*Le ;
            end
            %wf = min([wfe wf]) ;
            rof = (2*t/b)*(wf/sf) ;
            if (rof*Ef)<1.1
                epsilonfel = epsilonfu*[0.5622*(rof*Ef/1000)^2-
1.2188*(rof*Ef/1000)+0.778] ;
            else
                epsilonfel = 0.004 ;
            end
            epsilonfe2
=0.0042*[(0.835*fcu)^(2/3)*wfe]/[(Ef*t/1000)^(0.58)*df];
            epsilonfe = min([epsilonfel epsilonfe2 0.004]) ;
            if epsilonfe >= min([0.004 epsilonfu])
                FrF = 1 ;
            end
    end
end
```

```

        end
    else
        epsilonfe = min([0.004 epsilonfu]) ;
        Frf = 1 ;
    end
    Af = 2*t*wf ;
    Vf = Af*Ef*epsilonfe*df*(sin(a2)+cos(a2))/(sf*gamamF) ;
else
    Vf = 0 ;
end

Vn = Vc + Vs + Vf ;
limit1 = 0.8*sqrt(fcu*gamamc)*b*d ;
limit2 = 5*b*d ;
Vu = min([limit1 Vn limit2]) ;

if Frf == 1
    Fracture = 'FRP rupture' ;
else
    Fracture = 'FRP debonding' ;
end

filename1 = input ('Enter your output filename = ','s') ;
save
(filename1,'anchor','Vc','Vs','Vf','Vn','limit1','limit2','Vu','Fracture') ;

```

Design function to calculate ultimate **shear** capacity of RC element based on  
***fib Task Group 9.3 2001***

\*\*\*\*\* Definition of Input Data \*\*\*\*\*

st	wrapping schemes c(Completely wrap) or u(U-wrap) or t(Two sides wrap)	---
b	Width of beam (mm)	b
d	Depth of tensial reinforcement (mm)	d
s	Center to center spacing between the shear reinforcement (mm)	$s_v$
a1	Inclined angle of shear reinforcement (Degree)	$\alpha$
wf	Width of FRP strips (mm)	$w_f$
tf	Thikness of FRP strips (mm)	$t_f$
nf	Number of FRP layers	$n_f$
sf	Center to center spacing between the FRP shear reinforcement (mm)	$s_f$
a2	Inclined angle of FRP shear reinforcement (Degree)	$\beta$
Av	Area of shear reinforcmnt (mm <sup>2</sup> )	$A_{sv}$
As	Area of tension steel (mm <sup>2</sup> )	$A_s$
fc	Characteristic concrete strength (MPa)	$f_c$
fy	Yield stress of shear reinforcmnt (MPa)	$f_y$
epsilononfu	Ultimate strain of FRP layers	$\varepsilon_{fu}$
gamaf	FRP material partial safety factor	$\gamma_f$
Ef	Modul of elastisity of FRP layers (MPa)	$E_f$

\*\*\*\*\* Definition of Computed Data \*\*\*\*\*

Vu	Ultimate shear capacity of beam (N.mm)	$V_{ult}$
gamac	Concrete material partial safety factor	$\gamma_c$
gamas	Steel material partial safety factor	$\gamma_s$
Vc	Concrete contribution in shear capacity (N.mm)	$V_c$
Vs	Steel contribution in shear capacity (N.mm)	$V_s$
rof	FRP shear reinforcement ratio	$\rho_f$
Vf	FRP contribution in shear capacity (N.mm)	$V_f$
nu	Empirically obtained efficiency factor	v

\*\*\*\*\* Main Function \*\*\*\*\*

```
function Vu = shear_fib ;

ans = input('Do you want to make new file (y/n) ? ','s');
if ans == 'y'
    filename = inputs ;
else
    filename = input ('Enter your file name ? ','s');
end
load (filename);
anchor = 'n' ;

fcm = fc + 8 ;
a1 = (pi / 180) * a1 ;
a2 = (pi / 180) * a2 ;
gamac = 1.5 ;
gamas = 1.15 ;
FrF = 0 ;
t = tfRP * nf ;
ro = 100*As/(b*d) ;
if ro > 2
    ro = 2 ;
end
Vc = b*d*[0.0525*(fc)^(2/3)*[1.2 + 0.4*ro]*(1.6-d/1000)]/gamac ;
if s > 0
    Vs = 0.9*Av*fy*d*(sin(a1)+cos(a1))/(gamas*s) ;
else
    Vs = 0 ;
end
if (sf == 0) & wf > 0
    sf = wf ;
end

if (wf*t*sf*a2*ffu*gamaf*Ef) > 0
    epsilonfu = ffu/(Ef*gamaf) ;
    anchor = input ('Do you anchor FRP (y/n) ? ','s') ;
    if sf == wf
        rof = 2*t*sin(a2)/b ;
    else
        rof = 2*t*wf/(b*sf) ;
    end
    if anchor == 'n'
        if frptype == 'c'
            eps1 = 0.17*[(fcm)^(2/3)/(Ef*rof/1000)]^(0.3)*epsilonfu ;
        else
            eps1 = 0.048*[(fcm)^(2/3)/(Ef*rof/1000)]^(0.47)*epsilonfu ;
        end
        eps2 = 0.65*[(fcm)^(2/3)/(Ef*rof/1000)]^(0.56)*0.001 ;
        if st == 'c'
            epsilonfe = min([0.006 eps1]) ;
        else
            epsilonfe = min([eps1 eps2 0.006]) ;
        end
        if epsilonfe >= min([0.006 epsilonfu])
            Frf = 1 ;
        end
    else
        epsilonfe = min([0.006 epsilonfu]) ;
        Frf = 1 ;
    end
    Vf = 0.72*Ef*epsilonfe*b*d*rof*(sin(a2)+cos(a2))/gamaf ;
else
    Vf = 0 ;
end
```

```
Vn = Vc + Vs + Vf ;

nu = 0.7 - fc/200 ;
if nu < 0.5
    nu = 0.5 ;
end
limit = 0.45*b*d*nu*fc/gamac ;
Vu = min([limit Vn]) ;

if Frf == 1
    Fracture = 'FRP rupture' ;
else
    Fracture = 'FRP debonding' ;
end

filename1 = input ('Enter your output filename = ','s') ;
save (filename1,'anchor','Vc','Vs','Vf','Vn','limit','Vu','Fracture') ;
```

Design function to calculate ultimate **shear** capacity of RC element based on  
**ISIS CANADA 2001**

\*\*\*\*\* Definition of Input Data \*\*\*\*\*

st	FRP type , CFRP or AFRP or GFRP [c/a/g] ?	---
b	Wide of beam (mm)	b
d	Depth of tensial reinforcmnt (mm)	d
s	Center to center spacing between the shear reinforcement (mm)	s <sub>v</sub>
beta1	Inclined angle of shear reinforcement (Degree)	$\beta_1$
wf	Wide of FRP strips (mm)	w <sub>f</sub>
df	Depth of FRP strips (mm)	d <sub>f</sub>
tf	Thikness of FRP strips (mm)	t <sub>f</sub>
nf	Number of FRP layers	n <sub>f</sub>
ne	Number of free ends of an FRP stirrup on one side of the beam	n <sub>e</sub>
sf	Center to center spacing between the FRP shear reinforcement (mm)	s <sub>f</sub>
beta2	Inclined angle of FRP shear reinforcement (Degree)	$\beta_2$
Av	Area of shear reinforcmnt (mm <sup>2</sup> )	A <sub>sv</sub>
fc	Characteristic concrete strength (MPa)	f <sub>c</sub>
Yield stress of shear reinforcement (MPa)	f <sub>y</sub>	
epsilonfu	Ultimate strain of FRP layers	$\varepsilon_{fu}$
Ef	Modul of elastisity of FRP layers (MPa)	E <sub>f</sub>
fif	FRP strength reduction factor	$\phi_f$

\*\*\*\*\* Definition of Computed Data \*\*\*\*\*

Vu	Ultimate shear capacity of beam (N.mm)	V <sub>ult</sub>
fic	Concrete strength reduction factor	$\phi_c$
fis	Steel strength reduction factor	$\phi_s$
Vc	Concrete contribution in shear capacity (N.mm)	V <sub>c</sub>
Vs	Steel contribution in shear capacity (N.mm)	V <sub>s</sub>
Vf	FRP contribution in shear capacity (N.mm)	V <sub>f</sub>
Le	Effective anchorage length (mm)	L <sub>e</sub>
k1	Modification factor that account for the concrete strength	k <sub>1</sub>
k2	Modification factor that account for the FRP configuration	k <sub>2</sub>
Af	Area of FRP reinforcement (mm <sup>2</sup> )	A <sub>f</sub>
rof	FRP shear reinforcement ratio	$\rho_{frp}$
R	Ratio of effective to ultimate strain in the FRP stirrup	R
epsilonfe	Effective strain in FRP reinforcement	$\varepsilon_{fe}$

## \*\*\*\*\* Main Function \*\*\*\*\*

```
function Vu = shear_isis ;

ans = input('Do you want to make new file (y/n) ? ','s');
if ans == 'y'
    filename = inputs ;
else
    filename = input ('Enter your file name ? ','s');
end
load (filename);
anchor = 'n' ;

a1 = (pi / 180) * al ;
a2 = (pi / 180) * a2 ;
fic = 0.6 ;
fis = 0.85 ;
FrF = 0 ;

Vc = fic*0.2*sqrt(fc)*b*d ;
if s > 0
    Vs = fis*fy*Av*d*(sin(a1) + cos(al))/s ;
else
    Vs = 0 ;
end
Af = 2*tfrp*nf*wf ;
if (sf == 0) & wf > 0
    sf = wf ;
end
if (Af*df*nf*sf*ffu*fif*Ef) > 0
    epsilonfu = ffu/Ef ;
    anchor = input ('Do you anchor FRP (y/n) ? ','s');
    if anchor == 'n'
        alfa = 0.8 ;
        k1 = [fc/27.65]^0.667 ;
        Le = 25350 / [tfrp*Ef]^0.58 ;
        k2 = (df - Le * nef)/df ;
        eps1 = alfa*fif*k1*k2*Le/9525 ;
        rof = (2*tfrp*wf) / (b*sf) ;
        if st == 'c'
            Landa1 = 1.35 ;
            Landa2 = 0.30 ;
        else
            Landa1 = 1.23 ;
            Landa2 = 0.47 ;
        end
        R = alfa*Landa1*[fc^0.667/(rof*Ef)]^Landa2 ;
        eps2 = R * epsilonfu ;
        epsilon = [eps1 , eps2 , 0.004] ;
        epsilonfe = min(epsilon);
        if epsilonfe < 0
            epsilonfe = 0 ;
        elseif epsilonfe >= min([0.004 epsilonfu])
            Frf = 1 ;
        end
    else
        epsilonfe = min([0.004 epsilonfu]) ;
        Frf = 1 ;
    end
    Vf = fif*Ef*epsilonfe*Af*df*(sin(a2) + cos(a2))/sf ;
else
```

```
Vf = 0 ;
end

Vn = Vc + Vs + Vf ;
limit = 5*Vc ;

Vu = min([Vn limit]) ;

if Frf == 1
    Fracture = 'FRP rupture' ;
else
    Fracture = 'FRP debonding' ;
end

filename1 = input ('Enter your output filename = ','s') ;
save (filename1,'anchor','Vc','Vs','Vf','Vn','limit','Vu','Fracture') ;
```

Design function to calculate **axial** capacity of a short Circular Column with FRP  
Confinement based on **ACI 440.2R-02**

\*\*\*\*\* Definition of Input Data \*\*\*\*\*

d	diameter of column (mm)	d
tf	thickness of each FRP layers (mm)	tf
nf	number of FRP layers	ne
As	area of longitude reinforcement (mm <sup>2</sup> )	As
yielding strength of steel reinforcement (MPa)	f <sub>y</sub>	
ffu	ultimate tensile strength of FRP layers (MPa)	f <sub>fu</sub>
Ef	module of elasticity of FRP layers (MPa)	E <sub>f</sub>
CE	environmental-reduction factor for FRP layers	C <sub>E</sub>
fc	characteristic concrete strength (MPa)	f <sub>c</sub>
st	reinforcement type , spiral(s) or tie(t) [s/t]	---

\*\*\*\*\* Definition of Computed Data \*\*\*\*\*

P <sub>u</sub>	ultimate compression force (N)	P <sub>u</sub>
epsilon <sub>fu</sub>	ultimate strain of FRP layers	ε <sub>fu</sub>
rof	FRP reinforcement ratio	ρ <sub>f</sub>
ka	efficiency factor	K <sub>a</sub>
sif	Strength reduction factor of FRP	ψ <sub>f</sub>
A <sub>g</sub>	cross sectional area of column (mm <sup>2</sup> )	A <sub>g</sub>
epsilon <sub>fe</sub>	effective strain in the FRP jacket	ε <sub>fe</sub>
f <sub>l</sub>	confining pressure (MPa)	f <sub>l</sub>
f <sub>cc</sub>	confined concrete strength (MPa)	f <sub>cc</sub>

\*\*\*\*\* Main Function \*\*\*\*\*

```
function Pu = Compression ;

ans = input('Do you want to make new file (y/n) ? ','s');
if ans == 'y'
    filename = inputs ;
else
    filename = input ('Enter your file name ? ','s');
end
load (filename);

t = tfrp * nf ;
ffu = CE * ffu ;
if Ef > 0
    epsilonfu = ffu/Ef ;
else
    epsilonfu = 0 ;
end
sif = 0.95 ;
Ag = pi*d^2/4 ;
ka = 1 ;
rof = 4*t/d ;
epsilonfe = 0.75 * epsilonfu ;
if epsilonfe > 0.004
    epsilonfe = 0.004 ;
end
f1 = ka*rof*epsilonfe*Ef/2 ;
fcc = fc * [2.25*sqrt(1+7.9*f1/fc) - 2*f1/fc - 1.25] ;
if st == 's'
    fccd = 0.515*fcc ;
    Pu = 0.85 * 0.75 * [0.85 * sif * fcc * (Ag - As) + fy * As] ;
else
    fccd = 0.452*fcc ;
    Pu = 0.80 * 0.70 * [0.85 * sif * fcc * (Ag - As) + fy * As] ;
end

filenamel = input ('Enter your output filename = ','s') ;
save (filenamel,'fcc','fccd','Pu')
```

Design function to calculate **axial** capacity of a short Circular Column with FRP  
Confinement based on **Technical Report UK. 2000**

\*\*\*\*\* Definition of Input Data \*\*\*\*\*

d	diameter of column (mm)	d
tf	thickness of each FRP layers (mm)	tf
nf	number of FRP layers	nf
Ef	module of elasticity of FRP layers (MPa)	Ef
gamamE	partial safety factor of module of FRP	γmE
fcu	cubic concrete strength (MPa)	fcu
As	area of longitude reinforcement (mm <sup>2</sup> )	As
yeilding strength of steel reinforcement (MPa)	fy	

\*\*\*\*\* Definition of Computed Data \*\*\*\*\*

Pu	ultimate compression force (N)	Pu
Ac	cross sectional area of column (mm <sup>2</sup> )	Ac
fccd	design strength of confined concrete (MPa)	fccd
gamamc	concrete partial safety factor	γmc
gamams	steel partial safety factor	γms

\*\*\*\*\* Main Function \*\*\*\*\*

```

function Pu = Compression ;

ans = input('Do you want to make new file (y/n) ? ','s');
if ans == 'y'
    filename = inputs ;
else
    filename = input ('Enter your file name ? ','s');
end
load (filename);

t = tfrp * nf ;
Ac = pi*d^2/4 ;
gamamc = 1.5 ;
gamams = 1.15 ;
fy = fy/gamams ;
if gamamE*Ef > 0
    fccd = 0.45*[0.67*fcu/gamamc + 0.05*(2*t/d)*Ef/gamamE] ;
else
    fccd = 0.67*fcu/gamamc ;
end

Pu = fccd*Ac + As*fy ;

filename1 = input ('Enter your output filename = ','s') ;
save (filename1,'fccd','Pu')

```

Design function to calculate **axial** capacity of a short Circular Column with FRP Confinement based on *fib Task Group 9.3*

\*\*\*\*\* Definition of Input Data \*\*\*\*\*

d	diameter of column (mm)	d
tf	thickness of each FRP layers (mm)	tf
nf	number of FRP layers	nf
As	area of longitude reinforcement ( $\text{mm}^2$ )	As
fy	yielding strength of steel reinforcement (MPa)	fy
ffu	ultimate tensile strength of FRP layers (MPa)	ffu
Ef	module of elasticity of FRP layers (MPa)	Ef
gamaF	material safety factor of FRP layers	$\gamma_f$
fc	cylindrical compression strength of concrete (MPa)	$f_c$
st	Is column with a partial wrapping (y/n) ?	---
sl	clear spacing between the FRP wraps	sl
sg	Is column with any fibre orientation (y/n) ?	---
p	helix pitch of FRP wraps	p

\*\*\*\*\* Definition of Computed Data \*\*\*\*\*

Pu	ultimate compression force (N)	$P_u$
gamac	concrete partial safety factor	$\gamma_c$
gamas	steel partial safety factor	$\gamma_s$
epsiloncu	ultimate compression strain	$\varepsilon_{cu}$
epsilonfu	ultimate strain of FRP layers	$\varepsilon_{fu}$
Ec	module of elasticity of concrete (MPa)	$E_c$
ke	confinement effectiveness coefficient	$k_e$
Ac	concrete cross section ( $\text{mm}^2$ )	$A_c$
beta	a constant is a property of concrete	$\beta$
roj	volumetric ratio of FRP jacket	$\rho_j$
Kconf	stiffness of the FRP confinement	$k_{conf}$
fl	effective confining pressure (MPa)	$f_l$
fcc	confined peak strength (MPa)	$f_{cc}$
epsc	compressive strain at confined peak strength	$\varepsilon_{cc}$
epscu	ultimate compressive strain in confined concrete	$\varepsilon_{cu}$
fcu	ultimate compressive stress in confined concrete (MPa)	$f_{cu}$

\*\*\*\*\* Main Function \*\*\*\*\*

```
function Pu = Compression ;

ans = input('Do you want to make new file (y/n) ? ','s');
if ans == 'y'
    filename = inputs ;
else
    filename = input ('Enter your file name ? ','s');
end
load (filename);

t = tfrp * nf ;
gamac = 1.5 ;
gamas = 1.15 ;
fy = fy/gamas ;
fcd = fc/gamac ;
epsiloncu = 0.0035 ;
if Ef*gamaf > 0
    epsilonfu = ffu/(Ef*gamaf) ;
else
    epsilonfu = 0 ;
end
Ec = 9500*(fc + 8)^0.33 ;
ke = 1 ;
Ac = pi*d^2/4 ;
if st == 'y'
    ke = [1-s/(2*d)]/[1-As/Ac] ;
end
if sg == 'y'
    ke = [1+(p/(pi*d))^2]^{(-1)} ;
end
beta = 5700/sqrt(fcd) - 500 ;
roj = 4*t/d ;
Kconf = ke*roj*Ef/2 ;
if gamaf > 0
    fl = Kconf*epsilonfu/gamaf ;
else
    fl = 0 ;
end
fcc = fcd*[2.254*sqrt(1+7.94*fl/fcd) - 2*fl/fcd - 1.254] ;
epsc = epsiloncu * [1 + 5*(fcc/fcd - 1)] ;
Ecc = fcc/epsc ;
epscu = epssc * [2*beta*epsilonfu*Ecc/(Ec-Ecc)]^{(1-Ecc/Ec)} ;
fcu = Ec*epscu/(1 + 2*beta*epsilonfu) ;
if epsilonfu == 0
    fccd = 0.459*fcd*gamac ;
    fcu = fcd*gamac ;
else
    fccd=0.459*fcu ;
end
Pu = 0.459*fcu*Ac + fy*As ;

filenamel = input ('Enter your output filename = ','s') ;
save (filenamel,'fcu','fccd','Pu')
```

Design function to calculate **axial** capacity of a short Circular Column with FRP  
Confinement based on **ISIS CANADA 2001**

\*\*\*\*\* Definition of Input Data \*\*\*\*\*

d	diameter of column (mm)	d
tf	thickness of each FRP layers (mm)	tf
nf	number of FRP layers	nf
fif	strength reduction factor of FRP layers	fif
ffu	ultimate tensile strength of FRP layers (MPa)	ffu
Ef	module of elasticity of FRP layers (MPa)	Ef
fc	cylindrical compression strength of concrete (MPa)	fc
fy	yielding strength of steel reinforcement (MPa)	fy
As	area of longitude reinforcement (mm <sup>2</sup> )	As
st	type of column structure , Bridge or building [b/L] ?	---

\*\*\*\*\* Definition of Computed Data \*\*\*\*\*

Pu	ultimate compression force (N)	Pu
Ag	concrete cross section (mm <sup>2</sup> )	Ag
fic	resistant factor for concrete	phi_c
fis	resistant factor for steel	phi_s
flf	ultimate confining pressure (MPa)	fif
alfapc	performance coefficient	alpha_pc
ke	Strength reduction factor	ke
Ww	volumetric ratio of FRP jacket	Ww
fcc	compressive stress af confined concrete (MPa)	fcc
alfal	Ratio of average stress in the rectangular compression block	alpha_l

\*\*\*\*\* Main Function \*\*\*\*\*

```
function Pu = compression ;

ans = input('Do you want to make new file (y/n) ? ','s');
if ans == 'y'
    filename = inputs ;
else
    filename = input ('Enter your file name ? ','s');
end
load (filename);

t = tfrp * nf ;
Ag = pi*d^2/4 ;
fis = 0.85 ;
fic = 0.6 ;
fLf = 2*fif*ffu*t/d ;
alfapc = 1.0 ;
ke = 0.85 ;
limit = fc*[(1/ke)-fic]/(2*alfapc) ;
if fLf > limit
    fLf = limit ;
end
if fLf < 4
    fLf = 4 ;
end
Ww = 2*fLf/(fic*fc) ;

fcc = fc*(1 + alfapc*Ww) ;
if st == 'n'
    alfa1 = 0.85 - 0.0015*fc ;
    if alfa1 < 0.67
        alfa1 = 0.67
    end
else
    alfa1 = 0.85 ;
end

fccd = ke*alfa1*fic*fcc ;
Pu = ke*[alfa1*fic*fcc*(Ag - As) + fis*fy*As] ;

filename1 = input ('Enter your output filename = ','s') ;
save (filename1,'fcc','fccd','Pu')
```

## ضمیمه (ج) :

### روابط مربوط به محاسبه انحراف معیار

همانطور که در فصول پنجم و ششم ملاحظه گردید ، جهت مقایسه بهتر ضرایب اینمنی ، بررسی انحراف معیار این مقادیر لازم می باشد . همچنین در نهایت برای مقایسه کلی و نتیجه گیری نهایی ، لازم است که ضرایب اینمنی و انحراف معیار مجموع نمونه ها محاسبه شود . برای این امر در ابتدا روابط محاسبه انحراف معیار میانگین و سپس با داشتن تعداد نمونه ها و میانگین مقادیر ضریب اینمنی آنها در هر آزمایش ، میانگین ضرایب اینمنی و مقدار انحراف معیار مجموع نمونه ها توسط روابط زیر محاسبه می گردد .

انحراف معیار و میانگین  $n$  نمونه  $X_1 \dots \dots X_n$  از دو رابطه زیر محاسبه می شود .

$$\bar{X} = \frac{\sum_{i=1}^n X_i}{n} \quad (C-1)$$

$$\sigma = \sqrt{\frac{\sum_{i=1}^n (X_i - \bar{X})^2}{n}} \quad (C-2)$$

می توان اثبات کرد که رابطه (C-2) معادل رابطه زیر می باشد .

$$\sigma = \sqrt{\frac{\sum_{i=1}^n X_i^2}{n} - \bar{X}^2} \quad (C-3)$$

حال با داشتن  $m$  سری که هر کدام دارای  $n_i$  نمونه هستند و میانگین و انحراف معیار هر سری برابر  $\bar{X}_i$  و  $\sigma_i$  است ، می توان میانگین و انحراف معیار مجموع نمونه ها را از روابط زیر استخراج کرد .

$$\bar{X}_{total} = \frac{\sum_{i=1}^m n_i \bar{X}_i}{\sum_{i=1}^m n_i} \quad (C-4)$$

$$\sigma_{total} = \sqrt{\frac{\sum_{i=1}^m [n_i (\sigma_i^2 + \bar{X}_i^2)]}{\sum_{i=1}^m n_i} - \left( \frac{\sum_{i=1}^m n_i \bar{X}_i}{\sum_{i=1}^m n_i} \right)^2} \quad (C-5)$$